

D. Boboc  
G. Slapciu  
P. Popescu

*Metode  
și instalații  
pentru  
verificarea  
instrumentelor  
electrice  
de măsurat*

86

colecția

electricianului



editura tehnică

Ing. Doina Boboc \* Ing. George Slapciu  
Ing. Paul Popescu

Metode și instalații  
pentru verificarea  
instrumentelor electrice  
de măsurat

86



Editura tehnică  
București — 1976

Lucrarea prezintă aparatajul, schemele și metodele de verificare și etalonare a instrumentelor electrice de măsurat uzuale, folosite în toate instalațiile de producere, transformare, transport, distribuție și utilizare a energiei electrice.

Se adresează electricienilor și maiștrilor din cadrul întreprinderilor de rețele electrice, al întreprinderilor industriale ca și metrologilor din întreaga economie.

Control științific : Ing. ALEXANDRU EMANOIL.  
Redactor : Ing. PAULINA DUMITRESCU  
Tehnoredactor : ELLY GORUN  
Coperta : VALENTIN VIȘAN

---

Bun de tipar : 04.11.1976. Coli de tipar : 13.  
Tiraj : 10.900+70 exemplare broșate.  
C.Z. 621.317.004.5

---

Întreprinderea poligrafică „Oltenia“ Craiova  
Str. Mihai Viteazu nr. 4  
Comanda nr. 252

## **1. Organizarea laboratorului**

### **1.1. Condiții generale de lucru**

Problemele privind verificările, etalonările și încercările instrumentelor de măsurat se concentreză în laboratoare special amenajate pentru a oferi condiții de lucru optime.

Normativele românești (STAS, NI) ca și recomandările internaționale (CAER, OIML, BIPM, CEI etc.) indică, cu suficientă asemănare, condițiile pe care trebuie să le respecte instrumentele de măsurare în timpul operațiilor susmenționate, astfel ca să poată fi prevăzută comportarea acestora la schimbările condițiilor de lucru.

Cu suficientă precizie, se pot considera drept condiții de referință minime următoarele :

- temperatura —  $20^{\circ}\text{C} \pm 3^{\circ}\text{C}$  ;
- umiditatea — 35...70% ;
- vibrații — lipsă totală ;
- iluminare — 800...1 200 luxi ;
- zgomot — max. 60 foni.

Pentru îndeplinirea căt mai exactă a acestor condiții este necesar ca laboratorul să fie amplasat în locuri unde există posibilitatea asigurării unei termostatări naturale (subsol, demisol, maximum parter).

De asemenea, se impune ca laboratorul să fie amplasat la o depărtare suficientă de zonele în care se face simțită prezența cîmpurilor electromagnetice, a surselor radioactive, zgomotelor, surselor de praf, fumului și gazelor, mediilor corosive, surselor de vibrații și trepidații.

Pentru construcțiile noi trebuie să se aibă în vedere obligativitatea orientării ferestrelor către nord.

Referitor la instalații, se recomandă realizarea iluminatului fluorescent prin montaje care să asigure lipsa integrală a pilăriilor și a efectelor stroboscopice. Se va evita iluminatul local cu lămpi de birou, care pot constitui surse de căldură.

Instalația de încălzire trebuie să fie realizată pe principiul termostatării cu circuite închise de aer sau rezistențe electrice.

Se interzice trecerea conductelor de la centrala termică prin peretei laboratorului.

Instalațiile de ventilație se recomandă să fie utilizate numai în situația existenței în apropiere de suise de vaporii de mercur, diversi acizi, fum, praf, diverse gaze.

Laboratorul poate fi organizat, în funcție de complexitatea lucrarilor specifice unei întreprinderi, pentru verificare, etalonare și încercări asupra tuturor instrumentelor electrice sau separat pentru fiecare din tipurile cu utilizare mai mare în întreprindere.

Se recomandă ca toate problemele aferente unei singure familii de instrumente și anume verificări, etalonări, încercări de tip, fiabilitate etc., să fie concentrate în profilul același laborator, chiar dacă va cuprinde mai multe încăperi.

De aceea, lucrările acestor laboratoare care pot fi ingineri, fizicieni sau tehnicieni lucrează după normative numai în probleme de verificări, pentru care există o bază de normare indicată prin „Lista oficială a măsurilor și aparatelor de măsurat supuse obligatoriu verificărilor de stat” elaborată de Inspectoratul General de Stat pentru Controlul Calității Produselor — Direcția Generală a Metrologiei de Stat. Pentru restul lucrarilor: etaloni, încercări etc., care nu pot fi tipizate, șeful laboratorului le normează de la caz la caz prevedând totodată și utilizarea și personalul cu calificarea necesară.

Laboratorul mai este prevăzut de regulă cu muncitori pentru întreținere curentă și efectuare de lucrări auxiliare.

În vederea obținerii dreptului de funcționare pe baza reglementărilor metrologice oficiale, laboratorul trebuie să fie autorizat de organele metrologice ale Inspectoratului General de Stat.

Autorizarea trebuie să ateste îndeplinirea condițiilor tehnice, dotarea cu utilaje și etaloane și calificarea șefului laboratorului. Concomitent, toți cei care efectuează verificări de stat trebuie să fie autorizați, din punct de vedere al pregătirii lor profesionale și experienței în acest domeniu, de același organ de stat și pe baza aceleiași legislații.

## 1.2. Surse de alimentare

În vederea realizării verificărilor de stat, în conformitate cu schemele de transmitere a unităților de măsură, se impune ca fiecare laborator să-și asigure sursele de alimentare necesare.

Pentru măsurarea tuturor elementelor pasive ca de exemplu rezistențe, este necesar să se dispună de surse auxiliare.

Se deosebesc următoarele tipuri :

— *Surse de curent continuu* caracterizate prin următoarele mărimi nominale : tensiune electromotoare, rezistență internă și curentul maxim pe care îl poate debita.

— *Surse de curent alternativ* caracterizate prin următoarele mărimi nominale : frecvență, tensiune electromotoare, impedanță internă și puterea maximă pe care o poate furniza.

### 1.2.1. Surse de curent continuu

Sursele de curent continuu pot fi electrochimice sau electronice. Cele electronice la rîndul lor pot fi surse nestabilizate sau stabilizate după cum este realizată schema.

**Surse de curent continuu electrochimice** (pile și acumulatori). *Pilele electrice* sunt elemente galvanice la care energia electrică se obține pe seama energiei chimice produse prin transformările care au loc între substanțele componente.

Considerind că datele constructive sunt cunoscute din publicațiile de specialitate, se exemplifică în continuare cîteva tipuri de pile mai mult utilizate :

— Pilele umede sunt dotate cu electrolit lichid, cum este de exemplu *elementul tip Volta* care are electrozii din zinc și din cupru cufundați într-o soluție apoasă de acid sulfuric ; tensiunea electromotoare a elementului Volta este de 1,1 V.

— Pilele uscate sănt prevăzute cu electrolit sub formă de pastă care nu permite schimbarea poziției electrozilor, ceea ce face ca transportarea lor să poată fi făcută fără precauții deosebite. Cel mai întrebuințat element este *pila Léclanché*. Aceasta are ca electrod negativ un pahar de zinc, iar ca electrod pozitiv un creion de cărbune. Electrolitul este o soluție de amoniac îngroșată cu făină de grâu sau de cartofi. Elementul produce o tensiune electromotoare de 1,5 V. Rezistența sa internă este de circa  $0,1 \Omega$ .

O deosebită importanță o prezintă în tehnica măsurării *elementul tip Weston* cunoscut și sub numele de *element normal*, deoarece prin stabilitatea tensiunii generate este utilizat exclusiv ca tensiune electromotoare etalon. Deși nu se utilizează niciodată ca sursă de tensiune, redăm în continuare

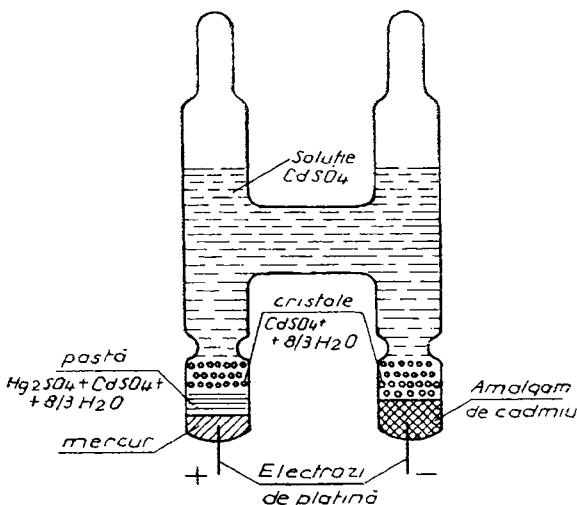


Fig. 1.1. Elementul normal Weston.

elementele sale constructive, strict necesare a fi cunoscute de cei ce lucrează în domeniul metrologiei.

Elementul normal Weston se compune dintr-un vas de sticlă în formă de H (fig. 1.1); în partea inferioară a fiecărei ramuri se află cîte un electrod de platină, care străbate peretele de sticlă.

Anodul este format din mercur, avînd deasupra o păstă depolarizantă alcătuită dintr-un amestec de sulfat mărcuros ( $\text{Hg}_2\text{SO}_4$ ) și cristale de sulfat de cadmiu  $(\text{CdSO}_4 + \frac{8}{3}\text{H}_2\text{O})$ . Catodul este alcătuit din amalgam de cadmiu (cu 12% Cd). Deasupra anodului și catodului se găsește electrolitul, alcătuit dintr-o soluție de sulfat de cadmiu, care umple și puntea dintre brațele vasului.

Rezistența interioară a elementului este cuprinsă între 500  $\Omega$  și 1 000  $\Omega$ .

Elementele normale sănt de două tipuri, după cum soluția de sulfat de cadmiu este saturată sau nesaturată la temperatură de utilizare a elementului.

Elementele saturate spre deosebire de cele nesaturate au deasupra anodului și catodului un strat de cristale de sulfat de cadmiu care asigură saturația soluției.

Tensiunea electromotoare a unui element normal saturat are o valoare de 1,01865 V<sub>abs</sub>, la temperatură mediului ambiant de 20°C.

Tensiunea electromotoare a clementelor normale Weston saturate variază cu temperatură într-un mod cunoscut cu precizie, ceea ce dă posibilitatea să se facă corecții pentru temperatură la care se lucrează. Variația cu temperatură este foarte mică ( $\Delta E = -4 \cdot 10^{-5}$  V/grd), însă crește cu temperatură. La elementele normale nesaturate, tensiunea electromotoare variază mult mai puțin cu temperatură.

Utilizarea clementelor normale impune respectarea condiției ca să nu fie străbătute de curenți mai mari de 1  $\mu\text{A}$ , pentru a evita deteriorarea. Rezistența internă a unui element normal Weston fiind în jur de 1 000  $\Omega$ , la curenți mai mari de 1  $\mu\text{A}$ , abaterile tensiunii la borne față de tensiunea electromotoare normală devin inadmisibile. De aceea, elementele normale se pretează numai la montaje de compensare.

Etalonul de tensiune electromotoare al laboratorului trebuie să fie constituit din mai multe elemente Weston (20 de elemente), pentru mărirea preciziei.

*Acumulatoare electrice.* În esență acumulatoarele electrice sunt pile reversibile. Sunt surse electrochimice de curent ale căror substanțe active pot fi regenerate prin trecerea unui curent de sens contrar celui care se obține prin procesul electrodinamic. Energia electrică este acumulată în aceste elemente, în timpul procesului de încărcare (când acumulatorul este alimentat de la o sursă exterioară de curent continuu), sub formă de energie chimică. Această acumulare se realizează datorită formării, prin electroliză, a unor substanțe chimice deosebit de active pe plăcile acumulatoarelor.

În timpul descărcării, cind acumulatorul este conectat în sarcină ca generator de curent, energia chimică se transformă în energie electrică prin procese electrochimice similare cu cele de la pilele electrice. Substanța activă de pe plăci se transformă în substanță inițială mai puțin activă.

Acumulatoarele sunt de două tipuri principale: acide și alcaline.

Acumulatoarele acide au electrozii de plumb. Electrolitul este constituit dintr-o soluție de acid sulfuric. Întreg ansamblul se dispune într-un vas de sticlă.

Rezistența internă este de ordinul sutimilor de ohmi. Capacitatea bateriilor utilizate în laboratoare este de ordinul 2 pînă la 10 Ah.

Acumulatoarele alcaline au electrozii constituîti din fier și nichel sau cadmiu și nichel. Pentru prima categorie electrolitul este hidroxid de nichel cu adaos de nichel metalic, iar pentru a doua este o soluție de hidroxid de potasiu cu un adaos redus de hidroxid de litiu.

Parametrii electrici ai acestor acumulatoare sunt inferiori celor de la acumulatoarele cu plumb.

Tensiunea în timpul descărcării este de aproximativ 1,3...1,2 V pe element și trebuie oprită la 1,15 V, iar în timpul încărcării este de 1,7...1,8 V.

Aceste acumulatoare sunt mult întrebuintăte fiind foarte robuste. Necesită întreținerea mai ușoară decît cele acide, suportă mai ușor curenții mari de descărcare fără a se defecta, nu degajă vapozi dăunători, au masă mai mică și suportă mai ușor șocurile mecanice.

Curentul pe care îl debitează un element de acumulator, indiferent de tipul său, depinde de suprafața plăcilor. Când este necesar să se mărească acest curent se leagă mai multe plăci în paralel.

Când este necesar să se obțină tensiuni mai mari decât tensiunea unui element se leagă mai multe elemente în serie.

*Pilele și acumulatoarele* au avantajul că sunt ușor transportabile, au rezistență internă mică, ceea ce face ca tensiunea la borne să fie practic constantă, atunci când variaza curentul în sarcină. După trecerea unui timp însă, datorită fenomenului chimic de polarizare a electrozilor, rezistența internă crește considerabil, și deci tensiunea la borne începe să varieze. În această situație pilele trebuie înlocuite, iar acumulatoarele necesită încărcare.

**Surse de curent continuu electronice.** Transformarea curentului alternativ în curent continuu se poate realiza cu ajutorul unor dispozitive electronice denumite *redresoare*.

*Elementele redresoare* se pot clasifica în următoarele categorii :

- Semiconductoare. Din această categorie fac parte următoarele tipuri reprezentative : redresorul de cuproxid, cu seleniu, cu germaniu și cu siliciu.

- Electronice. Din această categorie fac parte tuburile electronice cu vid înaintat. Tipurile principale sunt : tubul electronic cu doi electrozi (dioda) și tubul electronic cu trei electrozi (trioada).

- Ionice sau cu gaze. Acestea sunt tuburi la care în spațiul dintre electrozi există gaze inerte (argon, neon, heliu) sau vaporii de mercur.

Un dispozitiv de redresare conform destinației sale se montează între sursa de curent alternativ și consumatorul de curent continuu, pentru a transforma tensiunea alternativă a sursei de alimentare în tensiune continuă cerută de consumator.

Elementele de redresare se pot conecta în diverse scheme în cadrul dispozitivului de redresare, în funcție de tipul sarcinii și de natura curentului.

În practică se întâlnesc următoarele scheme de conectare a elementelor :

schema de redresare a unei singure alternațe ;

scheme de redresare a ambelor alternanțe cunoscute în două variante :

schema cu priză mediană ;

schema în punte ;

scheme de multiplicare a tensiunii.

Aceste scheme pot fi utilizate atât în cazul redresării curenților monofazați, cât și în cazul redresării curenților polifazați. Se dă mai jos cîteva exemple de scheme electrice realizate pentru redresare.

În cazul în care este necesară o sursă de curent continuu de cîteva sute de miliamperi, la o tensiune de ordinul sutelor de volți, se poate realiza schema din fig. 1.2.

Tensiunea pulsatorie după filtrare poate fi considerată aproximativ continuă.

Tensiunea la ieșire poate fi variată în mod continuu dacă redresorul este alimentat printr-un autotransformator care

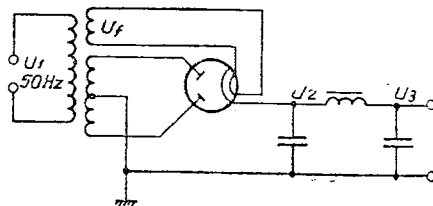


Fig. 1.2. Schema unei surse de curent continuu.

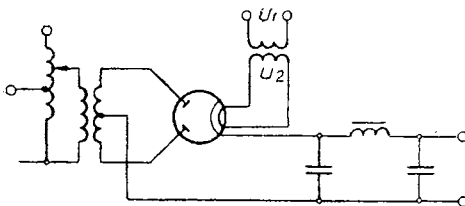


Fig. 1.3. Schema unei surse de curent continuu cu tensiunea de ieșire variabilă.

furnizează tensiune alternativă de amplitudine variabilă (fig. 1.3).

Dacă într-o schemă de măsurare este necesară o sursă de curent continuu care să furnizeze curenți de ordinul ampe-

rilor, la tensiune de ordinul zecilor de voltă, se folosesc redresoare cu elemente semiconductoare (fig. 1.4), fără a fi însă exclusă utilizarea elementelor redresoare cu vid.

Redresoarele, ca orice sursă de curent continuu prezintă o rezistență internă a cărei valoare depinde de elementul

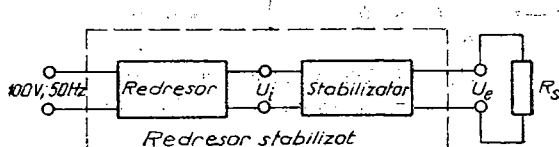


Fig. 1.5. Schema bloc a unui redresor stabilizat.

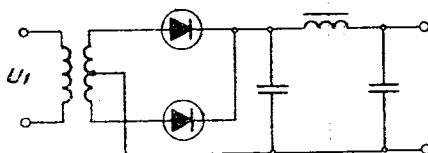


Fig. 1.4. Sursă de curent continuu cu elemente semiconductoare.

redresor utilizat. La redresoarele cu tuburi, rezistență internă este de ordinul miilor de ohmi, iar cele cu semiconductoare — de ordinul sutelor sau zecilor de ohmi. Această rezistență internă, de valoare mare, determină o importantă variație a tensiunii la bornele redresorului, atunci cînd curentul în sarcină variază.

Pentru îmbunătățirea performanțelor redresoarelor, acestea se stabilizează cu ajutorul unor montaje, care permit menținerea la ieșire a unei tensiuni sau a unui curent constant. În fig. 1.5 este indicată schema bloc (de principiu) a unui redresor stabilizat. Schema bloc de principiu a unui stabilizator este indicată în fig. 1.6. Stabilizatorul este constituit din două elemente principale: elementul D — detectorul, al cărui rol este de a sesiza variațiile tensiunii de la ieșire față de valoarea fixă dorită și elementul de control C, care este acționat de elementul detector în scopul de a corecta variațiile.

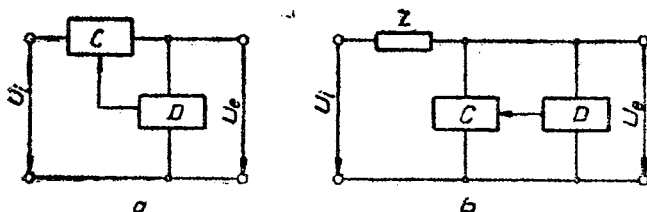


Fig. 1.6. Schema bloc a stabilizatorului :  
a — tip serie ; b — tip derivație.

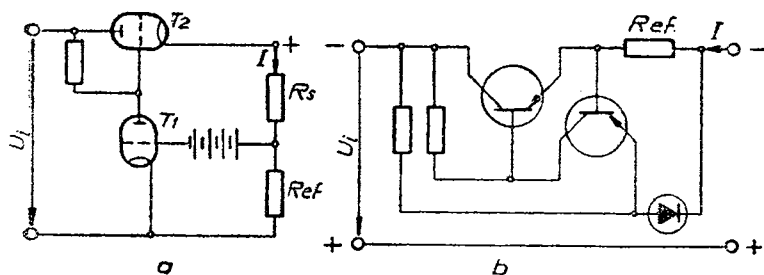


Fig. 1.7. Schema de principiu a stabilizatorului de curent :  
a — cu tuburi ; b — cu tranzistoare.

Stabilizatoarele se pot clasifica după modul cum sănătate dispuse aceste elemente sau din punct de vedere al funcționării, putând fi stabilizatoare cu reacție și fără reacție (parametrice).

În unele cazuri este necesar ca valoarea curentului continuu să poată să variață și menținută constantă la anumite valori, atunci cînd variază rezistență prin care aceasta circulă sau tensiunea alternativă de alimentare. Pentru aceasta, la ieșirea redresorului electronic se prevăd elemente sau montajele care stabilizează curentul și nu tensiunea.

În fig. 1.7 sănătate indicate schemele de principiu ale montajelor cu stabilizatoare de curent, în cazul folosirii tuburilor (fig. 1.7, a) și respectiv în cazul folosirii tranzistoarelor (fig. 1.7, b).

În continuare se indică schemele cîtorva redresoare stabilizate.

Pentru realizarea unor măsurări de precizie se poate indica redresorul stabilizat Norma-Austria tip 45902, a cărui tensiune de ieșire este stabilizată. Factorul de stabilizare este cuprins între 0,01 și 0,005%/h, pentru variații ale tensiunii rețelei de 10%.

Tensiunea furnizată are valori între 200 și 821 V, reglabilă în trepte de 100 V printr-o claviatură și cu reglaj continuu în intervalul treptelor. Curentul maxim este de 300 mA.

O altă sursă ce se recomandă pentru lucrările de laborator este tipul STR-404 de 40 V — 4 A realizată de întreprinderea de apărate electronice de măsură și industriale (IEMI-București). Aparatul furnizează o tensiune continuă stabilă și reglabilă.

Caracteristicile tehnice ale sursei sunt: tensiunea de ieșire reglabilă în trei trepte de 10 : 1 : 0,1 de la 0 la 40 V.

Precizia fixării tensiunii 2%. Curentul de sarcină 0...4 A. Coeficientul de stabilitate relativ  $\geq 1\,000$ . Variația tensiunii de ieșire cu temperatura  $\leq 200$  mV.

Tot de fabricație IEMI este și sursa dublă de tensiune stabilizată 2 STR-401 care furnizează o tensiune continuă reglabilă. Aparatul realizat în întregime cu dispozitive semiconductoare conține două surse separate, de la fiecare obținându-se tensiuni de la 0 la 40 V cu rezoluție de 0,1 V.

O variantă asemănătoare cu sursa dublă susmentionată se realizează de către Institutul de Fizică Atomică. Aparatul denumit Multistab 235 furnizează tensiuni în trei domenii și anume: 0—10 V, 10—20 V și 20—30 V, permitînd și folosirea lor concomitentă.

### 1.2.2. Surse de curent alternativ

Sursele de curent alternativ prezintă o mare varietate de tipuri pentru a putea acoperi gama largă de apărate de măsurat care trebuie să fie verificate. Sursele de curent alternativ pot fi clasificate după puterea lor, după domeniul de frecvență în care lucrează (joasă, medie, înaltă), precum și după principiul de funcționare.

Condițiile pe care trebuie să le îndeplinească aceste surse de alimentare sunt tensiunea la ieșire, cât mai stabilă și distorsiuni cât mai mici, precum și tensiuni cât mai și netrice în cazul surselor trifazate.

**Rețeaua de curenț alternativ.** Cea mai răspândită sursă de alimentare este rețeaua de curenț alternativ 120/208 V sau 220 V/380 V, frecvență 50 Hz. Aceasta se poate utiliza la măsurări pentru care nestabilitatea ei nu are o influență prea mare.

Tensiunea rețelei are fluctuații variabile între  $-10\ldots +5\%$  și distorsiuni de circa  $5\ldots 8\%$ , care pot fi eliminate prin utilizarea stabilizatoarelor.

Stabilizatoarele de tensiune se conectează la rețeaua de curenț alternativ (monofazat sau trifazat), obținându-se la ieșire o tensiune de valoare practic constantă.

Întreprinderea de aparate electronice și industriale produce surse stabilizate tip I 4201 de 1 000 VA, care utilizează tensiunea reglabilă între 210 și 230 V cu o precizie de reglaj de  $\pm 0,2\%$  și o sursă similară tip I 4202 de 5 000 VA.

**Generatoare de semnal.** Aceste aparate constituie surse de energie alternativă pentru frecvențe diferite de 50 Hz. Generatoarele pot fi clasificate după forma și frecvența semnalului, după principiul de generare a oscilațiilor, precum și după performanțele obținute.

Dintre acestea, nu ne interesează decât sursele cu frecvențe mai mici de 20 kHz, deoarece se consideră că la frecvențe mari se depășește spectrul frecvențelor de lucru al aparatelor electrice.

În cazul frecvențelor sub 20 kHz se utilizează generatoare tip RC, care au performanțe bune pentru acest domeniu de frecvență.

În țară se fabrică, de către IEMI, generatorul tip E 0501, care furnizează tensiuni sinusoidale în intervalul 1 Hz...1 MHz cu distorsiuni între 0,5% și 2%, în funcție domeniul de frecvență.

Firma Ribet-Desjardins produce generatorul tip 406 B cu domeniul de frecvență cuprins între 20 Hz și 200 kHz, repartizat în patru domenii. Precizia lui de etalonare este de 1,5%, iar stabilitatea de 0,3%/h. Prezintă distorsiuni mai mici de 1%.

Generatorul tip 1003 al firmei Hatfield-S.U.A. lucrează în domeniul 30 Hz...30 kHz. Precizia acestui generator este de 1%, iar distorsiunile mai mici de 0,25%.

Un progres remarcabil în realizarea generatoarelor îl constituie generatoarile etalon de tensiune alternativă, care furnizează valori cunoscute și reglabile. Aceste generatoare asigură o mare precizie. Ele se compun de obicei dintr-un oscilator electronic, un amplificator, un divizor de tensiune inductiv sau rezistiv în decade, un element de transfer c.a — c.c și un sistem electronic sau electromecanic pentru menținerea tensiunii, la intrarea elementului de transfer, la o valoare dată.

Firma Rotek Instrument Corporation (S.U.A.) realizează generatorul tip 146 care produce orice tensiune la ieșire pînă la 511,110 V în trepte de 1 mV, cu o precizie de 0,035%, la frecvențele de 50, 60, 400, 1 000, 2 000 și 4 000 Hz și putere debitată de cel mult 10 VA. Factorul de distorsiune al tensiunii de ieșire este sub 0,015%

Un alt generator cu înalte performanțe este realizat de firma „Radio Frequency Laboratories” (Anglia), care are zece grame de tensiuni, fiecare divizată în 150 trepte de la 0...1,5 V (putere 2 VA), la 0...1 500 V (putere 15 VA). Frecvența de lucru este variabilă între 50 și 2 400 Hz. Precizia tensiunii de ieșire este de 0,05% pînă la 400 Hz și de 0,10% pentru frecvențe mai mari de 400 Hz.

### 1.3. Elemente de reglaj

#### 1.3.1. Reglarea curentului și tensiunii, continue și alternative monofazate

Pentru realizarea unor scheme electrice, în vederea efectuării diverselor măsurări, este necesar să se acorde o deosebită atenție la alegerea elementelor de reglaj, care să permită modificarea unor mărimi electrice. În acest scop se vor indica metodele și mijloacele de reglaj cele mai des întrebuițăte.

**Reostatele** sunt dispozitive de reglaj ce au o mare întrebuițare, atât în circuitele de curent continuu, cât și în cele de curent alternativ.

Reostatele cele mai utilizate în laboratoare sunt de fabricație IS Electrotehnica București și Metra — CSR. Un set de rezistențe cuprinde în general 22 bucăți cu valori cuprinse între  $2 \times 1,46 \Omega$  (20 A) și  $2 \times 23\,400 \Omega$  (0,16 A).

**Transformatoarele și autotransformatoarele** sunt aparatele cele mai des utilizate pentru reglarea curentului și tensiunii în curent alternativ. Cea mai largă răspândire o au :

autotransformatoarele reglabile ;

transformatoarele ridicătoare de tensiune ;

transformatoarele coborătoare de tensiune.

**Autotransformatoarele** sunt utilizate pentru reglajul tensiunii și curentului alternativ.

Reglarea tensiunii cu autotransformatorul se poate realiza fără consum de putere activă sau reactivă. Utilizarea autotransformatorului permite :

reglarea în trepte ;

reglarea continuă.

• Reglarea în trepte. Realizarea unui astfel de autotransformator impune cîteva precauții și anume : în scopul de a nu se întrerupe legătura cu sarcina și pentru a acoperi două ploturi simultan, peria este alcătuită din două părți, una principală și alta secundară, legate între ele printr-o rezistență de valoare mică  $R$ . Prin acest procedeu, spirele dintre două ploturi nu vor fi scurtcircuitate cînd periile vor călca simultan pe două ploturi alăturate, în timpul reglării tensiunii.

• Reglarea continuă. Un asemenea autotransformator este constituit dintr-un miez toroidal din tole de oțel, pe care este dispusă înfășurarea executată din sîrmă de cupru. În partea interioară se poate deplasa un contact de cărbune, de-a lungul unei fișii înguste a conductoarelor, curățate de izolație. Pentru puteri mai mari de 5 kVA, circuitul magnetic se realizează sub formă de coloane.

Autotransformatoarele cele mai recomandate pentru laboratoare sunt cele de fabricație IIS Electrotehnica tip ATR-8, 8 A/ $1\frac{1}{2}$  h ; 120...220 V.

*Transformatoarele de tensiune cu prize multiple.* Pentru a ușura procesul de verificare pentru voltampermetre, este indicat un transformator a cărui schemă este redată în fig. 1.8.

Caracteristicile sale tehnice principale sunt :

tensiunea primară nominală : 100 V, 50 Hz (valoarea maximă 1,2 Un) ;

tensiunile secundare : 0,3 V ; 1 V ; 3 V ; 6 V ; 10 V ; 15 V ;

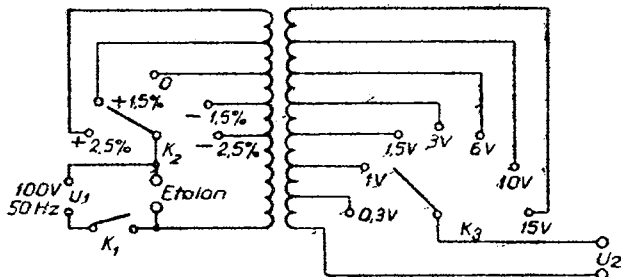


Fig. 1.8. Transformatorul pentru verificat voltampermetre.

sarcina maximă în secundar :

6 mA pentru clasa de precizie 0,2 ;

30 mA pentru clasa de precizie 0,5 ;

60 mA pentru clasa de precizie 1.

Acest transformator nu are numai rol de reglaj, el putind fi utilizat și la verificarea directă și rapidă a valorilor maxime de scară, la voltampermetre.

### 1.3.2. Reglarea tensiunii alternative în rețelele polifazate

În rețelele trifazate, reglarea tensiunii se poate face cu ajutorul reostatelor și inductanțelor.

**Reglarea tensiunii cu ajutorul reostatelor** este utilizată în cazul puterilor mici preluate de sarcină, deoarece reglarea se face cu pierdere de energie activă.

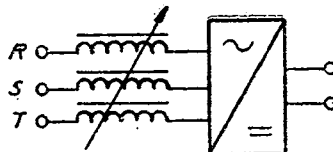


Fig. 1.9. Reglarea tensiunii alternative cu inductanțe.

Reglarea cu ajutorul inductanțelor variabile (fig. 1.9) este mai economică, evitându-se consumul de energie activă și puterea reactivă se mărește.

### 1.3.3. Reglarea fazelor

Se face cu ajutorul unor dispozitive cunoscute sub numele de *decalatoare de fază*. Foarte multă întrebunțată în tehnica măsurării la verificarea instrumentelor de măsurat, acest dispozitiv se poate realiza pe baza mai multor principii și se utilizează în funcție de necesități.

Cele mai vechi sunt defazoarele numite și *regulatoare de inducție* de tip motor asincron cu rotorul calat, care se fabrică în țara noastră la I. S. Electrotehnica București și I. S. Elektromotor Timișoara. Ele permit un reglaj continuu între  $0^\circ$  și  $360^\circ$  cu amplitudine constantă.

Pentru diferite utilizări specialize se pot recomanda scheme de decalare care pot fi ușor confectionate în scopul realizării diverselor scheme de măsurare.

**Transformatorul cu priză mediană** (fig. 1.10) în care reglarea fazelor  $U_s$  se obține variind valoarea rezistenței  $R$  și deci a tensiunii  $U_R$  (fig. 1.10).

Montajul poate fi executat fie cu ajutorul inductanței, în care caz se obține un decalaj reglabil între  $0^\circ$  și  $180^\circ$ , fie

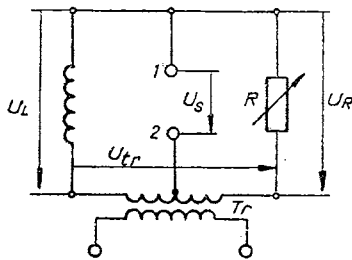


Fig. 1.10. Defazor cu transformator cu priză mediană.

cu ajutorul unei capacități obținându-se posibilitatea de decalaj între  $180^\circ$  și  $360^\circ$ .

**Rezistența electrică bobinată pe un suport ceramic în formă de tor alimentată de la o rețea trifazată în trei puncte decalate la  $120^\circ$ .**

Tensiunea defazată este culeasă de două cursoare diametral opuse care culisează pe periferia torului. Cu această rezistență se realizează un decalaj cu variație continuă în intervalul  $0 \dots 360^\circ$ .

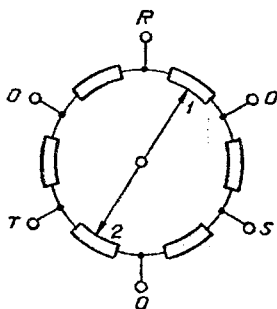


Fig. 1.11. Realizarea reglajului fazelor cu rezistențe prin alimentarea în 3 puncte și zero a rețelei.

O îmbunătățire a schemei de mai sus s-a făcut prin alimentarea montajului nu numai la cele 3 faze, ci și la punctul zero al rețelei (fig. 1.11).

**Autotransformatoarele trifazate duble alimentate de la două sisteme trifazate separate** (fig. 1.12, a și b). În cazul în care toate cursoarele se deplasează uniform, se poate asigura o defazare cursivă cu amplitudine constantă conform diagramei vectoriale din fig. 1.12, b.

*Transformatoare alimentate de la o rețea trifazată de la care se culeg diverse tensiuni ce se combină pentru a se obține vectorii decalați după necesități.*

Pentru exemplificare, în fig. 1.13, a și b, se dă schemele electrice și diagramele de funcționare respective ale defazoarelor monofazate, iar în fig. 1.14 fotografia unui din defazoarele trifazate.

Alte dispozitive de reglaj auxiliare sunt prezentate în [11, 21].

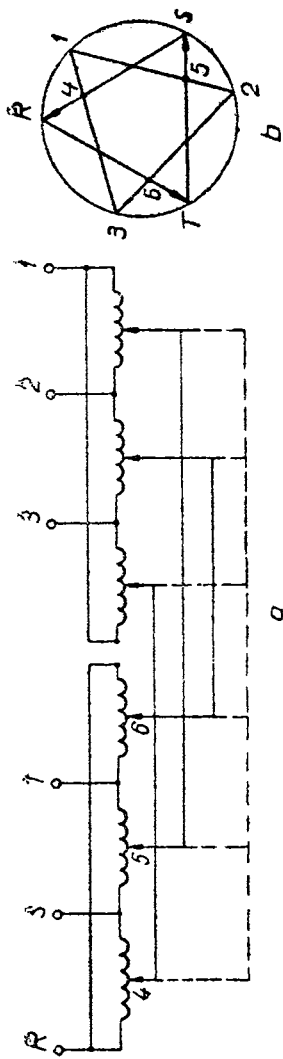


Fig. 1.12. Realizarea reglajului fazelor cu autotransformatoare trifazate duble:  
a — schema electrică ; b — diagramea vectorială.

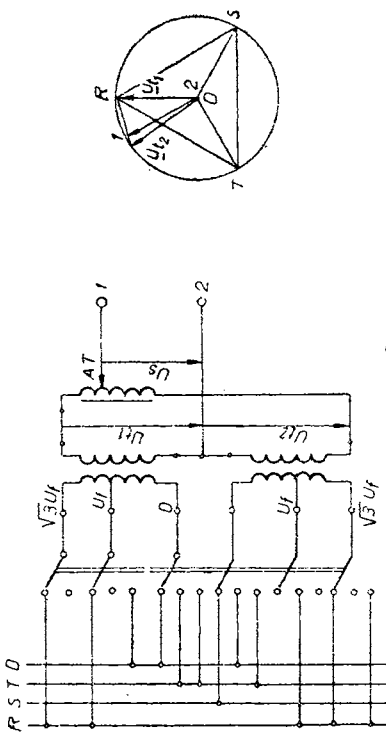


Fig. 1.13. Schemele electrice ale defazoarelor monofazate statice cu diagramele vectoriale corespunzătoare:  
a — schema cu două transformatoare ;

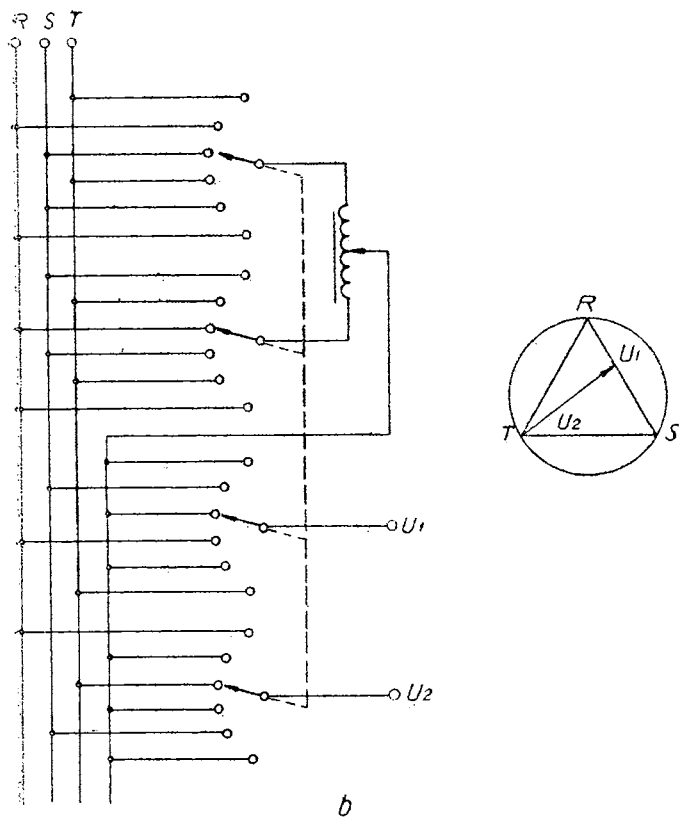


Fig. 1.13  
 $b$  — schema cu autotransformator.

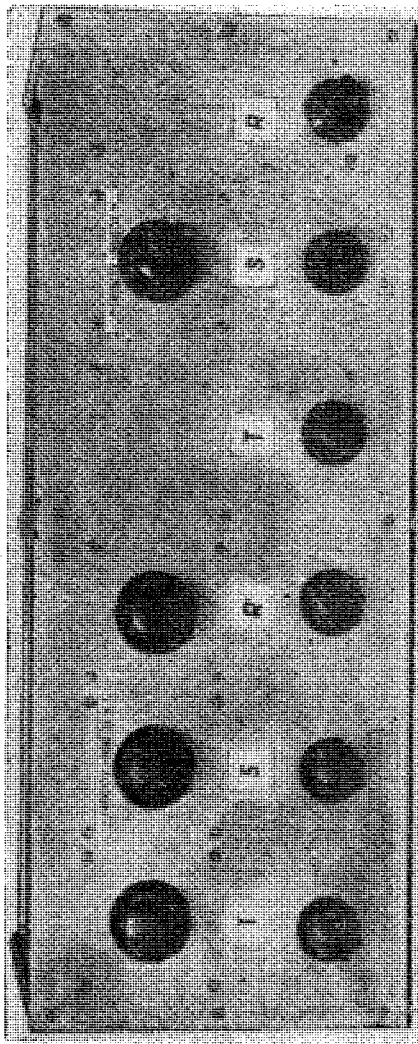


Fig. 1.14. Panoul frontal al unui dispozitiv trifazat de defazare și simetrizare.

## 1.4. Aparate folosite în schemele de măsurare

### 1.4.1. Rezistențe etalon și rezistențe decadice

Rezistențele etalon se construiesc din materiale conduceatoare care trebuie să aibă următoarele proprietăți: rezistență mare, coeficient de temperatură mic, tensiunea termoelectromotoră la contactul cu diferite materiale (în special cu cuprul din care se execută obișnuit conductoarele de legătură) mică și să fie inoxidabil.

Rezistențele etalon se construiesc exclusiv din fire sau benzi de manganină. Rezistențele se află închise în cutii de protecție (metalice sau bachelită) care au un cap izolant în care se află cele patru borne și anume bornele cu  $I-I$  pentru introducerea bobinei în circuitul de curent și bornele notate cu  $U-U$  pentru măsurarea tensiunii aplicate bobinei.

Valorile rezistențelor etalon sunt cuprinse între  $10^4$  și  $10^{-4} \Omega$ . Pentru ca rezistențele etalon să poată fi utilizate sub curenți mai mari pentru evitarea fluctuațiilor de temperatură, în cazul măsurărilor de mare precizie, se introduc într-o baie de petrol sau de ulei.

În laboratoare, pentru măsurările curente se folosesc „cutii de rezistențe”, care pot fi cu fișe sau cu ploturi. Cu aceste cutii de rezistențe se pot obține rezistențele de valori reglabile în trepte.

Rezistențele din aceste cutii se realizează tot din sîrme sau benzi de manganină.

Precizia lor de etalonare este în general de 0,01%, 0,02% sau 0,05%.

Pentru a putea varia rezistență fără a întrerupe curentul, operație care în cazul rezistențelor cu fișe este obligatorie, precum și pentru ca manevrarea rezistențelor să se facă mai comod, se construiesc cutii de rezistență în decadă cu manetă.

Pentru a nu se deteriora, prin supraîncălzire, cutiile de rezistențe nu trebuie încărcate peste 1...2 W.

Se dau în continuare cîteva exemple de tipuri de cutii de rezistențe cu o largă întrebuițare în laboratoare.

Dintre cele mai utilizate sînt decadele de fabricație R.D.G. tip Mellenbach cu posibilități de reglare  $10(1 + 10 + 100 + \dots + 1000) \Omega$  sau  $10 \times (0,1 + 1 + 10 + 100 + 1000) \Omega$  de precizie de 0,5% și respectiv 0,2%. De asemenea, se mai utilizează decade de rezistență de tipul TR 9403 R.P.U., care au posibilități de reglaj între  $0,1 \Omega$  și  $1,22 \cdot 10^6 \Omega$ , cu o precizie mai bună de 1%. Permite măsurări în curent continuu și în curent alternativ pînă la 160 kHz.

Firma Sullivan — S.U.A. realizează cîteva tipuri de decade de rezistență de precizie ridicată, cum ar fi : decadele de rezistențe pentru curent continuu și curent alternativ pînă la 100 kHz, cu precizie de 0,05%, din seria 43280 care se realizează cu 3, 4 sau 5 decade după cum este necesară valoarea rezistenței. Se realizează tipuri de decade pentru rezistențe între  $0,05 \Omega$  și  $10\,000 \Omega$ .

Tot această firmă realizează decade de tipul 1049, care pot cuprinde rezistențe în domeniul  $0,01 \Omega$  și  $1 \text{ M}\Omega$ . Precizia acestor decade este de 0,05%. Aceste rezistențe se realizează în 5 variante cu cîte 4 decade fiecare, pentru a asigura domeniul de măsurare mai sus indicat.

#### *1.4.2. Etaloane de inductivitate proprie și mutuală*

*Ca etaloane de inductivitate proprie* se folosesc bobine, a căror inductanță este constantă. Acestea au formă plată și se confectionează din conductor de cupru izolat și înfășurat pe carcase din materiale izolante de calitate superioară (porțelan, marmură etc.).

Bobinele trebuie să aibă în afară de o inductanță constantă și o rezistență activă cît mai mică.

Pentru a micșora cîmpul magnetic extern, bobinajul se realizează într-un mod special la inductanțe și anume se fac bobinaje de tip toroidal sau în dublu D (fig. 1.15, a și b).

La realizarea inductanțelor etalon trebuie să se micșoreze la minimum capacitatele parazite ce apar între spirele bobinei. Aceasta se realizează prin mărirea distanței dintre spire și straturi, precum și prin micșorarea numărului de spire de pe fiecare strat.

Etaloanele de inductivitate trebuie să aibă o variație cît mai mică a inductivității cu valoarea și frecvența curentului ce parurge înfășurarea, un coeficient de temperatură cît mai mic și o stabilitate în timp.

Etaloanele de inductivitate se realizează de valorile  $10^{-4} \dots 10$  H cu precizie ce nu depășește  $\pm 0,1\%$ .

*Etaloanele de inductivitate mutuală* se fabrică la fel ca și etaloanele de inductivitate proprie cuprinzând însă două

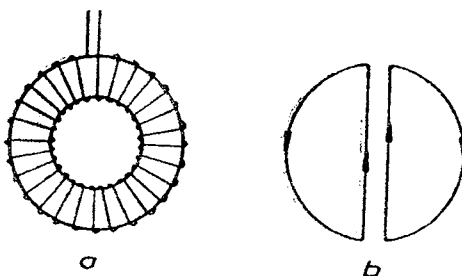


Fig. 1.15. Tipuri de bobinaje:  
a — toroidal ; b — în dublu D.

înfășurări pe aceeași carcăsă. Ele se pot realiza fixe sau variabile.

Firma Sullivan-S.U.A. realizează o serie de inductanțe de tipul 1900 pentru domeniul  $1\mu H \dots 1 H$ , cu o precizie de  $0,01\%$ , de asemenea o decadă de inductanță tip R 4000 de precizie  $0,1\%$ , pentru inductanțe variabile pînă la  $11,11 H$ .

#### 1.4.3. Etaloane de capacitate

Ca măsuri etalon de capacitate se folosesc condensatoare etalon cu valoare unică sau cu valori multiple.

Condițiile pe care trebuie să le îndeplinească condensatoarele etalon și care să asigure precizia și stabilitatea în timp sunt :

- dimensiuni de gabarit mici, pentru a micșora capacitațile parazite ;
- stabilitatea parametrilor geometrici ;
- pierderi în dielectric cît mai mici ;

— rezistență de izolație foarte mare (suportii condensatoarelor trebuie să se facă din cuarț topit sau stiroflex).

Pentru a reduce pierderile se utilizează ca dielectric aerul sau mica.

Valoarea nominală a condensatorului este dată de obicei la temperatura de 20°C și frecvența de 800 Hz. Clasa de precizie a condensatoarelor etalon este de 0,1%.

*Condensatoarele etalon variabile* sunt alcătuite din două armături, una fixă stator și una mobilă rotor, fixate pe un ax ce se poate roti. Valoarea capacității se citește pe o scară gradată.

Ca exemplu de realizare indicăm decada de capacități a firmei Sullivan — S.U.A. tip C 8700 de precizie 0,1%, având posibilități de reglaj pînă la 1,111  $\mu$  F și capacitățile de precizie din seria 8000 de valoare unică : 1 pF, 10 pF ; 100 pF ; 1 000 pF ; la 1 kHz.

Precizia acestora este de  $\pm 0,01\%$ .

#### 1.4.4. Aparate pentru măsurarea elementelor de circuit

Un loc deosebit în dotarea laboratoarelor îl ocupă și aparatelor cu ajutorul cărora se pot măsura parametrii circuitelor și anume R, L, C, M.

După cum se cunoaște, măsurările se pot executa după metode ce se pot clasifica astfel : metode cu citire directă sau indirectă și metode de comparație care pot fi metode de zero, diferențiale și de substituție.

Măsurările pentru elementele de circuit se pot realiza în laboratoare, în funcție de mărimea de măsurat și de etaloane existente, prin scheme care să se bazeze pe una din metodele de mai sus sau să se utilizeze instrumente care să fie confectionate special pentru măsurarea elementelor.

**Măsurarea rezistențelor** în curent continuu se poate realiza direct cu ajutorul ohmmetrelor. Acestea pot fi realizate cu schemă de măsurare în serie și paralel.

De obicei ohmmetrelor se compun dintr-o sursă de curent continuu și un aparat indicator magnetolectric.

Ohmmetrele cu montaj în paralel se folosesc pentru măsurarea rezistențelor de valoare mică, iar cele cu montaj în serie, pentru măsurarea rezistențelor de valoare mare, de ordinul megohmilor.

Sursa de alimentare a megohmmetrelor, cunoscute și sub denumirea de megger, trebuie să furnizeze o tensiune mult mai mare decât a ohmmetrelor, care este de 1,5...4,5 V, și anume de valori ce pot atinge mii de volți. Megohmmetrele pot avea un generator de curent continuu care furnizează tensiunea înaltă și care poate fi acționat manual din exterior. Tensiunea continuă poate fi obținută și de la un generator de tensiune alternativă, care apoi este redresată.

O largă categorie de instrumente de măsurat pentru determinarea rezistențelor în curent continuu se bazază pe metode de comparație indirecte, cum ar fi de exemplu, prin comparație, substituție, opozitie, metode de zero sau diferențiale; acestea sunt: punțile și compensatoarele echilibrate și neechilibrante.

Din metodele enumerate cele mai întrebuintăte sunt cele de punte.

*Metodele de punte* fiind metode de zero au o sensibilitate și precizie mare de măsurare, nefiind influențate de etalonarea aparatului de zero și de variațiile sursei de alimentare. Cele mai întrebuintăte punți pentru măsurarea rezistențelor în curent continuu sunt puntea Wheatstone pentru măsurarea rezistențelor cuprinse între  $1\ \Omega$  și  $1\ M\Omega$  și puntea dublă Thomson pentru rezistențe foarte mici, sub  $1\ \Omega$  pînă la  $10^{-6}\ \Omega$ .

În fig. 1.16 este prezentată schema de principiu a punții Wheatstone.

Din condiția de echilibru se poate determina rezistența necunoscută

$$R_x = \frac{R_1}{R_2} = R_3.$$

Realizările constructive ale punților sunt diferite. Punțile de precizie se construiesc cu raport constant și rezistență de comparație variabilă.

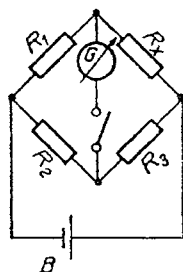


Fig. 1.16. Schema punții Wheatstone.

O variantă a punților Wheatstone o reprezintă punțile procentuale destinate măsurării abaterii valorilor unui număr mare de rezistențe față de valoarea lor nominală. Această abatere se obține direct în procente.

Pentru măsurarea rezistențelor de valori mici se folosesc punțile duble Thomson, în care se elimină influența rezistențelor contactelor și conductoarelor de legătură asupra circuitului de măsurare, prin plasarea lor într-un circuit auxiliar.

În fig. 1.17 este indicată schema de principiu a punții duble Thomson.

La echilibrul punții dacă se realizează  $\frac{R_1}{R_2} = \frac{R_3}{R_4}$  valoarea rezistenței necunoscute se va determina cu relația  $R_x = R_0 \frac{R_1}{R_2}$ .

Condiția  $\frac{R_1}{R_2} = \frac{R_3}{R_4}$  se obține prin realizarea constructivă a egalității rezistențelor  $R_1$  și  $R_3$ , respectiv  $R_2$  și  $R_4$ . Raportul brațelor  $\frac{R_1}{R_2} = \frac{R_3}{R_4}$  poate fi realizat constant sau variabil.

Constructiv, au fost realizate punți combinate și anume o punte Wheatstone și o punte Thomson, care permit măsu-

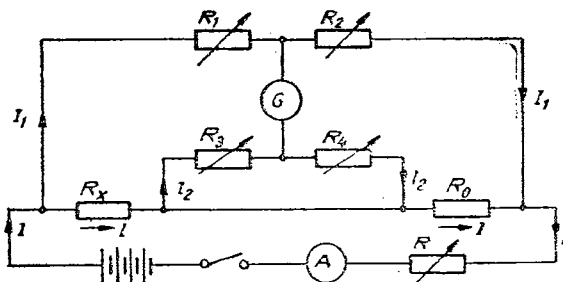


Fig. 1.17. Schema punții duble Thomson.

rarea de rezistențe cu valori cuprinse între  $10^{-6} \Omega$  și  $10^6 \Omega$ .

Măsurarea rezistenței în curent continuu se poate realiza și pe baza metodelor cu citire indirectă și anume prin *metoda voltampermetrică* în montaj aval pentru rezistențe mici

$10^{-1} \dots 10 \Omega$ , sau în montaj ancite pentru măsurarea rezistențelor mari de ordinul  $10 \dots 10^4 \Omega$ . În erorile de determinare a rezistenței necunoscute intervin și erorile relative ale instrumentelor, deci metoda este mai puțin precisă și totuși această metodă este mult utilizată deoarece nu necesită instrumente speciale pentru măsurarea rezistențelor.

Măsurarea rezistenței prin *metoda de compensație* permite determinarea cu precizie a rezistențelor electrice prin măsurarea căderii de tensiune la borne. Rezistența de măsurat se leagă în acest caz într-un circuit auxiliar (fig. 1.18) în serie cu o rezistență etalon  $R_0$  (de același ordin de mărime cu  $R_x$ ) și cu o baterie de alimentare  $E_1$ .

Curentul din circuitul auxiliar trebuie să aibă o valoare constantă și să nu depășească valcarea admisibilă pentru cele două rezistențe.

Cele două rezistențe  $R_x$  și  $R_0$  sunt conectate pe rînd la bornele montajului de compensație și astfel se măsoară căderile de tensiune  $U_x$  și  $U_0$ , din care se obține  $R_x = R_0 \frac{U_x}{U_0}$ .

**Măsurarea impedanțelor.** În curent alternativ, se definește noțiunea de impedanță  $Z$  pentru un consumator ca raportul dintre valorile maxime sau efective ale tensiunii la borne ale

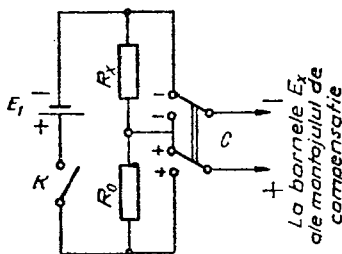


Fig. 1.18. Schema de măsurare a rezistențelor prin metoda de compensație.

consumatorului și curentul absorbit de acesta. Expresia impedanței este  $Z = R + jX$  sau  $Z = Z_e e^{j\varphi}$ .

Deci pentru ca  $Z$  să fie determinat trebuie să se cunoască rezistența  $R$  și reactanța  $X$ , adică frecvența  $f$ , inductivitatea  $L$  sau capacitatea  $C$ .

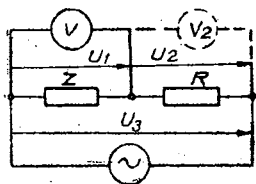


Fig. 1.19. Schema de măsurare a impedanței prin metoda de comparație.

tanței bobinelor cu un montaj identic cu cel întâlnit la rezistență. Dacă se măsoară rezistența  $r$  a bobinei în curent continuu, valoarea inductanței proprii este dată de expresia

$$L_\omega = \sqrt{Z^2 - r^2}.$$

Metoda de comparație poate fi utilizată pentru determinarea impedanței utilizând schema din fig. 1.19.

Se alimentează impedanța  $Z$ , care este în serie cu o rezistență cunoscută, și se măsoară tensiunea  $U_1$  la bornele rezistenței,  $U_2$  la bornele rezistenței și  $U_3$  tensiunea totală. Deci :

$$I = \frac{U_1}{Z} = \frac{U_2}{R} = \frac{U_3}{Z + R};$$

$$Z = \frac{U_1}{U_2} R.$$

Din diagrama vectorială (fig. 1.20) se obține

$$\cos \varphi = \frac{U_3^2 - U_1^2 - U_2^2}{2U_1 U_2}.$$

Se vede că :  $R = Z \cos \varphi$  ;

$$X = Z \sin \varphi.$$

Dacă rezistența  $R$  este variabilă, se modifică pînă cînd  $U_2 = U_1$ , în acest caz  $Z = R$

$$\cos \varphi = \frac{U_3^2 - 2U_1^2}{2U_1^2} = \frac{U_3^2}{2U_1^2} - 1, \text{ unde } \cos \frac{\varphi}{2} = \frac{U_3}{2U_1}.$$

Metoda se folosește pentru măsurarea inductanțelor mutuale (fig. 1.21).

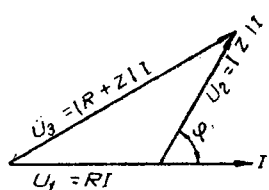


Fig. 1.20. Diagrama vectorială pentru măsurarea impedanțelor.

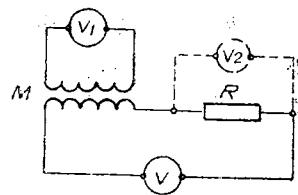


Fig. 1.21. Schema de măsurare inductanței mutuale prin metoda de comparație.

$$U_1 = M \omega I$$

$$U_2 = RI$$

$$M = \frac{R}{\omega} \cdot \frac{U_1}{U_2}$$

De asemenea, această metodă este utilizabilă și pentru măsurarea condensatoarelor chimice.

Măsurarea prin metoda de citire directă are aplicații la măsurarea capacității. Aceasta se realizează cu aparate speciale numite *faradmetre*, care sunt similare cu ohmmetrele, însă au tensiunea de alimentare alternativă. Faradmetrele au ca aparat indicator logometre feromagnetic și electrodinamice (fig. 1.22, a, b).

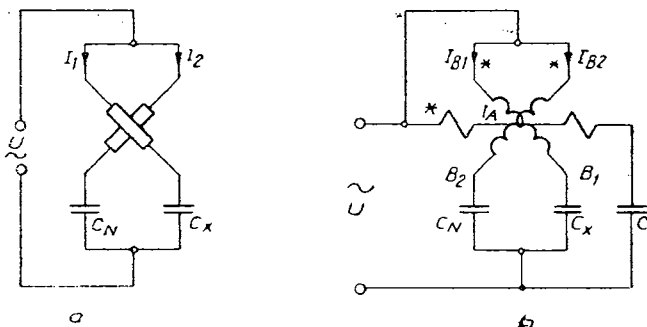


Fig. 1.22. Scheme de faradmetre:  
a — cu aparat indicator feromagnetic; b — cu aparat indicator electrodinamic.

Deviația permanentă a logometrului este  $L_v = f\left(\frac{I_1}{I_s}\right) \cdot$   
 Neglijînd impedanțele bobinelor în raport cu reactanțele condensatoarelor, se poate scrie :

$$I_1 = U \omega C_x ;$$

$$I_2 = U \omega C_0, \text{ deci } \alpha_p = f\left(\frac{C_x}{C_0}\right).$$

Dacă  $C_0$  este o capacitate fixă, instrumentul poate fi gradat direct în unități de măsură a capacității  $C_x$ . Dacă  $C_0$  este variabil, în trepte, se pot realiza mai multe domenii de măsurare pentru faradmetre.

*Metodele de comparație și anume metodele de zero au o largă întrebunțare pentru măsurarea impedanțelor prin realizarea constructivă a unei mari varietăți de punți de măsurare datorită avantajelor pe care le prezintă.*

Puntea Wheatstone este utilizată în curent alternativ având cele 4 brațe constituite din patru impedanțe.

În domeniul de audiofrecvență (pînă la 20 kHz), sursa de alimentare a punții este un generator de tensiune și ca detector utilizează un voltmetru electronic, un osciloscop, un difuzor pentru frecvențe de 300 la 6 000 Hz, sau un galvanometru de vibrații în cazul măsurărilor la 50 Hz.

În cazul măsurărilor de înaltă frecvență, se utilizează drept sursă de alimentare un generator de înaltă frecvență și ca detector un amplificator de tip heterodină și un difuzor.

La echilibru, utilizînd notatiile vectoriale, obținem :

$$\frac{\underline{Z}_1}{\underline{Z}_2} = \frac{\underline{Z}_3}{\underline{Z}_4}, \text{ deci}$$

$$\underline{Z}_1 \underline{Z}_4 = \underline{Z}_2 \underline{Z}_3, \text{ de unde}$$

$$\underline{Z}_1 \underline{Z}_4 = \underline{Z}_2 \underline{Z}_3 \text{ (condiție de modul)}$$

$$\varphi_1 + \varphi_4 = \varphi_2 + \varphi_3 \text{ (condiție de fază)},$$

în care  $Z_1, Z_2, Z_3$  și  $Z_4$  sunt modulele impedanțelor, iar  $\varphi_1, \varphi_2, \varphi_3$  și  $\varphi_4$  defazajele curentilor față de tensiune în brațele corespunzătoare.

Punțile de audiofrecvență se realizează astfel :  
 — un braț este impedanță necunoscută ( $\underline{Z}_x = R_x + jX_x$ ) ;

- două brațe sunt realizate din rezistențe pure reglabile ( $10 \Omega — 100 \Omega — 1\,000 \Omega — 10\,000 \Omega$ );
- un braț este realizat de impedanță  $Z_e = R_e + jX_e$ .

Echilibrul punții se poate obține în trei situații, care rezultă din conectarea impedanței  $Z_e$  într-unul din cele trei

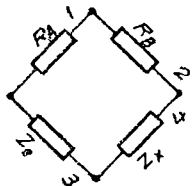


Fig. 1.23. Schema de principiu a punții la care impedanța etalon este intr-un braț alăturat impedanței necunoscute.

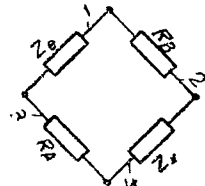


Fig. 1.24. Schema de principiu a punții la care impedanța etalon este într-un braț opus impedanței necunoscute.

brațe ce rămân disponibile prin conectarea în brațul al patrulea a impedanței  $Z_x$ .

A. Impedanța etalon  $Z_e$  conectată într-un braț alăturat impedanței necunoscute (fig. 1.23). La echilibru în acest caz se obține

$$\frac{X_x}{Z_e} = \frac{R_B}{R_A} > 0.$$

Deci cînd impedanțele sunt conectate în brațele alăturate ambele reactanțe trebuie să aibă același semn, deci sunt de același fel sau inductanțe sau capacitați. Se obțin astfel tipurile de punți de la pozițiile 1, 2, 3, 4 din tabelul 1.1.

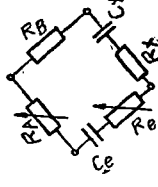
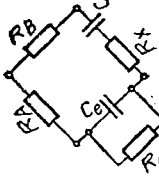
B. Impedanța etalon  $Z_e$  este conectată în brațul opus impedanței necunoscute  $Z_x$  (fig. 1.24). În acest caz la echilibru, aşa cum se poate vedea în detaliu în lucrarea [4] se obține

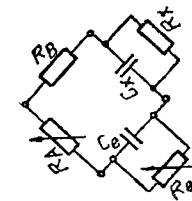
$$R_x X_e = R_e X_x, \text{ deci } \frac{X_e}{X_x} < 0.$$

Deci în acest caz reactanța  $X_e$  trebuie să fie de semn contrar lui  $X_x$ , ceea ce înseamnă că dacă una este reactanță inductivă, cealaltă obligatoriu trebuie să fie capacativă.

Pe acest principiu sunt construite tipurile de punți reprezentate la pozițiile 5—6 din tabelul 1.1.

Tabelul 1.1

Nr. crt.	Montaj	Schema punjii.	Echivalentul impiedantei $Z_x$	Natura impiedantici măsurăte
1.	Sauty		$L_x = \frac{R_B}{R_A} L_c ; R_x = \frac{R_B}{R_A} (R_c + R^*)$ $Q_x = \frac{\omega L_x}{R_x} = \frac{\omega L_c}{R_c} = Q_c$ <p>*) Rezistența proprie a bobinei</p>	Se măsoară inductanțele
2.	Sauty		$R_x = \frac{R_B}{R_A} R_c ; C_x = \frac{R_A}{R_B} C_c$ <p>factorul de disipație :  <math>\operatorname{tg} \delta = \omega C_x R_x = \omega C_c R_c = \Delta \omega</math></p>	Se măsoară capacitatea și rezistența este mică
3.	Wien		$R_x = \frac{R_A}{R_B} \cdot \frac{R_c}{1 + R_c^2 C_c^2 \omega^2}$ $\frac{1}{C_x} = \frac{R_A}{R_B} \frac{R_c^2 C_c}{1 + R_c^2 C_c^2 \omega^2}$ <p><math>\varphi = -\operatorname{arc} \operatorname{tg} R_p C_c \omega</math></p>	Se măsoară condensatoare cu pierderi mari

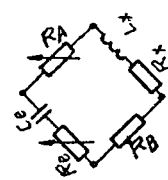


4.  
Nernst

$$R_x = \frac{R_B}{R_A} R_e$$

$$\operatorname{tg} \varphi = Q_x = \omega C_x R_x = \omega C_e R_e = Q_e$$

Se măsoară condensatoare cu pierderi mari sau rezistoare cu capacitate mare în paralel

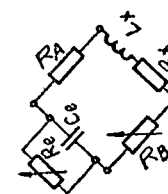


5.  
Hay

$$L_x = \frac{R_A R_B}{1 + \Delta_e^2} C_e \quad R_x = \frac{R_A R_B}{R_e(1 + Q_e^2)}$$

$$Q_x = \frac{\omega L_x}{R_x} = \frac{1}{\omega C_e R_e} = Q_e = \frac{1}{\Delta_e}$$

Se măsoară inducție cu factor de calitate mare



6.  
Maxwell

$$L_x = R_A R_B C_e : \quad R_x = \frac{R_A R_B}{R_e}$$

$$Q_x = \frac{\omega L_x}{R_x} = \omega C_e R_e$$

Se măsoară inducție cu factor de calitate mic

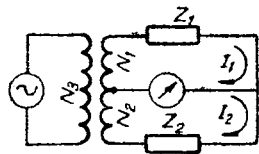


Fig. 1.25. Schema de principiu a unei punți diferențiale.

C. Inductanța  $Z_e$  este conectată în brațul 3 al punții. Acest caz coincide cu primul caz, dacă diagonala detector se schimbă cu diagonala în care se află sursa de alimentare.

O altă categorie de punți mult folosite sunt punțile diferențiale (fig. 1.25).

Dacă impedanțele au valori mari ele se montează în paralel. Puntea se echilibrează o dată fără impedanță necunoscută și o dată cu această impedanță montată. Din cele două citiri se determină admitanța.

Dacă impedanța de măsurat este de valoare mică ea se conectează în serie în brațul etalon. Măsurarea se face de asemenea în două etape.

Cu acest tip de punte se pot măsura capacitatea pînă la 20 000 pF, rezistențe între 10 Ω și 10 MΩ și printr-o metodă de rezonanță se pot măsura și inductanțele care intră în rezonanță cu capacitatea  $C_1$  la frecvențele cuprinse între 15 kHz și 20 MHz, domeniu în care lucrează puntea.

De menționat, că orice punct, la care în condiția de echilibru intervine frecvența, poate fi utilizat pentru determinarea frecvenței de lucru.

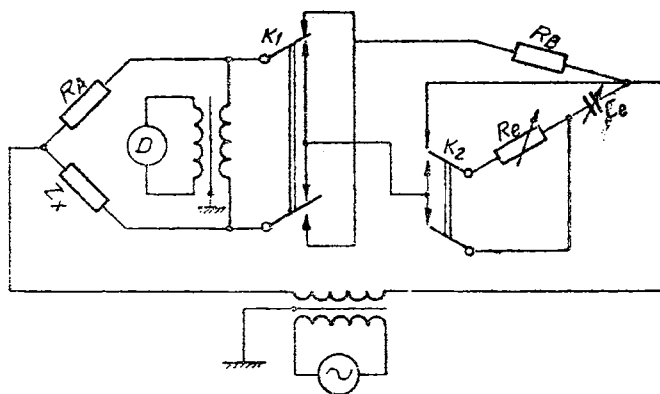


Fig. 1.26. Schema de principiu a punții universale.

Se dă ca exemplu schema de principiu a unei punții universale de măsurare, care și-a găsit o largă utilizare la măsurările de laborator (fig. 1.26).

Puntea universală permite ca printr-o comutare ușoară să se realizeze cîteva tipuri din punțile fundamentale și astfel să fie efectuate măsurări multiple.

#### 1.4.5. Osciloscoapele catodice

Osciloscopul este un aparat care permite vizualizarea pe un ecran a curbelor reprezentative ale unui fenomen fizic. Elementele principale ale osciloscopului (fig. 1.27) sunt prezentate în cele ce urmează :

*Tub catodic*, care are în interior două perechi de plăci perpendiculare, ceea ce permite reprezentarea pe ecranul tubului a unei funcții de o variabilă sau cu ajutorul unor montaje speciale, de două variabile independente.

*Amplificatoare* care au rolul de a amplifica semnalele electrice ce au o amplitudine insuficientă pentru a provoca o deflexie apreciabilă. Există două amplificatoare, cîte unul pentru fiecare pereche de plăci.

Amplificatorul pentru deviația verticală se află între semnalul de studiat și plăcile de deviație verticală. Amplifi-

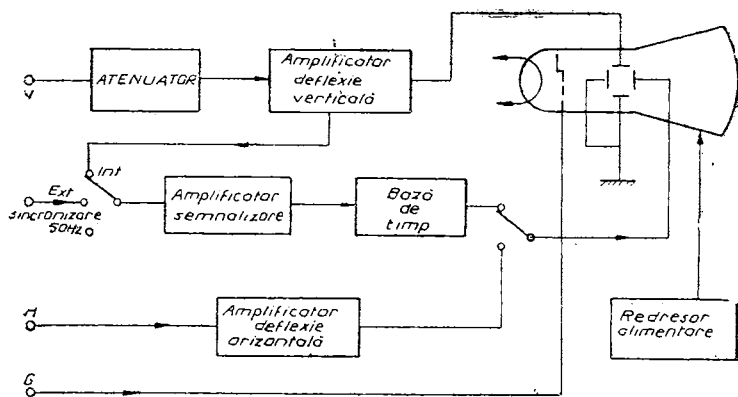


Fig. 1.27. Schema bloc a osciloscopului catodic.

catorul de deviație orizontală, printr-un comutator, permite înscrierea lui între baza de timp sau semnalul exterior și plăcile de deflecție orizontală.

*Generatorul de baleaj sau baza de timp.* Atunci cînd funcția de vizualizat este funcție de timp, este necesar să se aplice pe plăcile de deflexie orizontală o tensiune proporțională cu timpul, avînd forma unor dinți de fierastrău, care este produsă de generatorul de baleaj.

Generatorul de baleaj are și dispozitive de sincronizare a bazei de timp care asigură raportul necesar între frecvența tensiunii de baleaj și frecvența semnalului de studiat, cînd acesta este periodic în timp.

*Alimentarea necesară elementelor enumerate mai sus.* Tensiunea continuă se obține de la redresoare stabilizate incluse în osciloscopul catodic.

**Sincroscopul** este un osciloscop perfecționat care permite vizualizarea semnalelor neperiodice. Baza de timp la sincroscop este declanșată de semnalul de vizualizat.

Vizualizarea semnalelor rapide se face la viteze mari, ceea ce permite studierea imaginii, deoarece durata bazei de timp este apropiată de cea a semnalului.

Sincroscopul este prevăzut cu circuite care permit măsurarea amplitudinii semnalului; de asemenea sincroscopul cuprinde și circuite de stergere a imaginii, ceea ce face ca spotul să fie vizibil numai în timpul util al perioadei directe.

**Comutatorul electronic** este un dispozitiv cu ajutorul căruia se pot vizualiza simultan două sau mai multe semnale pe ecranul unui tub catodic cu un singur spot (fig. 1.28).

Tensiunile de vizualizat se aplică la cele două intrări ale comutatorului unde se află amplificatoarele  $A_1$  și respectiv  $A_2$ . La ieșirea amplificatoarelor se află conectat osciloscopul.

Multivibratorul va produce două tensiuni dreptunghiulare în opozitie de fază care se aplică amplificatorului  $A_1$  și  $A_2$  pentru a le bloca pe rînd și în fiecare perioadă apare semnalul de la un singur amplificator.

Comutatorul prezintă avantajul că poate permite să se varieze poziția relativă a celor două semnale vizualizate, aducîndu-le la suprapunere, sau depărțindu-le, ceea ce ușurează studiul și analiza curbelor.

Toate aceste aparate sunt necesare în laboratoarele de măsurări și verificări, atât pentru urmărirea formei curbelor de tensiune, cât și în tehnica impulsurilor, larg folosită în automatizarea verificărilor de contoare.

Dintre osciloscoapele folosite mai frecvent și care dau rezultate bune în acest domeniu cităm:

Osciloscopul de serviciu fabricat de IEMI cu o bandă de frecvență de 0...5 MHz, un coeficient de deviație verticală

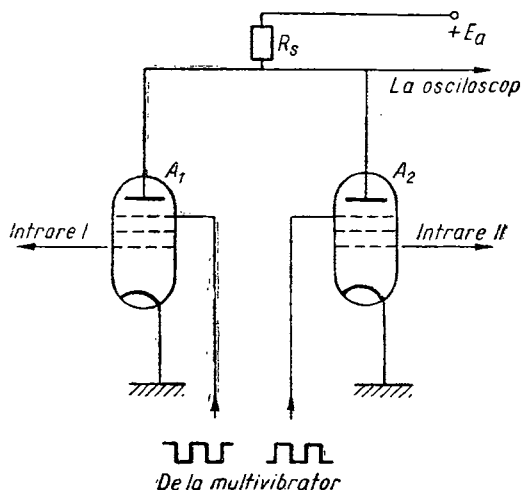


Fig. 1.28. Schema de principiu a comutatorului electronic.

20 mV/cm și un tub catodic de diametru 70 mm și osciloscopul universal E 0102, fabricat de aceeași întreprindere, complet tranzistorizat, cu banda de frecvență de 0...10 MHz, un coeficient de deviație verticală 20 mV/div, tub catodic cu ecran rectangular.

#### 1.4.6. Alte apărate folosite în laborator

Orice laborator trebuie să fie dotat cu apărături electrice universale de măsurat tip voltampermetru, în scopul măsurării parametrilor electrici ai instalațiilor, detectării scurt-circuitelor și a întreruperilor de circuit.

În esență, un *voltampermetru* este compus dintr-o schemă electrică cu posibilități multiple de măsurare (tensiuni și curenti în curent alternativ și continuu, rezistențe, capacitați etc.) și este etalonat în diverse mărimi (uneori în decibeli sau grade Celsius). Datorită construcțiilor diverse ale unor firme specializate care au creat tipuri originale, denumirile lor: Multizet, Avomet, Multavi etc., au devenit consacrate și echivalente cu denumirea de aparat universal.

Voltampermetrele sunt constituite dintr-un dispozitiv magnetoelectric de sensibilitate ridicată și rezistențe adiționale și șunturi cu care se realizează domeniile de măsură dorite în curent continuu. Gamele de măsurare în curent alternativ se realizează cu ajutorul unui redresor, folosin-

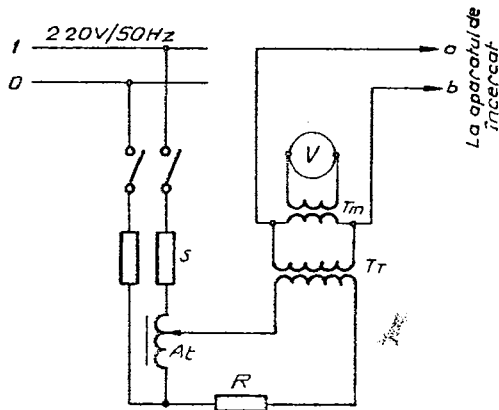


Fig. 1.29. Schema unei instalații pentru verificarea rigidității dielectrice.

du-se uzuial mai multe tipuri cu seleniu, cu cuproxid sau cu diode cu germaniu.

Redresarea aparatelor universale poate fi realizată cu montaje cu redresarea unei alternațe sau a ambelor alternațe, ultimul cunoscut sub numele de *punte Graetz*.

Creșterea sensibilității aparatului, strict necesară pentru obținerea unei rezistențe interne mari ( $20\ 000\ \Omega \dots 100\ 000\ \Omega/V$ ) cerută de măsurarea în montajele electronice, se face pe seama micșorării consumului.

Firma Goerz — Austria a realizat aparatele Unigor 3P, 6E cu rezistență internă de 100 000  $\Omega/V$ , având la bază dispozitive magnetoelectrice de 8  $\mu A$ . Rezultate asemănătoare au obținut și firmele Hartman-Braun R.F.G. și Metrix — Franța.

Pentru încercarea oricărui aparat electric sunt necesare instalații de străpungeri specializate pentru verificarea rigidității dielectricice (fig. 1.29). Aceasta furnizează o tensiune continuă sau alternativă sinusoidală pînă la 5 000 sau 10 000 V pentru a acoperi prevederile actelor normative pentru toate tipurile de aparate.

## **2. Verificarea aparatelor de măsurat indicatoare**

### **2.1. Clasificarea și caracteristicile principale ale aparatelor de măsurat indicatoare**

#### *2.1.1. Criterii de clasificare*

Criteriile principale după care se pot clasifica aparatelor electrice indicatoare sunt prezentate în cele ce urmează :

**După mărimea măsurată** — aparatelor se utilizează ca ampermetre, voltmetre, wattmetre, fazmetre, frecvențmetre, ohmmetre etc.

**După principiul de funcționare** — aparatelor se clasifică în construcțiile :

- magnetolectrice ;
- electromagnetice ;
- electrodinamice ;
- ferodinamice ;
- de inducție ;
- termoelectrice ;
- termice cu bimetal ;
- termice cu fir cald ;
- electrostatice ;
- cu lamele vibrante ;
- logometrice.

**După clasa de precizie** — aparatelor se fabrică pentru clasele 0,1 ; 0,2 ; 0,5 ; 1,0 ; 1,5 ; 2,5 ; 5,0.

**După numărul intervalelor de măsurare** — aparatele pot fi cu un singur interval sau cu mai multe intervale de măsurare.

**După modul de utilizare** — aparatele se clasifică în :

- aparate etalon ;
- aparate de precizie ;
- aparate de tablou ;
- aparate uzuale.

**După modul de protecție împotriva influențelor cîmpurilor magnetice și electrice exterioare** — aparatele se fabrică :

- fără ecranare ;
- cu ecranare magnetică sau electrostatică ;
- în construcție astatică.

**După modul de protecție împotriva acțiunii mediului înconjurător** — aparatele se fabrică în execuții :

- capsule ;
- ermetice ;
- impermeabile ;
- cu acoperiri pentru medii explozive sau corosive ;
- cu acoperiri pentru climă tropicală, umedă.

**După rezistență la solicitări mecanice** — aparatele se clasifică în construcții :

- obișnuite ;
- cu rezistență sporită și insensibile la șocuri și vibrații.

#### *2.1.2. Principalele date constructive ale aparatelor de măsurat indicatoare*

Aparatele de măsurat electrice indicatoare se compun din următoarele părți principale :

**Dispozitivul de măsurat** care sub acțiunea unei mărimi electrice produce o deplasare a unui element indicator.

Dispozitivul de măsurat este diferit în funcție de principiu sau de funcționare : magnetoelectric, electromagnetic, electrostatic etc.

**Schema aparatului** care are rolul de a transforma mărimea de măsurat într-o mărime ce poate fi evaluată de dispozitivul de măsurat.

Din punct de vedere constructiv la aparatele indicatoare se disting următoarele părți componente :

*Carcasa*, care are rolul de a proteja dispozitivul de măsurat și celelalte piese ale aparatului împotriva prafului, gazelor, umidității, acțiunilor mecanice etc. ; ea este construită din lemn, bachelită sau tablă.

*Acul indicator* are rolul de a arăta valoarea mărimii de măsurat prin deplasarea sa ; el este de diferite forme în funcție de precizia aparatului : lance, bară, lamă cuțit, cu fir etc.

La precizii deosebit de ridicate acul se înlocuiește cu o oglindă ce indică mărimea de măsurat printr-o pată luminosă numită — *spot luminos*.

*Scara* aparatului cuprinde totalitatea diviziunilor corespunzătoare domeniului de măsurare a aparatului. Prin intermediul ei este posibilă aprecierea valorii mărimii de măsurat indicate de acul indicator. Diviziunile sunt de obicei trasate pe o suprafață albă, care are ca suport hîrtie, tablă sau o placă izolantă. Ele sunt imprimate cu tuș, gravate, stanțate sau fotografiate.

Uneori suportul pe care sunt să trasate diviziunile este decupat și se lipsește dedesubt o oglindă amplasată imediat sub scara aparatului, întinzîndu-se pe toată lungimea ei, care reflectă imaginea acului indicator în scopul eliminării erorii de paralaxă.

*Axul și lagărele* numite și *chernei* respectiv *crapodine* au rolul susținerii echipamentului mobil în poziția de funcționare, permitînd acestuia să se rotească. La aparatele de precizie lagărele sunt confecționate din pietre prețioase (rubine, safire etc.), iar la cele foarte sensibile, axele și lagărele sunt înlocuite prin benzi de suspensie din materiale elastice.

*Arcul spiral* are rolul să creeze cuplul antagonist mecanic ; el este confecționat din materiale elastice (de obicei bronz fosforos). La aparatele de mare sensibilitate rolul acestuia este preluat de banda de suspensie.

*Amortizorul* servește la micșorarea numărului de oscilații, permitînd stabilizarea acului indicator pe valoarea măsurată. Există două tipuri constructive : pneumatice cu paletă sau piston și magnetice.

*Corectorul* are rolul să aducă indicatorul în poziția de zero a scării ; el este confecționat dintr-un șurub cu excentric

care rotește o piesă pe care este fixat unul din capetele arcului spiral.

În cadrul schemei de măsurare a aparatului se întâlnesc adesea traductoare care transformă mărimea de măsurat într-o mărime de altă natură măsurabilă cu dispozitivul de măsurat. Dintre acestea se enumeră :

*Suntul* este o rezistență ce se conectează în paralel cu dispozitivul de măsurat, în scopul extinderii intervalului de măsurare la ampermetre. El se confectionează interior sau exterior aparatului și cu valori interschimbabile sau neinterschimbabile și se verifică cu punte de tip Thomson fiind de valoare mică.

*Rezistența adițională* este o rezistență ce se conectează în serie cu dispozitivul de măsurat, în scopul extinderii intervalului de măsurare la voltmetre. Ca și suntul se confectionează interior sau exterior, interschimbabile sau neinterschimbabile și se verifică cu punți de tip Wheatstone, fiind de valoare mare.

*Redresorul* are rolul de a face măsurabil curentul alternativ cu un dispozitiv de măsurare de curent continuu (magnetoelectric).

*Termocuplul* intră în construcția aparatelor termoelectrice și are rolul de a măsura o tensiune sau curent prin efectul lor termic.

*Transformatoarele de măsură* intră cîteodată în schema aparatelor de curent alternativ pentru extinderea intervalelor de măsurare ale acestora.

### 2.1.3. Caracteristicile aparatelor de măsurat indicatoare

Principalele caracteristici care definesc calitățile metrologice ale aparatelor de măsurat indicatoare sunt următoarele :

**Sensibilitatea** — proprietatea unui aparat de măsurat de a percepe cele mai mici variații ale mărimei de măsurat.

**Justețea** — proprietatea aparatului de măsurat de a da indicații cît mai apropiate de valoarea adevărată a mărimei măsurate.

**Fidelitatea** — proprietatea aparatului de măsurat de a indica cu abateri foarte mici aceeași valoare la măsurarea repetată a aceleiași mărimi în condiții identice.

**Mobilitatea** — proprietatea unui aparat de măsurat de a reacționa cât mai repede la variația mărimii de măsurat.

**Fiabilitatea** — proprietatea unui aparat de măsurat de a-și păstra calitățile, în scopul îndeplinirii funcției pentru care a fost creat, după un timp de funcționare cât mai lung.

**Precizia** — proprietatea aparatului de măsurat care exprimă gradul de exactitate a măsurărilor efectuate cu el. Aceasta este condiționată de toate celelalte caracteristici enumerate mai sus și este apreciată prin „clasa de precizie“ a aparatului.

Tipurile de erori după care este caracterizată precizia aparatelor de măsurat indicatoare sunt:

*Eroarea absolută*  $\Delta$ : diferența dintre indicația aparatului și valoarea reală a mărimii măsurate.

$$\Delta = A - A_r$$

unde:  $A$  este indicația aparatului;

$A_r$  — valoarea reală a mărimii măsurate.

*Eroarea relativă*  $\eta$ : raportul dintre eroarea absolută a indicației și valoarea reală a mărimii măsurate, exprimat procentual

$$\eta\% = \frac{\Delta}{A_r} \cdot 100 = \frac{A - A_r}{A_r} 100.$$

*Eroarea raportată*  $\varepsilon$ : raportul dintre eroarea absolută și limita superioară de măsurare (domeniul de măsurare) exprimat procentual

$$\varepsilon\% = \frac{\Delta}{A_{max}} \cdot 100 = \frac{A - A_r}{A_{max}} 100.$$

Aparatele indicatoare de tip ampermetru, voltmetru, wattmetru sunt caracterizate prin eroarea raportată.

De obicei, pentru ohmmetre eroarea se dă în procente din lungimea porțiunii de lucru a scării gradate și anume:

$$E\% = (X_n - X_e) \frac{l}{L} 100,$$

unde :  $L$  este lungimea scării gradate în mm,  $l$  este diferența dintre reperele cele mai apropiate de punctul  $X_n$ , în mm, raportată la diferența indicațiilor celor două repere în ohmi.

## 2.2. Metode de verificare a aparatelor electrice indicatoare

În funcție de clasa de precizie și domeniul de măsurare a aparatului de verificat, precum și de etaloanele de care dispune laboratorul, aparatelor indicatoare pot fi verificate prin următoarele metode principale :

- metoda comparației (ampermetre, voltmetre, wattmetre, ohmmetre) ;
- metoda compensației (ampermetre, voltmetre, wattmetre) ;
- metoda de măsurare directă (ohmimetre) ;
- metoda divizorului inductiv de tensiune (ampermetre, voltmetre).

Având în vedere utilizarea largă a primelor trei metode, se va insista mai mult asupra metodei divizorului inductiv de tensiune care cîștigă un cîmp de întrebunțare din ce în ce mai mare.

### 2.2.1. Metoda comparației

Se folosește pentru verificarea ampermetrelor, voltmetrelor, wattmetrelor și ohmmetrelor de clasă 0,5 ; 1,0 ; 1,5 ; 2,5 ; 5,0.

Metoda constă în compararea indicațiilor aparatului de verificat cu un aparat etalon avînd o clasă de precizie de 3...5 ori mai bună.

Pentru exemplificare în fig. 2.1...2.5 se dau schemele de verificare prin metoda comparației a ampermetrelor, respectiv voltmetrelor, wattmetrelor monofazate.

Pentru verificarea ampermetrelor și voltmetrelor se întrebunțează ca etaloane, în afară de ampermetre și voltmetre de clasă 0,1 sau 0,2 de aceeași construcție, voltmetre electronice digitale de precizii 0,01% la 0,1%.

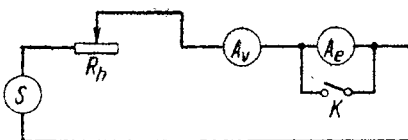


Fig. 2.1. Schema de verificare a ampermetrelor prin metoda comparației:  
S — sursă de curent ;  $R_h$  — reostat ;  
 $A_v$  — ampermetru de verificat ;  $A_e$  — ampermetru etalon ;  $K$  — intrerupator.

Fig. 2.2. Schema de verificare a voltmeterelor prin metoda comparației :

S — sursă de tensiune ;  $R_h$  — reostat ;  $V_v$  — voltmetru de verificat ;  $V_e$  — voltmetru etalon ;  $k$  — intrerupator.

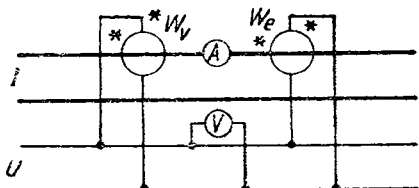
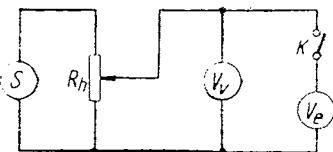


Fig. 2.3. Schema de verificare a wattmetrelor monofazate prin metoda comparației :  
 $W_v$  — wattmetru de verificat ;  
 $W_e$  — wattmetru etalon.

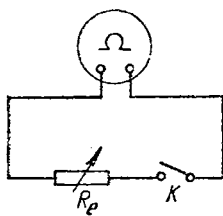


Fig. 2.4. Schema de verificare a ohmmetrelor prin comparație cu o cutie de rezistențe etalon :

$\Omega_v$  — ohmmetrul de verificat ;  $\Omega_e$  — cutie de rezistență etalon ;  $k$  — intrerupator.

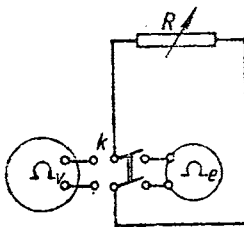


Fig. 2.5. Schema de verificare a ohmmetrelor prin comparație cu un ohmmetru etalon :

$\Omega_v$  — ohmmetrul de verificat ;  $\Omega_e$  — ohmmetrul etalon ;  $R$  — reostat ;  $k$  — intrerupator.

### 2.2.2. Metoda compensației

Se folosește pentru verificarea ampermetrelor, voltmetrelor și wattmetrelor de precizie superioară (clasă 0,1 și 0,2).

Schema de principiu a compensatorului de curent continuu este dată în fig. 2.6. În principiu funcționarea acestor compensatoare, se bazează pe faptul că, dacă două tensiuni electromotoare de valori egale se leagă în opoziție, prin circuitul astfel format nu va trece nici un curent. Avantajul acestui principiu constă în posibilitatea de a se măsura tensiuni electrice fără a se consuma energie din circuitul respectiv. Compensatorul este o sursă de tensiune variabilă de valori cunoscute. Această tensiune se reglează pînă cînd se echilibrează valoarea tensiunii necunoscute aplicată la bornele compensatorului, ceea ce se obține prin indicarea lipsei curentului în galvanometrul  $G$  din schemă.

Operația de măsurare este precedată de operația de tarare, adică de reglarea curentului auxiliar produs de baterie  $B$ , prin reostatul  $R_h$  pînă cînd se echilibrează curentul

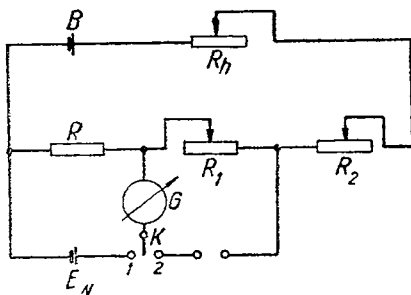


Fig. 2.6. Schema de principiu a compensatorului de curent continuu :

$B$  — baterie ;  $E_N$  — element normal Weston ;  $R_h$  — reostat ;  $R$  — rezistență de compensație a circuitului elementului normal ;  $R_1$ ,  $R_2$  — rezistențe de valori cunoscute ;  $K$  — comutator.

din circuitul elementului Weston ( $k$  în poziția 1) moment ce este indicat de valoarea zero a galvanometrului.

Cea mai utilizată instalație de compensație, în laboratoarele metrologice de precizie din țară este compensatorul Norma — Austria tip Mod. 88 M.

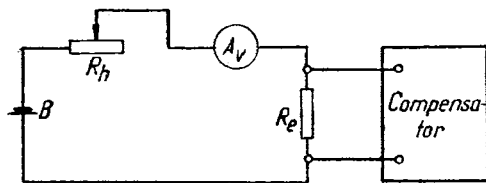


Fig. 2.7. Schema de verificare a ampermetrelor prin metoda compensatorului:

$B$  — baterie ;  $R_h$  — reostat ;  $A_v$  — ampermetru de verificat ;  $R_e$  — rezistențe etalon.

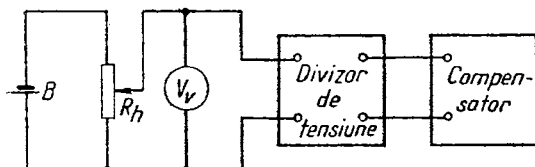


Fig. 2.8. Schema de verificare a voltmetrelor prin metoda compensatorului:

$B$  — baterie ;  $R_h$  — reostat ;  $V_v$  — voltmetru de verificat.

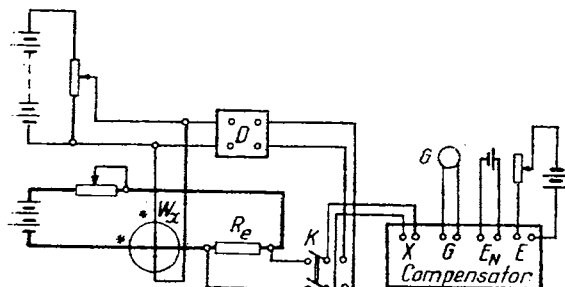


Fig. 2.9. Schema de verificare a wattmetrului monofazat cu ajutorul compensatorului.

Calitățile sale constau, — în afară de precizia de 0,015% și stabilitatea în timp a caracteristicilor sale — în concentrarea în instalație a tuturor aparatelor cu care se poate asigura verificarea ampermeterelor, voltmetrelor, wattmetrelor monofazate de precizie, cum ar fi diverse compensatoare, punțile Thomson și Wheatstone, rezistențe normale, elemente Weston.

Instalația Norma are încorporat în afară de compensatorul principal, un compensator auxiliar, o punte Thomson — Wheastone, un set de rezistențe normale, 2 elemente Weston și un ansamblu de reostate pentru reglajul tensiunii și curentului.

Pentru verificarea prin metoda compensatorului a ampermeterelor, voltmetrelor și wattmetrelor monofazate se utilizează schemele din figurile 2.7...2.9.

### 2.2.3. Metoda de măsurare directă

Se folosește pentru verificarea ohmmetrelor indiferent de principiul lor de funcționare, precum și a punților, faradmetrelor etc., care măsoară elemente de circuit.

Pentru verificarea ohmmetrelor prin această metodă se utilizează cutii de rezistențe de precizie, reglabile care să permită realizarea de trepte de cel puțin 0,1 din valoarea erorii admisibile pentru aparatul care se verifică.

### 2.2.4. Metoda divizorului inductiv de tensiune

Introducerea dispozitivelor inductive de raport au avut consecințe profunde în tehnica măsurilor electrice de mare precizie. Nu este vorba de o simplă înlocuire a unor dispozitive de raport cu unele mai precise, ci despre o serie de noi posibilități care conduc la modificări fundamentale în însăși concepția de realizare a unor scheme de măsurare.

În fig. 2.10 este reprezentată schema unui divizor de tensiune obișnuit realizat cu ajutorul a două impudențe  $Z_1$  și  $Z_2$ . Presupunând că divizorul funcționează în gol, raportul de divizare este

$$\frac{U_2}{U_1} = \frac{Z_2}{Z_1 + Z_2}$$

și depinde de raportul celor două impiedanțe. Stabilitatea acestui raport este legată de unele constante de material și de dimensiuni care pot varia în timp.

În fig. 2.11 este reprezentată schema unui divizor inductiv de tensiune realizat cu ajutorul unor bobine cuplate

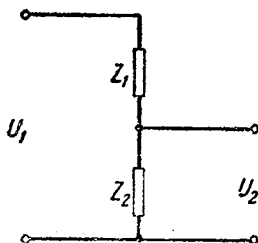


Fig. 2.10. Divizor de tensiune cu impedanțe.

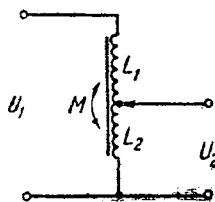


Fig. 2.11. Divizor de tensiune inductiv.

strîns între ele. La funcționarea în gol, în cazul ideal, în care dispersia magnetică este nulă, raportul de divizare este

$$\frac{U_2}{U_1} = \frac{N_2}{N_1 + N_2}$$

în care  $N_1$  și  $N_2$  sunt numerele de spire ale celor două secțiuni. Se poate ușor arăta că relația se păstrează chiar dacă cuplajul nu este perfect; este suficient ca inductanțele de dispersie să fie proporționale cu numerele de spire corespunzătoare ale înfășurărilor. Introducind

$$L_1 = \frac{N_1}{N_2} M + \lambda_1, \text{ și } L_2 = \frac{N_2}{N_1} M + \lambda_2,$$

în care  $\lambda_1$  și  $\lambda_2$  sunt inductanțele de dispersie

$$\lambda_1 = aN_1; \lambda_2 = aN_2$$

se obține :

$$\frac{U_2}{U_1} = \frac{L_2 + M}{L_1 + L_2 + 2M} = \frac{\frac{N_2}{N_1} M + aN_2 + M}{\frac{N_1}{N_2} M + aN_1 + \frac{N_2}{N_1} M + aN_2 + 2M} = \frac{N_2}{N_1 + N_2}.$$

În consecință raportul de divizare depinde numai de raportul unor numere de spire și nu depinde de vreo constantă de material sau de dimensiuni, fiind foarte stabil și independent de factorii de mediu. În mod similar se poate arăta că și efectul rezistențelor celor două secțiuni ale înfășurării este nul dacă rezistențele sunt proporționale cu numerele de spire.

Impedanța de intrare a divizorului inductiv poate fi făcută foarte mare, prin alegerea corespunzătoare a numărului de spire. În același timp, impedanța de ieșire poate fi foarte mică, fiind dată în principal de rezistențele înfășurărilor. Impedanța de intrare de valoare ridicată asigură o influență mică a divizorului asupra circuitului de alimentare, iar impedanța de ieșire de valoarea coborâtă reduce influența impedanțelor perturbatoare față de masă și a altor cuplaje parazite.

Pentru obținerea unor trepte de divizare mai mici, divizoarele inductive pot fi conectate în cascadă. Pentru a realiza varierea raportului de divizare în trepte de 0,1, divizorul inductiv trebuie construit cu înfășurarea formată din 10 secțiuni identice, conectate în serie. În fig. 2.12 este arătată cea mai răspândită schemă pentru obținerea unor decade succesive. Comutatoarele duble sunt acționate simultan și permit însumarea tensiunilor de pe fiecare decadă. Raportul de divizare rezultat se citește direct, sub formă de fracție zecimală, pe indicatoarele numerice ale comutatoarelor.

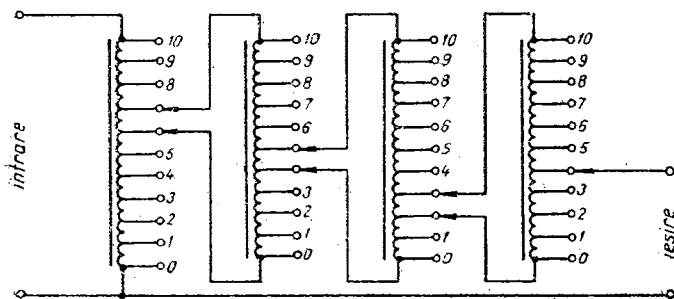


Fig. 2.12. Divizor inductiv cu mai multe decade.

**Erori ale divizoarelor inductive.** Raportul de divizare poate fi exprimat prin

$$\frac{U_2}{U_1} = D + \alpha + j\beta,$$

unde :  $D$  este raportul nominal de divizare,  $\alpha$  este eroarea de raport, iar  $\beta$  este eroarea de unghi. Eroarea unui divizor cu mai multe decade se compune din *erorile fiecărei decade* în parte și din erorile *datorită interconectării decadelor*. La rîndul lor, erorile decadelor pot fi împărțite în *erori de frecvență joasă* și *erori de frecvență înaltă*.

*Erorile de frecvență joasă* se produc din următoarele cauze principale :

- inegalitatea fluxurilor magnetice prin secțiunile înfășurării ;
- inegalitatea inductanțelor de dispersie ale secțiunilor ;
- inegalitatea rezistențelor secțiunilor.

În cazul miezurilor moderne de mare permeabilitate, al formei toroidale, care prezintă o bună simetrie, și al înfășurărilor cu secțiuni torsadate între ele, erorile datorate inegalității fluxurilor magnetice sunt doar de ordinul  $10^{-8}$ .

Pentru micșorarea erorilor datorate inegalității inductanțelor de dispersie este necesar ca inductanțele de dispersie ale celor 10 secțiuni să fie cît mai mici, diferențele între inductanțele de dispersie ale celor 10 secțiuni să fie cît mai mici și inductanța  $L$  să fie cît mai mare. Aceste erori sunt dependente de tensiunea aplicată divizorului și de frecvență. În general erorile scad odată cu creșterea tensiunii, pentru tensiuni nu prea mari, și cresc odată cu creșterea frecvenței. La construcții îngrijite și materiale magnetice bune, erorile datorate inegalității inductanțelor de dispersie sunt de obicei sub  $10^{-7}$ .

Pentru ca erorile datorate inegalității rezistențelor secțiunilor să fie mici, este necesar ca rezistențele secțiunilor înfășurării să fie mici, diferențele valorilor acestor rezistențe să fie mici, inductanța  $L$  să fie mare și pierderile în materialul magnetic să fie mic. Aceste erori variază și ele cu tensiunea aplicată și cu frecvența. La mai multe divizoare inductive, erorile de acest tip constituie componenta cea mai importantă

a erorilor globale. Ele pot fi reduse sub  $10^{-7}$ , folosind materiale magnetice de bună calitate și o construcție corespunzătoare.

Factorul determinant al *erorilor care apar la frecvențe înalte* îl constituie capacitațiile parazite dintre înfășurări. Pentru micșorarea capacitațiilor dintre secțiunile înfășurărilor se poate merge pe două căi: sau mărirea distanțelor dintre conductoarele secțiunilor, sau scăderea numărului de spire. Prima posibilitate conduce însă la creșterea inadmisibilă a inductanțelor de dispersie, iar a doua mărește nesimetriile dintre secțiuni. Rezultă că funcționarea divizoarelor inductive este limitată la frecvențe înalte de creșterea excesivă a erorilor datorate capacitațiilor parazite. În mod normal este greu de realizat o precizie mai bună de  $10^{-4} \dots 10^{-5}$  la frecvențe de ordinul 10 kHz.

*Erorile datorită interconectării decadelor*, în cazul decadelor bobinate pe același miez, apar din cauza modificării cuplajului dintre secțiunea șuntată și restul înfășurării, a inductanței secțiunii, respective și a rezistenței sale echivalente. Aceste erori au fost evaluate la  $10 \dots 15 \cdot 10^{-6}$ . În cazul în care decadele interconectate sunt pe miezuri diferite, eroarea care apare este datorată rezistenței secțiunii șuntate și componentei rezistive a impedanței de intrare a decadei următoare. Folosind materiale de bună calitate, eroarea de acest tip poate fi de ordinul  $10^{-6} \dots 10^{-7}$ .

Divizoarele inductive pot prezenta *erori și datorită modului necorespunzător de utilizare*. Astfel, la funcționarea în sarcină apar erori suplimentare. Pentru a putea folosi integral precizia foarte mare a divizoarelor inductive, acestea trebuie să lucreze pe impedanțe suficient de mari (de exemplu pe rezistențe de zeci de megohmi și capacitați de cel mult sute de picofarazi).

*Erori pot fi produse și de cuplajele magnetice parazite cu surse exterioare perturbatoare*. Aceste erori sunt neglijabile la divizoarele de construcție modernă, datorită bobinilor toroidale și ecranelor magnetice cu care sunt prevăzute.

Alte *erori* pot proveni din *magnetizarea miezurilor*, care poate apărea spre exemplu la trecerea accidentală a unui curent continuu prin înfășurări sau la depășirea tensiunilor de intrare admisibile. În aceste cazuri este necesară demag-

netizarea divizorului prin aplicarea, la intrare, a unei tensiuni alternative suficient de mari și scăderea ei treptată pînă la zero.

**Schemele de utilizare a divizoarelor inductive.** Numărul schemelor posibile de utilizare a divizoarelor de tensiune este foarte mare. Cunoscînd schemele fundamentale de conectare a divizorului inductiv, se pot ușor imagina și alte scheme adaptate diverselor necesități.

În fig. 2.13 sînt redate cele 6 scheme fundamentale de conectare a unui divizor inductiv, presupunîndu-se că divizoarele de tensiune lucrează în gol și divizoarele de curent lucrează în scurtcircuit.

Conecțarea ca divizor de tensiune este cea mai obișnuită. Raportul dintre tensiunea de intrare  $U_1$  și cea de ieșire  $U_2$  este

$$\frac{U_2}{U_1} = k,$$

unde  $k$  este raportul de divizare citit direct pe decadele divizorului.

La conectarea ca divizor inductiv de curent, raportul dintre curentul de intrare  $I_1$  și ieșire  $I_2$  este

$$\frac{I_2}{I_1} = k.$$

Conecțarea ca autotransformator de raport de tensiune se utilizează pentru obținerea a două tensiuni de ieșire  $U'_2$  și  $U''_2$ , într-un raport cunoscut

$$\frac{U'_2}{U''_2} = \frac{1 - k}{k}.$$

În cazul utilizării divizorului inductiv ca autotransformator de raport de curent, se obțin doi curenti în raportul

$$\frac{I'_2}{I''_2} = \frac{k}{1 - k}.$$

În cazul comparatorului de tensiune, conectîndu-se la ieșire un indicator de nul, pentru  $U_2 = 0$ , raportul tensiunilor comparate este

$$\frac{U'_1}{U''_1} = \frac{1 - k}{k}.$$

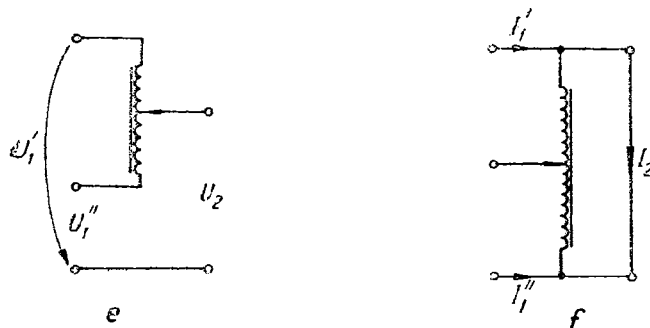


Fig. 2.13. Schemele fundamentale de conectare a divizorului inductiv:

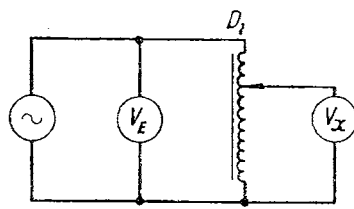
a — divizor de tensiune; b — divizor de curent; c — autotransformator de raport de tensiune; d — autotransformator de raport de curent; e — comparator inductiv de tensiune; f — comparator inductiv de curent.

În cazul comparatorului inductiv de curent, pentru  $I_2 = 0$ , raportul curenților este

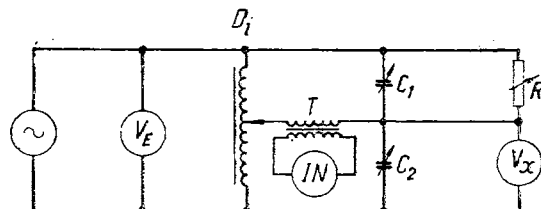
$$\frac{I'_1}{I''_1} = \frac{k}{1-k}.$$

Utilizarea divizorului inductiv ca divizor de tensiune se poate aplica la etalonarea voltmetrelor, a divizoarelor de tensiune, a atenuatoarelor, a compensatoarelor, a transformatoarelor de tensiune etc.

În fig. 2.14 sunt indicate două scheme pentru etalonarea unui voltmetru. Prima schemă (fig. 2.14, a) se utilizează în cazul în care voltmetrul, conectat la ieșirea divizorului inductiv, are impedanță de intrare suficient de mare. Așa cum este desenată schema, se presupune că voltmetrul etalon



a



b

Fig. 2.14. Scheme pentru etalonarea unui voltmetru :  
a — etalonare directă ; b — etalonare cu compensare.

$V_E$  măsoară tensiuni mai mari decât voltmetrul de verificat  $V_x$ ; în caz contrar voltmetrele se schimbă între ele. Avantajul acestei scheme constă în posibilitatea etalonării în

limite largi a tensiunii, în raport cu un singur etalon de tensiune fixă.

Schema de etalonare cu compensare în fig. 2.14, b este utilă pentru etalonarea voltmetrelor de impedanță mai mică (sub  $10 \dots 20 \text{ k}\Omega$ ) și practic pur rezistivă. Tensiunea de alimentare este divizată cu ajutorul unui rezistor variabil  $R$  și voltmetrul  $V_x$ . Cele două condensatoare variabile  $C_1$  și  $C_2$  servesc la echilibrarea fazelor. Transformatorul de simetrizare  $T$  permite ca atât sursa, cât și indicatorul de nul  $IN$  să aibă cîte un punct la masă.

În fig. 2.15 este dată o schemă de etalonare a unui divizor de tensiune  $D$ , care poate fi un divizor rezistiv, capacativ sau inductiv, un atenuator etc. Tensiunea  $U$  este o ten-

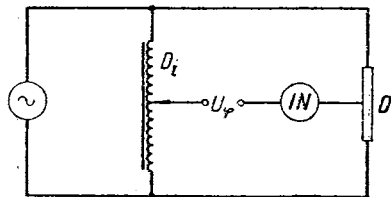


Fig. 2.15. Etalonarea unui divizor de tensiune.

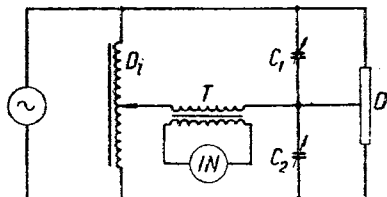


Fig. 2.16. Etalonarea unui divizor de tensiune rezistiv.

siune defazată cu  $90^\circ$  față de tensiunea sursei, necesară pentru compensarea diferenței unghiurilor de fază ale celor două divizoare.

În fig. 2.16 este dată o schemă care poate fi folosită la etalonarea unui divizor rezistiv. Compensarea diferenței erorilor de fază se face cu ajutorul a două condensatoare  $C_1$  și  $C_2$ .

În fig. 2.17 sunt indicate 3 scheme pentru etalonarea unui ampermetru. Prima schemă poate fi utilizată în cazul în care ampermetrul conectat la ieșirea divizorului de curent

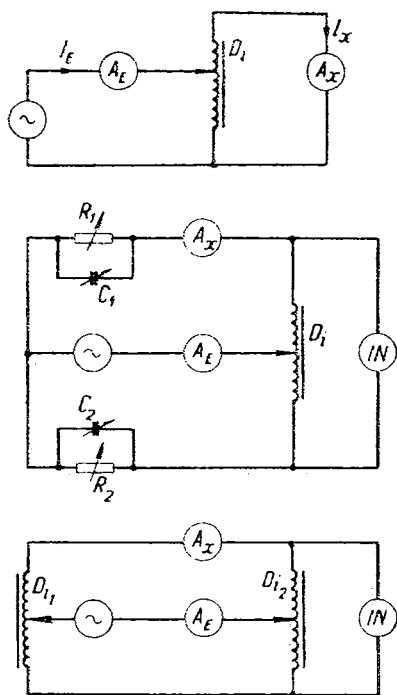


Fig. 2.17. Scheme pentru etalonarea ampermetrelor.

are o impedanță suficient de mică. Așa cum este desenată prima schemă, curentul  $I_x$  prin aparatul de etalonat  $A_x$  este mai mic decât curentul  $I_E$  prin aparatul etalon

$$I_x = k \cdot I_E.$$

Dacă curentul prin ampermetrul de etalonat  $A_x$  este mai mare decât curentul admis prin ampermetrul etalon  $A_E$ , atunci cele două instrumente se inversează între ele. Această schemă are avantajul că se poate folosi un singur aparat

etalon pentru verificarea ampermetrelor cu gamă largă a valorilor curenților. Metoda poate fi folosită la curenți care nu depășesc valoarea admisă la ieșirea divizorului inductiv. Pentru curenți mai mari se pot folosi transformatoare de curent.

A doua schemă indicată în fig. 2.17 se folosește la etalonarea ampermetrelor cu impedanță mai mare. În această schemă compensarea curenților este controlată prin indicatorul de nul  $IN$ . Se regleză  $R_1$  pentru a căpăta indicația dorită la ampermetrul de verificat  $A_x$  și apoi se variază raportul  $k$  de divizare al divizorului inductiv  $D_i$  pînă la obținerea echilibrului.

Rezistorul  $R_2$  poate avea o valoare arbitrară, iar condensatoarele  $C_1$  și  $C_2$  servesc la echilibrarea fazelor celor doi curenți. Cu ajutorul schemei a treia din fig. 2.17 se pot etalonă ampermetre la frecvențe suficient de joase și reactanțe neglijabile, unde echilibrarea fazelor nu este necesară. Divizorul inductiv auxiliar  $D_{i2}$  servește la reglarea raportului curenților, iar sursa furnizează un curent reglabil ca intensitate.

### 2.3. Cîteva instalații realizate pentru verificarea aparatelor de măsurat electrice indicate

Avînd în vedere că în general aparatele de măsurat indicate de tipul ampermetru, voltmtru, wattmetru ca și elementele lor anexe, rezistențe adiționale și șunturi interschimbabile, se verifică în laboratoarele metrologice cu montaje realizate pe mese de lucru după schemele arătate la subcapitolul 2.2 sau cu compensatoare cunoscute, în cadrul acestui subcapitol vor fi prezentate cîteva instalații utilizate pentru verificarea în producția de serie a aparatelor de măsură realizate de diferite întreprinderi producătoare.

În ceea ce privește verificarea wattmetrelor trifazate, avînd în vedere identitatea instalațiilor folosite în acest scop cu unele din cele folosite la verificarea contoarelor, descrierea acestora se va face cu ocazia descrierii instalațiilor pentru conțoare la cap. 4.

### *2.3.1. Instalațiile de reglat și verificat ampermetre electromagnetice*

Stația, realizată prin autoutilare la uzina Electromagnetică (fig. 2.18), servește la etalonarea ampermetrelor de curenț alternativ cu clasele de precizie 1,5 și 2,5. Măsurarea se face prin compararea indicațiilor ampermetrelor de verificat cu indicațiile unui ampermetru etalon  $A_E$ .

Ampermetrele de încercat se leagă la bornele  $A_1$  și  $A_2$ . Cu ajutorul autotransformatorului  $At$  se regleză curențul la valoarea dorită. Rezistențele  $R_L$  de limitare a curențului sunt necesare pentru a elimina variațiile curențului datorită legăturilor imperfekte.

Pentru eliminarea variațiilor tensiunii rețelei, stația este alimentată prin intermediul unui stabilizator astfel încât curba curențului este practic sinusoidală (distorsiuni sub 5%).

### *2.3.2. Instalație de reglat și verificat voltmetre electromagnetice*

Instalația (fig. 2.19) a fost confectionată pentru a servi la etalonarea voltmetrelor de curenț alternativ din fabricația uzinei Electromagnetică. Se verifică instrumente cu clase de precizie de 1,5 și 2,5, cu ajutorul unui voltmetru etalon. Voltmetrele de verificat se leagă în paralel la bornele  $V_1$  și  $V_2$ . Tensiunea se regleză la valoarea dorită cu ajutorul unui autotransformator  $At$ .

Instalația este alimentată prin intermediul unui stabilizator. Stabilizatorul, autotransformatorul  $At$  și transformatorul  $T$  sunt astfel dimensionate (inducție 6000 Gs) încât să nu introducă distorsiuni.

### *2.3.3. Stand pentru reglat și verificat șunturi*

Standul a fost realizat la uzina Electromagnetică București în scopul ajustării și verificării șunturilor fabricate de către uzină.

Standul (fig. 2.20) este prevăzut cu o punte Thomson  $Th$ . Alimentarea se face de la un grup motor-generator. Excita-

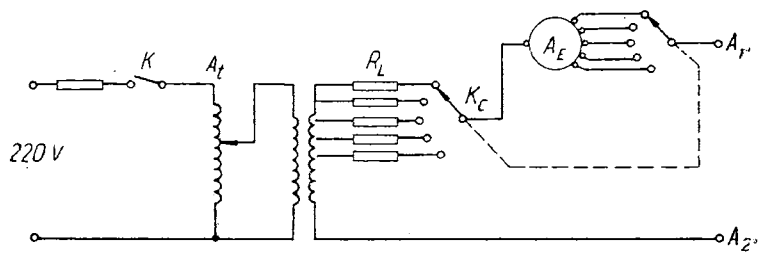


Fig. 2.18. Instalație de reglat și verificat ampermetre electromagnetice la frecvență de 50 Hz.

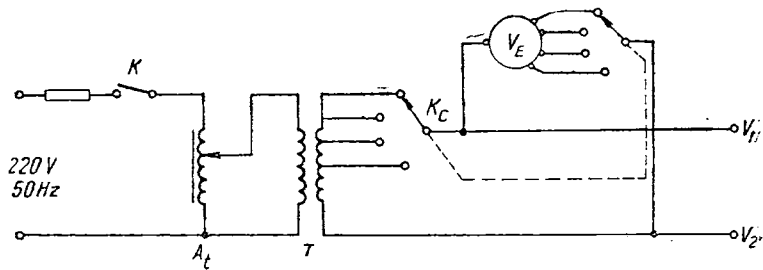


Fig. 2.19. Instalație de reglat și verificat voltmetre electromagnetice.

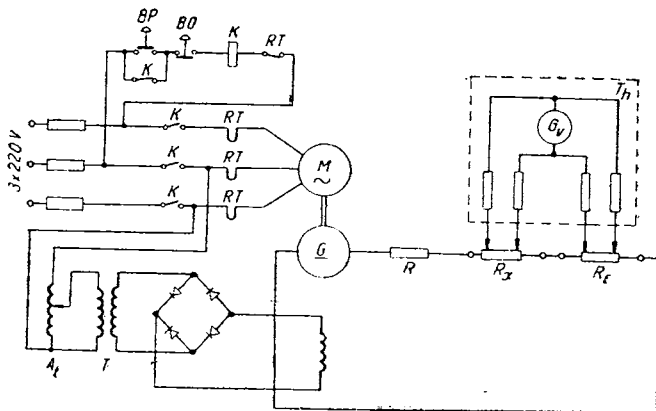


Fig. 2.20. Stand de reglat și verificat șunturi.

tația generatorului de curent continuu este alimentată separat prin intermediul unui autotransformator cu cursor, astfel încât curentul prin șunt poate fi reglat de la zero pînă la valoarea nominală 200 A. Standul este alimentat de la rețeaua trifazată  $3 \times 220$  V — 50 Hz.

### *2.3.4. Instalație cu tensiuni predeterminate pentru etalonarea voltmetrelor de curent alternativ*

Această instalație a fost construită la uzina Electromagnetică — București pentru etalonarea voltmetrelor de curent alternativ de clasă 1,5 și 2,5. Instalația (fig. 2.21) furnizează tensiuni stabilizate la valori predeterminate din 0,1 V în 0,1 V pînă la 600 V. Tensiunile stabilizate se obțin cu o precizie de  $\pm 0,5\%$ . Puterea debitată de instalație este de maxim 150 VA. Tensiunea de alimentare a instalației este de 120 V, putînd varia de la 90 V la 130 V. Instalația nu deformează practic forma tensiunii de ieșire, aceasta depinzînd doar de forma tensiunii de alimentare.

Stabilizatorul este prevăzut cu butoane  $B_1 \dots B_4$  ( $6 \times 100$  V;  $10 \times 10$  V;  $10 \times 1$  V și  $10 \times 0,1$  V) cu ajutorul cărora se obțin tensiunile dorite.

Pentru compensarea sarcinii, instalația este prevăzută cu un instrument indicator ( $mA$ ) pe care este gravată plaja de funcționare. Cu ajutorul comutatorului  $CS$  de compensare a sarcinii se aduce acul instrumentului în interiorul plajei de funcționare. Această compensare se face pentru fiecare schimbare de sarcină.

Instalația mai este prevăzută cu un comutator pentru corectarea erorii. Pentru cazurile cînd este necesar ca eroarea să fie mai mică de  $0,5\%$  (care se obține în mod normal) se poate face corecția necesară cu ajutorul unui voltmetru etalon, compensator sau alt mijloc de măsurare a tensiunii prin intermediul comutatorului  $CE$ .

Elementul de reglare a valorii tensiunii îl constituie bobina  $BP$  premagnetizată în curent continuu. Bobina are un circuit magnetic format din tole de transformator. Impedanța bobinei depinde de valoarea curentului de comandă. Transformatorul  $TF$  prevăzut în secundar cu prizele necesare

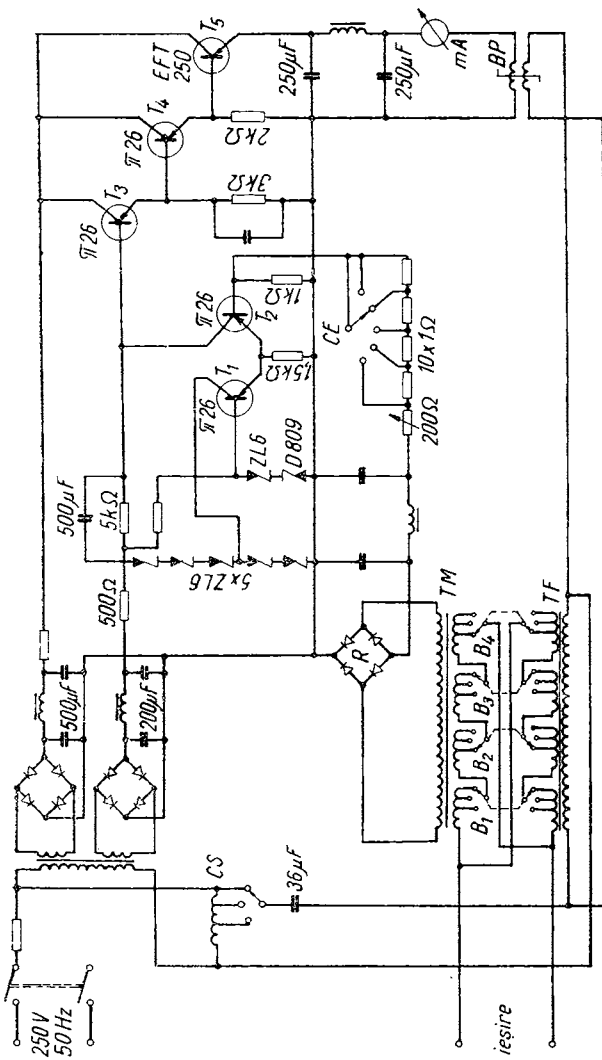


Fig. 2.21. Schema instalației cu tensiuni predeterminate pentru etalonarea voltmetrelor de curenț alternativ.

pentru obținerea tuturor valorilor de tensiune, are primarul în paralel cu bobina  $BP$ . În serie cu aceste două elemente în paralel, se află o impedanță formată dintr-un condensator. Tensiunea pe transformatorul  $TF$  depinde de valoarea impedanței bobinei  $BP$  și deci de valoarea curentului de comandă al acesteia. Tensiunea de ieșire este transformată de transformatorul de măsură  $TM$ , astfel încât tuturor valorilor tensiunii de ieșire le corespunde în secundar o singură valoare. Această tensiune este redresată cu ajutorul redresorului  $R$  și apoi comparată cu tensiunea de referință dată de diodele  $ZL6$  și  $D809$ . Dioda  $D809$  conectată în sens direct compensează erorile de temperatură introduse în dioda  $ZL6$ .

Cele cinci diode  $ZL6$  dispuse în serie împreună cu rezistența de  $500 \Omega$ , formează primul etaj de stabilizare al blocului tensiunii de referință, alimentând în același timp amplificatorul de curent continuu format din tranzistoarele  $\Pi 26$  și  $EFT 250$ . Amplificatorul are un prim etaj de amplificare diferențial format din tranzistoarele  $T_1$  și  $T_2$ .

Tensiunile stabilizate se obțin cu o precizie de  $0,5\%$ , suficientă pentru instrumentele de clasă  $1,5$  și  $2,5$ . Precizia relativ mică se dătoarește faptului că mărimea tensiunii de ieșire depinde de forma curbei și de temperatură. Dependența de forma curbei tensiunii se dătoarește faptului că, trecerea de la tensiunea alternativă la cea continuă, pentru a putea fi comparată cu tensiunea de referință, se face prin redresare. Valoarea tensiunii redresate comparate, este egală cu valoarea de vîrf a semiperioadei tensiunii alternative. Cu alte cuvinte, instalația prezentată stabilizează valoarea de vîrf și nu valoarea medie a semiperioadei alternative. De asemenea, există o dependență de temperatura mediului ambiant, deoarece variațiile tensiunii de referință dată de dioda  $ZL6$  nu sunt perfect compensate de dioda  $D809$ .

### *2.3.5. Instalație stabilizată de curent continuu cu valori predeterminate ale curentilor*

Pentru etalonarea miliampmetrelor de curent continuu ale uzinei Electromagnetica s-a confecționat o sursă de curent continuu cu valori predeterminate. Curentul dorit se obține

prinț-o apăsare pe butoanele unei claviaturi. Se poate obține orice curent între 1 mA și 999 mA din 1 mA în 1 mA. Precizia de obținere a curenților este  $\pm 0,5\%$  suficientă pentru producția miliampermetrelor în clasă 1,5 a uzinei Electromagnetica.

Stabilizatorul se compune din 3 plăci stabilizatoare. Prima furnizează curenți de la 1 mA la 9 mA din 1 mA în 1 mA. A doua placă furnizează curenții de la 10 mA la 90 mA din 10 mA în 10 mA. Placa a treia furnizează din 100 mA în 100 mA curenții de 100 mA la 1 000 mA. Toate cele trei plăci debitează în paralel pe bornele de ieșire ale stabilizatorului. Din combinațiile curenților debitati de cele trei plăci rezultă valorile dorite ale curenților furnizați de stabilizator.

Din cauza dimensiunii, schema nu a fost introdusă în prezența lucrare, cei interesați putind să se documenteze din lucrarea [20].

#### *2.3.6. Instalație stabilizată de curent continuu cu valori predeterminate de tensiuni*

În cadrul uzinei Electromagnetica s-a realizat un stabilizator, cu tensiuni predeterminate, pentru etalonarea voltmetrelor de curent continuu din producția curentă. Tensiunile dorite se obțin prinț-o simplă apăsare pe butoanele unei claviaturi. Se obține orice tensiune dorită între 1...99,9 V din 0,1 V în 0,1 V cu o precizie de 0,5%, suficientă ca precizie pentru producția de voltmetre, de clasă 1,5, a uzinei Electromagnetica. Curentul maxim debitat de stabilizator este de 400 mA. Stația poate alimenta 20 instrumente în paralel.

Stabilizatorul se compune din 5 plăci stabilizatoare. Prima placă stabilizatoare furnizează tensiunile de la 1 V la 9,9 V din 0,1 V în 0,1 V. Celelalte 3 plăci stabilizatoare furnizează fiecare tensiunile 10 V, 20 V și 30 V din însumarea cărora rezultă tensiunile din 10 în 10 V pînă la 90 V. Din însumarea tensiunilor celor 3 plăci cu prima placă rezultă tensiunile de la 1 V la 99,9 V. Placa 5 este o placă care furnizează o tensiune stabilă de 17 V care joacă rolul de pre-stabilizator pentru placa 1 V...9,9 V. Schema instalației poate fi găsită în lucrarea [20].

### *2.3.7. Aparataj pentru verificarea automată a ampermetrelor, voltmetrelor și a wattmetrelor în curent continuu*

Una din căile posibile de creare a aparatajului automat de control are la bază regimul dinamic de control, în care controlul se efectuează în decursul unei deplasări continue a acului indicator în lungul scării gradate, fără staționarea lui pe reperele care se verifică. Asemenea dispozitive îmbină în ele simplitatea relativă a construcției cu caracteristicile metrologice superioare necesare. Eroarea proprie regimului dinamic, provocată de caracteristicile dinamice ale aparatelor controlate, practic nu influențează asupra preciziei verificării, deoarece ea poate fi eliminată printr-o prelucrare a rezultatelor verificării. Cel mai simplu din toate procedeele posibile de eliminare a erorii dinamice, se bazează pe dependența ei liniară de viteza de deplasare a acului indicator. Se poate demonstra că rezultatele verificării nu mai sunt afectate de eroarea dinamică, în cazul în care verificarea se efectuează la două viteză care diferă una de cealaltă de un număr cunoscut de ori. În acest caz, eroarea statică a aparatului (considerată în regimul static de control) se determină, pentru fiecare din reperele verificate ale scării, ca o diferență între eroarea dublă la o viteză mai mică și eroarea considerată la o viteză mai mare de deplasare a acului indicator.

Acest procedeu de control s-a pus la baza aparatajului automat elaborat de Institutul unional de cercetări științifice pentru metrologie al Uniunii Sovietice. O caracteristică a acestui aparataj o constituie automatizarea totală a funcționării lui. Partea de măsurat a aparatajului automat de control elaborat se bazează pe principiul compensării incomplete și anume: se compară valoarea nominală a semnalului cu cea reală, care corespunde reperului verificat, iar semnalul diferențial corespunzător, proporțional cu eroarea aparatului verificat, se măsoară cu ajutorul unui dispozitiv numeric, la care condițiile de precizie sunt cu atât mai puțin exigeante, cu cît mai ridicat este gradul de compensare respectiv.

Schema bloc a aparatajului este prezentată în fig. 2.22.

Partea energetică este constituită dintr-un formator al semnalului de la intrare  $FS_1$ , care asigură trimiterea auto-

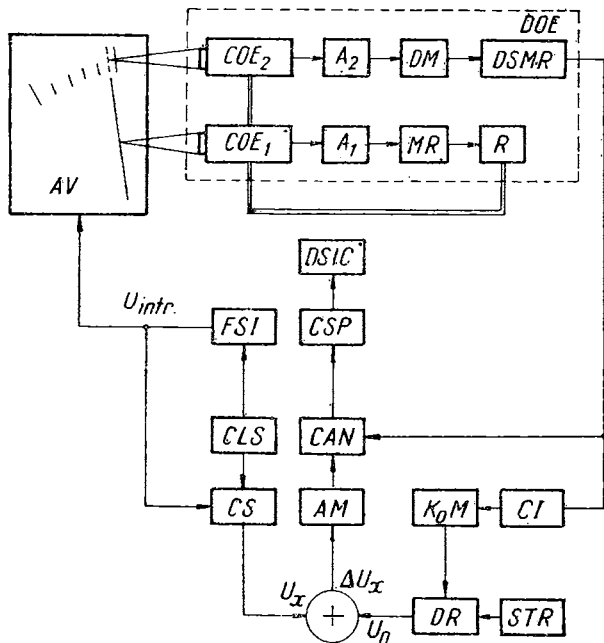


Fig. 2.22. Schema bloc a aparatajului pentru verificarea automată a ampermetrelor, voltmetrelor și a wattmetrelor în curent continuu.

mată la aparatul de verificat  $AV$  a uneia sau a două unde de tensiune sau de curent de formă triunghiulară, cu pantă egală și cu amplitudinea și puterea necesară pentru verificarea aparatelor. Abaterea de la caracteristica liniară a semnalului de ieșire  $FSI$  nu depășește 0,5%, iar perioada de variație este cuprinsă între 100 și 1 600 s.

Citirea automată este asigurată cu ajutorul unui dispozitiv optico-electronic  $DOE$ , care înregistrează suprapunerile acului indicator cu reperul controlat. Eroarea de determinare a suprapunerii mijlocului acului indicator cu acela al reperelor verificate ale scării în regim dinamic, este mai mică de  $\pm 0,01\%$ .

Aparatul de verificat  $AV$  se fixează în cîmpul vizual al  $DOE$ . Axa de rotație a organului mobil al aparatului contro-

lat se suprapune cu axa de rotație a blocului mobil  $DOE$ , care conține două convertoare optico-electronice legate rigid între ele  $COE_1$  și  $COE_2$ , funcționând prin modularea fluxului luminos. Axele cîmpurilor vizuale ale ambelor convertoare  $COE$ , limitate de fantele corespunzătoare, sunt suprapuse și se află amplasate în lungul razei scării gradate. În cîmpul vizual al  $COE_1$  se găsește numai acul indicator, iar în cîmpul vizual al  $COE_2$  se găsește numai reperul de verificat al scării gradate.

La emiterea spre aparat a semnalului de intrare  $COE_1$  cu ajutorul sistemului de urmărire optico-electronic (amplificatorul  $A_1$ , motorul reversibil  $MR$ , reductorul  $R$ ) se realizează o urmărire continuă a acului indicator, deplasînd blocul mobil în lungul scării. La suprapunerea cîmpului vizual al  $COE_2$  cu axa de simetrie a reperului verificat, se produce la ieșirea lui  $COE_2$  un semnal electric modulat, care după amplificarea lui prin  $A_2$ , demodulare cu ajutorul lui  $DM$  și formare cu ajutorul dispozitivului electronic de separarea mijlocului reperului  $DSRM$ , constituie semnalul de suprapunere a acului indicator cu reperul verificat și se utilizează drept un semnal de comandă pentru măsurarea erorii corespunzătoare reperului considerat al scării. Eroarea este egală cu diferența între semnalul real de la intrare, care ajunge de la  $FSI$  prin convertorul de scară  $CS$  și semnalul de referință, care sosește de la sursa tensiunii de referință  $STR$  prin divizorul  $DR$  cu valori ce corespund reperului verificat al scării. Comutarea nivelurilor de referință ale divizorului  $DR$ , în mod corespunzător cu reperele scării, se face după programul prescris cu ajutorul comutatorului automat  $KOM$  comandat prin circuitul de întîrziere  $CI$  de același semnal de suprapunere de la  $DSMR$ .

Semnalul obținut prin comparare  $U_x$  este amplificat cu ajutorul amplificatorului de măsurat  $AM$  și ajunge la intrarea convertorului rapid analog-numeric  $CAN$ , unde valoarea momentană a lui  $U_x$  se transformă într-un număr de impulsuri. Succesiunile de impulsuri ajung la intrarea unui calculator specializat  $CSP$ , atât la mersul direct al verificării, cât și la cel invers, întîi pentru una din vitezele de control,

iar apoi în aceeași succesiune pentru celalătă viteză de control. În calculator se realizează prelucrarea necesară a rezultatelor și se obțin valorile erorilor în regim static pentru mersul direct și cel invers al operației de control. Pentru determinarea variației aparatului, se calculează la același calculator diferența între aceste erori statice. Valorile calculate ale erorilor și variațiile lor se transmit la dispozitivul standardizat de imprimare a cifrelor *DSIC*, care le fixează într-un fel de proces verbal al controlului efectuat.

Rolul persoanei care efectuează controlul se reduce la acela de a fixa aparatul pe banc, de a supraveghea axele de rotație ale organului mobil al aparatului cu blocul mobil *DOE* după scara nominalizată pe ecranul său și apoi de a pune în funcțiune a sistemului automat. Operațiile de verificare, de interpretare a rezultatelor și alcătuirea procesului verbal de verificare se efectuează fără participarea operatorului.

Cea mai esențială din toate sursele de erori ale *DOE* constă din eroarea la imprecizia de suprapunere a axelor de rotație a blocului *COE* cu organul mobil al aparatului. Această imprecizie duce la pierderea sensibilității *COE* și la eroarea provocată de deplasarea centrului fantei de citire a *COE*, de pe raza corespunzătoare a arcului scării gradate. Această eroare poate ajunge pînă la 0,008...0,01%, în condițiile reale de exploatare.

Eliminarea erorii de parallaxă care apare la proiectarea indicatorului și a scării aparatului care sunt amplasate în planuri diferite, este asigurată din punct de vedere construcțiv prin suprapunerea axei de rotație a blocului *COE* cu axa optică a obiectivului.

Aparatajul construit este destinat certificării automate a aparatelor electrice de măsurat cu ac indicator, care au limitele de măsurare a tensiunii cuprinsă între 45 mV...600 V, iar pentru curent 45  $\mu$ A...30 A. Controlul automat durează circa 5 min.

Studiul aparatajului realizat a arătat că eroarea totală nu depășește 0,02%, ceea ce permite utilizarea acestui aparataj pentru controlul obiectiv în curent continuu al aparatelor electrice de măsurat cele mai precise, de clasă 0,1.

### *2.3.8. Instalații de mare productivitate pentru gradarea și verificarea aparatelor de măsurat de curent continuu*

În Uniunea Sovietică, la uzina Tocielektropribor s-au executat mai multe instalații realizate sub formă de pupitre care îmbunătățesc condițiile de lucru la gradarea și verificarea aparatelor de măsurat electrice.

**Instalația US-80** este folosită la gradarea ampermetrelor de clasă 0,2 și 0,5, cu limitele de măsurare 10 mA ; 25 mA ; 40 mA ; 50 mA ; 100 mA ; 200 mA ; 250 mA ; 500 mA ; 1 A ; 2,5 A ; 5 A și 10 A. Valoarea curentului în orice punct al scării poate fi variată cu  $\pm 0,6\%$  astfel încât agregatul poate servi și la verificarea aparatelor.

Valoarea curentului se menține constantă cu o eroare de cel mult  $\pm 0,04\%$ , la variațiile tensiunii de rețea de  $\pm 10\%$  și ale temperaturii cuprinse între  $+15^\circ C$  și  $+30^\circ C$ . Puterea absorbită este de maxim 200 VA, iar puterea la ieșire 30 W.

Elementele aggregatului sunt : pupitru de comandă, dispozitivul de alimentare, dispozitivul de etalonare al curentului și automatul pentru comutarea curentilor și aducerea acului indicator al aparatului în poziția corespunzătoare la unul din cele 20 puncte în care este împărțit fiecare interval de măsurare pe scara respectivă.

Dispozitivul de alimentare împreună cu cel de etalonare a curentului este un stabilizator de curent cu un amplificator cu fotocompensare. Ca sursă de tensiune de referință se folosește un stabilizator parametric de tensiune cu două etaje, iar drept element de execuție al stabilizatorului servește un tranzistor special.

Dispozitivul de etalonare a curentului se compune dintr-un set de rezistoare etalon. Cădereea de tensiune care dă naștere la trecerea curentului prin aceste rezistoare este comparată cu tensiunea de referință. În circuitul de referință este conectat galvanometrul amplificatorului cu fotocompensare.

Automatul pentru reglarea curentului la valorile dorite se compune dintr-un montaj de releu. Prizele divizorului de tensiune de referință se comută cu ajutorul unui selector pe baza comenziilor emise de un releu temporizat reglat pentru intervalul de 2...15 s.

**Instalația US-100** servește la gradarea semiautomată a wattmetrelor de clasă 0,5. Curentul la ieșire este stabilizat cu o eroare de maximum  $\pm 0,04\%$ , iar tensiunea cu  $\pm 0,02\%$ . Eroarea globală maximă se ridică la  $\pm 0,06\%$ .

Stabilizatorul de tensiune are coeficientul de stabilizare de ordinul 1 000. Componența alternativă la ieșire nu depășește 1%.

Automatul pentru reglarea punctelor pe scară fixează programul de gradare al aparatului: comută curentul, determină sensul gradării și schimbă polaritatea curentului și a tensiunii la ieșire.

**Instalațiile US-149 și US-150**, deservite de un singur controlor, folosesc la reducerea volumului de muncă și la îmbunătățirea verificării voltmetrelor și a ampermetrelor.

Cu *instalația US-149* se controlează voltmetrele cu limitele de măsurare 1,5...600 V. Tensiunea de ieșire se menține constantă cu eroarea de  $\pm 0,04\%$ . Curenții de sarcină sunt 200 mA pentru 1,5 V și 30 mA pentru 600 V.

Tensiunea de ieșire se poate varia în limitele de  $\pm 0,6\%$  la intervale de 0,05% la orice reper, ceea ce permite determinarea erorii voltmetrelor de clasă 0,2 și 0,5.

*Instalația US-150* este analoagă cu cea descrisă mai sus și permite verificarea ampermetrelor de clasă 0,2 și 0,5 cu intervalul de măsurare 10 mA...10 A. Curentul la ieșire se menține constant cu o eroare de maxim  $\pm 0,04\%$ , la o putere de ieșire pînă la 30 W.

### 2.3.9. Instalație portativă pentru verificarea aparatelor electrice

La Institutul unional de măsurări al Uniunii Sovietice s-a realizat o instalație portativă pentru verificarea fazmetrelor, wattmetrelor, ampermetrelor, voltmetrelor și contoarelor, necesară pentru măsurări pe teren. Instalația are o masă relativ mică și dimensiuni reduse și nu este destinată instalațiilor fixe.

Reglajul curentului și al tensiunii este realizat prin autotransformatoare de reglaj. Pentru asigurarea unui reglaj continuu al tensiunii și curentului în cazul verificării aparatelor monofazate, în schema instalației este prevăzut un comutator cu ajutorul căruia autotransformatorul primei

faze poate fi deconectat de la rețea și conectat la autotransformatorul fazei a doua. În acest fel autotransformatorul este folosit drept treapta a două de reglaj.

Instalația este montată în două valize: în prima sunt cuprinse toate elementele circuitului de tensiune, precum și regulatorul de fază, iar în a doua toate elementele circuitului de curent. Dimensiunile fiecărei valize sunt  $50 \times 50 \times 25$  cm și masa 40 kg.

Alimentarea instalației se face de la rețeaua trifazată de 220 V sau 380 V. În funcție de tensiunea rețelei, în instalație există prevăzută posibilitatea comutării infășurărilor regulatorului de fază și a transformatoarelor de reglaj.

Pe panoul superior al valizei cuprindând circuitele de tensiune se găsesc: bornele pentru conectarea instalației la rețeaua trifazată de 220 V sau 380 V; un întreinterruptor tri-polar, siguranțe (currentul nominal 2 A); bornele pentru corectarea aparatelor de verificat, trei perechi de borne pentru conectarea aparatelor de măsurat etalon (wattmetre sau voltmetre), comutatorul pentru comutarea autotransformatoarelor de reglaj pentru obținerea unui reglaj continuu pe prima fază, un comutator pentru 150 V — 300 V — 450 V, pentru comutarea limitelor de tensiune a instalației și a scărilor de măsură a voltmetrelor; comutatorul pentru comutarea montajului wattmetrelor care dă posibilitatea realizării montajului de conectare a wattmetrelor corespunzător schemei electrice a aparatelor de verificat; comutatorul pentru scările de măsură ale circuitelor de tensiune ale wattmetrelor; comutatorul pentru comutarea voltmetrelor pe tensiunea pe fază și între faze; trei voltmetre cu 3 scări de măsură 150—300—450 V pentru controlul tensiunii pe fiecare fază.

În centrul panoului se găsește manivela regulatorului de fază. Regulatorul de fază asigură obținerea unui unghi de decalaj a tensiunii față de curent de la  $0^\circ$  pînă la  $120^\circ$ . În jurul panoului este montată instalația de reglaj a circuitului de tensiune, formată din trei autotransformatoare cu ajutorul căror se obține reglajul tensiunii de la 0 pînă la 450 V.

Pe panoul valizei circuitului de curent se găsesc: bornele pentru conectarea instalației la rețeaua trifazată; întreinterruptorul tri-polar; siguranțele (current nominal 2A); bornele pentru conectarea aparatelor de verificat; trei perechi de borne pentru conectarea aparatelor de măsurat etalon; co-

mutatorul pentru comutarea autotransformatoarelor pentru obținerea unui reglaj continuu a curentului din fază întâia ; trei ampermetre conectate prin intermediul unor transformatoare de curent și destinate pentru controlul curentului din fiecare fază. În mijlocul panoului sunt așezate comutatoarele cu fișă a scărilor de măsură ale celor trei transformatoare de curent care alimentează wattmetrele și ampermetrele instalației. Comutatoarele transformatoarelor sunt modificate în aşa fel încât concomitent cu comutarea scării de măsură se comută și infășurarea transformatorului de sarcină. În josul panoului este montată instalația de reglaj a circuitului de curent formată din trei autotransformatoare.

În completul instalației portabile nu sunt prevăzute aparatelor de măsurat etalon, deoarece acestea se găsesc de obicei chiar la locurile de verificare ; conectarea lor în ansamblul completului instalației ar mări în mod considerabil masa și gabaritele instalației.

Instalația poate fi utilizată în cadrul unui laborator mobil pe o mașină. În acest caz, este comod ca panourile pentru fixarea contoarelor să fie montate pe mașini în mod definitiv.

Pentru funcționarea instalației, ambele valize se aşază pe masă, iar între ele se montează 3 wattmetre care se conectează la bornele „Wattmetru“ ale ambelor valize. Wattmetrele trebuie să fie de un anumit tip având în vedere că în instalație sunt prevăzute rezistențe adiționale speciale.

Încercările au arătat că tensiunea secundară a regulatorului de fază pentru o rotire a rotorului cu un unghi pînă la  $120^\circ$  variază cel mult cu 1%. Forma curbei de curent și de tensiune este practic sinusoidală. Reglajul tensiunii și al curentului se realizează fără influență reciprocă și asigură fixarea oricărui punct de funcționare necesar.

Experiența utilizării instalației a arătat că ea este comodă și satisfacă complet scopul căruia a fost destinată.

#### 2.3.10. Tipuri de divizoare inductive

La Institutul Național de Metrologie din București s-au realizat mai multe tipuri de divizoare inductive de tensiune.

În tabelul 2.1 sunt prezentate caracteristicile unor divizoare inductive de tensiune, în decade, fabricate de diverse firme străine în comparație cu cele ale divizoarelor inductive produse de Institutul Național de Metrologie din București.

Tabelul 2.1 (continuare)

	1	2	3	4	5	6	7	8	9
Guildline Instr. Ltd. (Canada)	9950	0...1,000000	7	0,05... 2	5.10 <sup>-7</sup>	70	3	200 sau 0,2 f	
AOIP Mesures (Franța)	DVT	—	6	0,05... 5	4.10 <sup>-6</sup>	ord. MΩ	ord. MΩ	250 sau 2 f	
North Atlantic Ind. Inc. (S.U.A.)	RB-525	—	6	0,05... 3	2,5.10 <sup>-6</sup>	30	4	0,35 f	
H.W. Sullivan (Anglia)	F 9100	0...1,111	4	0,02...10	1.10 <sup>-5</sup>	70	5	200 sau 0,2 f	
G.L. Collins Corp. (S.U.A.)	DRT-201	0...1,0000	5	0,5 ...10	2.10 <sup>-5</sup>	—	5	500 sau 0,35 f	
Electro-Scientific Ind. (S.U.A.)	DT72-A	—	3	0,03... 1	2.10 <sup>-4</sup>	—	—	—	
Arnold Magne- tics Corp (S.U.A.)	DIGI- BOX	0...0,999	4	—	8.10 <sup>-5</sup>	—	—	—	

*Observatie.* Deoarece tensiunea maximă reprezintă o limită deasupra căreia precizia divizorului începe să fie influențată de efectele de saturare a miezului magnetic, aceasta se exprimă sub forma  $k \cdot f$ , în care  $f$  este frecvența în Hz, întrucât limita de saturare depinde de frecvență. În plus se specifică și o tensiune limită fixă.

Tabelul 2.1 (continuare)

1	2	3	4	5	6	7	8	9
Guildline Instr. Ltd. (Canada)	9950	0...1,000000	7	0,05... 2	5.10 <sup>-7</sup>	70	3	200 sau 0,2 f
AOIP Mesures (Franța)	DVT	—	6	0,05... 5	4.10 <sup>-6</sup>	ord. MΩ	ord. MΩ	250 sau 2 f
North Atlantic Ind. Inc. (S.U.A.)	RB-525	—	6	0,05... 3	2,5.10 <sup>-6</sup>	30	4	0,35 f
H.W. Sullivan (Anglia)	F 9100	0...1,111	4	0,02...10	1.10 <sup>-5</sup>	70	5	200 sau 0,2 f
G.L. Collins Corp. (S.U.A.)	DRT-201	0...1,0000	5	0,5 ...10	2.10 <sup>-5</sup>	—	5	500 sau 0,35 f
Electro-Scientific Ind. (S.U.A.)	DT72-A	—	3	0,03... 1	2.10 <sup>-4</sup>	—	—	—
Arnold Magne- tics Corp (S.U.A.)	DIGI- BOX	0...0,999	4	—	8.10 <sup>-5</sup>	—	—	—

*Observatie.* Deoarece tensiunea maximă reprezintă o limită deasupra căreia precizia divizorului începe să fie influențată de efectele de saturare a miezului magnetic, această se exprimă sub forma  $k \cdot f$ , în care  $f$  este frecvența în Hz, întrucât limita de saturare depinde de frecvență. În plus se specifică și o tensiune limită fixă.

### 3. Verificarea transformatoarelor de măsură

#### 3.1. Clasificarea transformatoarelor de măsură

##### 3.1.1. Clasificarea transformatoarelor de măsură de tensiune

Principalele criterii de clasificare ale transformatoarelor de măsură sănt următoarele :

**După tensiunea nominală primară.** Transformatoarele de tensiune se fabrică cu următoarele valori ale tensiunii primare : 380 V, 500 V, 660 V, 3 kV, 5 kV, 6 kV, 10 kV, 20 kV, 25 kV, 30 kV, 35 kV,  $\frac{60}{\sqrt{3}}$  kV,  $\frac{110}{\sqrt{3}}$  kV,  $\frac{220}{\sqrt{3}}$  kV (tensiunile normale primare pînă la 35 kV inclusiv, pot fi divizate cu  $\sqrt{3}$ ).

**După tensiunea nominală secundară.** Transformatoarele de tensiune se construiesc pentru tensiunile secundare de 100 V,  $\frac{100}{\sqrt{3}}$  sau  $\frac{100}{3}$  V.

**După clasa de precizie.** Transformatoarele de tensiune se fabrică în următoarele clase de precizie : 0,2 ; 0,5 ; 1 și 3.

**După numărul intervalor de măsurare.** Transformatoarele de tensiune se construiesc cu un singur interval de măsurare sau cu mai multe intervale de măsurare.

**După numărul de înfășurări.** Transformatoarele de tensiune se fabrică cu o singură înfășurare secundară sau cu mai multe înfășurări secundare.

**După numărul de faze.** Transformatoarele de tensiune pot fi :

- monofazate ;
- bifazate ;
- trifazate.

**După felul instalației,** transformatoarele se clasifică în :

- transformatoare pentru instalații interioare ;
- transformatoare pentru instalații exterioare.

**După felul izolației,** transformatoarele se împart în :

- transformatoare în aer ;
- transformatoare în ulei ;
- transformatoare înglobate în rășini.

### *3.1.2. Principalele date constructive ale transformatoarelor de măsură de tensiune*

Transformatorul propriu-zis este format dintr-un circuit magnetic alcătuit din tole feromagnetice și mai multe înfășurări izolate atât între ele, cât și față de circuitul magnetic. În funcție de felul izolației, aer sau ulei, transformatorul este prevăzut cu o cutie sau o cuvă de ulei. Transformatorul mai are și un capac pe care sănt dispuse bornele de acces ale înfășurărilor transformatorului, prevăzute sau nu cu izolatoare de înaltă tensiune.

Izolația înfășurării primare a transformatorului de tensiune trebuie să suporte la 50 Hz, o tensiune de încercare cuprinsă între 3 și 395 kV, în funcție de tensiunea nominală aplicată timp de 1 min. între înfășurarea primară și înfășurarea secundară conectată la piesele metalice legate la pămînt.

Izolația între spire, la transformatoarele de tensiune, se încearcă cu o tensiune indusă la frecvența de 50 Hz sau mai mare. Această tensiune indusă se obține prin alimentarea înfășurării secundare pînă la obținerea în primar a unei tensiuni de încercare de valoare cuprinsă între 1,25 și 390 kV, în funcție de tensiunea nominală. Timpul de încercare la 50 Hz este de 5 min.

Izolația înfășurărilor secundare trebuie să suporte o tensiune de încercare de 2 kV — 50 Hz aplicată între înfășurarea secundară respectivă și celelalte înfășurări conectate cu piesele care se leagă la pămînt.

Limitele admisibile ale erorilor transformatorului de tensiune sînt indicate în tabelul 3.1, în următoarele condiții :

*Tabelul 3.1*

Clasa de precizie	Eroarea tolerată	
	de tensiune, %	de unghi, min.
0,2	± 0,2	± 10
0,5	± 0,5	± 20
1	± 1	± 40
3	± 3	—

- frecvența 50 Hz ;
- tensiunea primară  $U_1 = 0,8 U_{1N} \dots 1,2 U_{1N}$ , unde  $U_{1N}$  este tensiunea nominală primară ;
- puterea în secundar cuprinsă între  $(0,25 \dots 1) \left( \frac{U_1}{U_{1N}} \right)^2 S_{ZN}$ ,
- unde  $S_{ZN}$  este puterea secundară aparentă nominală ;
- factor de putere  $\cos \varphi = 0,8$  inductiv ;

### 3.1.3. Clasificarea transformatoarelor de măsură de curent

Principalele criterii de clasificare ale transformatoarelor de măsură de curent sînt următoarele :

**După curentul nominal primar.** Transformatoarele de curent se fabrică cu următoarele valori ale curentului primar : 5 A ; 10 A ; (12,5 A) ; 15 A ; 20 A ; (25 A) ; 30 A ; (40 A) ; 50 A ; 60 A ; 75 A precum și multiplii zecimali.

Valorile înscrise în paranteze, conform instrucțiunilor metrologice în vigoare, se vor evita la proiectarea și construirea transformatoarelor de curent.

**După tensiunea de izolație.** Transformatoarele de curent se construiesc pentru tensiunile : 0,5 kV ; 3 kV ; 6 kV ; 10 kV ; 15 kV ; 20 kV ; 25 kV ; 35 kV ; 60 kV ; 110 kV ; și 220 kV.

**După curentul nominal secundar.** Transformatoarele de curent se fabrică pentru 5 A și 1 A.

**După puterea nominală.** Transformatoarele se construiesc pentru următoarele valori ale puterii nominale : 5 VA ; 10 VA ; 15 VA ; 30 VA și 60 VA.

La depășirea puterii nominale a transformatoarelor de curent, eroarea măsurării este mai mare decât limita corespunzătoare clasei de precizie.

**După clasa de precizie.** Transformatoarele se construiesc în următoarele clase de precizie : 0,1 ; 0,2 ; 0,5 ; 1 și 3.

**După felul instalației,** transformatoarele se clasifică în :

— transformatoare pentru instalații interioare ;

— transformatoare pentru instalații exterioare ;

— transformatoare pentru instalații complexe destinate a fi montate în intreruptoare sau transformatoare de putere.

**După numărul înfășurărilor secundare,** transformatoarele se clasifică în :

— transformatoare cu o singură înfășurare ;

— transformatoare cu două sau mai multe înfășurări.

**După felul înfășurării primare,** transformatoarele se împart în :

— transformatoare cu bobinaj primar ;

— transformatoare fără bobinaj primar, la care bobinajul este constituit din însuși conductorul prin care trece curentul de măsurat.

**După mobilitate,** transformatoarele se clasifică în :

— transformatoare fixe ;

— transformatoare portabile.

**După izolația dintre bobinajul primar și cel secundar,** transformatoarele se împart în :

— transformatoare în aer ;

— transformatoare în ulei ;

— transformatoare înglobate în rășini ;

— transformatoare cu izolație din materiale ceramice etc.

**După numărul domeniilor de măsurare,** transformatoarele de curent se împart în :

— transformatoare cu un singur domeniu de măsurare ;

— transformatoare cu mai multe domenii de măsurare.

### *3.1.4. Principalele date constructive ale transformatoarelor de măsură de curent*

Transformatoarele de măsură de curent se compun din următoarele părți principale :

*Circuitul magnetic*, format dintr-un pachet de tole izolate electric între ele. Circuitul magnetic mai poate fi format dintr-o bandă înfășurată în formă de rolă, cu spirele izolate electric între ele.

*Bobinajul primar* și unul sau mai multe *bobinaje secundare* înfășurate în jurul miezului magnetic. Pentru valori mari ale curentului de măsurat, bobinajul primar poate să lipsească, el fiind înlocuit printr-o bară sau cablul prin care trece curentul.

*Materialul izolant* (ulei, aer, material ceramic sau plastic etc.) care are ca scop asigurarea izolației electrice între înfășurarea primară, cea secundară, circuitul magnetic și celelalte părți metalice.

Izolația bobinelor se realizează corespunzător tensiunii nominale pentru care a fost construit transformatorul. Ea trebuie să suporte tensiuni de încercare de la 3 la 460 kV, la 50 Hz, în funcție de tensiunea nominală. Tensiunea de încercare la frecvența de 50 Hz se aplică timp de 1 min între înfășurarea primară și secundară conectată cu piesele care se leagă la pămînt. Transformatoarele de exterior se încearcă la tensiunea de încercare sub ploaie.

Izolația înfășurării secundare a transformatoarelor de curent este încercată cu o tensiune de 2 kV, la frecvența de 50 Hz, aplicată timp de 1 min între înfășurarea secundară și înfășurarea primară conectată cu piesele care se leagă la pămînt. La transformatoarele cu mai multe înfășurări secundare, se încearcă și izolația dintre înfășurările secundare aplicînd o tensiune de 2 kV la 50 Hz, timp de 1 min, între fiecare dintre înfășurări și celelalte înfășurări conectate cu piesele care se leagă la pămînt.

Pentru verificarea spirelor una față de alta, se alimenteză transformatorul de curent timp de 1 min cu un curent

egal cu valoarea curentului nominal primar, la frecvență nominală, având înfășurarea secundară deschisă.

Bobinajele sănătoase sunt bine fixate constructiv pentru ca transformatorul să reziste la curentul limită dinamic fără să prezinte deteriorări.

Limitile admise ale erorilor transformatorului de curent în funcție de clasa de precizie, de curentul care trece prin înfășurarea primară și de sarcina nominală, sunt indicate în tabelul 3.2, pentru frecvență nominală de 50 Hz și temperatură mediului ambiant cuprinsă între valorile  $-30^{\circ}\text{C}$  și  $+40^{\circ}\text{C}$ .

*Tabelul 3.2*

Clasa de precizie	Curentul primar în % din curentul nominal	Eroarea tolerată	
		de curent %	de unghi sexagesimale
0,1	120...100	$\pm 0,10$	$\pm 6$
	20	$\pm 0,15$	$\pm 10$
	10	$\pm 0,20$	$\pm 12$
0,2	120...100	$\pm 0,20$	$\pm 10$
	20	$\pm 0,35$	$\pm 15$
	10	$\pm 0,50$	$\pm 20$
0,5	120...100	$\pm 0,50$	$\pm 30$
	20	$\pm 0,75$	$\pm 40$
	10	$\pm 1,00$	$\pm 60$
1	120...100	$\pm 1,00$	$\pm 60$
	20	$\pm 1,50$	$\pm 80$
	10	$\pm 2,00$	$\pm 120$
3	100... 50	$\pm 3,00$	—

La verificare, curbele erorilor de curent și de unghi nu trebuie să iasă din zona cuprinsă între liniile frânte care unesc punctele de erori indicate în tabelul de mai sus.

## 3.2. Metode de verificare a transformatoarelor de măsură

### 3.2.1. Metode de verificare a funcționării transformatoarelor de măsură de tensiune

Determinarea erorilor de tensiune și de unghi la transformatoarele de tensiune se face prin :

- metode de comparație ;
- metode directe.

Aceste metode se întrebunțează în funcție de clasa de precizie a transformatorului conform tabelului 3.3.

Tabelul 3.3

Clasa de precizie	Metoda de verificare
0,2 ; 0,5 ; 1 3	Metode de comparație Metode directe

**Verificarea prin metoda măsurării directe a tensiunilor.** Instalațiile pentru verificarea transformatoarelor de tensiune de clasă de precizie 3, ale căror erori de unghi nu se verifică, sunt arătate în figurile 3.1 a și b. Tensiunea primară se măsoară fie direct cu voltmetrul  $V_1$ , fie prin intermediul transformatorului etalon  $T_E$ . Tensiunea secundară se determină cu voltmetrele  $V_2$ .

Voltmetrele  $V_1$  și  $V_2$  trebuie să fie de tip electrodinamic sau electromagnetic și să aibă o clasă de precizie mai bună de 0,5. Transformatorul etalon  $T_E$  trebuie să aibă clasa de precizie 0,2.

Eroarea de tensiune în cazul instalației din fig. 3.1, a se determină cu ajutorul relației

$$\epsilon \% = \frac{k_{nv} U_2 - U_1}{U_1} \cdot 100\%,$$

în care :  $U_1$  este indicația voltmetrului  $V_1$ ;  $U_2$  — indicația voltmetrului  $V_2$ ;  $k_{nv}$  — raportul de transformare al transformatorului de verificat.

În cazul montajului din fig. 3.1, eroarea de curent se determină cu relația

$$\epsilon\% = \frac{k_{NV}U_2 - k_{NE}U_1}{k_{NE} \cdot U_1} \cdot 100\%$$

în care :  $k_{NE}$  este raportul de transformare al transformatorului de tensiune etalon.

**Verificarea transformatoarelor de măsură de tensiune prin metode de comparație.** Prin aceste metode se compară trans-

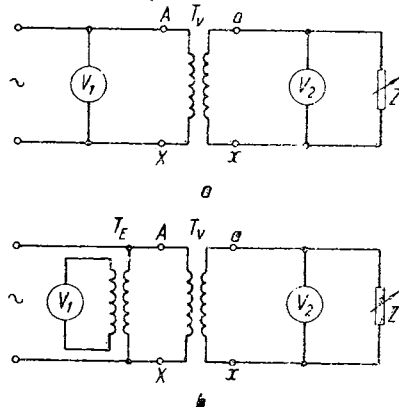


Fig. 3.1. Verificarea transformatoarelor de tensiune prin metoda măsurării directe a tensiunilor :

a — măsurarea tensiunii primare prin legarea directă a voltmetrului ; b — prin montarea voltmetrului în secundarul transformatorului etalon.

formatorul de verificat cu un transformator etalon, la care se cunosc erorile de tensiune și de unghi. Precizia acestor metode depinde în principal de precizia cu care sînt cunoscute erorile transformatorului etalon.

În general, montajele cu care se execută comparația celor două transformatoare sunt gata asamblate în instalații de verificare cu construcție compactă, permitînd o manipulare simplă și comodă prin citirea directă a erorilor la indicațiile butoanelor de reglaj. Instalațiile de verificare sunt realizate într-o formă industrială transportabilă, de către diferite firme producătoare.

Principiul cel mai răspândit, care stă la baza determinării erorilor prin metodele de compensare, constă în compensarea tensiunii secundare (fig. 3.2) rezultate la conectarea diferențială a înfășurărilor secundare.

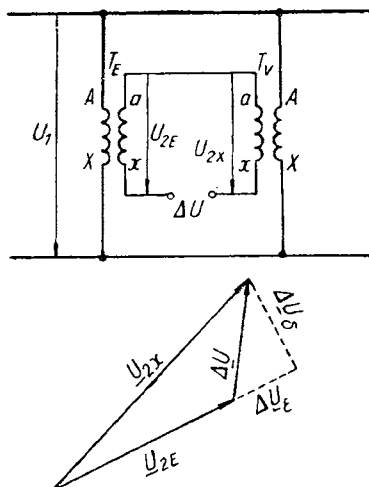


Fig. 3.2. Schema principală de verificare a transformatorelor de tensiune prin metoda diferențială de zero.

Pentru aceasta, cele două transformatoare trebuie să aibă același raport nominal de transformare și același tensiuni nominale primare și secundare.

Măsurând componentele tensiunii rezultante în fază  $\underline{\Delta U}_e$  și în cuadratură  $\underline{\Delta U}_\delta$  cu tensiunea secundară  $\underline{\Delta U}_{2E}$  a transformatorului etalon  $T_E$ , se obțin erorile :

$$\varepsilon \% = \frac{\underline{\Delta U}_e}{\underline{U}_{2E}} 100\% ;$$

$$\delta \% = \frac{\underline{\Delta U}_\delta}{\underline{U}_{2E}} 100\% .$$

Cunoscând erorile transformatorului etalon  $\varepsilon_E$  și  $\delta_E$  se pot calcula erorile transformatorului de verificat :

$$\begin{aligned} \varepsilon_x &= \varepsilon + \varepsilon_E ; \\ \delta_x &= \delta + \delta_E . \end{aligned}$$

Schema de principiu a unei instalații complete pentru verificarea transformatoarelor de tensiune denumită *metoda diferențială zero*, este prezentată în fig. 3.3. Înfășurările secundare ale transformatoarelor etalon și de verificat sunt conectate diferențial, iar tensiunea secundară rezultată este comparată, prin intermediul divizorului rezistiv  $D_T$  și al galvanometrului de vibrații  $GV$ , cu o tensiune culeasă de pe cele două rezistențe cu fir calibrat, egală cu suma vectorială a două componente în fază și în quadratură cu tensiunea secundară a transformatorului etalon.

La realizarea echilibrului, cînd indicația galvanometrului se reglează la zero, se citesc direct pe rezistențele cu fir calibrat  $F$  și  $D$  valorile erorilor de tensiune  $\varepsilon$  și de unghi  $\delta$ . Cunoscînd erorile transformatorului etalon se pot calcula erorile transformatorului de verificat.

De obicei întreaga schemă cu excepția transformatoarelor de verificat și etalon, precum și a rezistenței sau impedanței de sarcină  $Z$ , este asamblată într-o cutie, constituind un dispozitiv de măsurare compact, portabil.

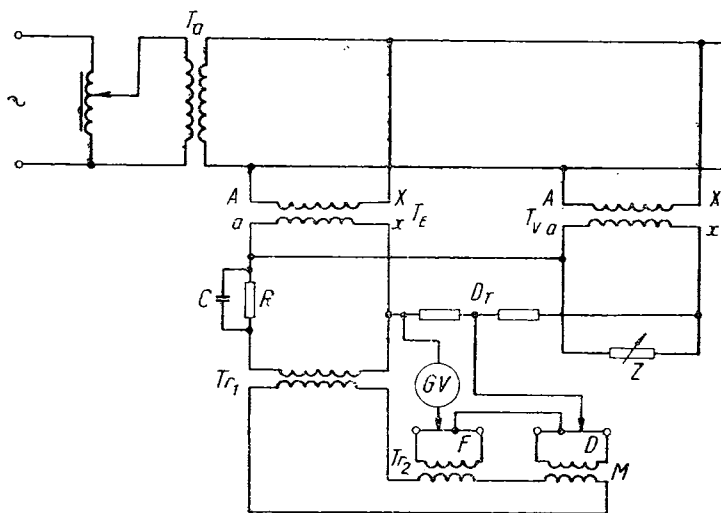


Fig. 3.3. Schema de verificare a transformatoarelor de tensiune prin metoda diferențială de zero.

Clasa de precizie a transformatoarelor cu care se verifică (etalon) se alege în funcție de transformatoarele de verificat, conform tabelului 3.4.

*Tabelul 3.4*

Clasa de precizie	
Transformator de verificat	Transformator etalon
0,2...0,5 1 ...3	0,02...0,05 0,2 ...0,5

Se recomandă următoarele puncte de verificare :

Clasa de precizie a transformatorului de verificat	Tensiunea primară, % din valoarea nominală	Sarcina, % din valoarea nominală	Factor de putere $\cos \phi$
0,2	80 100 120	Gol și 100	$\cos \phi = 0,8$ inductiv
0,5 și 1	90 100 110	25 și 100	$\cos \phi = 0,8$ inductiv

Forma curbei de tensiune trebuie să fie practic sinusoidală, coeficientul de distorsiune maxim admis fiind 5%.

**Etalonarea transformatoarelor de tensiune de precizie ridicată.** Transformatoarele utilizate de obicei ca etaloane sunt de clasă de precizie 0,005 ; 0,1 și 0,2. Ele nu au fost luate în considerare la clasificarea transformatoarelor, întrucât sunt construcții speciale exclusiv pentru scopuri metrologice.

Acste transformatoare se construiesc pentru tensiuni nominale primare cuprinse între 380 V și  $400/\sqrt{3}$  kV și pentru tensiunile nominale secundare 100 V ;  $\frac{100}{\sqrt{3}}$  și  $\frac{100}{3}$  V. Puterile nominale ale transformatoarelor etalon sunt : 5 VA ; 10 VA ; 15 VA ; 30 VA și 60 VA.

În tabelul 3.5 sunt indicate erorile admisibile ale transformatoarelor etalon de tensiune, ale căror erori admisibile rămân constante în intervalul valorilor tensiunii primare de la 40% la 120%.

Tabelul 3.5

Tensiunea primară, în % din tensiunea nominală	Valorile erorilor admisibile		
	Eroare de tensiune %	Eroare de unghi	
		, (minute sexagesimale)	Miliradiani
40...120	± 0,005	± 0,5	± 0,15
	± 0,01	± 1	± 0,3
	± 0,02	± 1,5	± 0,45
	± 0,05	± 3	± 0,9
	± 0,1	± 5	± 1,5
	± 0,2	± 10	± 3

În tabelul 3.6 sunt indicate erorile transformatoarelor etalon de tensiune, care sunt dependente de valorile tensiunii nominale primare.

Tabelul 3.6

Clasa de precizie	Tensiunea primară, în % din tensiunea nominală	Valoarea erorilor admisibile			Limitele puterii secundare, în % din puterea nominală
		Eroare de tensiune %	Eroarea de unghi ,	Miliradi-ani	
0,05	20	± 0,25	± 15	± 4,5	Numai pentru puteri nominale de 5 VA și 10 VA $\cos \varphi = 1$
	50... 60	± 0,1	± 6	± 1,8	
	80...120	± 0,005	± 3	± 0,9	
0,1	20	± 0,5	± 25	± 7,5	25...100
	50... 60	± 0,2	± 10	± 3	
	80...120	± 0,1	± 5	± 1,5	
0,2	20	± 1,0	± 50	± 15	25...100
	50... 60	± 0,4	± 20	± 6	
	80...120	± 0,2	± 10	± 3	

Pentru determinarea erorilor transformatoarelor etalon de tensiune, se folosesc metode și instalații de măsurare a căror erori sunt de cel puțin 5 ori mai mici decât eroarea admisă a transformatorului de verificat. Se admite aplicarea metodelor și instalațiilor de etalonare a căror eroare este de 2,5 ori mai mică decât eroarea admisă a transformatorului de verificat, cu condiția folosirii corecțiilor date pentru acestea.

Determinarea erorilor transformatoarelor etalon de tensiune se face în următoarele condiții :

- abaterea frecvenței de la valoarea nominală de cel mult  $\pm 2\%$  ;
- temperatura mediului ambiant cuprinsă între  $+15^{\circ}\text{C}$  și  $+30^{\circ}\text{C}$  ;
- presiunea atmosferică corespunzătoare altitudinii cuprinse între 0...1 000 m ;
- factorul de distorsiune al curbei tensiunii de cel mult 5%.

Înainte de etalonare se verifică polaritatea bornelor și se demagnetizează circuitul magnetic.

Determinarea erorilor transformatoarelor etalon de tensiune se face prin două categorii de metode :

*metode de comparație*, în care transformatorul de verificat se compară cu un alt transformator etalon ;

*metode absolute*, în care erorile transformatorului se determină fără utilizarea altui transformator etalon.

În general, metodele de comparație nu sunt recomandate pentru etalonări de transformator etalon de tensiune. Ele pot fi totuși folosite în cazul transformatoarelor de clasă de precizie 0,2, cu respectarea condițiilor referitoare la erorile maxime admise ale ansamblului transformator, etalon și instalația de comparare.

*Metoda divizorului inductiv de tensiune are*, după cum am spus în cap. 2, aplicare largă și la verificarea transformatoarelor de tensiune de precizie solicitată. Astfel, în fig. 3.4 sunt date două scheine pentru etalonarea acestora.

Folosind condensatoarele variabile în decade și alegînd în mod convenabil valoarea rezistențelor  $R$ , se poate obține citirea directă a erorii de unghi pe decadele condensatoarelor  $C_1$  și  $C_2$ . Prima schemă se poate folosi la etalonarea transformatoarelor a căror tensiune primară nu depășește tensiunea

maximă admisă la intrarea divizorului inductiv. Schema a două, care cuprinde și un transformator de tensiune etalon  $T_E$ , se poate folosi pentru etalonarea transformatoarelor cu tensiune primară mai mare decât tensiunea maximă admisă

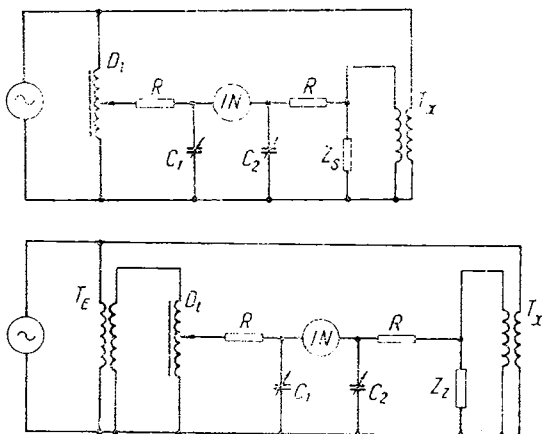


Fig. 3.4. Scheme pentru etalonarea transformatoarelor de tensiune prin metoda divizorului inductiv de tensiune.

la intrarea divizorului. Această schemă are avantajul că tensiunile secundare nominale ale transformatoarelor etalon și de verificat pot fi diferite.

Una din metodele absolute potrivite pentru etalonarea transformatoarelor de precizie de tensiune, este și *metoda comparatorului inductiv de curent* utilizat într-un montaj de măsurare cu două condensatoare. Comparatorul inductiv de curent este format dintr-un miez feromagnetic de permeabilitate ridicată, pe care se află bobinare două înfășurări parcurse de curenții de comparat și o a treia numită înfășurare de detectie, care indică anularea fluxului magnetic din miez. Comparatorul poate fi prevăzut și cu o înfășurare pentru ajustarea fină a echilibrului, curentul din această înfășurare fiind proporțional cu diferența dintre curenții comparați.

Folosirea comparatorului inductiv de curent la etalonarea transformatoarelor etalon de tensiune se bazează pe măsurarea raportului curenților care circulă prin două condensa-

toare  $C_1$  și  $C_2$  conectate în primarul și secundarul transformatorului de verificat. Schema simplificată a instalației este prezentată în fig. 3.5.

Sursa de tensiune  $T_a$  alimentează primarul transformatorului de verificat  $T_v$  al cărui secundar este conectat pe

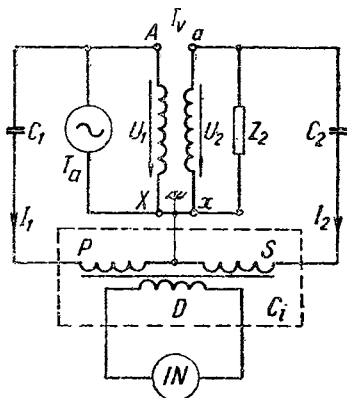


Fig. 3.5. Schema simplificată de verificare a transformatoarelor de tensiune cu ajutorul comparatorului inductiv de curent.

impedanța de sarcină  $Z_2$ . Condensatoarele  $C_1$  și  $C_2$  sunt legate în serie cu înfășurările  $P$  și  $S$  ale comparatorului inductiv de curent  $C_i$ . Circuitul format din condensatorul  $C_1$  și înfășurarea  $P$  este alimentat de tensiunea  $U_1$  din primarul transformatorului de verificat  $T_v$ . Circuitul format de condensatorul  $C_2$  și înfășurarea  $S$  este alimentat de tensiunea  $U_2$  a secundarului transformatorului  $T_v$ .

La echilibru, fluxul magnetic este nul datorită egalității

$$N_1 I_1 = N_2 I_2$$

în care  $N_1$  și  $N_2$  sunt numerele de spire ale înfășurărilor  $P$  și  $S$  ale comparatorului  $C_i$  străbătute de curentii  $I_1$  și  $I_2$ . Neglijînd impedanțele înfășurărilor  $P$  și  $S$  se poate scrie:

$$I_1 = j \omega C_1 U_1$$

$$I_2 = j \omega C_2 U_2.$$

La echilibru :

$$N_1 C_1 U_1 = N_2 C_2 U_2.$$

Eroarea de tensiune a transformatorului  $T_v$  este :

$$\Delta U = \frac{k_n U_2 - U_1}{U_1} = k_n \frac{U_2}{U_1} - 1;$$

$$\Delta U = k_n \frac{N_1 C_1}{N_2 C_2} - 1,$$

unde  $k_n$  este raportul de transformare a transformatorului  $T_v$ .

Pentru măsurarea erorii de unghi se introduce un curent defazat la  $90^\circ$  printr-o înfăşurare suplimentară  $C$  a comparatorului conform schemei din fig. 3.6.

Curentul  $I_c$  defazat la  $90^\circ$  față de  $I_1$  (se consideră  $r \ll 1/\omega C_c$ ) circulă prin înfăşurarea  $C$  care are  $N_c$  spire, compensând defazajul dintre  $I_1$  și  $I_2$  datorat erorii de unghi a

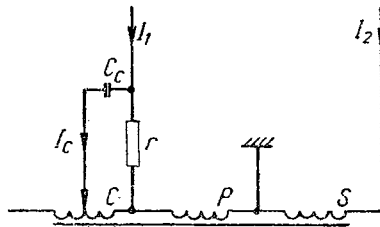


Fig. 3.6. Compensarea erorii de unghi la verificarea transformatoarelor de tensiune cu ajutorul comparatorului inductiv.

transformatorului  $T_v$ . Condiția de echilibru a comparatorului inductiv este

$$N_1 I_1 + N_c I_c = N_2 I_2$$

Presupunând impedanța înfășurării  $C$  neglijabilă, se poate scrie

$$I_c = j \omega C_{cr} I_1,$$

și la echilibru se obține relația

$$N_1 C_1 U_1 \left( 1 + j \omega C_{cr} \frac{N_c}{N_1} \right) = C_2 N_2 U_2$$

sau

$$\frac{U_2}{U_1} = \frac{N_1 C_1}{N_2 C_2} \left( 1 + j \omega C_c r \frac{N_c}{N_1} \right),$$

rezultă eroarea de unghi  $\delta_u$  a transformatorului de verificat:

$$\delta_u = \omega C_c \cdot r \frac{N_c}{N_1}.$$

### 3.2.2. Metode de verificare a funcționării transformatoarelor de măsură de curent

Determinarea erorilor de curent și de unghi la transformatoarele de curent se face prin:

- măsurarea directă a curenților;
- cu divizorul inductiv de tensiune;
- cu comparatorul inductiv de curent;
- metoda diferențială;
- metoda absolută.

Aceste metode se întrebunțează în funcție de clasa de precizie a transformatorului, conform tabelului 3.7.

*Tabelul 3.7*

Clasa de precizie	Metoda de verificare
0,1	Comparatorul inductiv de curent Divizorul inductiv de tensiune Diferențială
0,2 ; 0,5 ; 1	Diferențială Absolută
3	Prin măsurarea directă a curenților

**Verificarea prin metoda măsurării directe a curenților.**  
Instalațiile pentru verificarea transformatoarelor de curent de clasa de precizie 3, ale căror erori de unghi nu se verifică,

sint arătate în figura 3.7. Această instalatie se compune din sursa de curent  $T_a$ , ampermetrele etalon  $A_{e1}$  și  $A_{e2}$  și transformatorul etalon  $T_e$ .

La verificarea transformatoarelor la care curenții nominali primari sunt relativ mici se poate folosi o schemă în

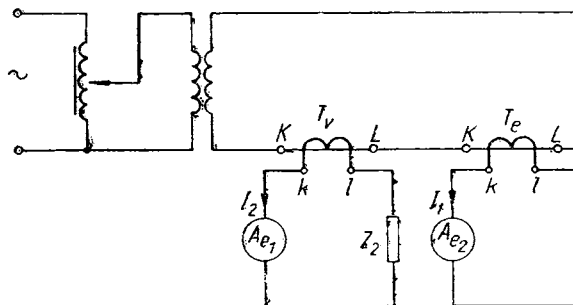


Fig. 3.7. Verificarea transformatoarelor de curent prin metoda măsurării directe a curenților.

care  $A_{e1}$  se conectează fără intermediul unui transformator etalon.

Modul de lucru este următorul :

- se verifică corespondența bornelor bobinajelor primare și secundare ;
- se demagnetizează miezul fero-magnetic al transformatorului de verificat ;
- se stabilește succesiv curentul de alimentare al transformatorului de curent la valorile necesare pentru verificare (tabelul 3.8) și se notează citirile la ampermetrele  $A_{e1}$  și  $A_{e2}$ ,

*Tabelul 3.8*

Clasa de precizie a transformatoarelor de curent	Sarcina	Valorile curenților primari în % din valoarea nominală
0,1 ; 0,2 ; 0,5 ; 1	Nominală 25 % din sarcina nominală	10 ; 20 ; 100 100
3	Nominală 25 % din sarcina nominală	50 : 100 100

atât pentru valori crescătoare cât și descrescătoare ale curentului de alimentare.

Eroarea de curent în cazul conectării directe a ampermetrului  $A_{e1}$ , fără intermediul transformatorului etalon se determină cu ajutorul formulei

$$\Delta i = \frac{k_n I_2 - I_2}{I_1} \cdot 100\%,$$

în care:  $I_1$  reprezintă indicația ampermetrului etalon  $A_{e1}$ ;  $I_2$  — indicația ampermetrului etalon  $A_{e2}$ ;  $k_n$  — raportul de transformare al transformatorului de verificat.

În cazul montajului din figura 3.7 eroarea de curent se determină cu relația

$$\Delta i = \frac{k_n I_2 \left(1 + \frac{\Delta i_e}{100}\right)}{k_{ne} I_1},$$

în care:  $k_{ne}$  reprezintă raportul de transformare al transformatorului de curent etalon;  $\Delta i_e$  — eroarea de curent a transformatorului de curent etalon.

**Verificarea prin metoda divizorului inductiv de tensiune.** Pe principiul divizorului inductiv de tensiune expus la cap. 2

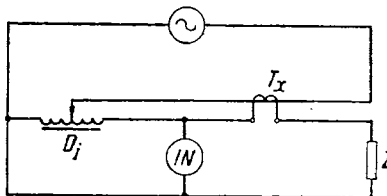


Fig. 3.8. Schema pentru etalonarea transformatoarelor de curent prin metoda divizorului inductiv de tensiune fără determinarea erorii de unghi.

se efectuează și verificări de precizie asupra transformatoarelor de curent.

O schemă de principiu pentru etalonarea acestor transformatoare fără determinarea erorii de unghi este redată în fig. 3.8.

În circuitul transformatorului  $T_x$  este introdusă sarcina  $Z$ . Curentul secundar al transformatorului  $T_x$  este comparat

într-un montaj diferențial cu curentul de la ieșirea divizorului inductiv  $DI$ . În cazul în care curentul primar depășește curentul maxim admis al divizorului, este necesar a fi introdus un transformator de curent etalon. Pentru determinarea erorii de unghi se utilizează un transformator de curent auxiliar  $T_A$  ca în fig. 3.9.

Condensatorul variabil  $C$  asigură obținerea unui curent defazat aproximativ la  $90^\circ$  față de curentul din secundarul transformatorului de etalonat  $T_x$ ; rezistorul  $r$  trebuie să aibă o rezistență mică.

**Verificarea prin metoda comparatorului inductiv.** Verificarea transformatoarelor de curent prin metoda comparatorului inductiv este prezentată în fig. 3.10. Comparatorul inductiv de curent  $CI$  este format dintr-un miez toroidal cu permeabilitate ridicată pe care se află următoarele înfășurări principale; două înfășurări  $P$  și  $S$  parcuse de curenții de comparat și a treia  $D$ , numită *înfășurare de detecție* sau de măsurare, destinată să indice anularea fluxului magnetic din miez.

Comparatorul poate fi prevăzut și cu alte înfășurări, de exemplu cu o înfășurare suplimentară care să servească la ajustarea fină a echilibrului, curentul de valoare cunoscută din această înfășurare fiind proporțional cu diferența dintre curenții comparați. Pentru măsurări în curent alternativ înfășurarea de detecție este conectată la un indicator de nul  $IN$  obișnuit. Tensiunea indușă în această înfășurare, în ipoteza unui comparator de curent ideal (fără dispersie magnetică și curenți capacitive), este

$$U_d = -j\omega N_d \cdot \Phi = -j\omega N_d \frac{N_1 I_1 + N_2 I_2}{R},$$

unde:  $\omega = 2\pi f$  este pulsația;

- |               |   |
|---------------|---|
| $N_d$         | — numărul de spire ale înfășurării de detectie;   |
| $\Phi$        | fluxul magnetic;                                  |
| $N_1$ ; $N_2$ | — numărul de spire ale înfășurărilor $P$ și $S$ ; |
| $I_1$ ; $I_2$ | — curenții de comparat;                           |
| $R$           | — reluctanța miezului.                            |

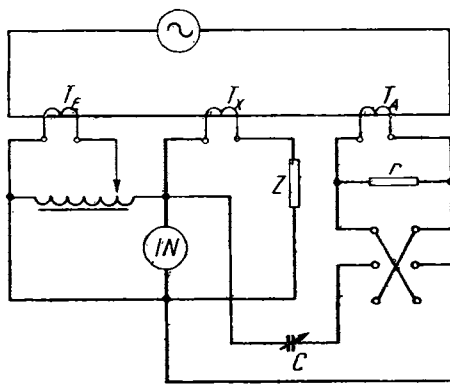


Fig. 3.9. Schema pentru etalonarea completă a transformatoarelor de curent, prin metoda divizorului inductiv de tensiune.

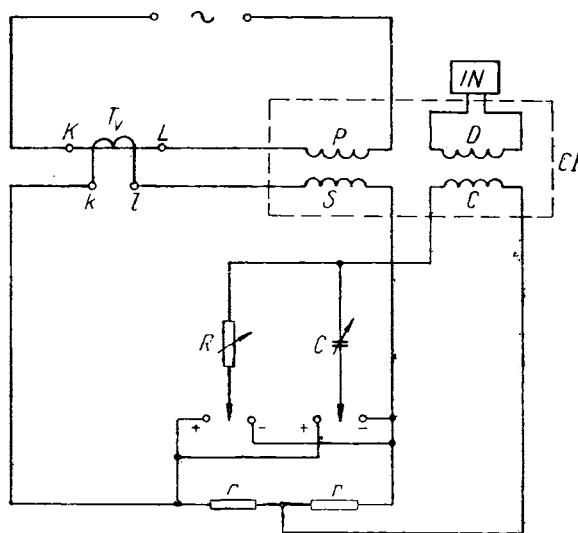


Fig. 3.10. Schema pentru verificarea transformatoarelor de curent prin metoda comparatorului inductiv.

La echilibru  $U_d = 0$  și

$$\frac{I_1}{I_2} = \frac{N_2}{N_1}.$$

Pentru determinarea erorilor unui transformator de curent, prin metoda comparatorului inductiv, este necesar ca raportul  $N_1/N_2$  al numerelor de spire din înfășurările principale ale comparatorului să fie egal cu raportul nominal de transformare al transformatorului de verificat. Înfășurările primare ale transformatorului și ale comparatorului se leagă în serie. La fel se leagă în serie și înfășurările secundare care se închid pe o impedanță de sarcină. În acest mod solenăția totală aplicată comparatorului este proporțională cu eroarea transformatorului de verificat.

Pentru determinarea erorilor de curent și de unghi este necesar ca solenăția datorită erorii să fie compensată cu un curent care să fie egal cu o fracțiune cunoscută din curentul secundar al transformatorului de verificat. Prin înfășurarea  $C$ , de compensație a comparatorului inductiv, circulă un curent care are două componente: una în fază cu curentul secundar  $I_2$  și aproximativ egală cu  $\frac{r}{R} I_2$ , iar cealaltă în cuadratură cu  $I_2$  și aproximativ egală cu  $r\omega C I_2$  (aceste aproximării sunt cu atât mai precise cu cât  $r \ll R$  și  $r \ll \frac{1}{\omega C}$ .

Pentru verificarea transformatoarelor de clasa 0,1 și mai precise, rezistența  $R$ , din schema comparatorului inductiv, este constituită dintr-o cutie de rezistențe de  $10 \times 10000 \Omega$ , de clasă cel puțin 0,2, iar capacitatea  $C$  dintr-o baterie de condensatoare cu valori cuprinde între 0 și  $11 \mu F$  și a cărei clasă de precizie este de asemenea cel puțin 0,2.

Cu ajutorul comutatoarelor  $k_1$  și  $k_2$  se pot inversa semnele celor două componente ale curentului de comparație în funcție de semnul erorii transformatorului de verificat.

Eroarea de curent  $\Delta_i$  și eroarea de unghi  $\delta_i$  ale transformatorului de verificat sunt egale la echilibru cu relațiile:

$$\Delta_i = \frac{r}{R} \frac{N_c}{N_2};$$

$$\delta_i = r\omega C \frac{N_c}{N_2},$$

în care  $N_c$  este numărul de spire al înfășurării de compensație.

**Verificarea prin metoda diferențială.** Instalația pentru verificarea transformatoarelor de curent prin metoda diferențială se compune din următoarele elemente :

- circuitul de măsurare ;
- circuitul diferențial cu galvanometru de vibrații ;
- divizoarele rezistive de tensiune ;
- voltampermetru ;
- releu electromagnetic pentru controlul sensului de conectare al transformatoarelor de măsură.

Circuitul de măsurare se compune din rezistența cu fir calibrat sinfazică  $F$  și cea de cuadratură  $D$ , transformatorul intermediar de curent  $T$  și dispozitivul de defazaj  $M$ . Rezistența cu fir calibrat sinfazică servește pentru compensarea erorilor de curent și este conectată la bornele secundare ale transformatorului intermediar de curent  $T$ . Rezistența cu fir calibrat de cuadratură  $D$  servește la compensarea erorilor de unghi ale transformatorului de verificat și este conectată la bornele secundare ale inductivității mutuale  $M$  (fig. 3.11).

Înfășurările primare ale transformatorului intermediar de curent și ale inductivității mutuale  $M$  sunt conectate în serie și prin ele trece curentul de lucru  $I_0$  al instalației. Cădereea de tensiune de pe rezistența  $F$  este în acest fel în fază cu curentul  $I_0$ , iar cădereea de tensiune de pe rezistența  $D$  de cuadratură defazată cu  $90^\circ$  față de curentul  $I_0$ .

Verificarea transformatoarelor de curent prin metoda diferențială se realizează pe calea comparării erorilor trans-

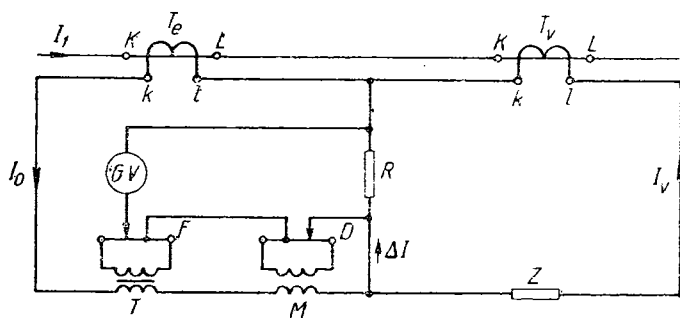


Fig. 3.11. Verificarea transformatoarelor de curent prin metoda diferențială.

formatorului  $T_v$  de verificat cu cele ale unui transformator etalon  $T_e$ , care are raportul de transformare egal cu cel al transformatorului de verificat. Înfăşurările primare ale celor două transformatoare se conectează în serie.

Curentul care trece prin ramura diferențială  $R$ , reprezintă diferența curentilor care trec prin înfășurările secundare ale transformatoarelor de verificat și etalon. Cădereea de tensiune de pe rezistența  $R$  se compensează cu ajutorul căderilor de tensiune de pe rezistențele  $F$  și  $D$ . Rezistențele, care se stabilesc pe firele calibrate și de quadratură, la echilibrarea schemei, sunt proporționale cu eroarea de curent și respectiv cu eroarea de unghi a transformatorului de verificat. Valourile erorilor se citesc direct pe scările rezistențelor cu fir calibrat după echilibrarea schemei. Pentru determinarea echilibrului se utilizează de regulă un galvanometru de vibrații  $GV$ . Valoarea curentului primar la care se execută verificarea se fixează după indicațiile ampermetrului conectat în circuitul secundar al transformatorului de curent etalon.

Transformatoarele de curent cu mai multe domenii de măsurare pot fi verificate, pentru raportul de transformare unitar ( $5/5$  A), fără utilizarea unui transformator de curent etalon.

Transformatoarele de curent etalon utilizate în metoda diferențială trebuie să aibă clasa de precizie cel puțin  $0,2$ , la sarcină nominală de cel puțin  $0,4 \Omega$  — pentru curentul nominal secundar de  $5$  A și de cel puțin  $15 \Omega$  — pentru curentul nominal secundar de  $1$  A.

Pentru verificarea transformatoarelor de curent de clasa de precizie  $0,1$  și  $0,2$  se recomandă să se folosească ca etalon un transformator ale căror erori de curent și de unghi să nu depășească  $\pm 0,1\%$  și respectiv  $\pm 5'$ . Se pot folosi și transformatoare etalon de clasă  $0,2$ , cu condiția ca erorile să nu depășească limitele clasei de precizie la toate sarcinile de la zero la sarcina nominală și  $\cos \phi = 1$ , iar diferența dintre valorile maxime și minime ale erorilor la curenti între  $0,1 I_n$  și  $1,2 I_n$  să nu depășească  $0,15\%$  și respectiv  $7,5'$ . Erorile transformatoarelor de curent folosite ca etalon, de clasa  $0,2$  și mai precise, trebuie să fie cunoscute cu precizie de  $\pm 0,02\%$  și  $0,5'$ .

Erorile transformatorului de curent verificat se calculează cu relațiile :

$$\Delta_i = \Delta_{im} + \Delta_{io};$$

$$\delta_i = \delta_{im} + \delta_{io},$$

în care :  $\Delta_i$  și  $\delta_i$  — valorile transformatorului verificat ;  
 $\Delta_{im}$  și  $\delta_{im}$  — valorile medii ale indicațiilor obținute la creșterea și scăderea curentului ;

$\Delta_{io}$  și  $\delta_{io}$  — valorile erorilor transformatorului etalon.

La verificarea transformatoarelor de curent prin metoda diferențială, valoarea curentului se măsoară cu ajutorul unui ampermetru de clasa 1 cu rezistență constantă pentru toate domeniile de măsurare. În lipsa unui ampermetru corespunzător, valoarea necesară a curentului se poate stabili cu ajutorul unui ampermetru de clasă 0,5 și a unui transformator de curent a cărui clasă de precizie trebuie să fie cel puțin 0,5.

**Verificarea prin metoda absolută.** Instalația pentru verificarea transformatoarelor de curent prin metoda absolută se compune din următoarele elemente (fig. 3.12, a și b) :

$T_a$  — sursă de curent ;

$T_e$  — transformator etalon ;

$T_v$  — transformatorul de verificat ;

$A$  — ampermetru ;

$Z_2$  — sarcina variabilă (impedanță cu reactanță pozitivă) ;

$R_{e1}$  și  $R_{e2}$  — rezistențe etalon ;

$D_t$  — divizor de tensiune în decade ;

$R_1$ ;  $R_2$ ;  $R_3$  și  $R_4$  — cutii de rezistențe cu ploturi sau rezistențe fixe ;

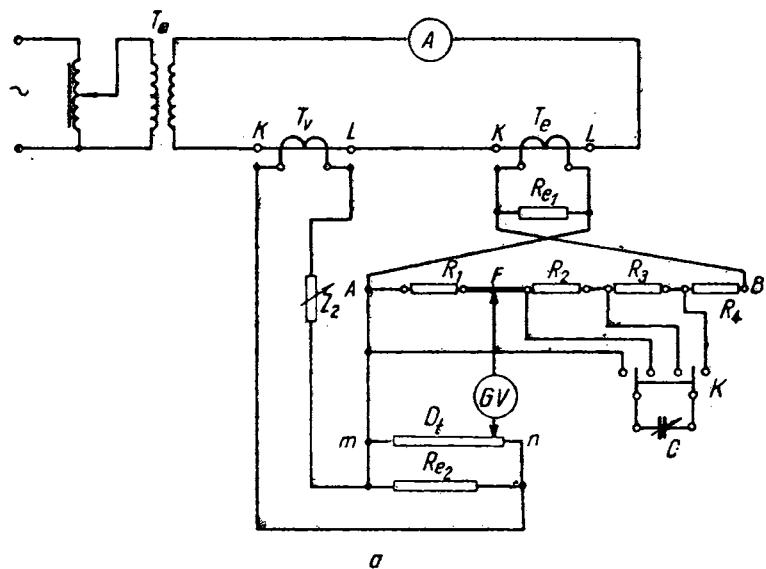
$k$  — întreruptor ;

$GV$  — galvanometru de vibrații ;

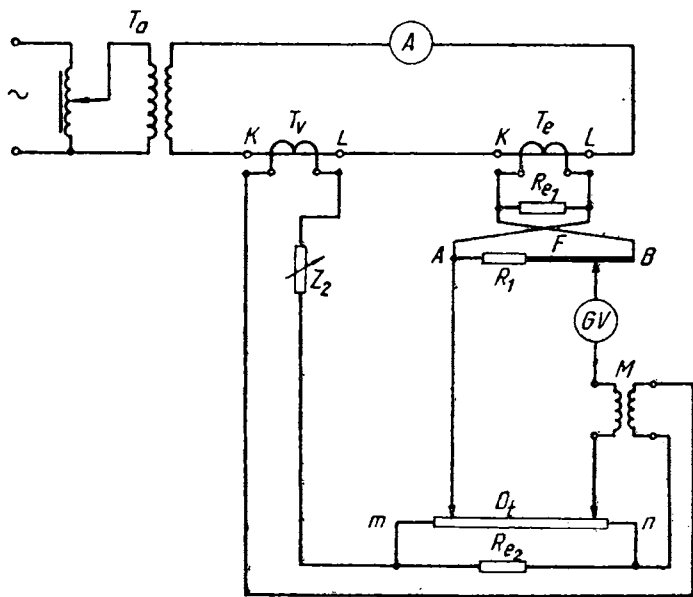
$C$  — condensator variabil ;

$M$  — inductanță mutuală cu aer ;

$F$  — rezistență cu fir calibrat.



a



b

Fig. 3.12. Instalație pentru verificarea transformatoarelor de curent prin metoda absolută :

a — dotată cu condensatorul variabil  $C$  pentru obținerea unei tensiuni de compensare ; b — în care inducția mutuală variabilă  $M$  îndeplinește funcțiile condensatorului  $C$  din fig. a.

Prin această metodă, curenții secundari se compară indirect prin intermediul căderilor de tensiune pe care le produc pe rezistențele etalon ale instalației. Cele două căderi de tensiune sunt redistribuite, una prin dispozitivul de compensare  $AB$ , cealaltă pe divizorul de tensiune  $D_t$ , în aşa fel încât ele fiind în opoziție să debiteze, în circuitul galvanometrului de vibrații  $GV$ , curenți de sensuri contrare. Reglind poziția cursoarelor prin divizorul de tensiune  $D_t$  și  $F$ , se obține o amplitudine minimă a vibrațiilor galvanometrului  $GV$ . La echilibru, căderile de tensiune între punctele  $AB$  și  $m_n$  sunt egale ca mărime și raportul curenților  $I_1$  și  $I_2$  poate fi calculat din valorile rezistențelor ce determină aceste tensiuni.

Compensarea erorii de unghi se realizează introducind în circuitul galvanometrului o tensiune de compensare, obținută fie cu ajutorul unui condensator variabil  $C$  montat în paralel cu o parte din rezistențele  $AB$  (fig. 3.12, a), fie printr-o inductanță mutuală variabilă  $M$  montată cu primarul în serie cu circuitul secundar al transformatorului de verificat (fig. 3.12, b).

Eroarea de curent  $\Delta_i$  se citește direct pe scara rezistenței cu fir calibrat  $F$ , iar eroarea de unghi  $\delta_i$  se citește pe tamburul condensatorului variabil  $C$ , respectiv al inductanței mutuale  $M$ . Galvanometrul se protejează împotriva curenților de valori prea mari, iar variația treptată a sensibilității sale se realizează cu ajutorul unui dispozitiv de șuntare.

Pentru măsurarea erorilor, înfășurările primare ale transformatorului de verificat și cel etalon se leagă în serie între ele și cu sursa de alimentare. După demagnetizarea miezului transformatorului de verificat, se stabilește valoarea dorită a curentului în înfășurările primare ale transformatoarelor, în timp ce înfășurările secundare sunt conectate pe sarcina indicată. Se trece la compensarea, atât în valoare absolută cât și în fază, a căderilor de tensiune pe divizoarele de tensiune  $D_t$  și  $AB$ . Erorile de curent și de unghi, fără a ține seama de erorile transformatorului etalon, se citesc direct pe cadranele respective. Calculul erorilor, ținând cont de

erorile de curent  $\Delta_{io}$  și de unghi  $\delta_{io}$  ale transformatorului etalon, se calculează cu relațiile :

$$\Delta_i = \Delta_{im} + \Delta_{io};$$

$$\delta_i = \delta_{im} + \delta_{io};$$

în care  $\Delta_{im}$  și  $\delta_{im}$  sunt valorile medii ale indicațiilor obținute pe scările de măsurare, la creșterea și scăderea curentului.

Transformatoarele utilizate ca etalon trebuie să aibă aceeași clasă de precizie ca cel indicat la metoda diferențială. Rezistențele  $R_1, R_2, R_3, R_4$ , precum și divizorul de tensiune  $D_t$  trebuie să fie în clasa de precizie 0,02, iar ampermetrul pentru măsurarea curentului trebuie să aibă clasa cel puțin 1.

**Etalonarea transformatoarelor de curent de precizie ridicată.** Transformatoarele de curent de precizie folosite ca etaloane sunt de clasă 0,005, 0,01, 0,02, 0,05 și 0,1. Ca și la subcapitolul anterior menționăm că ele, servind numai în scopuri metrologice nu au fost luate în considerare la clasificare. Ele se construiesc pentru curenții nominali primari cuprinși între 0,1 A și 15 kA, iar curenții nominali secundari sunt de 5 A și 1 A. Puterile nominale ale transformatoarelor etalon sunt : 5 VA, 10 VA, 15 VA, 30 VA și 60 VA.

În tabelul 3.9 sunt indicate erorile admisibile ale transformatoarelor etalon de curent ale căror valori rămân constante în intervalul de variație a curentului primar de la 10% la 120%.

*Tabelul 3.9*

Curentul primar în % din curentul nominal	Valorile erorilor admisibile		
	Eroare de curent %	Eroare de unghi	
		-	miliрадiani
10...120	±0,005	±0,5	±0,15
10...120	±0,01	±1	±0,30
10...120	±0,02	±1,5	±0,45
10...120	±0,05	±3	±0,90
10...120	±0,1	±5	±1,5

În tabelul 3.10 sunt indicate erorile transformatoarelor etalon de curent, care sunt dependente de valorile curentului nominal primar.

*Tabelul 3.10*

Clasa de precizie	Curentul primar, % din curentul nominal	Valoarea erorilor admisibile			Limitele puterii secundare % din puterea nominală	
		Eroare de curent, %	Eroare de unghi			
			,	miliradi-ani		
0,01	10	±0,025	± 2,0	± 0,60	95...100	
	20	±0,020	± 1,5	± 0,45		
	50	±0,015	± 1,2	± 0,36		
	100...120	±0,010	± 1,0	± 0,30		
0,02	10	±0,050	± 3,0	± 0,90	50...100	
	20	±0,035	± 2,3	± 0,68		
	50	±0,030	± 1,8	± 0,54		
	100...120	±0,020	± 1,5	± 0,54		
0,05	10	±0,100	± 6,0	± 1,8		
	20	±0,075	± 5,0	± 1,5		
	50	±0,065	± 4,0	± 1,2		
	100...120	±0,050	± 3,0	± 0,9		
0,1	10	±0,25	± 10,0	± 0,30		
	20	±0,20	± 8,0	± 0,24		
	50	±0,15	± 7,0	± 0,21		
	100...120	±0,10	± 5,0	± 0,15		
0,2	10	±0,50	± 20	± 6,0		
	20	±0,35	± 15	± 4,5		
	50	±0,30	± 12	± 3,6		
	100...120	±0,20	± 10	± 3,0		

Pentru determinarea erorilor transformatoarelor etalon de curent se folosesc metode și instalații de verificare a căror eroare este de cel puțin 5 ori mai mică decât eroarea admisibilă a transformatorului de verificat. Se admite utilizarea metodelor și instalațiilor de etalonare a căror eroare este de 2,5 ori mai mică decât eroarea admisibilă a transformatorului de verificat, cu condiția folosirii corecțiilor date pentru mijloacele de etalonare.

Determinarea erorilor transformatoarelor etalon de curenț se face în următoarele condiții :

- abaterea frecvenței de la valoarea nominală de cel mult  $\pm 2\%$  ;
- temperatura mediului ambiant cuprinsă între  $+15^{\circ}\text{C}$  ...  $+30^{\circ}\text{C}$  ;
- presiunea atmosferică corespunzătoare altitudinilor cuprinse între 0 ... 1 000 m ;
- umiditatea relativă cuprinsă între 30% ... 80% ;
- factorul de distorsiune al curbei curentului să fie de cel mult 5%.

Înainte de etalonare se verifică polaritatea bornelor și se demagnetizează circuitul magnetic.

Determinarea erorilor transformatoarelor etalon de curenț se face prin două categorii de metode :

*metode de comparație*, în cadrul cărora transformatorul de verificat se compară cu un alt transformator etalon ;

*metode absolute*, în cadrul cărora erorile transformatorului se determină fără utilizarea unui alt transformator etalon.

În general metodele de comparație nu sunt recomandate pentru etalonări de transformatoare etalon de curenț. Ele pot fi totuși folosite în cazul transformatoarelor având clasele de precizie 0,1 și 0,05, cu respectarea condițiilor referitoare la erorile maxime admisibile ale ansamblului transformator, etalon și instalația de comparare.

Dintre metodele absolute, cea mai indicată, pentru etalonarea tuturor tipurilor de transformatoare etalon de curenț, este metoda comparatorului inductiv de curenț.

### 3.3. Cele mai utilizate aparete și instalații realizate pentru verificarea transformatoarelor de măsură

#### 3.3.1. Aparat tip AIT pentru verificarea transformatoarelor de măsură

Aparatul tip AIT fabricat în U.R.S.S. este un aparat diferențial de nul care se utilizează pentru verificarea transformatoarelor de măsură de curenț și de tensiune de clasele 0,1 ; 0,2 ; 0,5 ; 1,0 ; 3,0 și 10 având curentul secundar nomi-

nal 5 A sau 1 A și tensiunea secundară nominală de 100 V sau  $100/\sqrt{3}$  V, la frecvența de 50 Hz, în încăperi închise cu temperaturi între  $+10^{\circ}\text{C}$  și  $+35^{\circ}\text{C}$ . Aparatul AIT conține galvanometrul vibrator de tipul M 501.

Aparatul se poate utiliza și în calitate de potențiometru de curent alternativ în coordonate rectangulare, pentru măsurarea tensiunilor mici pînă la 50 mV.

**Caracteristicile principale ale aparatului tip AIT** se dau în tabelul 3.11.

*Tabelul 3.11*

Caracteristica	Valoarea
Curentul nominal secundar al transformatoarelor de curent de verificat	5A și 1A
Tensiunea secundară nominală a transformatoarelor de tensiune de verificat	100 V și $100/\sqrt{3}$ V
Limita maximă a măsurării, în % din valoarea nominală a curenților și tensiunilor secundare, cu voltampermetrul montat în aparat	120
Eroarea de bază a voltampermetrului montat în aparat :	
— la curenții de la 0,5 A la 6 A (domeniul 5A)	1,5 %
— la curenții de la 0,1 A la 1,2 A (domeniul 1 A)	1,5 %
— la tensiuni de la 80 V la 120 V (domeniul 100 V)	1,5 %
— la tensiuni de la 10 V la 80 V (domeniul 100 V)	2,5 %
Constanta de tensiune a galvanometrului de vibrații la frecvența de 50 Hz	$C_e \leq 1,5 \cdot 10^{-5} \text{ V/mm}$
Constanta de curent a galvanometrului de vibrații la frecvența de 50 Hz	$C_t = 10 \cdot 10^{-8} \text{ A/mm}$
Gama frecvențelor de rezonanță	30...100 Hz

**Principiul de funcționare al aparatului AIT.** La baza construcției aparatului stă metoda diferențială de nul a verificării transformatoarelor de măsură prin compararea transformatorului de verificat cu un transformator etalon.

*Verificarea transformatoarelor de curent* se face conform schemei din figura 3.13.

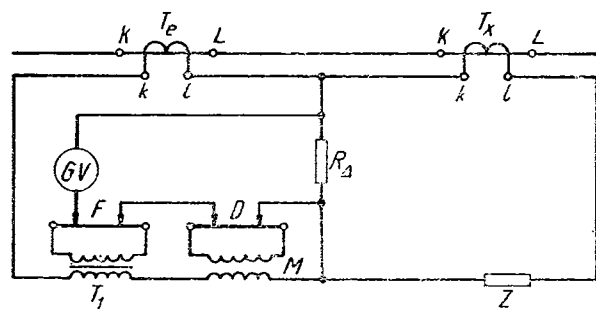


Fig. 3.13. Schema aparatului AIT pentru verificarea transformatoarelor de curent.

Schemă se compune din transformatorul de verificat  $T_x$ , transformatorul etalon  $T_E$ , rezistență  $R_\Delta$ , impedanță de sarcină  $Z$ , rezistență cu fir calibrat  $F$  (sinfazic), rezistență cu fir calibrat  $D$  (în quadratură), transformatorul auxiliar  $T_1$ , dispozitivul de defazaj  $M$  și galvanometrul de vibrații.

*Verificarea transformatoarelor de tensiune* se face conform schemei din fig. 3.14.

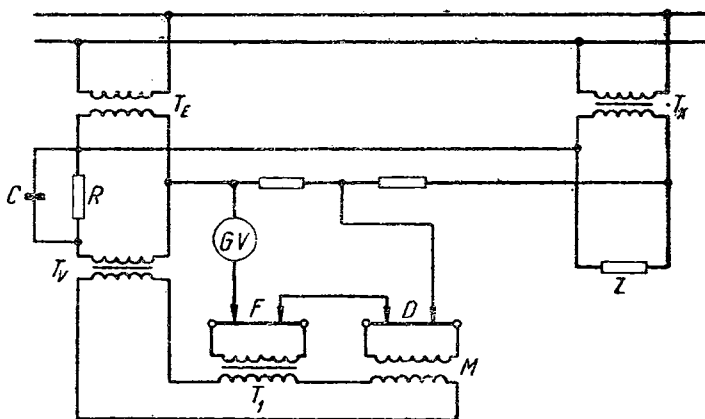


Fig. 3.14. Schema aparatului AIT pentru verificarea transformatoarelor de tensiune.

Se utilizează același circuit de măsură ca și pentru verificarea transformatoarelor de curent. Circuitul de măsură se conectează prin transformatorul auxiliar  $T_v$  la bornele secundare ale transformatorului etalon. Datorită rezistenței  $R$  conectată în paralel cu capacitatea  $C$  în circuitul primar al transformatorului auxiliar  $T_v$ , curentul din secundarul acestuia coincide ca fază cu tensiunea secundară a transformatorului etalon.

Schela de principiu a aparatului AIT pentru *măsurarea impedanței de sarcină a transformatoarelor de măsură de curent* este redată în fig. 3.15. Această măsurare este necesară deoarece valorile erorilor transformatorului de curent depind de valoarea și factorul de putere al sarcinii din circuitul secundar.

Notînd prin  $m$  raportul tensiunii luat de pe divizorul  $D_Z$  și căderii de tensiune pe sarcină și ținînd seama că partea activă a căderii de tensiune se compensează pe rezistența  $F$ , iar componenta reactivă pe rezistența  $D$ , se obține la echilibrul schemei :

$$I_x A r_f = I_x R m$$

și

$$I_x B r_\delta = I_x X m$$

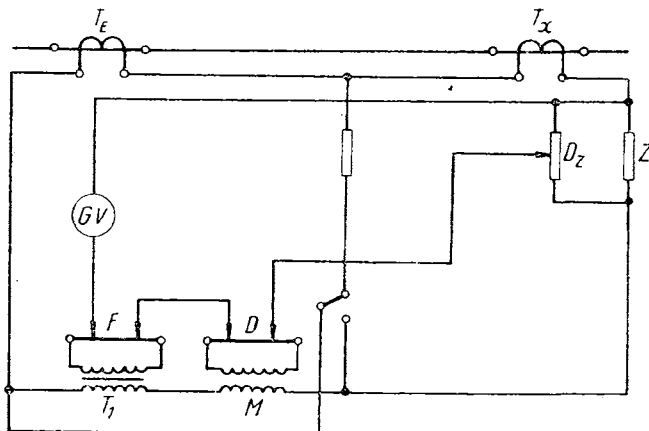


Fig. 3.15. Schema de principiu a aparatului AIT pentru măsurarea impedanței de sarcină la transformatoarele de curent.

unde  $I_x$  este curentul prin impedanță de sarcină ;  
 $r_f$  — rezistența firului calibrat  $F$  ;  
 $r_\delta$  — rezistența firului calibrat  $D$  ;  
 $A$  și  $B$  — coeficienți ce indică utilizarea unei părți din rezistență cu fir calibrat.

Din relațiile de echilibru se obține :

$$R = \frac{A \cdot r_f}{m} \text{ și } X = \frac{B \cdot r_\delta}{m}.$$

Astfel, pe gradațiile scărilor celor două rezistențe cu fir calibrat se poate determina direct valoarea rezistenței și reactanței sarcinii transformatorului de curent. Impedanța de sarcină și factorul de putere se determină cu formulele :

$$z = \sqrt{R^2 + X^2};$$

$$\cos \varphi = \frac{R}{Z} = \frac{R}{\sqrt{R^2 + X^2}}.$$

Schela de principiu a aparatului AIT pentru măsurarea *impedanței de sarcină a transformatoarelor de măsură de tensiune* este redată în fig. 3.16.

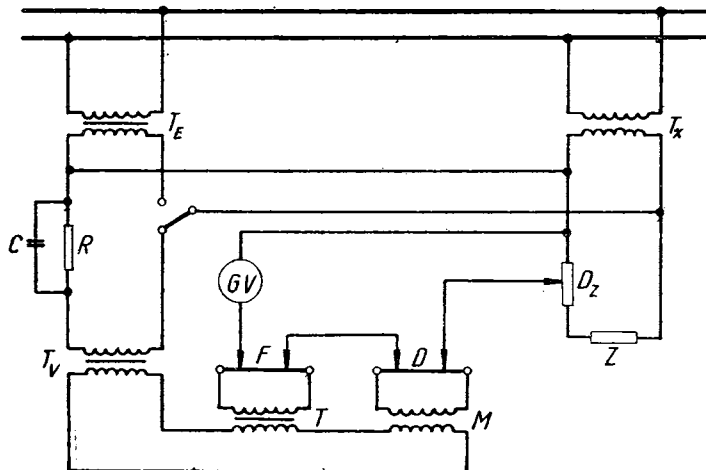


Fig. 3.16. Schela de principiu a aparatului AIT pentru măsurarea *impedanței de sarcină la transformatoarele de tensiune*.

Pentru alimentarea schemei de măsurare la verificarea transformatoarelor de tensiune, pe panoul aparatului este montat transformatorul auxiliar  $T_v$ , în primarul căruia se află o schemă artificială din condensatoare și rezistențe care realizează aducerea în fază a tensiunii aplicate înfășurării primare cu curentul al acestui transformator.

Divizorul de tensiune în schema de verificare a transformatoarelor de tensiune are patru trepte prin comutarea cărora se modifică domeniul de măsură al erorilor.

Pentru măsurarea sarcinii transformatoarelor de curent, în aparat este prevăzut un divizor neinductiv.

Modificarea domeniului de măsură a sarcinii se obține prin schimbarea rezistenței divizorului.

Măsurarea impendației la încercarea transformatoarelor de tensiune se realizează cu ajutorul unei rezistențe speciale, conectată în serie cu impedanța de sarcină. Prin schimbarea valorii acestei rezistențe se modifică domeniul de măsură al impedației.

Pentru determinarea valorii curenților și tensiunilor la care are loc verificarea transformatoarelor, în aparat este montat un voltampermetru cu redresor cu scara gradată în procente din valoarea nominală a curenților și tensiunilor. Pentru modificarea domeniului de măsură al instrumentului în aparat există un comutator special.

Pentru determinarea corectitudinii conectării transformatorului etalon și corectitudinii marcării bornelor transformatorului de verificat, în aparat există o clapetă cu două bobine, una din bobine este conectată în serie cu rezistență diferențială pentru verificarea transformatoarelor de curent, iar cea de a doua în paralel cu divizorul de tensiune al schemei de verificare a transformatoarelor de tensiune.

Pentru verificarea echilibrului schemei se întrebunează un galvanometru vibrator tip M501. Aparatul AIT este prevăzut cu un lăcaș special pentru introducerea galvanometrului.

Pentru racordarea transformatoarelor, a sarcinilor și a celorlalte conexiuni, aparatul are bornele necesare cu notajile corespunzătoare. De asemenea, aparatul este prevăzut cu o bornă pentru legarea la pămînt, precum și bornele necesare pentru alimentarea sistemului optic al galvanometrului.

Galvanometrul cu vibrații magnetoelectrice cu magnet mobil, transportabil de tipul M501 se utilizează ca instrument de nul în scheme de compensare și în punți de curent alternativ cu frecvențe de la 30 la 100 Hz.

### 3.3.2. Aparat AEG pentru verificarea transformatoarelor de măsură

Aparatul AEG este asemănător aparatului tip AIT, servind la verificarea transformatoarelor de măsură de curent și de tensiune, având curentul secundar de 1 A, 5 A și 10 A și tensiunea secundară de  $100\text{ V}$ ;  $110\text{ V}$ ;  $100/\sqrt{3}\text{ V}$ ;  $110/\sqrt{3}\text{ V}$ ;  $200/\sqrt{3}\text{ V}$  și  $400/\sqrt{3}\text{ V}$ . Aparatul permite măsurarea impedanțelor de sarcină din circuitul secundar al transformatoarelor verificate. De asemenea, aparatul AEG se poate utiliza drept compensator în măsurarea tensiunilor și curenților.

Schemele de principiu de măsurare ale aparatului AEG propriu-zis sunt identice cu cele ale aparatului sovietic tip AIT. Schemele de măsurare cu utilizarea anexelor sunt indicate în figurile 3.17 și 3.18.

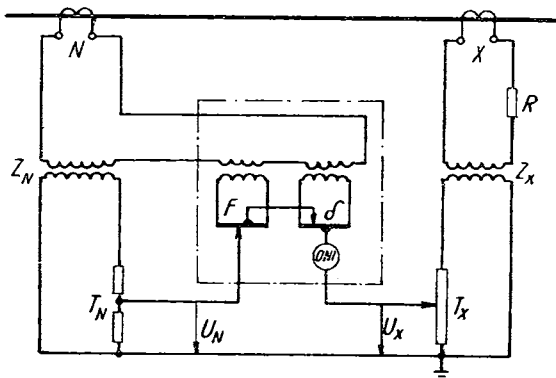


Fig. 3.17. Verificarea transformatorului de curent cu ajutorul unui instrument suplimentar.

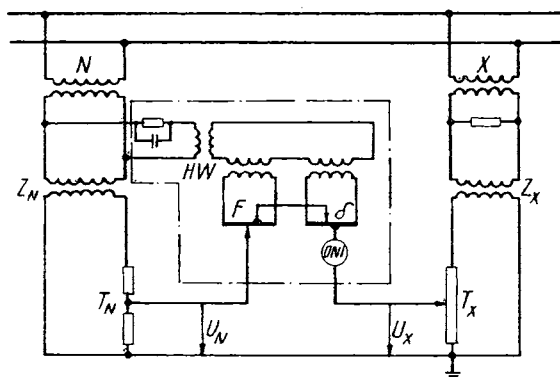


Fig. 3.18. Verificarea transformatorului de tensiune cu ajutorul unui instrument suplimentar.

### 3.3.3. Aparatul pentru etalonarea transformatoarelor de tensiune tip AETT-1

Aparatul tip AETT a fost realizat și brevetat de Institutul Național de Metrologie București [31]. Aparatul se bazează pe metoda comparatorului inductiv a cărui schemă simplificată este redată în fig. 3.19.

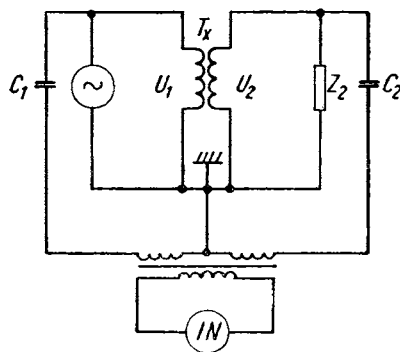


Fig. 3.19. Schema simplificată de etalonare a transformatoarelor de tensiune după metoda comparatorului inductiv.

Conform acestei metode se măsoară raportul curenților care circulă prin două condensatoare  $C_1$  și  $C_2$ , conectate în primarul și secundarul transformatorului de etalonat. Sursa de tensiune alternativă alimentează primarul transformatorului de etalonat  $T_x$ . În secundarul acestuia se conectează impedanța de sarcină  $Z_2$ . Pe condensatoarele  $C_1$  și  $C_2$ , cu pierderi neglijabile, în serie cu cîte o infășurare a comparatorului inductiv de curent  $CI$  sînt aplicate tensiunile  $U_1$  și  $U_2$  din primarul, respectiv secundarul transformatorului de etalonat  $T_x$ . Indicatorul de nul  $IN$  este legat la bornele infășurării de detecție a comparatorului inductiv  $CI$ .

Măsurarea erorilor de tensiune și de unghi cu aparatul AETT-1 se face utilizîndu-se infășurări de compensație separate conform schemei generale redată în fig. 3.20.

Se utilizează un rezistor  $r$ , de rezistență relativ mică, în serie cu condensatorul  $C_1$ , astfel încît curentul  $I_1$  să producă o cădere de tensiune  $\Delta U = rI_1$  în fază cu  $I_1$ . În circuitul rezistorului  $R$  ia naștere un curent  $I_\Delta$  în fază cu  $I_1$ , de valoare proporțională cu  $1/R$  (se alege  $R \gg r$ ), al cărui efect asupra comparatorului este proporțional cu  $N_\Delta I_\Delta$ , obținîndu-se

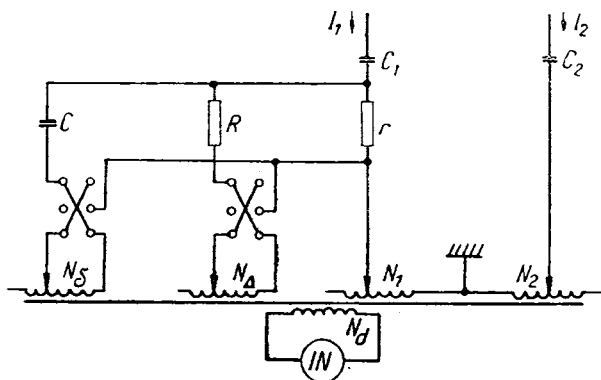


Fig. 3.20. Schema generală de compensare a erorilor de raport și de unghi.

astfel posibilitatea compensării erorii de tensiune a transformatorului de etalonat  $T_x$ . În circuitul condensatorului  $C$  ia naștere un curent  $I_8$  decalat la  $90^\circ$  față de  $I_1$  și proporțional

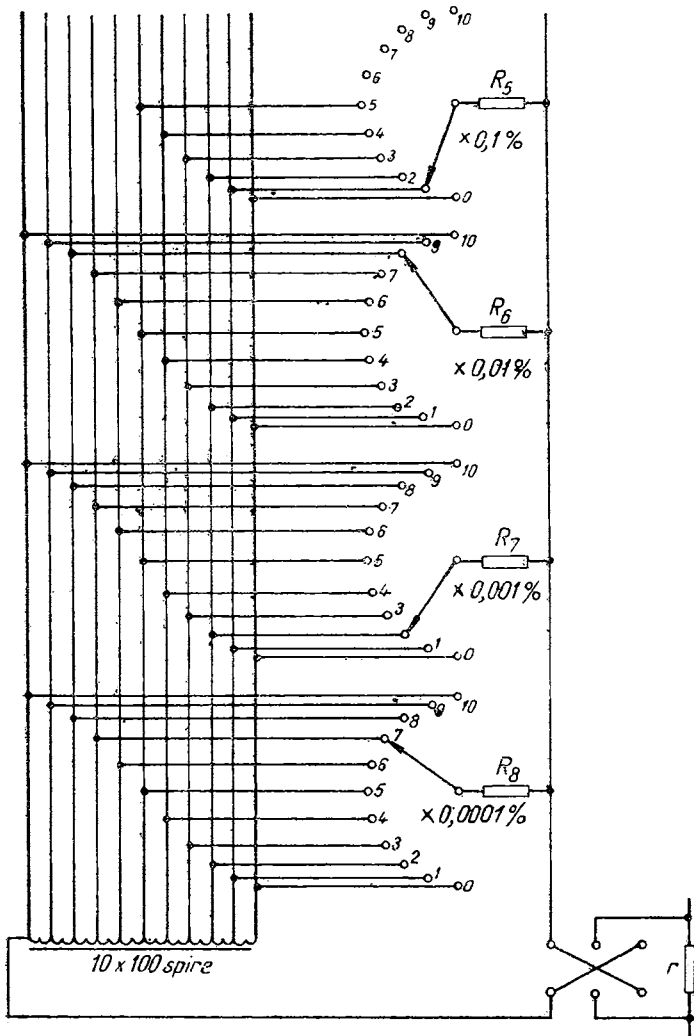


Fig. 3.21. Circuitul de măsurare al erorii de tensiune al aparatului AETT-1.

cu  $C$  (se are legătura  $1/\omega C \gg r$ ) al cărui efect asupra comparatorului este proporțional cu  $N_8 I_8$ , permitând astfel compensarea erorii de unghi a transformatorului de etalonat  $T_x$ . Se poate demonstra că, pentru ca eroarea de metodă să nu depășească 1%, este necesar ca valoarea rezistenței  $r$  să fie modificată corespunzător, prin comutare, odată cu comutarea numărului  $N_1$  de spire al înfășurării primare de raport.

Circuitul de măsurare al erorii de tensiune este redat detaliat în fig. 3.21. Echilibrarea se face în 4 decade realizate prin divizarea înfășurării de compensație în 10 secțiuni și introducerea a 4 rezistoare  $R_5$ ,  $R_6$ ,  $R_7$  și  $R_8$ , cîte una pentru fiecare decadă. Cele 4 decade asigură următoarele valori :

- decada I :  $0 \dots 5 \times 0,1\%$  ;
- decada II :  $0 \dots 10 \times 0,01\%$  ;
- decada III :  $0 \dots 10 \times 0,001\%$  ;
- decada IV :  $0 \dots 10 \times 0,0001\%$ .

Valoarea maximă măsurabilă este de  $\pm 0,611\%$  cu rezoluție de  $0,0001\%$ .

Valorile rezistențelor  $R_5$ ,  $R_6$ ,  $R_7$  și  $R_8$  sunt astfel calculate, încît pe fiecare decadă, la poziția comutatorului corespunzătoare numărului maxim de spire  $N_\Delta = 1\,000$ , să rezulte valoarea corectă a erorii de tensiune măsurate.

Circuitul de măsurare a erorii de unghi este reprezentat în fig. 3.22. Echilibrarea se face tot în 4 decade cu ajutorul condensatoarelor  $C_3$ ,  $C_4$ ,  $C_5$  și  $C_6$ . Cele 4 decade permit măsurarea erorii de unghi în următoarele limite :

- decada I :  $0 \dots 2 \times 10'$  ;
- decada II :  $0 \dots 10 \times 1'$  ;
- decada III :  $0 \dots 10 \times 0,1'$  ;
- decada IV :  $0 \dots 10 \times 0,01'$ .

Valoarea maximă măsurabilă este de  $\pm 31,1'$  cu rezoluție de  $0,01'$ .

Valorile capacităților  $C_3$ ,  $C_4$ ,  $C_5$  și  $C_6$  se calculează astfel încît pe fiecare decadă, la poziția comutatorului corespunzătoare numărului maxim de spire  $N_8 = 1\,540$ , să rezulte valoarea corectă a erorii de unghi măsurate.

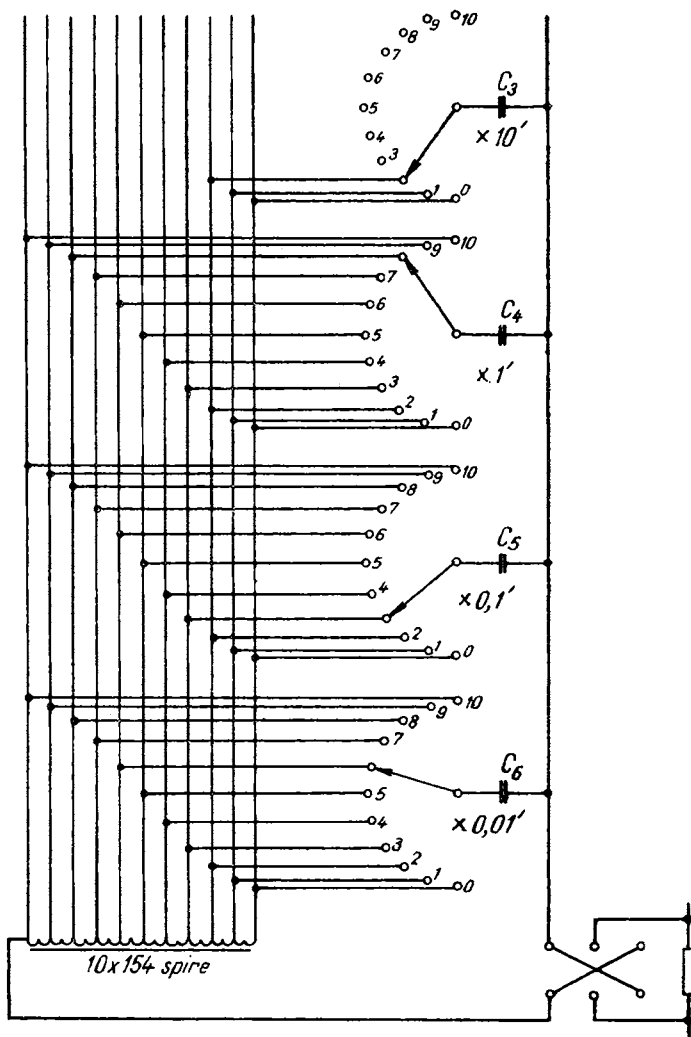


Fig. 3.22. Circuitul de măsurare al erorii de unghi al aparatului AETT-1.

### 3.3.4. Aparatul pentru etalonarea transformatoarelor de curent tip AETC-1

Aparatul tip AETC-1 a fost realizat de Institutul Național de Metrologie din București [27, 28, 29] și este destinat etalonării transformatoarelor de curent. Aparatul se bazează pe principiul comparatorului inductiv de curent, schema lui simplificată fiind redată în fig. 3.23.

Înfășurarea primară  $N_1$  a comparatorului  $CI$  este legată în serie cu înfășurarea primară  $W_1$  a transformatorului de curent  $T_c$ , ele fiind parcuse de același curent debitat de o sursă exterioară  $SE$ . Înfășurarea secundară  $N_2$  a comparatorului inductiv de curent se leagă în serie cu înfășurarea secundară  $W_2$  a transformatorului de curent. Înfășurarea  $W_2$  debitează pe înfășurarea  $N_2$ , astfel încât tensiunile magneto-motoare  $N_1I_1$  și  $N_2I_2$  sănătăuți în opozitie. Raportul de transformare al comparatorului inductiv se aranjează astfel încât să fie egal cu raportul de transformare nominal al transformatorului de curent

$$\frac{N_1}{N_2} = \frac{W_1}{W_2}.$$

În cazul transformatorului de curent ideal, cu erori nule, fluxul magnetic în miezul comparatorului inductiv ar fi nul și indicatorul de nul  $IN$  ar indica echilibru.

În cazul transformatorului de curent real, cu erori finite, pentru ca indicatorul de nul  $IN$  să indice echilibru, este necesar ca să se introducă o solenăție care să anuleze diferența provocată de eroarea transformatorului  $T_c$ . Cu ajutorul circuitului format de rezistențele  $r$ ,  $R$  și condensatorul  $C$ , se injectează un curent în fază cu  $I_2$  prin înfășurarea  $N_{c1}$  și altul în quadratură cu  $I_2$  prin înfășurarea  $N_{c2}$ . Acești doi curenenți se regleză pînă la echilibrarea comparatorului, cînd se obține

$$N_1I_1 + N_2I_2 \pm \frac{r}{R} N_{c1}I_2 \pm j \frac{\frac{r}{1}}{\omega C} N_{c2}I_2 = 0,$$

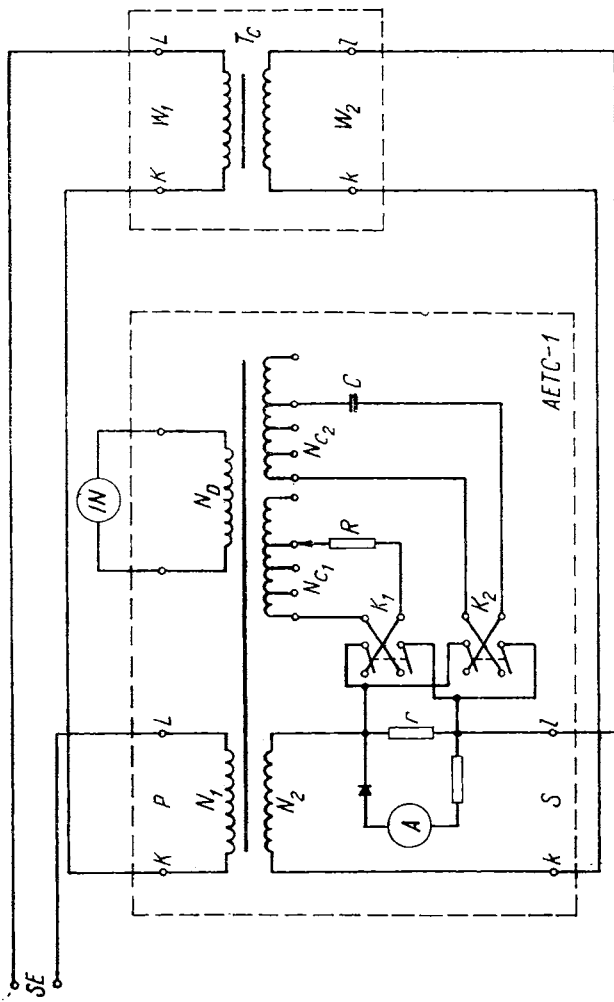


Fig. 3.23. Schema simplificată a aparatului tip AETC-1 pentru etalonarea transformatoarelor de curent.

cu îndeplinirea condițiilor :

$$r \ll R;$$

$$r \ll \frac{1}{\omega C}.$$

În felul acesta, expresiile erorilor de raport și de fază au următoarele forme :

$$\epsilon = \frac{N_{c1}}{N_2} \cdot \frac{r}{R};$$

$$\delta = \frac{N_{c2}}{N_2} \cdot r \omega C.$$

Aparatul pentru etalonarea transformatoarelor de curent AETC-1 este format dintr-un miez toroidal pe care sînt bobinate înfășurările.

Înfășurarea primară  $N_1$  are prize pentru 5 A ; 7,5 A ; 10 A ; 15 A ; 20 A ; 25 A ; 30 A ; 40 A ; 50 A ; 60 A ; 75 A ; 100 A ; 200 A ; 300 A ; 600 A. Pe plăcuța de pe aparat sînt indicate schemele de montare a unor barete pentru diversele valori ale curentului.

Înfășurarea secundară  $N_2$  este dimensionată pentru valoarea de 5 A. Pe miezul magnetic mai sînt bobinate : înfășurarea  $N_{c1}$  pentru compensarea erorii de raport; înfășurarea  $N_{c2}$  pentru compensarea erorii de fază și înfășurarea  $N_D$  de detecție. Pentru a putea regla în decade curenții de compensare, înfășurările  $N_{c1}$  și  $N_{c2}$  sînt formate din cîte 10 secțiuni identice, comutabile cu ajutorul a trei comutatoare. Pentru fiecare decadă este prevăzut cîte un rezistor, respectiv condensator, a căror introducere în circuitul de compensare cu ajutorul comutatoarelor variază în trepte curenții injectați în înfășurările  $N_{c1}$  și  $N_{c2}$ .

Alegerea convenabilă a valorilor rezistorilor  $r$  și  $R$  și a condensatoarelor  $C$  permite citirea directă a erorii de raport și de unghi, în procente, respectiv în minute.

În fig. 3.24 este prezentată schema electrică a aparatului AETC-1. Comutatoarele  $k_1$  și  $k_2$  servesc la schimbarea semnului erorii. Aparatul indicator arată, în procente din curentul nominal, valoarea curentului la care se face etalonarea transformatorului  $T_c$ .

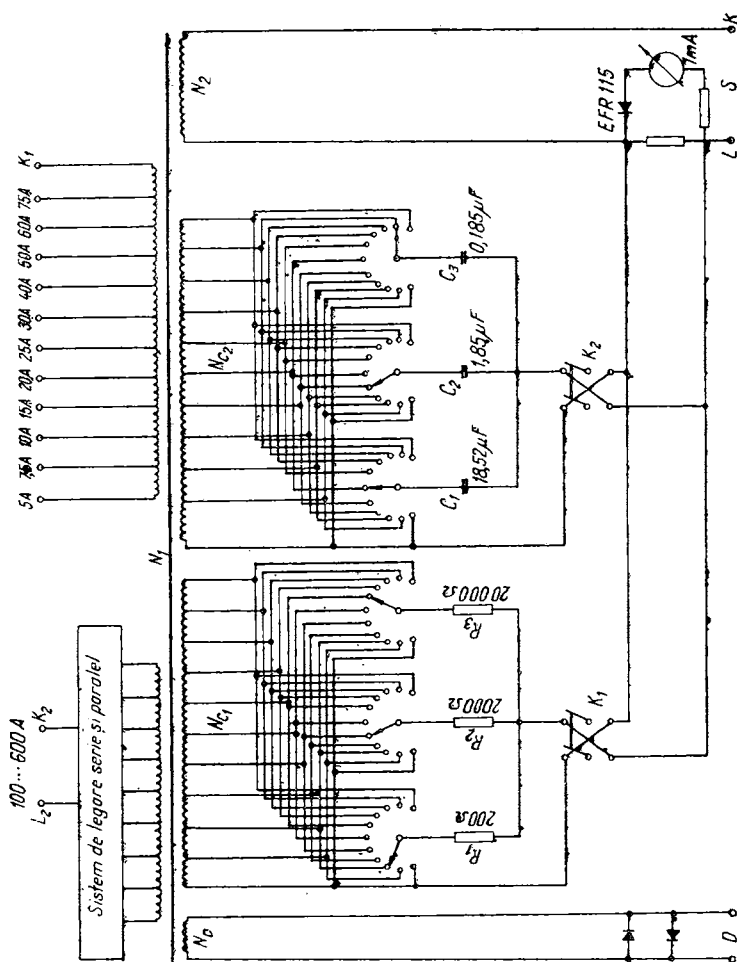


Fig. 3.24. Schema electrică a aparatului AETC-1.

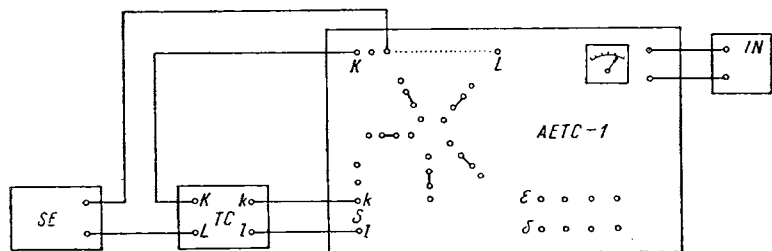


Fig. 3.25. Montajul pentru etalonarea transformatoarelor de curent cu ajutorul aparatului AETC-1.

Rezistența circuitului secundar, măsurată la bornele S ale aparatului AETC-1, este de  $0,2 \Omega$  și reprezintă sarcina la care sînt etalonate transformatoarele de curent.

În cazul în care este necesară etalonarea unui transformator la altă sarcină, se poate adăuga o sarcină suplimentară în serie cu bornele S.

Cu ajutorul aparatului AETC-1 se verifică transformatoarele de curent etalon, la frecvența de 50 Hz, cu erori de raport și unghi care nu depășesc 0,111% și  $11,1'$ . Curentul nominal secundar are valoarea  $I_{2n} = 5$  A. Valorile curenților nominali primari sînt indicați mai sus fiind cuprinși între limitele 5 A...600 A.

În fig. 3.25 este indicat montajul care trebuie realizat pentru etalonarea transformatoarelor de curent cu ajutorul aparatului AETC-1.

Pentru etalonarea transformatorului de curent  $T_c$  sînt necesare, pe lîngă aparatul AETC-1, o sursă de curent reglabilă SE și un indicator de nul IN. Se recomandă a se utiliza un galvanometru cu vibrații sau un indicator de nul electronic fabricat de Institutul Național de Metrologie.

### 3.3.5. Metode de verificare a erorii de raport la transformatoarele de măsură, prin compararea armonicilor

Metodele cunoscute pînă în prezent de verificare a transformatoarelor de măsură, implică un aparataj complex (galvanometru cu vibrații, transformator etalon, puncte de comparație în curent alternativ etc.) care de obicei este scump

și greu să obținut și a cărui manipulare este dificilă, în cauză în care se lucrează cu piese separate în montaj. De multe ori, în cazul transformatoarelor care lucrează numai în scheme pentru măsurarea curentului sau tensiunii și nu lucrează în scheme de măsurare a puterii, este nevoie să se determine rapid numai eroarea de raport. În acest caz, metodele clasice nu sunt cele mai indicate, impunându-se necesitatea utilizării unei metode rapide, ieftine și totodată satisfăcîndu-se precizia cerută.

O astfel de metodă care să satisfacă cerințele de mai sus se bazează pe următorul raționament :

Raportul de transformare al unui transformator de tensiune se definește ca raportul valorilor efective ale tensiunilor primare și secundare

$$k_T = \frac{U_2}{U_1}$$

și constituie una din datele caracteristice ale transformatorului respectiv. La regimuri diferite de regimul nominal, raportul de transformare poate dифeri sensibil de raportul de transformare nominal, diferența dintre ele determinînd eroarea de raport a transformatorului

$$\Delta k = k_T - k_{TN}$$

Eroarea de raport este

$$\varepsilon_r = \frac{\Delta k}{k_{TN}} = \frac{k_T - k_{TN}}{k_{TN}} = \frac{k_T}{k_{TN}} - 1.$$

Pentru determinarea acestei erori la o tensiune primară dată  $U_1$ , expresia erorii relative este

$$\begin{aligned} \varepsilon_r &= \frac{\Delta k}{k_{TN}} = \frac{\frac{U_2}{U_1} - 1}{\frac{U_{2N}}{U_{1N}}} = \frac{\frac{U_2}{U_1} - \left( \frac{U_1}{U_{1N}} \right) U_{2N}}{\left( \frac{U_1}{U_{1N}} \right) \cdot U_{2N}} = \\ &= \frac{\frac{U_2 - U'_{2N}}{U_1}}{\frac{U'_{2N}}{U_{1N}}}, \end{aligned}$$

în care s-a notat cu  $U'_{2N} = \left( \frac{U_1}{U_{1N}} \right) U_{2N}$ .

Pentru determinarea erorii de raport la o tensiune  $U_1$  dată, trebuie să fie cunoscut  $U_2$ , deoarece  $U'_{2N}$  se deduce din relația

$$U'_{2N} = \lambda U_{2N},$$

unde

$$\lambda = \frac{U_1}{U_{1N}}.$$

În acest mod se poate ridica familia de curbe

$$\varepsilon_r = f(\lambda)$$

pentru diferenți curenți secundari  $I_2$  și pentru diferenți  $\cos \varphi_2$ .

Pentru aflarea lui  $U_2$ , experimental se poate folosi o metodă de opozitie în care se compară tensiunea secundară  $U_2$  cu o tensiune de referință  $U_{2r}$  de formă sinusoidală. Deoarece practic  $U_2$  nu este perfect sinusoidală, din cauza regimului deformant din transformator, opozitia celor două tensiuni nu poate fi perfectă. Tensiunea  $U_2$  se compune în realitate din armonici cu amplitudini  $U_{21}$ ,  $U_{23}$ ,  $U_{25}$  etc., din care numai primele au importanță.

Opozitia se realizează numai între tensiunea de referință  $U_{21}$  sinusoidală și armonica  $U_{21}$  a tensiunii secundare  $U_2$ .

Pentru determinarea cu precizie a tensiunii  $U_2$ , se înăsoară și armonicele  $U_{23}$  și  $U_{25}$  care se presupune că pot avea influență.

Aplicarea în practică a principiului de mai sus se realizează folosind schema (fig. 3.26), proiectată și realizată la serv. Metrologie al Uzinei Electromagnetica.

Tensiunea de referință  $U_{2r}$  se ia din primarul transformatorului prin intermediul unui divizor de tensiune  $DT$ , montându-se întotdeauna transformatorul cu tensiunea joasă în secundar.

Deoarece între tensiunea primară a unui transformator și cea secundară există totdeauna un decalaj de fază, alimentarea primarului se face din rotorul unui regulator de fază.

Cele două tensiuni  $U_2$  și  $U_{2r}$  sunt comparate printr-o rezistență  $R_2$ , care constituie impedanța caracteristică de intrare a unui filtru trece jos. La ieșirea filtrului pe o rezis-

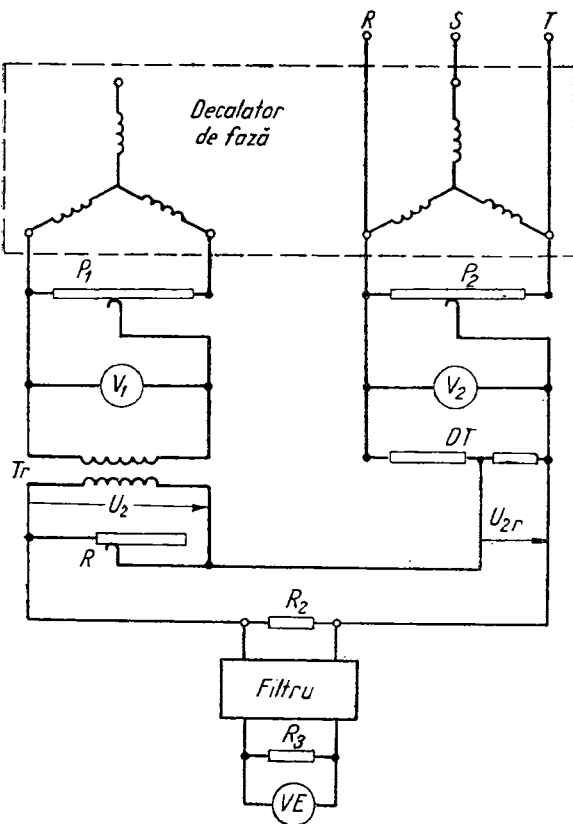


Fig. 3.26. Verificarea erorii de raport la transformatoarele de tensiune prin compararea armonicilor.

tență de ieșire  $R_3$ , tot de aceeași valoare cu  $R_2$ , se conectează un voltmetru electronic cu o sensibilitate de 10 mV cu intrare simetrică. Pentru încărcarea secundarului transformatorului la diferite sarcini se folosește rezistență variabilă  $R$ .

Modul de lucru este următorul :

Decalatorul de fază se alimentează cu tensiune trifazată, iar tensiunea primară a transformatorului se reglează

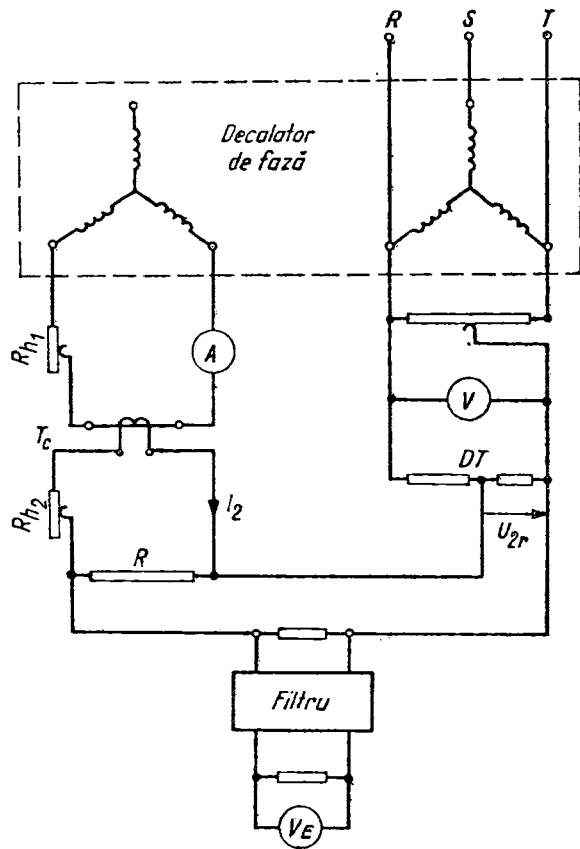


Fig. 3.27. Verificarea erorii de raport la transformatoarele de curent, prin compararea armonicilor.

cu ajutorul potențiometrului  $P_1$  la valoarea dorită  $U_1$  măsurată cu voltmetrul  $V_1$ . Prin intermediul potențiometrului  $P_2$  se regleză tensiunea de referință  $U_{2r}$ , măsurată cu voltmetrul  $V_2$ . Filtrul  $F$  se regleză astfel încit să tăie frecvențele superioare valorii de 60 Hz. Decalatorul de fază se rotește pînă se obține o indicație minimă a voltmetrului electronic. Tensiunea reziduală indicată de volt-

metrul electronic se dătoarește imperfecțiunilor filtrului și tensiunilor parazite. În acest moment se reglează fin tensiunea de referință din potențiometrul  $P_2$ , pînă se obține minimul absolut la voltmetrul electronic. După terminarea reglajelor se citește la voltmetrul  $V_2$  amplitudinea armonicii fundamentale  $U_{21} = U_{2r}$ .

După aceste operații se reglează filtrul pe frecvență de 300 Hz și se citește la voltmetrul electronic tensiunea

$$U_a = \sqrt{U_{23}^2 + U_{25}^2}.$$

Se calculează tensiunea

$$U_2 = \sqrt{U_{21}^2 + U_{23}^2 + U_{25}^2} = \sqrt{U_{2r}^2 + U_a^2}$$

și se deduce eroarea de raport

$$\epsilon_r = \frac{U_2 - U'_{2r}}{U'_{2r}}.$$

O metodă analoagă se poate concepe pentru verificarea transformatoarelor de curent bazată pe același principiu.

Schema care se poate folosi este indicată în fig. 3.27.

În acest montaj curentul secundar  $I_2$  trece prin rezistență  $R$  și produce o cădere de tensiune  $U_2 = RI_2$ , care se compară cu tensiunea de referință  $U_{2r}$ . Montajul este identic în funcționare cu schema pentru transformatorul de tensiune.

Metoda descrisă, de verificare a erorii de raport a transformatoarelor de măsură se poate utiliza în orice laborator, atât în cele cu specific metrologic, cât și în cele care deservesc întreprinderile de montaj și exploatare energetice. Realizarea montajului necesită numai aparate care se găsesc în orice laborator.

## 4. Verificarea contoarelor electrice de inducție

### 4.1. Clasificarea și caracteristicile principale ale contoarelor

#### 4.1.1. Criteriile de clasificare

Contoarele electrice se pot clasifica după următoarele criterii principale :

**După clasa de precizie** — contoarele se construiesc pentru clasele 1 și 2.

Din fabricațiile din străinătate se cunosc și contoare de clasă 0,3 ; 0,5 și 2,5.

**După domeniul de măsurare** — contoarele se clasifică în :  
— contoare cu un singur interval de măsurare, cunoscute și sub numele de contoare cu sarcină nominală ;  
— contoare cu suprasarcină.

**După modul de utilizare** se cunosc :

- contoare etalon ;
- contoare de uz casnic ;
- contoare de uz industrial.

**După energia măsurată** se împart în :

- contoare pentru energie activă ;
- contoare pentru energie reactivă.

**După locul de utilizare** contoarele pot fi :

- monofazate ;
- trifazate cu două sisteme (pentru rețea trifazată cu 3 fire) ;

— trifazate cu trei sisteme (pentru rețea trifazată cu 4 fire).

**După modul de protecție împotriva acțiunii mediului înconjurător** contoarele se fabrică în execuție :

— obișnuită ;

— cu acoperiri pentru climă tropicală, umedă etc.

**După felul tarifului** — contoarele sunt :

— cu un tarif ;

— cu tarife multiple ;

— cu indicator maxim.

Având în vedere că în prezent pentru măsurarea energiei electrice în curent alternativ nu se mai utilizează în lume decât contoare bazate pe principiul de inducție, acest capitol se referă numai la contoare de inducție.

#### 4.1.2. *Principalele date constructive ale contoarelor electrice de inducție*

Contoarele sunt constituite din următoarele părți principale :

*Înfășurarea de tensiune* care, alimentată la tensiunea de rețea, produce un flux numit fluxul de tensiune.

*Înfășurarea de curent*, care alimentată la curentul de consum, produce un flux numit fluxul de curent, decalat înainte cu  $90^\circ$  față de fluxul de tensiune.

*Discul* (cu axul său), care având rolul unui conductor în scurtcircuit de la motorul asincron, se învîrtește sub acțiunea unui cuplu rezultat din interacțiunea fluxurilor de curent și tensiune cu curenții induși (în disc) de aceste două fluxuri.

*Lagărele inferior și superior* care permit rotația axului discului cu frecări minime.

*Magnetul de frânare* care crează cuplul de frânare constant.

*Dispozitive de reglare* prevăzute pentru corectarea funcționării la diferite sarcini. Sunt prevăzute dispozitive pentru reglarea funcționării la sarcini mici, la sarcini mari și la factor de putere inductiv. Sensibilitatea și mersul în gol al contorului se regleză tot prin dispozitive de reglare. Pen-

tru reglarea funcționării în regim nominal și sarcini mari se folosește mișcarea magnetului de frânare.

*Mecanismul integrator* care însumează rotațiile discului indicind energia electrică corespunzătoare raportului de transformare ales.

*Carcasa contorului* (capac și fund), care are rolul de a proteja elementele componente împotriva prafului, umidității, acțiunilor mecanice etc.; este construită de obicei din tablă, bachelită sau sticlă.

#### 4.1.3. Caracteristicile contoarelor electrice

Definițiile cuprinse la § 2.1.3, privind sensibilitatea, justițea, fiabilitatea, mobilitatea, fidelitatea și precizia sunt valabile și pentru contoare, deși unele cum sunt: sensibilitatea, fiabilitatea, precizia se determină în mod diferit.

În ceea ce privește erorile ce caracterizează contoarele, acestea pot fi calculate în următoarele moduri:

$$\epsilon \% = \frac{W - W_0}{W_0} 100, \quad (4.1)$$

unde:  $W_0$  este valoarea reală a energiei;

$W$  — valoarea energiei determinată de indicațiile contorului de verificat.

$$\epsilon \% = \frac{t_c - t}{t} 100 \quad (4.2)$$

unde:  $t_c$  este timpul nominal (calculat) pentru contorul dat; el reprezintă timpul în care discul ar trebui să execute în mod corect N rotații la sarcina dată;

$t$  — indicația cronometrului.

$$\epsilon \% = \frac{n_2 k_1 - n_1 k_2}{n_1 k_2} \cdot 100, \quad (4.3)$$

unde:  $n_1$  este numărul de rotații ale contorului etalon;

$n_2$  — numărul de rotații ale contorului de verificat;

$k_1$  — constanta de transmisie a contorului etalon în rot/kWh;

$k_2$  — constanta de transmisie a contorului de verificat în rot/kWh.

Formulele (4.1) și (4.2) se utilizează la metode bazate pe măsurarea timpului și puterii, iar formula (4.3) la metode bazate pe comparația cu un contor etalon.

## 4.2. Metode de verificare a contoarelor electrice de inducție

Necesitatea asigurării furnizorilor de energie electrică și a abonaților, consumatori de energie electrică, cu contoare de bună calitate, cu erori cât mai mici, a determinat găsirea unor soluții de verificare a încadrării contoarelor în limitele de precizie prevăzute în actele normative în vigoare.

Principiile și metodele studiate și aplicate de diverse firme, de la verificările executate manual pînă la cele folosind linii automatizate, permit clasificarea lor, în modul cel mai succint, în cîteva grupe distințe :

- a) măsurarea energiei electrice prin măsurarea concomitentă a puterii și timpului ;
- b) compararea directă a vitezei discului contorului cu unui contor model ;
- c) compararea vitezei discului contorului cu unui contor model folosind efectul stroboscopic ;
- d) compararea energiei electrice înregistrate de contor cu energia înregistrată de un contor model.

Pe baza acestor principii se vor expune mai jos metodele cele mai utilizate de verificare a contoarelor.

### 4.2.1. Metoda timp-putere

Valoarea reală a consumului de energie se determină pe cale indirectă cu ajutorul a două aparate : unul care măsoară puterea electrică și altul care măsoară timpul.

Această metodă se bazează pe măsurarea unui anumit număr de rotații ale discului sistemului mobil al aparatului de verificat și pe măsurarea timpului utilizat pentru aceasta, presupunându-se în acest caz că puterea reglată și urmărită cu ajutorul wattmetrelor de precizie rămîne constantă pe timpul măsurării.

La verificarea contorului sub sarcină diferită de cea nominală, numărul de rotații calculate se micșorează sau se mărește de atâtea ori, de cîte ori această sarcină este mai mică sau mai mare decit cea nominală ; datorită acestui fapt timpul  $t_0$  rămîne același pentru toate sarcinile, ceea ce simplifică calculul erorilor.

Tendința de a perfecționa această metodă și de a-i mări precizia a condus la apariția dispozitivelor de numărare automată a rotațiilor efectuate de discul contorului verificat.

În fig. 4.1 se dă schema de realizare a unui astfel de procedeu de verificare.

În fața contorului  $C_v$  se montează un cap fotoelectric  $CF$ . Acesta se compune dintr-o lampă de iluminare cu dispozitivul optic corespunzător și dintr-un fotoelement. Capul fotoelectric se montează în așa fel, încît fluxul luminos al lămpii să fie focalizat pe bordura discului contorului și apoi reflectat să cadă pe fotoelement. La fiecare trecere a reperului colorat în fața ferestrei de vizare, intensitatea de iluminare a fotoelementului se micșorează brusc. Din cauza aceasta în circuitul fotoelementului apare un impuls electric care este amplificat și transmis dispozitivului de citire  $DC$ . Dacă dispozitivul de citire este conectat, la primul impuls primit de la contor, pornește dispozitivul de măsurare a timpului  $DT$  și începe măsurarea rotațiilor pe care le efectuează discul. După trecerea unui anumit număr de impulsuri stabilit, se deconectează aparatul de măsurat timpul.

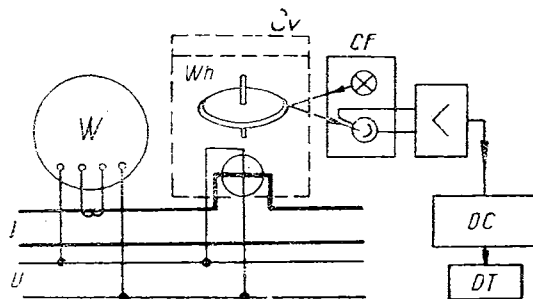


Fig. 4.1. Schema de verificare prin metoda timp-putere utilizînd un wattmetru pentru măsurarea puterii și numărarea automată a rotațiilor.

Dispozitivul descris elimină erorile subiective ale operatorului și ridică productivitatea muncii aproape de două ori, deoarece, în cazul acesta, verificarea se poate efectua de un singur om.

Contoarele etalon portative pot fi folosite cu succes și pentru verificarea individuală a contoarelor separate, atât pe locul lor de montare, cât și în condițiile atelierelor, precum și la diferite cercetări de laborator.

Întregul proces de verificare în acest mod este foarte apropiat de procesul de verificare după metoda wattmetru-cronometru și se deosebește de el numai prin faptul că operatorul conectează în loc de cronometru, contorul etalon, cu ajutorul căruia determină eroarea contorului care se verifică, prin comparație.

La pornirea/oprirea contorului etalon, la fel ca și la pornirea cronometrului, în cazul cînd verificarea se face după metoda wattmetru-cronometru, apar erori subiective esențiale. Pentru eliminarea lor se aplică citirea automată a numărului de rotații de la partea mobilă a contorului care se verifică.

Schema de verificare pentru cazul acesta este arătată în fig. 4.2.

Această schemă se deosebește de fig. 4.1 prin aceea că dispozitivul de citire  $DC$ , care citește numărul de impulsuri

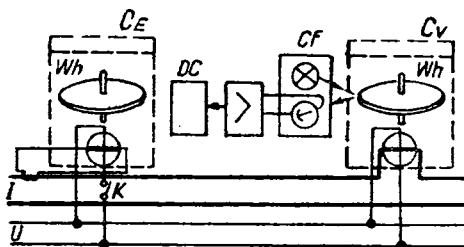


Fig. 4.2. Schemă de verificare după metoda timp-putere, utilizând un contor etalon și citirea automată a rotațiilor.

primită de la capul fotoelectric  $CF$ , așezat înaintea contorului de verificat, comandă contactul  $K$  din circuitul de tensiune al contorului etalon.

Trebuie remarcat că schema din fig. 4.2 nu este completă, în ea trebuie conectat suplimentar un wattmetru, ca să avem posibilitatea de a stabili valoarea necesară a lui  $\cos \phi$  a sarcinii. Tensiunea și curentul se regleză după ampermetre și voltmetre a căror prezență este obligatorie în fiecare instalație de verificare.

#### 4.2.2. Metoda punctului de control

Întrebuințîndu-se ca instrumente de măsurat contoare etalon în locul wattmetrelor de precizie, este posibilă realizarea unei metode de comparare. În funcție de execuția conțoarelor etalon, rezultă un procedeu pur de comparare a rotațiilor sau o comparare combinată de impulsuri și rotații, la care sînt necesare și alte elemente electronice auxiliare, așa cum vom vedea.

În esență, metoda punctului de control numită uzuial și metoda *contor etalon* constă în compararea indicației mecanismului de înregistrare de la contorul care se verifică cu indicațiile contorului etalon. Această metodă și-a găsit o largă aplicare, utilizîndu-se pentru verificarea simultană a unui număr de pînă la 200 bucăți conțoare. Se notează indicațiile mecanismelor de citire, atît la conțoarele care se verifică, cît și la contorul etalon, după care se conectează sarcina. După ce indicațiile contorului etalon variază cu o mărime anumită, sarcina se deconectează și se notează indicațiile noi ale conțoarelor de verificat. Pe baza datelor obținute se determină eroarea fiecărui contor care se verifică.

Metoda implică o comparare a rotațiilor acelor indicațoare ale sistemului sau ale discului contorului de calonat, respectiv a numărului dat de impulsuri în cazul sistemelor cu impulsuri ale contorului de încercat.

Cu acest procedeu se verifică nu numai justețea reglării vitezei de rotație a discului de la contorul de verificat, ci se controlează în același timp și justețea de funcționare a mecanismului său de integrare, care în cazul tuturor celorlalte procedee de verificare necesită o operație suplimentară.

Alte avantaje pe care le prezintă metoda punctului de control constau în durata suficient de mare a funcționării

contoarelor care se verifică și care permite astfel depistarea defectelor separate ale montajelor. Prezintă ca avantaj esențial o mare productivitate.

Ca dezavantaje, necesită o suprafață mare de producție și timp de încercare mare.

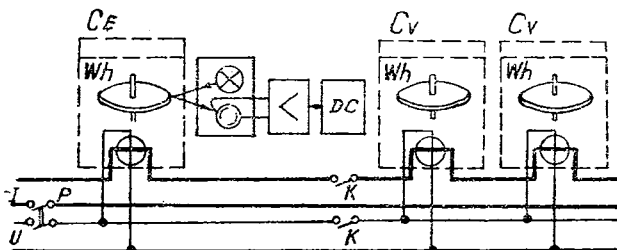


Fig. 4.3. Schema metodei punctului de control.

Când se utilizează această metodă, se cere multă atenție pentru ca sarcina să fie deconectată la momentul potrivit.

Aceasta se poate realiza prin automatizarea procesului de deconectare ca de exemplu în schema din fig. 4.3.

În fața contorului etalon  $C_E$  se aşază capul fotoelectric ale cărui impulsuri electrice, printr-un amplificator  $A$ , se aduc la dispozitivul de citire  $DC$ . Înainte de verificare, operatorul notează indicațiile mecanismelor de citire de la contoarele care se verifică și după aceea cu întreruptorul cu pîrghe  $K$  se conectează sarcina.

Dispozitivul de citire este construit în așa fel încît după un număr de impulsuri dat, adică după un număr de rotații determinat ale discului de la contorul etalon, el decouplează contactele  $K$  din circuitul de alimentare a contoarelor care se verifică  $C_v$ .

Deci în acest caz spre deosebire de automatizarea de la metoda wattmetru-cronometru, dispozitivul de numărare nu comandă aparatul de măsurare a timpului, ci un întreupător din circuitul de tensiune al contorului etalon.

#### 4.2.3. Metoda mersului sincron

O metodă foarte des întrebuită pentru determinarea justitiei indicațiilor contoarelor în timpul reglărilor este metoda mersului sincron, metodă utilizată în atelierele de re-

parare a contoarelor. Schema de principiu pentru realizarea acestei metode este arătată în fig. 4.4.

Metoda concepută pentru reglarea contoarelor la sarcini mici se folosește cu rezultate bune și la verificarea contoarelor, eficiența ei maximă fiind la controlul preliminar în vedearea selecționării contoarelor corespunzătoare.

Stabilind sarcina necesară, întreruptorul cu pîrghie  $K$  se decouplează și prin aceasta contoarele se opresc. Discurile contoarelor de verificat și ale celui etalon se aşază, de către operator, manual în poziția în care începutul reperului vopsit pe marginea fiecărui să coincidă cu reperul de zero pe discul mecanismului de citire. După aceea cu ajutorul întreruptorului cu pîrghie  $K$  se conectează circuitele paralel ale contoarelor. După ce discul contorului etalon efectuează un număr anumit de rotații, întreruptorul cu pîrghie  $K$  se decouplează.

Dacă discul unuia dintre contoarele de verificat are aceeași viteză ca și discul contorului etalon, atunci are loc sincronizarea mersului și eroarea contorului raportată la contorul etalon este egală cu zero.

Dacă discul contorului de verificat se rotește cu viteză mai mare sau mai mică decât viteză discului contorului etalon, atunci după ce întreruptorul cu pîrghie  $K$  este decuplat, începutul reperului vopsit de pe discul lui nu va coincide cu reperul zero de pe discul mecanismului de citire și va fi am-

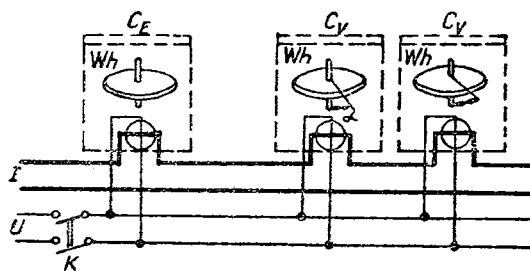


Fig. 4.4. Schema metodei mersului sincron.

plasat la o distanță oarecare. Abaterea acestui reper de la reperul zero constituie măsura erorii contorului care se verifică. În raport cu mărimea și sensul acestei abateri se va efectua reglarea necesară a contorului.

După aceasta operatorul din nou va așeza discurile și va repeta operațiile.

Pentru o verificare mai precisă se poate introduce un ampermetru gradat în procente care măsoară diferența de curent între contorul de verificat și cel etalon, cu ajutorul căruia se poate citi direct eroarea.

Metoda mersului sincron, ca și toate metodele care folosesc contoarele etalon, este comodă prin faptul că nu cere stabilizarea sarcinii, deoarece variațiile ei influențează în mod egal viteza de rotire a discurilor, atât la contoarele care se verifică, cât și la cel etalon. Variațiile de frecvență și tensiune, de asemenea, denaturează cu puțin justitia rezultatelor, întrucât și ele influențează aproximativ în aceeași măsură asupra contorului etalon și celor care se verifică.

Folosirea mersului sincron este rațională dacă reglarea se face concomitent pe 8...10 contoare.

#### 4.2.4. Procedee stroboscopice

Spre deosebire de metodele expuse anterior, la verificarea contoarelor prin procedeele stroboscopice se compară valoarea instantanea a vitezei unghiulare a discului cu o anumită viteză unghiulară. Această comparație se efectuează pe cale optică.

Utilizate în special pentru reglarea contoarelor unde determinarea erorii nu ridică pretentii de rigurozitate deosebită, într-o clasificare foarte simplă se pot distinge următoarele variante:

a. Lampa stroboscopică alimentată cu tensiune având frecvență dată de un contor etalon ce funcționează în aceleși condiții cu contorul de verificat.

b. Lampa stroboscopică alimentată de la un generator de frecvențe.

c. Lampa stroboscopică alimentată de la tensiunea rețelei ca și contorul de referință ale cărui erori se cunosc cu precizie.

În descrierea procedeelor ce urmează și care se vor detalia prin exemple, nu se va ține seama de secvența din clasificarea de mai sus.

**Procedeul direct.** Cel mai vechi procedeu stroboscopic este procedeul numit și *stroboscopul cu ocular*. Blathy este cel care l-a utilizat în forma indicată în fig. 4.5. Aparatul de etalonat are pe circumferință discului nu număr de repere dispuse la distanțe egale, iar discul contorului etalon are găuri. Observatorul privește prin găurile din discul contorului etalon la reperele de pe discul aparatului de etalonat.

Dacă ambele discuri au aceeași viteză unghiulară, atunci reperele aparatului de etalonat apar ca și cînd ar sta pe loc; dacă aparatul de etalonat merge mai repede decît cel etalon,

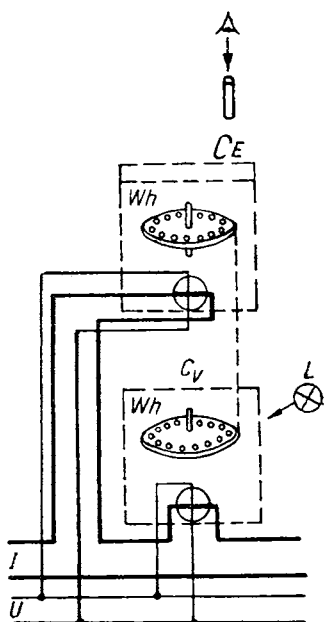


Fig. 4.5. Schema instalației stroboscopice a lui Blathy.

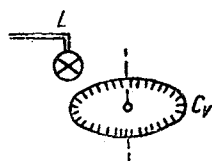


Fig. 4.6. Schema principală a procedeului de reglare stroboscopică indirectă.

atunci reperele apar mișcîndu-se în direcția rotației iar, dacă merge mai încet, în direcția inversă.

**Procedeul indirect.** Pe lîngă acest procedeu direct s-a introdus pentru etalonarea contoarelor un procedeu indirect al căruia principiu este indicat în fig. 4.6.

Pe circumferința discului aparatului de etalonat sunt trasate o serie de repere la distanțe egale. Ele sunt luminate de o sursă de lumină care emite raze luminoase de o anumită frecvență.

Reperele de pe discul aparatului de încercat apar stînd pe loc, cînd numărul de repere care trec în fiecare secundă prin fața unui punct fix este egal cu frecvența luminii sau cu un multiplu întreg al acesteia.

Dacă discul merge mai încet, atunci reperele apar mișcîndu-se în sens invers direcției de rotație; dacă discul merge mai repede, ele par să se miște în direcția de rotație.

Pentru a se determina erorile contoarelor de verificat trebuie stabilită abaterea de viteză a reperelor. Dacă contorul de verificat are de exemplu 400 de repere la circumferința discului și contorul face 60 rot/min adică 1 rot/s și se luminează reperele cu 400 iluminări pe secundă, atunci eroarea este de  $+0,25\%$ , dacă discul pare că se mișcă cu un reper pe secundă în direcția sa de rotație. În general eroarea aparatului de verificat este egală cu numărul reperelor care trec într-o secundă prin fața unui punct fix, împărțit la frecvența  $f_b$  a luminii oscilante.

Cînd contorul etalon, care emite razele de lumină, are aceeași construcție ca și aparatul de etalonat și are aceleași domenii de măsură, procedeul stroboscopic este foarte simplu. Cînd însă vrem să etalonăm diverse tipuri de contoare, sunt necesare multe contoare etalon respectiv surse de lumină. Acesta constituie un dezavantaj al acestei metode, care nu este prin urmare o metodă universală.

Dacă  $f_b$  este frecvența emisiunii, adică numărul de iluminări pe rotație pe care le emite contorul etalon de sarcină constantă și are aceeași valoare la toate sarcinile, și  $f_m$  este frecvența de mișcare a reperelor fixate pe discul aparatului de etalonat, rezultă o imagine aparent statică a reperelor atunci cînd  $f_m p = f_b q$  ( $p$  și  $q$  sunt numere întregi).

Dacă  $p = q = 1$ , atunci este cea mai clară cître pentru compararea a două contoare asemănătoare. Dacă  $f_m$  este un multiplu întreg de  $f_b$ , cum de exemplu  $f_m = 3 f_b$  ( $p = 1$ ;  $q = 3$ ), adică aparatul de etalonat merge mai repede cu sarcină mai mare, în timp ce frecvența  $f_b$  a luminii oscilante rămîne constantă, atunci reperele singulare ale imaginii sta-

tice se îngreunează, deoarece în timpul duratei unei raze de lumină reperele parcurg un drum din ce în ce mai mare, în exemplul nostru triplu.

Dacă invers,  $f_b$  este multiplu întreg de  $f_m$ , astfel de exemplu  $f_b = 5 f_m$  ( $p = 5, q = 1$ ) sau  $f_m = \frac{1}{5} f_b$ , adică contorul merge cu sarcină mică, prin urmare încet, în timp ce frecvența  $f_b$  a sursei de lumină rămîne constantă, atunci divizarea prin repere apare din ce în ce mai subțire și parcursul unui anumit reper nu mai poate fi urmărit cu ochiul. La aceasta se adaugă încă faptul că la sarcini mici stegulețul de frânare condiționează o mișcare neuniformă a discului, astfel încât imaginea oscilează multă vreme. De asemenea, numărul de repere trebuie să aibă o valoare determinată, cind vrem să obținem imagini bune pentru diferite încărcări ale aparatului de etalonat.

Ochiul pierde pentru frecvențe sub 20 Hz capacitatea ca impulsurile imaginilor care se succed la intervale de timp scurte să se reducă la o imagine totală. Dacă  $z$  este numărul reperelor pe circumferința discului,  $n_n$  — numărul de rotații pe minut a aparatului de etalonat la sarcina nominală,  $m = N : N_n$  este încărcarea raportată la sarcina nominală a aparatului de etalonat, atunci frecvența reperelor  $f_m = \frac{z n_n}{60} m$ , iar numărul de repere pe circumferința discului  $z = \frac{60 f_m}{n_n m}$ .

Dacă considerăm de exemplu un contor care are  $n_n = 60$  rot/min și vrem să-l etalonăm stroboscopic la 5% din sarcina nominală  $N_n$ , atunci  $f_m$  trebuie să fie cel puțin 20 Hz, el trebuie să aibă cel puțin  $z = \frac{20 \times 60}{60 \times 0,05} = 400$  repere pe circumferință sa.

La un contor care merge încet, de exemplu cu  $n_n = 30$  rot/min și care are pe circumferința discului de asemenea  $z = 400$  repere, se poate utiliza măsurarea stroboscopică numai de la o sarcină  $m = \frac{f_m \cdot 60}{z n_n} = \frac{20 \cdot 60}{400 \cdot 30} = 0,1$ , adică de la 10% din sarcina nominală  $N_n$  în sus.

Pentru a lărgi limitele care sunt impuse la utilizarea probelelor stroboscopice, se poate sau să se utilizeze diferite

frecvențe ale luminii oscilante sau să se prevadă ca discul aparatului de etalonat să aibă două-trei șiruri de repere. O importanță deosebită o are proporționalitatea dintre divizarea în repere și frecvența luminii, precum și o bună optică pentru iluminare.

Totuși la nici un dispozitiv de etalonare stroboscopică nu se trece cu vederea că imaginea stroboscopică la încărcări mici oscilează, deoarece discul merge neuniform din cauza acțiunii stegulețului de frânare și din cauza conducediei neuniforme a discului.

De aceea reglarea și etalonarea stroboscopică se utilizează în principiu în mod avantajos la sarcini mari.

Avantajele metodei stroboscopice sunt următoarele :

- posibilitatea reglării imediate ;
- cheltuieli mici de investiții.

Dezavantajele metodei stroboscopice sunt în principal :

- nu se utilizează la sarcini mici ;
- exactitate redusă la un număr insuficient de repere.

Rămînind în domeniul expunerii de proceeede se dau în continuare cîteva dispozitive exclusiv stroboscopice, utilizate ca instalații sau subansambluri ce prezintă particularități de principiu.

*Stroboscopul cu transparență.* În fig. 4.7 se indică schița unui stroboscop cu ocular (cu transparență).

Pe axul unui motor sincron  $MS$  se dispune un disc  $S$  interșanjabil, cu multe fante. O sursă de lumină  $L$  trimite

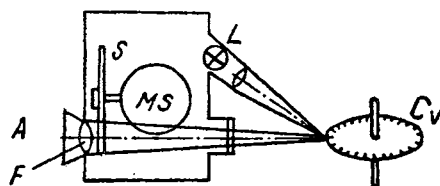


Fig. 4.7. Schema stroboscopului ocular.

un fascicol de lumină ce trece printr-un sistem de lentile și iluminează reperele probei de etalonare.

Întregul dispozitiv se ghidează astfel față de aparatul de etalonat încît razele sursei de lumină  $L$  să cadă exact pe repere. Marginea discului contorului de verificat este prevă-

zută cu un număr mare de repere sau fante, de exemplu 400, care sănt dispuse la distanțe egale pe circumferința discului.

Observatorul *A* poate să vadă clar reperele prin telescopul *F*.

Dacă numărul fantelor în discul stroboscopului este egal cu numărul reperelor discului contorului, atunci observatorul i se pare că reperele stau pe loc, adică ambele discuri au aceeași viteză unghiulară. Atunci cînd vitezele unghiulare ale ambelor discuri se deosebesc printr-un multiplu întreg, observatorul are impresia că reperele stau de asemenea pe loc, dar imaginea nu mai este atît de clară. Din această cauză se va monta pentru fiecare viteză unghiulară necesară a discului contorului de verificat un alt disc cu fante stroboscopice, ceea ce constituie un avantaj. Acest avantaj important constă în faptul că folosind un disc cu număr corespunzător de crestături, stroboscopul poate fi adaptat tuturor condițiilor. De asemenea, mai există și avantajul unei anumite libertăți în alegerea sursei de curent pentru antrenare. În acest caz cel care măsoară nu mai este legat de un contor etalon cu dispozitiv de generare a impulsurilor, ci poate utiliza o sursă de curent cu frecvență constantă, care astăzi se întâlnește în orice laborator de încercări și care este utilizată pentru antrenarea motorului sincron.

Acest stroboscop este foarte indicat și pentru reglarea în cazul sarcinilor mici (viteză de rotație a discului 10 rot./min) putîndu-se regla fiecare dată numai un singur contor.

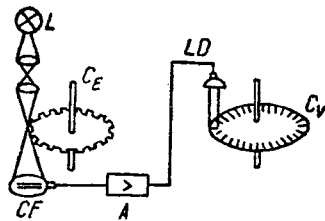


Fig. 4.8. Schema stroboscopului cu impulsuri luminoase.

*Stroboscopul cu impulsuri de lumină (fulgere de lumină).* În fig. 4.8 se indică schematic modul în care sănt dispuse aparatelor într-o instalație cu indicator luminos. Lumina

acestuia este dirijată spre discul cu repere a contorului de verificat. Folosind un contor etalon ca generator de impulsuri se pot regla simultan mai multe contoare, dacă fiecărui contor de verificat i se repartizează o lampă fulger.

S-a creat un număr mare de astfel de aparate care reprezintă variante sau completări ale aparatului descris. Dintre acestea se vor prezenta numai cîteva dispozitive mai reprezentative.

*Dispozitivul stroboscopic cu ecran.* În fig. 4.9 se poate urmări schema instalației stroboscopice cu ecran pentru observarea imaginii stroboscopice.

La iluminarea acestor discuri de la becul de iluminat cu gaz  $GL$ , alimentat de curentul a cărui frecvență este proporțională cu viteza de rotire a discului contorului etalon, pe ecranul așezat sub discul contorului de verificat, operatorul vede proiecția nemișcată a discului cu dinți pe marginea lui.

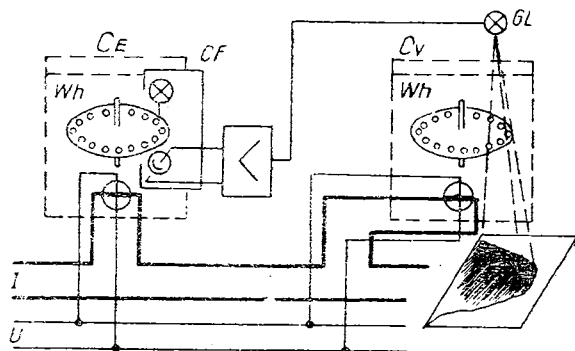


Fig. 4.9. Schema dispozitivului stroboscopic cu ecran.

Cînd vitezele contoarelor de verificat și ale celui etalon nu sunt egale, această imagine începe să se miște.

La executarea practică a acestui dispozitiv, proiecția discului de la contorul care se verifică este mărită și se observă de către operator în mod direct deasupra contorului de verificat, în planul standului pe care se aşază contoarele.

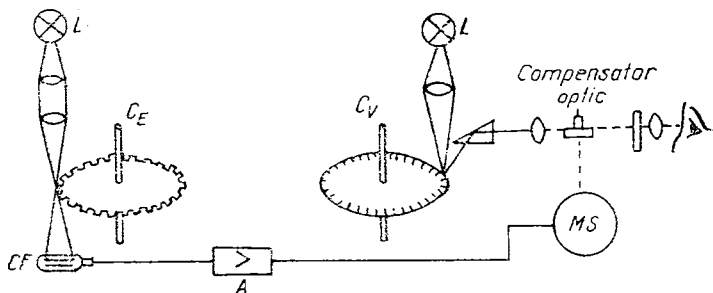


Fig. 4.10. Schema compensatorului optic.

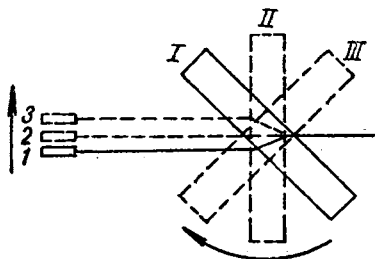


Fig. 4.11. Schiță explicativă a principiului de funcționare a compensatorului optic.

Acest lucru este realizat cu ajutorul sistemului de lentile și oglinzi. Un astfel de procedeu de observație a efectului stroboscopic ușurează munca operatorului. Sistemul optic, care se folosește pentru aceasta, este utilizat în același timp și pentru observarea discului contorului la verificarea sensibilității și mersului în gol.

*Compensatorul optic.* În fig. 4.10 se prezintă un compensator optic de construcție americană.

În acest caz impulsurile amplificate nu se mai aplică unei lămpi, ci unui motor sincron care acționează compensatorul optic prin intermediul unui mecanism și care reprezintă în același timp un stroboscop cu transparentă, cu sarcină constantă. Cu ajutorul acestui dispozitiv se pot regla contoarele prin procedeul cu sarcină constantă.

Principiul de funcționare al compensatorului optic este explicat cu ajutorul fig. 4.11.

Dacă prizma compensatorului se rotește în direcția arătată de săgeată, atunci la alegerea corespunzătoare a raportului între viteza de rotire a rizurilor de pe discul contorului de verificat și viteza de rotire a compensatorului optic, operatorul va vedea pe ecran un sir de rizuri nemîșcate. Întradevăr, dacă la un moment dat rizul observat de operator de pe discul contorului de verificat va ocupa poziția 1, acestui moment de timp îi corespunde poziția I a prizmei 2. Peste un interval de timp oarecare, rizul care se observă se va deplasa în poziția 2, operatorul o va vedea însă pe ecran în aceeași poziție ca și în primul moment, deoarece prizma compensatorului s-a deplasat și ea în poziția 2. La deplasarea rizului în poziția 3, imaginea lui pe ecran va rămâne pe același loc, deoarece prizma a și ocupat poziția 3 etc. Acest efect poate fi observat numai în cazul unghiurilor mici de rotire a prizmei, de aceea compensatorul optic se execută din două prizme perpendiculare prevăzute cu obturatoare. Folosirea compensatorului optic permite să se facă imaginea stroboscopică mult mai clară.

#### Diferite alte procedee combinate

*Procedeul Omega.* Un alt dispozitiv cunoscut în ultima vreme sub denumirea de procedeul Omega este indicat în fig. 4.12. Această instalație are ca aparat indicator un oscilograf catodic.

Atât contorul de verificat ( $C_v$ ), cât și contorul etalon ( $C_E$ ) au prevăzută cîte o lampă de descărcare cu 400 de descărcări pe rotație. Impulsurile luminoase de la contorul etalon ajung la o celulă fotoelectrică și sunt transformate în impulsurile electrice, care sunt amplificate apoi de către un amplificator și aplicate pe placa de deflexie a oscilografului catodic. Circuitul este astfel ales încît spotul luminos descrie o imagine circulară pe ecranul tunului catodic al oscilografului (fig. 4.12).

Impulsurile electrice obținute în același fel de la contorul de verificat vor fi transmise de asemenea la tubul catodic.

Fiecare impuls provoacă o deviație a spotului luminos, astfel încît pe cerc apare o crestătură. La aceeași frecvență a impulsurilor contorului etalon și a celui de verificat, crestătura rămîne în aceeași poziție. Dacă frecvența impulsurilor contorului de verificat diferă de frecvența impulsurilor con-

torului etalon, atunci crestătura se deplasează pe circumferința cercului în stînga sau în dreapta, în funcție de mersul contorului de verificat față de cel etalon.

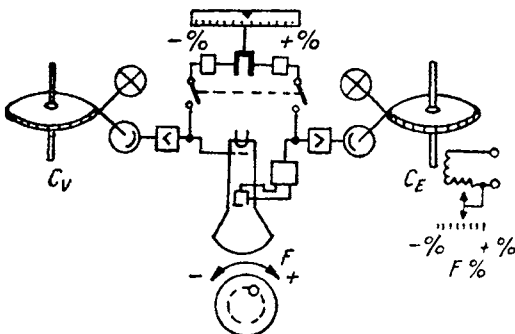


Fig. 4.12. Schema de principiu a metodei Omega.

Dacă frecvența impulsurilor diferă cu cîte un reper de control pe secundă, atunci reperul de control face o deplasare de  $360^\circ$  într-o secundă, deci o rotație completă.

Sensibilitatea citirii este foarte mare, ceea ce prezintă un mare avantaj.

Dezavantajul acestei metode constă în faptul că la încărcări mici ale contorului de verificat, unde discul se deplasează cu o viteză unghiulară neregulată, deplasarea crestături poate fi urmărită foarte greu.

*Contorul fotoelectric.* Unul dintre cele mai actuale aparate (fig. 4.13), utilizat pentru procedeele de integrare, este contorul fotoelectric al cărui principiu de funcționare este prezentat în cele ce urmează.

Un dispozitiv fotoelectric sesizează trecerea reperului roșu al rotorului și ca rezultat emite un impuls care este apoi amplificat, un numărător de impulsuri comandă dispozitivul după un număr  $n$  de impulsuri (programat înainte de începerea numărării). Comanda transmisă de acest contor, după numărul de impulsuri respectiv, poate fi utilizată pentru îndeplinirea celor mai diferite funcțiuni. Acest aparat se deosebește de altele asemănătoare prin aceea că alegerea pro-

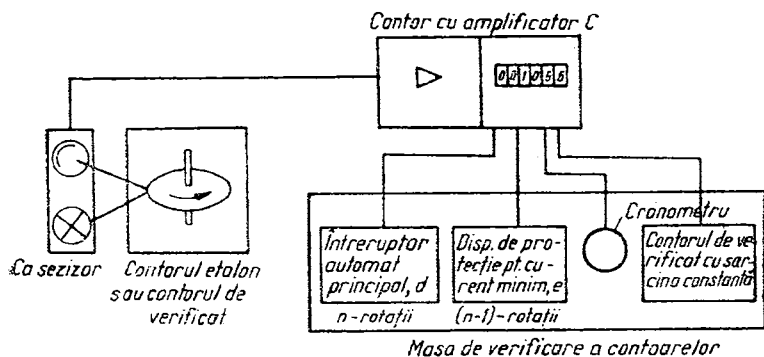


Fig. 4.13. Schema de principiu a contorului fotoelectric.

cedeului se poate face cu ajutorul unui comutator de metode. În momentul de față acest aparat are posibilități de reglare pentru următoarele funcții :

- Verificarea sincronă cu și fără reducerea sarcinii. La această verificare capul sesizor cu tub fotoelectronic se aduce în fața contorului etalon și în felul acesta numără rotațiile discului contorului etalon. După executarea numărului de rotații programat pentru contorul etalon, se deconectează masa de verificare de la aparat (în măsura în care ea este prevăzută cu comenzi pentru întrerupere automată) și anume: în cazul verificării sincrone fără reducerea sarcinii, adică după  $n$  rotații, la contoare ale căror discuri se rotesc foarte încet.

La verificarea sincronă cu reducerea sarcinii, după cea de a  $(n-1)$  rotație, se conectează o sarcină mică. Ultima rotație se face cu o turăție mai redusă, astfel încât la ultima apropiere de reperul roșu, discul motor se poate opri imediat. Operatorul care execută verificarea contoarelor nu are decât să determine eroarea din poziția discului contorului de verificat, fiind eliberat de operația de a număra rotațiile.

- Verificarea cu wattmetru — cronometru. În acest procedeu contoarele sunt verificate pe cale fotoelectrică. Contorul acționează cronometrul la începutul perioadei de măsurare și apoi îl oprește după cea de a  $n$  rotație. Timpul

în care s-au parcurs rotațiile discului poate fi citit pe cronometru, fără erorile subiective ale celui care execută verificarea.

• Verificarea cu contoare de comparație cu sarcină constantă. Îi la acest procedeu de verificare a contoarelor se folosește principiul fotoelectric. Contorul etalon cu sarcină constantă este pus în funcțiune, pe perioada celor  $n$  rotații, cu ajutorul unui dispozitiv contor de acționare fotoelectrică. Eroarea se poate citi direct în procente pe scara contorului etalon cu sarcină constantă. În felul acesta se elimină, de asemenea, numărarea rotațiilor discului, evitându-se astfel erorile subiective.

• Verificarea prin procedeul cu impulsuri de etalonare. Acest procedeu prezintă o extindere a procedeului de reglare sincronă. Deasupra fiecărui contor de verificare, pe raza de prindere, se găsește o mică lampă de semnalizare, care produce impulsuri luminoase de câte ori reperul roșu al contorului etalon se găsește în fața capului sesizor. Toate reperele roșii ale contoarelor de verificat au fost așezate la partea din față, înainte de începerea măsurării. De la cel de al doilea impuls al lămpii de semnalizare se poate vedea dacă reperul roșu al contorului de verificat se rotește sincron cu cel al contorului etalon, respectiv rămîne în urmă sau o ia înainte.

• Verificarea de durată. La verificarea de durată, dispozitivul de verificare al contoarelor se oprește după o anumită cantitate de energie ce trece prin contorul de verificat. Această cantitate de energie se poate programa în mod corespunzător caracteristicilor contorului etalon. După consumarea cantității de energie programate, mecanismul contor de programare întrerupe circuitul de curent al dispozitivului de verificare de durată al contoarelor. În cazul acesta, se poate stabili nemijlocit eroarea absolută a contorului de verificat din pozițiile mecanismelor de numărare, deoarece în acest caz se poate lua în considerație eroarea proprie a contorului etalon.

Cele cinci posibilități prezentate nu exclud posibilitatea utilizării instalației de bază și pentru reglarea stroboscopică rapidă a contoarelor.

Pentru ilustrarea punerii în practică a unor procedee și metode ce au fost mai sus enumerate, redăm pe scurt cîteva exemple de alte instalații automatizate concepute și aplicate de cîteva firme.

#### 4.3. Cîteva instalații realizate pentru verificarea contoarelor electrice

Problema construirii unor instalații de etalonat și verificat contoare care să asigure o precizie cît mai ridicată, concomitent cu o manoperă redusă, preocupă din ce în ce mai mult atît pe producători, cît și întreprinderile și societățile de exploatare a energiei electrice.

Totuși, în prezent, o mare parte din aceste întreprinderi mai utilizează instalații clasice pentru reglat și verificat contoare, care practic sunt doar surse de curent alternativ cu posibilități de reglare a curentului, tensiunii și decalajului între curent și tensiune. Ele prezintă avantajul că sunt robuste și se pot utiliza pentru toate metodele, wattmetru-cronometru, contor etalon și stroboscopic.

În cele ce urmează vor fi prezentate cu titlu de exemplificare, atît astfel de instalații, cît și instalații semiautomatizate sau automatizate, în care se pot regăsi materializate una sau mai multe din procedeele și metodele expuse.

##### 4.3.1. Stația GANZ de reglat și verificat contoare trifazate

Stația prezentată în fig. 4.14 este realizată de către uzina Ganz (R.P.U.) și folosește la etalonarea contoarelor monofazate și trifazate. Aceasta este o stație clasică cu circuite separate de curent și tensiune. Decalatorul de fază este un regulator inductiv obișnuit acționat de un servomotor.

Circuitul de tensiune are 22 prize cu tensiuni nominale cuprinse între 57,5 V și 550 V. Puterea debitată este de 500 VA.

Circuitul de curent este dotat cu 9 prize cu valorile nominale de curenți cuprinse între 0,25 A și 100 A. Puterea debitată este de 550 VA.

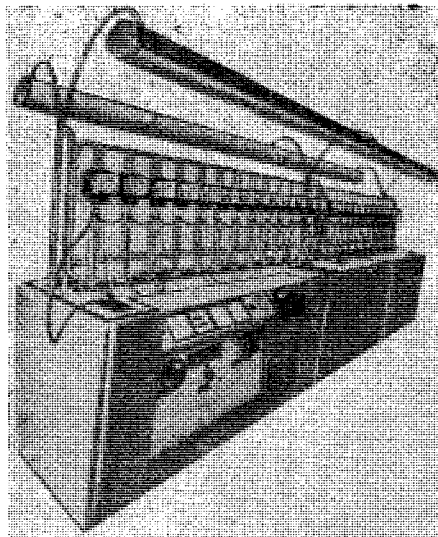


Fig. 4.14. Stația GANZ pentru reglat și verificat contoare.

#### 4.3.2. Stațiile de etalonat contoare ale firmei SIEMENS

Firma Siemens este una din cele mai vechi firme producătoare de stații de etalonat contoare de energie electrică.

În cele ce urmează se dau doar câteva exemplificări din fabricația acestei firme.

În fig. 4.15 este prezentată stația tip *DK* de încercat contoare, pentru trei contoare trifazate sau monofazate și pentru curenți pînă la 100 A. Acest mic model de echipament utilizează un contor etalon. Circuitele de curent sunt echipate cu trei transformatoare de măsură de clasă 0,1, în timp ce tensiunile sunt măsurate direct. Deși stativul stației este construit numai pentru trei contoare, puterea stației poate alimenta 20 contoare o dată.

În fig. 4.16 este prezentată stația tip *FW* pentru încercarea simultană a 40 contoare monofazate de 220 V și 60 A.

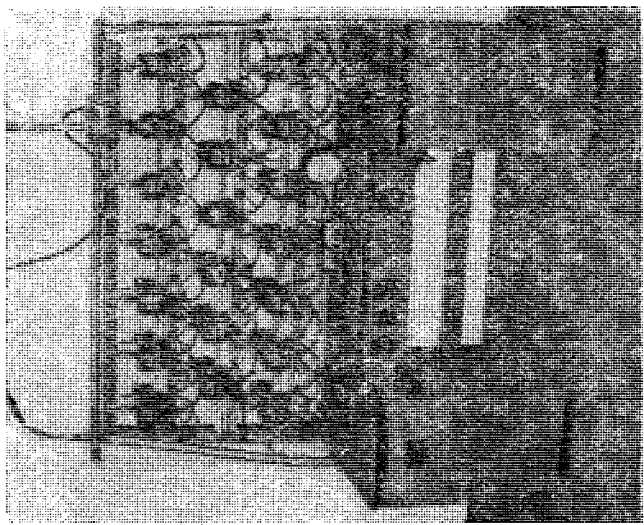


Fig. 4.16. Stație Siemens tip FW pentru etalonat și verificat conțoare monofazate.

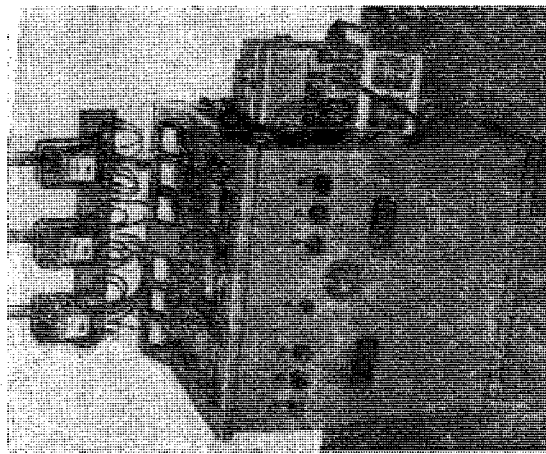


Fig. 4.15. Stație Siemens tip DK pentru etalonat și verificat conțoare.

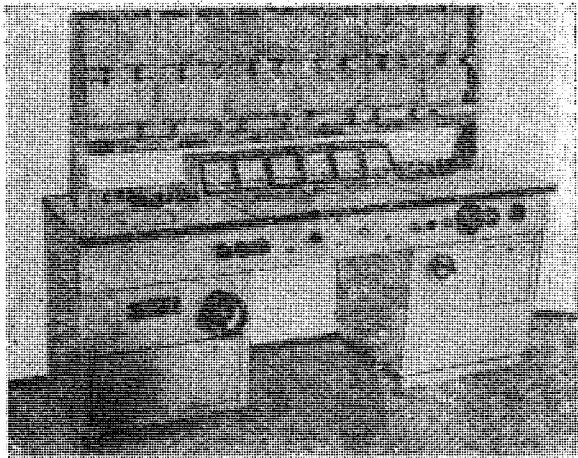


Fig. 4.17. Stația Siemens tip ED56 pentru încercarea contoarelor trifazate.

În fig. 4.17 se arată pupitrul pentru încercarea contoarelor trifazate tip ED56 cu un suport pentru cinci contoare trifazate sau 11 contoare monofazate. Stația este realizată cu trei tensiuni nominale 150 V, 300 V și 450 V și nouă trepte de curent pînă la 100 A. Stația este destinată încercării tuturor tipurilor de contoare monofazate și trifazate de energie activă și reactivă.

Pentru încercările de durată a contoarelor monofazate și trifazate s-au construit instalații tip DZW și respectiv tip DZ care permit verificarea simultană a 150 contoare monofazate la 220 V, pînă la 60 A și a 100 contoare trifazate 380/220 V, pînă la 100 A.

Contoarele sunt fixate pe stative separate.

#### 4.3.3. Stațiile de reglat și verificat contoare VOLKMAR — R.D.G.

În figurile 4.18 și 4.19 se dă stațiile pentru verificat contoare de curent alternativ monofazate respectiv trifazate, iar în fig. 4.20 este prezentată o stație trifazată semiautomatizată la care citirea rotațiilor se face cu dispozitiv fotoelectric.

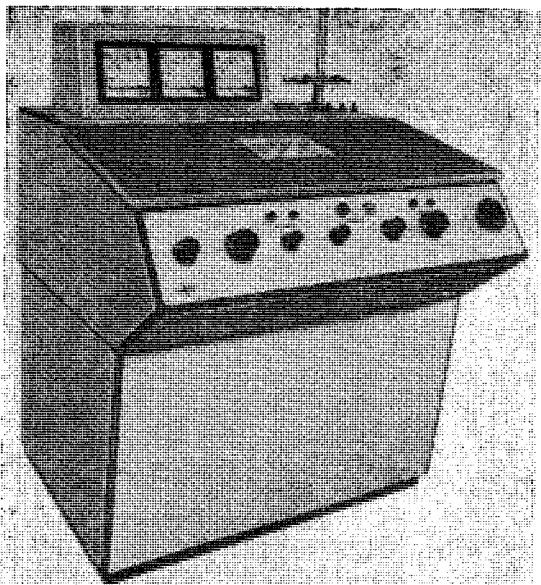


Fig. 4.18. Stația Volkmar pentru reglat și verificat  
contoare monofazate.

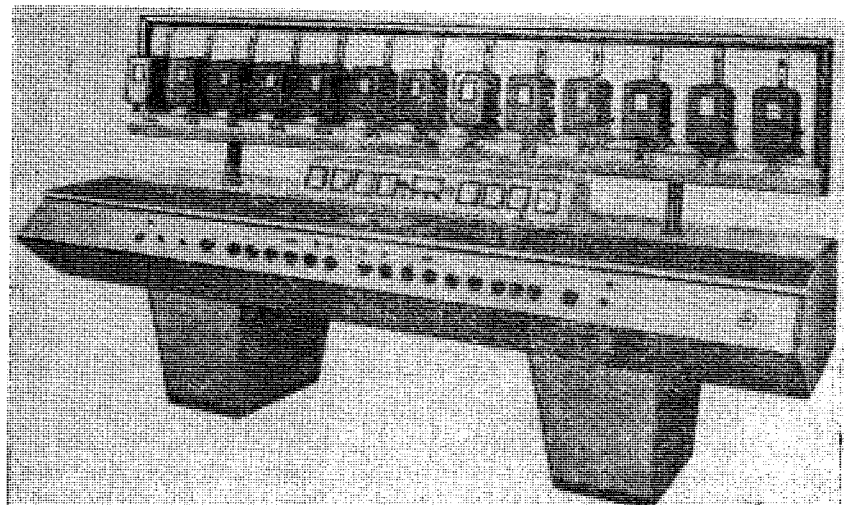


Fig. 4.19. Stația Volkmar pentru reglat și verificat contoare trifazate.

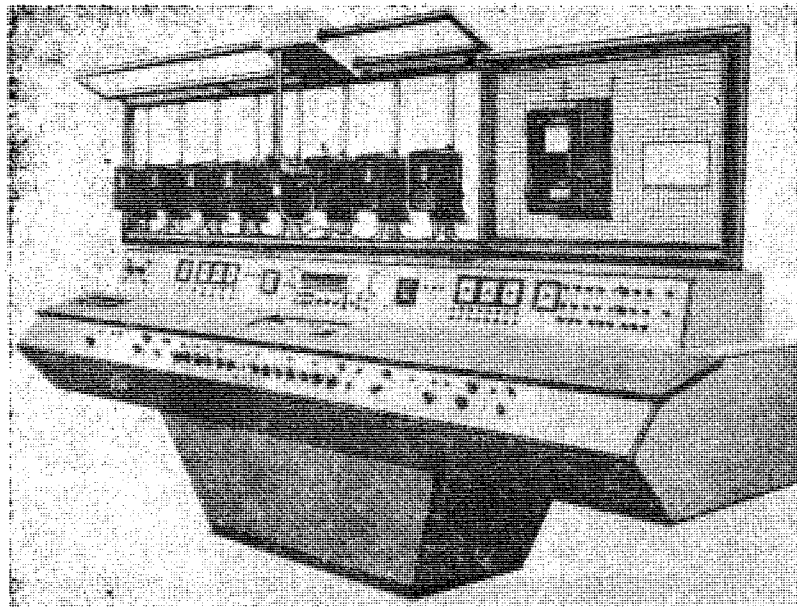


Fig. 4.20. Stația Volkmar semiautomată pentru reglat și verificat contoare trifazate.

#### 4.3.4. Instalație pentru verificarea în serie a contoarelor electrice — tip Schöne

În fig. 4.21 este prezentată schema unei instalații de etalonat contoare, instalație care constituie obiectul unui brevet de invenție din Republica Federală Germania.

Particularitatea acestei instalații constă în faptul că tensiunea, curentul și factorul de putere au valori predeterminate și că toate regimurile necesare pentru încercarea contoarelor se obțin cu ajutorul unui singur comutator  $K$ .

Transformatorul de tensiune  $TV$  are două prize. Cu ajutorul comutatorului  $K_2$  se alege priza corespunzătoare, fie tensiunii nominale, fie unei tensiuni mărite.

Cu ajutorul prizelor transformatorului  $TP$  se regleză curentul spre exemplu 100 %, 50% și 10% din sarcina nominală.

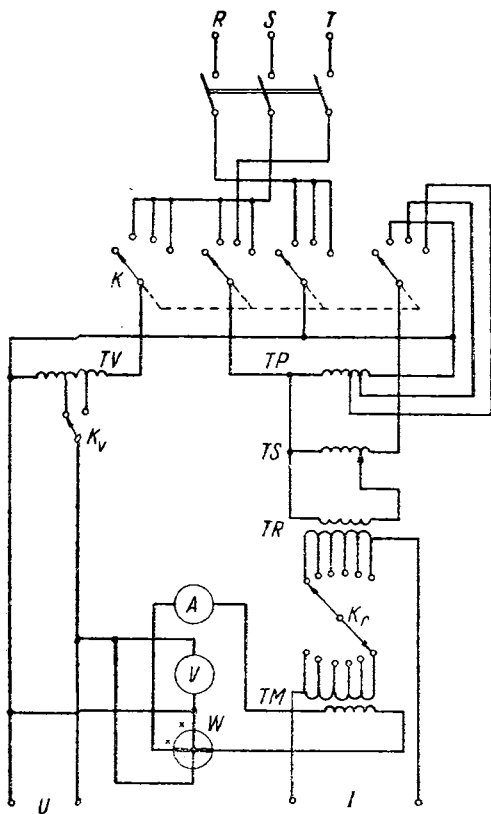


Fig. 4.21. Instalația de verificare cu valori predeterminate a contoarelor electrice tip Schöne.

Instalația poate servi la etalonarea contoarelor cu diverse valori pentru curentul nominal. În acest scop transformatorul de reglare  $TR$  posedă în secundar prizele corespunzătoare valorilor nominale ale curentilor care sunt reglate prin intermediul comutatorului  $K_r$ . Reglarea comutatorului  $K_r$  nu se face de verificator; se reglează la începutul verificării unei serii de contoare de către conducerea centralului de etalonare.

Pentru măsurarea curentului este conectat în circuit transformatorul de măsură  $TM$ . Transformatorul cu miez toroidal  $TS$  servește la reglarea sarcinii instalației de verificare; reglajul lui adaptează instalația la numărul contoarelor conectate odată la instalația de verificare.

#### 4.3.5. Instalația de verificat contoare monofazate în bandă rulantă

Instalația folosită de întreprinderile Electromagnetică și Aparate electrice de măsurat Timișoara, a fost construită din necesitatea de a uniformiza ritmul benzilor de montaj și reglarea cu operația de verificare, constituind obiectul unor brevete de invenție [33 și 42].

În fig. 4.22 a și b sunt date schema de principiu a instalației de verificat contoare monofazate și respectiv o vedere de ansamblu a ei.

Instalația permite verificarea contoarelor monofazate prin alimentarea unui circuit de tensiune cu tensiune constantă și a altui circuit cu curenti de amplitudine și faze predeterminate.

Instalația elimină timpul de reglaj, regimurile necesare pentru verificarea contorului fiind obținute printr-o simplă comutare. Această comutare se realizează cu un dispozitiv dotat, pentru obținerea unei tensiuni constante și a unui curent variabil ca amplitudine și fază, cu : un transformator care furnizează tensiunea de alimentare a circuitului de tensiune, un transformator de curent și un autotransformator cu ajutorul cărora se fixează amplitudinea curentului în circuitul de curent. De asemenea, instalația mai cuprinde un transformator care servește la fixarea curentului și un comutator cu ajutorul căruia se schimbă regimurile de verificare ale contoarelor.

Transformatorul de tensiune  $T_U$  este alimentat în primar între două faze, în secundar rezultând o tensiune constantă, de exemplu 220 V—50 Hz, pentru alimentarea circuitului de tensiune al contoarelor de verificat. Această tensiune este luată drept referință pentru decalarea curenților în circuitul de curent.

Curenții sunt obținuți cu ajutorul transformatorului de curent  $T_I$  și al autotransformatorului  $AT_2$ , cu care se reglează amplitudinea curentului la valoarea necesară.

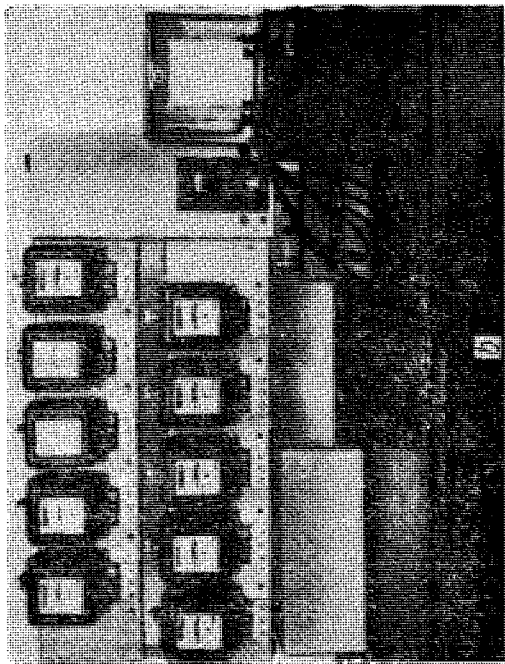
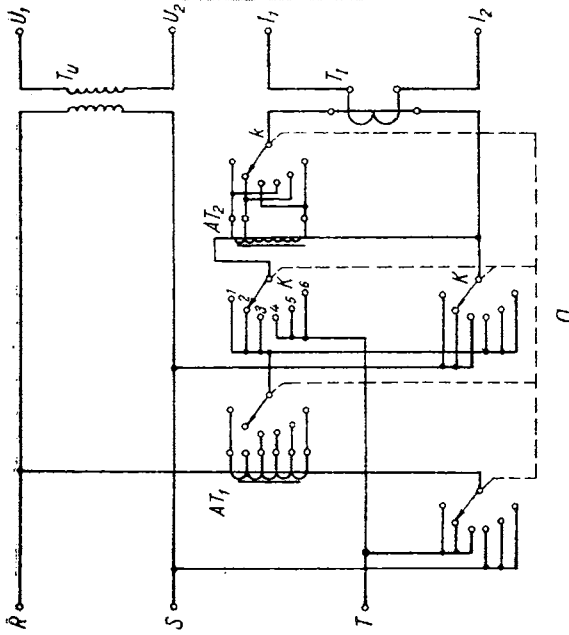


Fig. 4.22. Instalație de verificat contoare monofazate în hândă rulantă :  
 a — schema electrică ; b — vedere ;  $A T_1$  și  $A T_2$  — autotransfor-  
 matoare cu prize ;  $K$  — comutator ;  $T_U$  — transformator de ten-  
 sune ;  $T_I$  — transformator de curent.

Pozitia comutator $K$	Regim de verificare	Factor de putere
	Sarcina	
1	400 %	1
2	100 %	
4	400 %	0,5 inducțiv
5	100 %	
6	10 %	

Instalația asigură, cu un singur operator în bandă, regimurile  $0,8 U_n$  și  $1,1 U_n$ ;  $0,005 I_n U_n$ ,  $0,05 I_n U_n$ ;  $0,1 I_n U_n$ ;  $2 I_n U_n$ ;  $4 I_n U_n$  la  $\cos \varphi = 1$  și respectiv  $0,1 I_n U_n$ ;  $2 I_n U_n$ ;  $4 I_n U_n$  la  $\cos \varphi = 0,5$ .

#### 4.3.6. Dispozitiv semiautomat pentru verificarea contoarelor monofazate și trifazate

Tot la Întreprinderea Electromagnetica s-a realizat un dispozitiv pe principiul wattmetru-cronometru electronic.

Într-o redare succintă, funcționarea acestuia este următoarea: în fața contorului de verificat se aşază un dispozitiv fotoelectric format dintr-un proiectoare — (sursă luminosă) și o celulă fotoelectrică.

Fascicoul de lumină, reflectîndu-se de la periferia discului, cade pe tubul fotoelectric. De fiecare dată cînd pată colorată de pe discul contorului trece prin fața ferestrei contorului, fascicul de lumină care cade pe fotocelulă este atenuat, ceea ce determină apariția unui impuls electric,

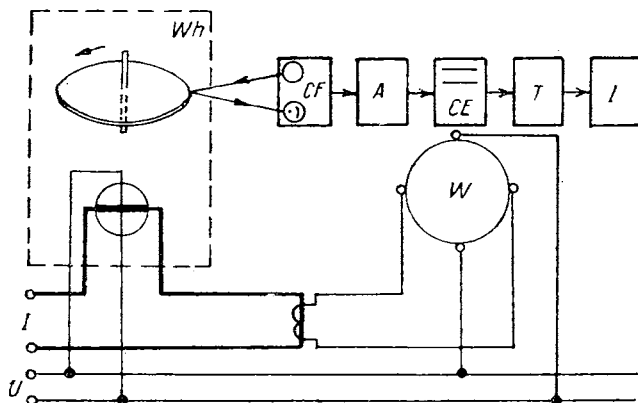


Fig. 4.23. Schema bloc și electrică a dispozitivului semiautomat pentru verificarea contoarelor.

care după ce este amplificat se aplică la un cronometru electronic de tipul R.F.T. sau Rochar.

În fig. 4.23 sunt indicate schema bloc și schema electrică a dispozitivului construit, iar în fig. 4.24 — schema amplificatorului acestui dispozitiv.

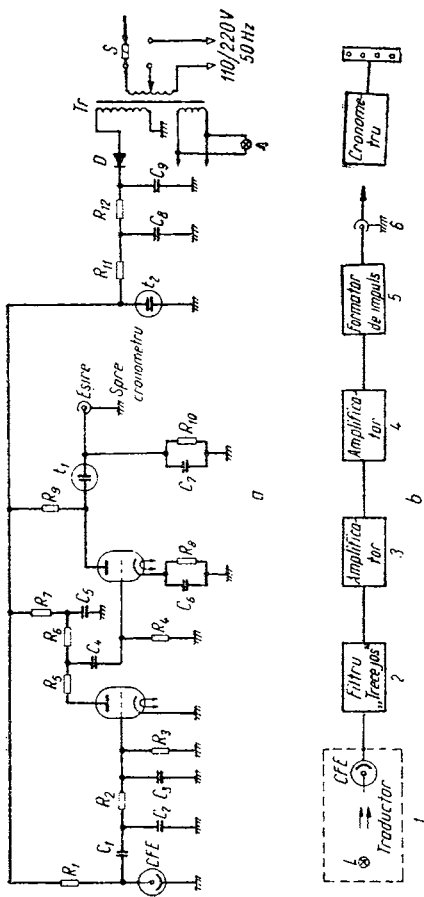


Fig. 4.24. Schema amplificatorului dispozitivului semiautomat pentru verificarea  
a — schema electrică ; b — schema bloc.

#### 4.3.7. Stația MÉTRABLOC pentru etalonarea contoarelor monofazate și trifazate

Stația Métrabloc (fig. 4.25) realizată de firma Landis & Gyr, servește la etalonarea contoarelor monofazate și trifazate de energie activă și reactivă. Poate alimenta succesiv două stative de etalonare și este alimentat direct de la rețeaua trifazată.

În pupitru sunt încorporate trei contoare etalon trifazate de energie activă și trei wattmetre de precizie. Un

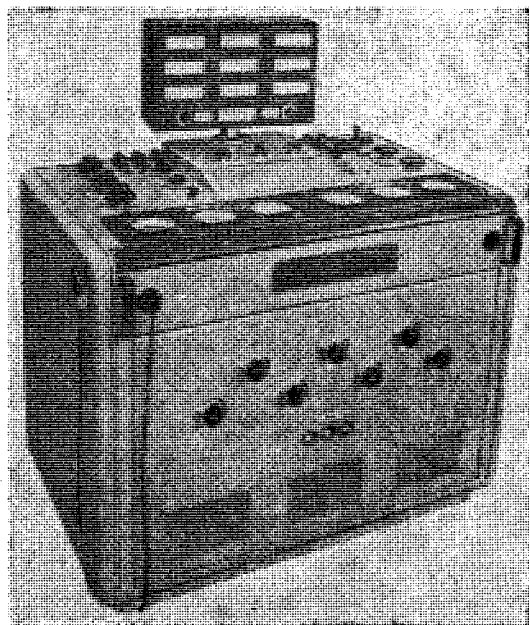


Fig. 4.25. Stația MÉTRABLOC pentru reglarea și verificarea contoarelor trifazate.

bloc suplimentar de trei contoare etalon de energie reactivă pot fi încorporate alături de primele.

În timp ce are loc etalonarea pe unul din stative, pe celălalt stativ sunt deconectate contoarele etalonate, montate noi contoare de etalonat și puse la preîncălzit.

Puterea stației Métrabloc este dimensionată pentru etalonarea a 10 contoare monofazate sau trifazate, cu trei sau patru fire, pînă la 30 A, sau 4 contoare pînă la 100 A. Tensiunea poate fi reglată între 0 și 400 V.

Stația este prevăzută cu un regulator de inducție de 500VA. De asemenea, există un comutator cu ajutorul căruia circuitul de tensiune poate fi conectat la diverse tensiuni decalate cu  $60^\circ$ , ceea ce permite o comutare rapidă de la  $\cos \varphi = 1$  la  $\cos \varphi = 0,5$ .

Transformatoarele de măsură de tensiune și curent cu care este dotată stația au eroarea de raport  $\pm 0,1\%$  și cea de unghi  $\pm 3'$  la plină sarcină.

Cele trei voltmetre electomagnetice de 100 V, cele trei ampermetre de 5A și cele 3 wattmetre cu care este dotată stația sunt de clasă 1. Scările acestor instrumente au deschiderea 125% față de valoarea nominală.

#### 4.3.8. Stația trifazată PJUY-23 pentru etalonarea contoarelor active și reactive

Stația trifazată tip PJUY-23 fabricată de societatea „Compagnie des compteurs” (Franța) servește la etalonarea și verificarea contoarelor trifazate active și reactive cu 3 și 4 conductoare. Poate fi utilizată și la etalonarea contoarelor monofazate. Verificarea se face cu ajutorul contoarelor calon.

Circuitul de curent are 16 trepte de la 0,5 la 100 A cu o putere disponibilă de maxim 125 VA pe fază. Circuitul de tensiune are 8 trepte de la 60 V la 400 V cu o putere de 100 V pe fază.

Stația este prevăzută cu ampermetre, voltmetre și wattmetre de tablou clasa 1,5, cu deschiderea scării de  $250^\circ$ , lungimea de 105 mm. Scara este astfel gradată încît permite o supraîncălzire de 20% față de valoarea nominală.

Contoarele etalon, wattmetrele, voltmetrele și ampermetrele sunt conectate totdeauna la aceeași valoare nominală prin intermediul a trei transformatoare de măsură de tensiune și trei de curent de mare precizie. Transformatoarele de măsură de tensiune sunt dotate cu un dispozitiv de compensare a erorilor. Eroarea globală de măsură este mai mică de  $\pm 0,5\%$ .

#### 4.3.9. Instalația VNIIIEP pentru verificarea automată a contoarelor

Schema de principiu a acestei instalații confectionată în U.R.S.S. este dată în fig. 4.26.

Discul contorului etalon se rotește continuu, el este prevăzut cu un mare număr de orificii amplasate în mod uniform pe circumferința lui. Impulsurile electrice ce iau naștere în timpul mișcării discului în circuitul fotoelementului se amplifică și se aduc la contoarele de impulsuri  $C_1$  prin contactele  $K$ . Contoarele de impulsuri folosite sunt cu ac și au scări circulare. Ele sunt amplasate deasupra fiecărui contor care se verifică. În timpul unei rotații a discului contorului etalon, indicatorul contorului de impulsuri efectuează de asemenea o rotație completă.

Discurile contoarelor de verificat au teșituri spre care se îndreaptă fasciculele de lumină de la capetele fotoelectrice. Fascicul de lumină reflectat de la teșitură cade pe fotoelement și în circuitul fotoelementului ia naștere un impuls pentru fiecare rotație de disc a contorului care se ver-

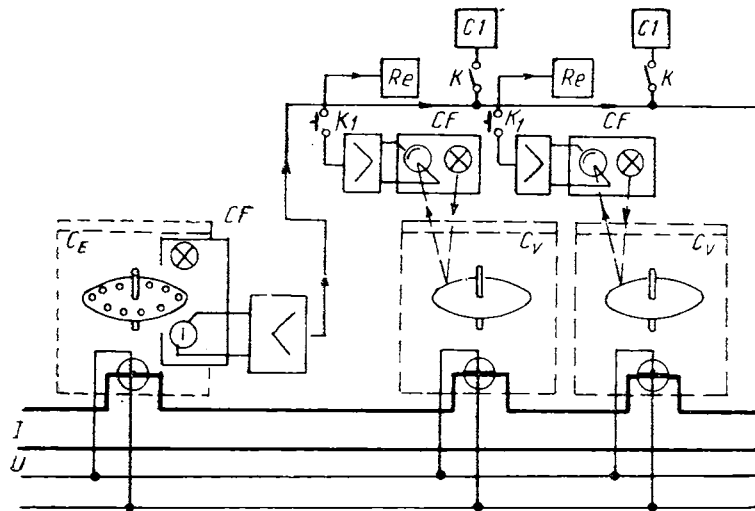


Fig. 4.26. Schema instalației VNIIIEP.

fică. Aceste impulsuri se amplifică și se aduc la releul de pornire-oprire  $R_e$  care este construit în aşa fel, încit la primul impuls primit de la capul fotoelectric închide contactul  $K$ , iar al doilea îl întrește.

Operatorul aşază contorul pe stand, unde este conectat în mod automat în circuitul de alimentare și discul lui începe imediat să se învîrtă. Apăsând pe butonul  $K_1$ , operatorul conectează releul  $R_e$ , iar indicațiile anterioare ale contorului de impulsuri  $CI$  sunt sterse în mod automat.

La prima trecere prin fața capului fotoelectric a teșiturii discului de la contorul de verificat, releul  $R_e$  declanșează și conectează contactul  $K$ . Contorul de impulsuri începe să numere impulsurile aduse de la capul fotoelectric al contorului etalon.

În momentul trecerii celei de a doua teșuturi de disc de la contorul de verificat are loc întreuperea contactelor  $K$  și  $K_1$ . În felul acesta contorul de impulsuri numără impulsurile aduse de la capul fotoelectric al contorului în timpul unei rotații a discului de la contorul de verificat. Dacă viteza de rotație a discurilor de la contorul etalon și de la cel de verificat este aceeași, atunci indicatorul contorului de impulsuri va efectua o singură rotație completă. Acest lucru arată că erarea lipscă la contorul care se verifică. Dacă viteza discului contorului etalon este mai mică decât viteza discului contorului de verificat, atunci indicatorul contorului de impulsuri va efectua mai puțin de o rotație. Dacă viteza discului contorului etalon este mai mare decât viteza discului contorului de verificat, atunci indicatorul va face mai mult decât o rotație. Pe scara  $CI$  se citesc erorile contoarelor care se verifică, direct în procente.

#### 4.3.10. Instalația MEMZ pentru etalonarea și verificarea contoarelor

Schema de principiu a acestei instalații construită în U.R.S.S. este dată în fig. 4.27.

Discul contorului etalon care lucrează în regimul de sarcină constantă are 24 de orificii. Impulsurile ce iau naștere în circuitul fotoelementului în timpul mișcării discului se amplifică și se duc la releul de numărare a impulsurilor  $RNI$ .

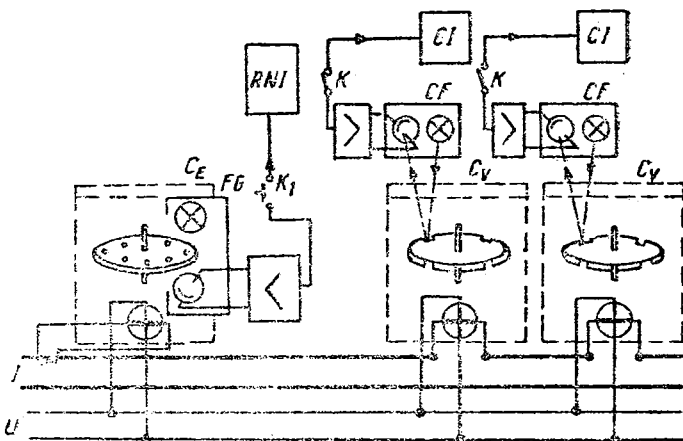


Fig. 4.27. Schema instalației MEMZ.

Discurile contoarelor de verificat au cîte douăsprezece teșituri așezate uniform pe marginea discului. Numărul egal de repere de impulsuri pe discurile contoarelor de verificat și cele etalon este determinat de faptul că viteza de rotație a discului de la contorul etalon este de două ori mai mică decît viteza de rotație a discurilor de la contoarele de verificat. În fața contoarelor de verificat sunt așezate capete fotoelectrice în care iau naștere impulsurile electrice și care amplificate se duc la contoarele de impulsuri  $CI$ . După stabilirea regimului necesar de sarcină, operatorul fixează pe releul de numărare a impulsurilor  $RNI$  un astfel de număr de impulsuri de la contorul etalon care să corespundă probei date, de ex. 400 impulsuri; fixează toate contoarele de impulsuri  $CI$  în dreptul lui 0 și prin apăsarea butonului  $K_1$  conectează releul  $RNI$ . Începînd cu acest moment releul de numărare a impulsurilor începe să numere impulsurile primite de la contorul etalon.

La primirea primului impuls de la contorul etalon releul  $RNI$  închide contactele  $K$  și contoarele de impulsuri  $CI$  încep să numere impulsurile primite de la contoarele de verificare. După ce trece numărul dat de impulsuri primite de la contorul etalon (400), releul de numărare a impulsu-

rilor întrerupe contactele  $K$  și numărarea impulsurilor permise de la contoarele de verificat încețează.

După indicațiile contoarelor de impulsuri, operatorul determină eroarea fiecărui contor care se verifică, astfel de exemplu dacă numărul nominal de impulsuri trebuie să fie 400, iar contorul de impulsuri a unui contor din cele care se verifică arată 406 impulsuri, atunci eroarea acestui contor va fi egală cu  $\frac{406 - 400}{400} \cdot 100 = \pm 1,5\%$ .

Instalația este calculată pentru verificarea concomitentă a 30 de contoare.

#### 4.3.11. Instalația MZES pentru verificarea automată a contoarelor

Instalația este confecționată în U.R.S.S., pentru realizarea verificării contoarelor pe bandă în locul metodei merkului sincron folosite anterior.

Schema instalației este dată în fig. 4.28. Ca aparat de măsurat și etalon servește un contor special care funcționează stabil și care se verifică cu o precizie pînă la  $\pm 0,25\%$ .

Discul contorului etalon este prevăzut cu 24 orificii uniform amplasate pe circumferință. Fasciculul de lumină de la lampa de iluminat care trece în timpul rotirii discului contorului etalon prin aceste orificii, cade pe elementul fotoelectric. La fiecare rotație de disc a contorului etalon, în circuitul fotoelementului iau naștere 24 de impulsuri de curent. Aceste 24 de impulsuri se amplifică și se duc la dispozitivele de citire  $DC$ , care comandă contactele  $K$  din circuitele de tensiune ale contoarelor de verificat.

Instalația este calculată pentru verificarea concomitentă a 7 contoare.

Operatorul aşază discul de la un contor dintre cele ce urmează a fi verificate într-o astfel de poziție, încît marginea reperului vopsit pe disc să coincidă cu reperul de pe discul mecanismului de citire și apasă pe butonul de pornire  $K$ , din circuitul dispozitivului de citire al acestui contor. Începînd cu acest moment impulsurile de la capul fotoelectric  $CF$  ajung la dispozitivul de citire. La aducerea primului impuls, dispozitivul de citire închide contactul  $K$

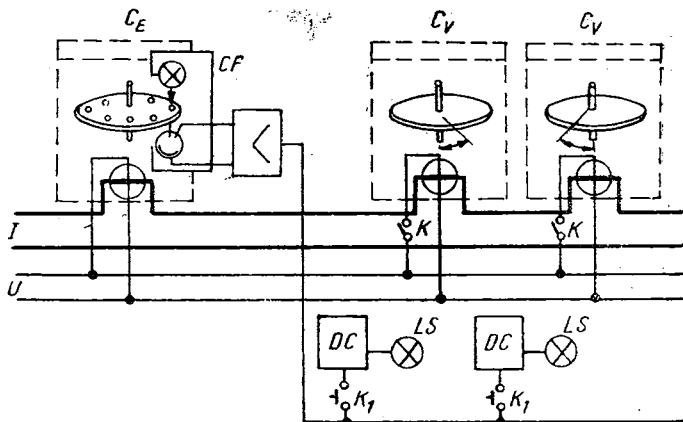


Fig. 4.28. Schema instalației MZES.

în circuitul de tensiune a contorului și începe să numere impulsurile aduse.

În acest timp operatorul pornește al doilea contor de verificat, apoi al treilea și aşa mai departe. Dispozitivul de citire, după ce a citit 48 de impulsuri de la contorul etalon, ceea ce corespunde la două rotații de disc de la contorul de verificat, în cazul cînd el este bine reglat, întrerupe contactul  $K$  și prin aceasta oprește contorul care se verifică.

Concomitent cu aceasta se aprinde lampa de semnalizare  $LS$  și se deconectează butonul de oprire  $K_1$ . După poziția reperului vopsit al contorului care se verifică față de reperul de pe discul mecanismului de citire, operatorul determină semnul și apreciază valoarea erorii contorului. Dacă este necesar, efectuează operațiile necesare de reglare și după aceea operatorul din nou aşază discul în poziția de zero, conectează contorul prin apăsarea butonului  $K_1$  și din nou determină justețea indicațiilor lui după două rotații. Aceste operații se repetă pînă cînd contorul va fi reglat în măsura necesară. Dupa reglare, contorul se scoate de pe stand și se trimite pe bandă pentru reglarea următoare.

La ridicarea contorului în circuitul curentului de la stand în locul înfășurării în serie a contorului se conectează în

mod automat o rezistență de sarcină, așa încât procesul de verificare a celorlalte contoare să nu fie deranjat.

Așa după cum se vede, pe instalația descrisă de obicei se realizează procesul de verificare prin metoda mersului sincron, însă prin automatizarea atât a numărării rotațiilor discului de la contorul etalon, cât și a procesului de pornire-oprire a contorului care se verifică, productivitatea a crescut semnificativ.

Pentru sarcini mari și verificare la decalaj ( $\cos \varphi \neq 1$ ) s-a conceput un automaton care poate verifica circa 600 contoare pe schimb, fiind deservit de o singură persoană.

În fig. 4.29 este indicată schema generală a dispozitivului automat pentru verificarea contoarelor.

Într-un dulap metalic 1 se află două contoare etalon, care nu sunt arătate pe figură, 6 capete fotoelectrică 2, sursele de alimentare și transformatoarele de măsură. În mijloc se află tamburul 3 heptagonal care se rotește pe un ax

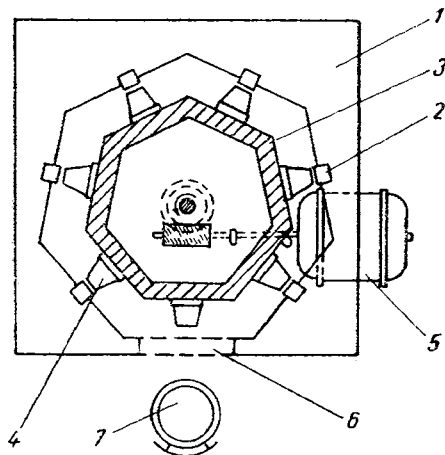


Fig. 4.29. Schema generală a automatului de verificare a contoarelor.

vertical. Pe marginile tamburului se fixează contoarele de verificat 4. Transmiterea mișcării de la motorul 5 la tamburul 3 este realizată astfel încât în timp de 45 s tamburul nu se mișcă, iar după aceasta se rotește 1/7 rotații, apoi din

nou rămîne nemîșcat timp de 45 s ș.a.m.d. În felul acesta contoarele de verificat trec în mod succesiv prin șase poziții. În timpul aflării lor pe fiecare dintre aceste poziții contorul este supus la una din sarcinile necesare pentru stabilirea curbei erorilor.

La fiecare sarcină se execută verificarea automată a contoarelor prin comprimarea indicațiilor sale cu indicațiile contorului etalon.

Trecînd de cele 6 verificări, contorul trece în poziția zero în fața ferestruicii  $\delta$ , unde lucrătorul înllocuiește apoi contorul. După cum se vede pe instalație, se pot verifica concomitent 6 contoare, la șase sarcini diferite în 45 s.

Schema electrică de principiu a automatului este dată în fig. 4.30.

Alimentarea schemei se face de la două faze ale rețelei trifazate. Rezistențele de sarcină  $R_a$  și  $R_c$  sunt alese astfel încît pentru tensiunile  $U_a$  și  $U_c$ , egale cu tensiunea nominală a contoarelor care se verifică (110 sau 220 V) curentul în fazele  $A$  și  $C$  să fie egale cu 1 A.

Rezistențele  $R_a$  și  $R_c$  sunt pur rezistive și curenții  $I_a$  și  $I_c$  sunt în fază cu tensiunile respective.

Curentul  $I_c$  rămîne în urmă față de  $U_a$  cu  $60^\circ$ . Înfășurările de tensiune ale contorului etalon  $CE_1$  (care funcționează pentru  $\cos \varphi = 1$ ) și contoarele care funcționează pentru  $\cos \varphi = 1$  se conectează la tensiunea  $U_a$ , iar prin înfășurările în serie trece curentul secundar al transformatoarelor de măsurare, înfășurările primare fiind conectate la fază  $A$ . Înfășurările de tensiune de la contorul etalon  $CE_2$  (care funcționează la  $\cos \varphi = 0,5$ ) și de la contoarele care se verifică se conectează la tensiunea  $U_a$ , iar prin înfășurările în serie trece curentul din secundarul transformatoarelor de măsurare; înfășurările primare sunt conectate la fază  $C$ .

Contoarele etalon au capete fotoelectrice pentru obținerea impulsurilor. Acești curenți se amplifică și se folosesc pentru alimentarea motoarelor sincrone  $MS_1$  și  $MS_2$ , a căror viteză de rotație va fi proporțională cu viteza de rotație a discurilor de la contoarele etalon  $CE_1$  și  $CE_2$ .

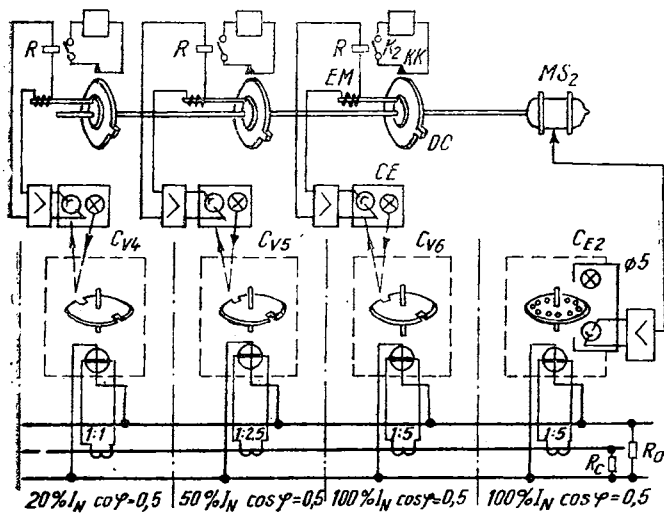
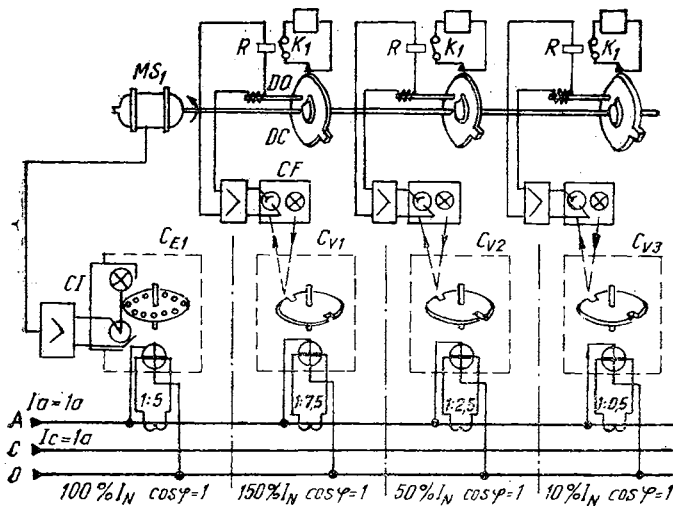


Fig. 4.30. Schema electrică a automatului de verificare a contoarelor.

Pe axul fiecărui motor se află trei discuri de contact *DC*. Aceste discuri sunt cuplate cu axul, nu rigid ci printr-un mecanism de fricțiune, care permite oprirea fiecărui disc fără oprirea axului. Discurile de contact sunt menținute și de dispozitivele de oprire *DO*, care sunt comandate de capetele fotoelectrice *CF*, aflate în fața fiecărui contor de verificare. Discurile contoarelor de verificat au cîte două teșituri așezate diametral, datorită cărui fapt în timpul rotirii lor iau naștere în circuitul fotoelementelor impulsuri periodice, care după amplificarea lor se aduc în circuitul relevului *R* și electromagnetilor *EM*.

Funcționarea schemei în ansamblul ei se face în ordinea următoare: contoarele etalon sunt conectate continuu, aflîndu-se într-un regim de sarcină constantă și acest lucru permite reglarea lor în aşa fel încît să aibă erori minime.

La fiecare rotire a tamburului, contoarele care se verifică se deconectează și se conectează din nou, în momentul în care tamburul *3* (v. fig. 4.29) se oprește în una din pozițiile fixate. La primul impuls de lumină care cade pe capul fotoelectric la trecerea prin față ferestrei de vizare a teșiturii oblice de pe discul contorului de verificat, electromagnetul *EM* declanșează, se eliberează opritorul *DO* și discul de contact *DC* începe să se rotească. Teșitura de pe discul *DC* este așezată în aşa fel încît timpul de rotire a discului socotit de la momentul de eliberare a opritorului *DO* pînă la momentul de închidere a contactelor  $k_1 k_2$  este egală cu 98 % din timpul calculat la un anumit număr de rotații, de exemplu 5. Timpul de la momentul de eliberare a opritorului *DO* pînă la momentul de întrerupere a contactelor  $k_1 k_2$ , după trecerea prin față lor a teșiturii discului *DC*, este de 102 % din timpul normal al contorului de verificat.

Dacă în intervalul de timp de la 98% la 102% din timpul calculat, de la capul fotoelectric al contorului de verificat se va trimite un impuls, atunci contactele  $k_1$  și  $k_2$  vor fi închise concomitent, se va aprinde numai o singură lampă a indicatorului de bună funcționare și acest lucru va însemna că eroarea contorului este cuprinsă în limitele  $\pm 2\%$ .

Contorul aflat în poziția zero se ridică de către operator de pe instalație și vede în același timp pe tabloul indica-toarelor de bună funcționare dacă corespunde tuturor condițiilor.

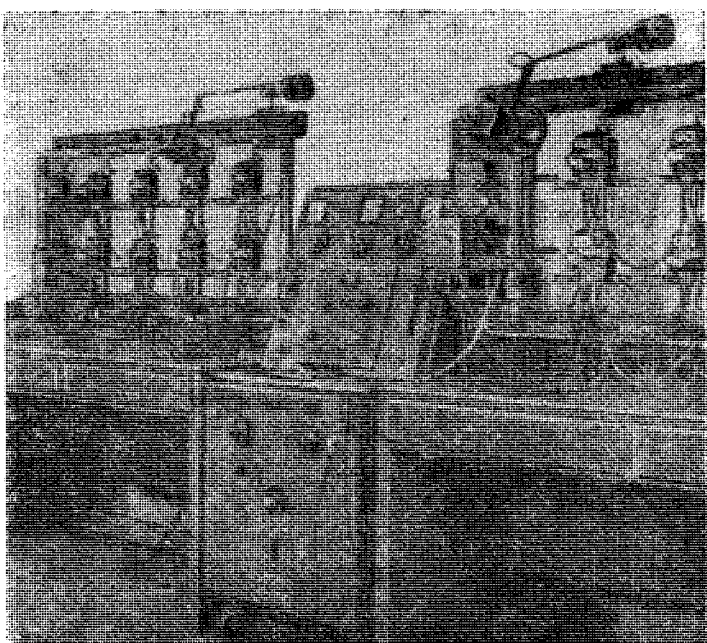


Fig. 4.31. Stația CDC tip PJUX-4 pentru etalonarea stroboscopică a contoarelor trifazate.

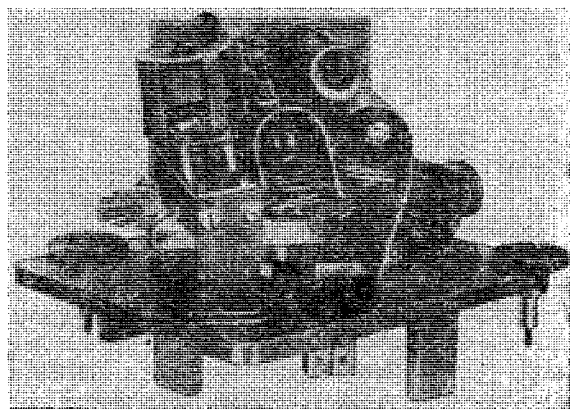


Fig. 4.32. Contor CDC etalon tip TPE.

#### *4.3.12. Stația tip PJUX-4 de etalonare a contoarelor monofazate*

Stația tip PJUX-4 (fig. 4.31) fabricată de societatea „Compagnie des compteurs-Montrouge” — Franța, servește la etalonarea stroboscopică a contoarelor monofazate și verificarea lor prin numărare automată cu citirea directă a erorii.

Ea folosește principiul etalonării stroboscopice și principiul numărării automate pentru încercarea individuală sau în serie a contoarelor cu repere fixe. Eroarea fiecărui contor în raport cu contorul pilot este apreciată după poziția semnului față de reper.

Pentru încercarea în serie a contoarelor se utilizează drept contor pilot contorul etalon prevăzut cu un cap de lectură portativ tip TPE (fig. 4.32) cu funcționare analoagă cu capul de lectură din panoul de prindere.

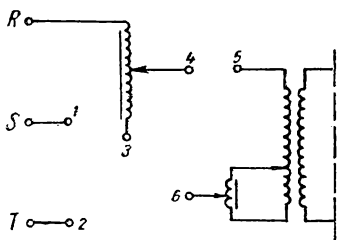
Această metodă permite verificarea rapidă a contoarelor după etalonarea lor stroboscopică.

**Reglajul decalajului între tensiune și curent.** O particularitate a stației PJUX-4 o constituie lipsa decalatorului de fază inductiv clasic. Cu ajutorul unui comutator se obțin 3 decalaje fixe:  $\cos \varphi = 1$ ,  $\cos \varphi = 0$  și  $\cos \varphi = 0,5$  inductiv. În diagramele vectoriale din fig. 4.33 este prezentat mecanismul de obținere a acestor decalaje.

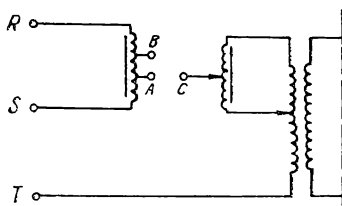
#### *4.3.13. Stația PJUY-50 pentru etalonarea și verificarea contoarelor monofazate și trifazate*

Stația PJUY-50 (fig. 4.34) fabricată de Compagnie des Compteurs—Franța, servește la etalonarea și verificarea contoarelor monofazate și trifazate cu 3 și 4 conductoare, active și reactive. Stația poate fi utilizată singură sau cuplată cu un programator.

Întrebuințată împreună cu una sau mai multe panouri de prindere, constituie o stație pentru etalonarea și controlul contoarelor. Alimentată din rețeaua industrială trifazată  $3 \times 127$  V sau  $3 \times 220$  V, stația furnizează tensiunile și curenții necesari pentru alimentarea a 20 contoare monofazate și trifazate. Etalonarea se poate executa, auto-

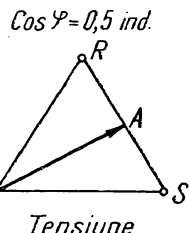
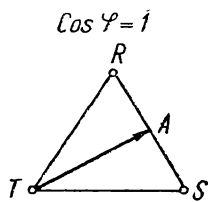


Circuitul de curent

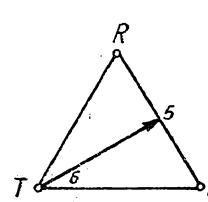
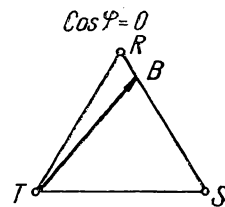


Circuit de tensiune

Conexiuni		
$\cos \varphi = 1$	$\cos \varphi = 0,5\text{ ind.}$	$\cos \varphi = 0$
A-C	A-C	B-C
1-3	2-3	2-3
2-6	1-5	1-5
4-5	4-6	4-6



Tensiune



Curent

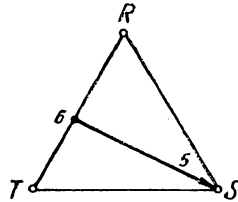
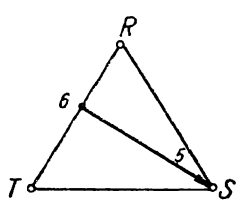


Fig. 4.33. Obținerea decalajelor fixe între tensiune și curent la stația tip PJUX-4 de etalonat contoare monofazate.

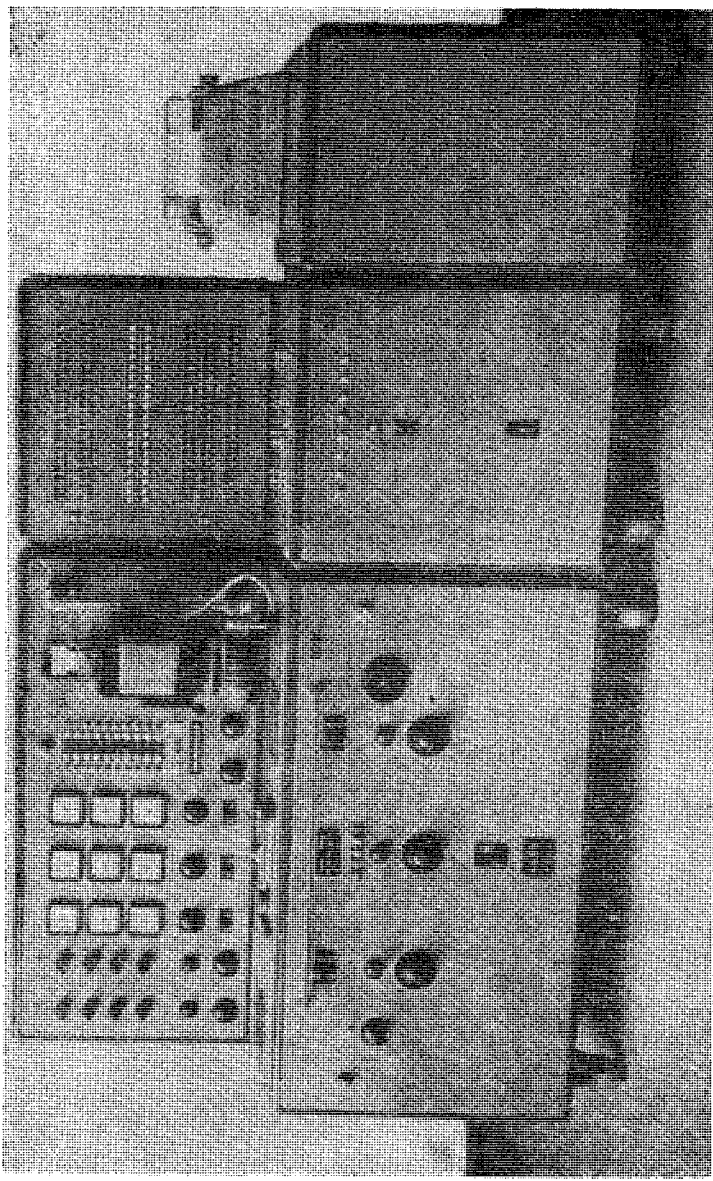


Fig. 4.34. Stația GDC-PJUY-50 pentru etalonarea și verificarea conțoarelor trifazate.

mat sau manual, fie prin metoda comparativă cu un contor etalon, fie printr-o metoda stroboscopică. Stația PJUY 50 permite verificarea automată cu citirea directă a erorii, a contoarelor montate succesiv pe locul de prindere al stației.

Cuplată cu un ansamblu programator-transcriptor sau Scriptomat, stația poate realiza un program de încercări pe un contor plasat pe stație. Programul și rezultatele încercărilor sunt transcrise automat pe o mașină de scris telecomandată.

În esență stația cuprinde :

- circuitele de alimentare ;
- circuitele de măsură.

Circuitele de măsură sunt astfel realizate încât să permită o lectură cît mai ușoară a rezultatelor măsurărilor, eroile contorului de încercat apărând pe cît posibil pe cadrul contorului etalon.

Fixarea valorii curentului și a tensiunii de alimentare a circuitelor contoarelor de încercat se face prin apăsarea unor butoane.

Defazajul dintre tensiune și curent se reglează prin acționarea asupra poziției rotorului față de statorul unui motor asincron. Prin apăsarea asupra unui buton se realizează automat un defazaj suplimentar de  $60^\circ$  față de valoarea precedentă.

Transformatoarele de măsură de tensiune și curent sunt astfel conectate între circuitele contoarelor de încercat și circuitele corespunzătoare ale contorului etalon, încât acesta rămîne în plaja sa de precizie indiferent de tipul contoarelor de încercat.

Drept contor etalon se utilizează fie un contor activ, fie unul reactiv. Aceste două contoare, ale căror discuri au un mare număr de dinți, sunt echipate cu cîte un dispozitiv cu celulă fotoelectrică și lampă cu descărcare pentru etalonare stroboscopică.

Stația PJUY 50 este prevăzută cu echipamentul necesar pentru numărarea automată a numărului de rotiri ale discului tuturor tipurilor de contoare.

Diferitele manevre pot fi comandate de la distanță printr-un dispozitiv de programare „Scriptomat”, care se cu-

plează la pupitru. În acest caz rezultatul măsurărilor este transcris automat de către o mașină de scris, sistem descris în continuare.

**Telescriptor automat tip scriptomat.** Telescriptorul automat fabricat de Compagnie des Compteurs—Franța, este destinat a comanda automat pupitru de alimentare și măsură PJUY 50, permitînd efectuarea, după un program pre-determinat, a încercărilor pe diverse tipuri de contoare de inducție monofazate sau trifazate și înscrierea condițiilor diferitelor încercări împreună cu rezultatele, fără nici o intervenție manuală.

Operatorul compune programul de lucru și apasă pe butonul pornit și toate operațiile : schimbarea curentului, defazajul, repartizarea sarcinii între faze etc. se efectuează automat, semnalizate prin lămpile de semnalizare.

O mașină de scris transcrie în rezumat condițiile încercărilor, apoi înscrise erorile în procente ale contorului de verificat.

O sonerie semnalizează încheierea programului de încercare, în timp ce instalația trece în starea de repaus.

Telecomanda nu împiedică cu nimic utilizarea mașinii pentru operațiile obișnuite de dactilografie.

Eroarea contorului de verificat se stabilește prin comparare cu controlul etalon. Aparatul este prevăzut pentru numărarea rotațiilor întregi ale contoarelor de verificat, deoarece discurile contoarelor în general nu sunt prevăzute cu dinți care să permită numărarea fracționată a rotațiilor și pentru că viteza contoarelor de calitate obișnuită nu este perfect uniformă în timpul unei rotații. Acest număr de rotații stabilite de operator și aplicate automat pentru fiecare punct din programul de încercări constituie perioada de măsură la sfîrșitul căruia se compară contorul de verificat cu contorul etalon.

Rotațiile contorului de verificat sunt numărate de un dispozitiv compus dintr-o lampă cu incandescență care luminează discul și o celulă fotoelectrică care primește lumina reflectată de muchia discului.

Variatiile curentului în celule fotoelectrice date de trecerea semnului sunt amplificate de un dispozitiv electronic ; impulsurile sunt însumate de un comutator rotativ telefonic pas cu pas.

Discul contorului etalon are periferia crestată cu 500 dinți echidistanțați care sănătări în timpul perioadei de măsurare de către o fotodiode cu germaniu, care excita un amplificator. Acest amplificator produce la trecerea fiecărui dintă cîte un impuls de amplitudine și formă neceșară pentru comanda tuburilor de numărare zecimală tip Dekatron. Aceste tuburi, în număr de patru, totalizează impulsurile indicînd unitățile, zecile, sutele și miile. Ultimul tub excita un releu la depășirea celui de al 10 000 impuls.

Diferitele măsurări se fac la timpuri constante. Spre exemplu, dacă într-un program de încercări 10 rotații ale contorului de verificat corespund pentru 10 A, atunci pentru 20 A corespund 20 rotații. Este necesar de a păstra constant raportul numărului de rotații față de intensitatea curentului și în acest caz cînd contorul de verificat este exact, contorul etalon va efectua 10 rotații, indiferent de sarcina aplicată.

În stația PJUY 50, transformatoarele etalon de curent cu raport variabil, permit de a adapta constanta aparentă a etalonului astfel încît pentru fiecare curent și pentru fiecare număr de rotații care-i corespund, contorul etalon emite exact 10 000 impulsuri, dacă contorul de verificat este exact. Numărul de impulsuri peste 10 000 reprezintă eroarea negativă a contorului, iar numărul de impulsuri sub 10 000 reprezintă eroarea pozitivă.

Pentru ca încercările la  $\cos \varphi = 0,5$  să nu dureze mai mult decât la  $\cos \varphi = 1$ , măsurarea este efectuată automat pentru un număr de rotații pe jumătate pentru contorul de verificat. În acest caz, un multiplicator electronic permite dublarea impulsurilor contorului etalon pentru a conduce la numărul de impulsuri 10 000.

#### *4.3.14. Stand automat pentru încercarea contoarelor cu calculator numeric—SIEMENS*

În ultimul timp s-au obținut mari progrese prin folosirea calculatorului electronic numeric la încercarea contoarelor. Introducerea unui calculator prezintă printre altele avantajul că pot fi încercate în același timp mai multe con-

toare prin metoda rapidă a comparării cu un etalon. Acest procedeu pentru standurile de încercare clasice, este adecvat practic numai pentru încercările singulare ale contoarelor electrice. Calculatorul permite reglarea simultană a programului încercării, calcularea obiectivă a erorilor contoarelor și valorificarea lor, precum și afișarea rezultatelor încercărilor.

În cele ce urmează este descrisă instalația automată pentru verificarea contoarelor realizată la firma Siemens, cu calculator tip 101.

**Descrierea instalației.** Se pot încerca în același timp 20 contoare mono sau trifazate cu curentul nominal de 5 A, 10 A sau 15 A (curent limită 60 A) după metoda comparativă. Este programată pentru următoarele probe :

- sensibilitate ;
- precizia la diferite sarcini ;
- verificarea mecanismului integrator.

Instalația este formată din următoarele părți :

- partea de alimentare și reglare ;
- calculatorul ;
- două mese cu dispozitive de explorare fotoelectrice
- două teleimprimate.

Atât partea de alimentare și reglare cît și calculatorul sunt executate în forma uzuială de dulapuri.

**Partea de alimentare și reglare.** Partea de alimentare și reglare conține transformatoarele de rețea, transformatoarele de măsură de tensiune și de curent, cîte un instrument de măsură pentru tensiune, curent și putere pe fiecare fază, precum și elementele pentru cuplarea și reglarea instalației. În afară de acestea sunt incluse un contor universal electronic de impulsuri, un cronometru și un integrator etalon pentru încercarea integratoarelor contoarelor.

Ca etalon, la probele de sensibilitate și erori se folosește un contor electronic EGZ. Acest contor nu are părți în mișcare. El are trei sisteme și se poate folosi pentru verificarea contoarelor mono și trifazate.

Contorul EGZ este plasat în secundarul transformatoarelor de măsură de precizie pentru curent și tensiune și este alimentat permanent, pentru toate încercările, cu aceleași valori ale tensiunii și currentului de 120 V și 5 A—50 Hz

(metoda încercirii la aceeași sarcină). Erourea contorului EGZ, pentru toate valorile nominale și  $\cos \varphi = 1$  este mai mică decât 0,1%. Rezultatul măsurării este afișat numeric; frecvența impulsurilor la ieșire este proporțională cu puterea activă măsurată.

Sunt folosite următoarele frecvențe ale impulsurilor la măsurarea valorilor nominale cu  $\cos \varphi = 1$ :

— la măsurările monofazate — 300 Hz;

— la măsurările trifazate — 900 Hz.

Nunțărul total de impulsuri emise în timpul măsurării este o măsură a energiei (1 impuls = 2 Ws).

Cu contorul universal electronic se măsoară frecvența impulsurilor emise de contorul EGZ.

Pentru încercarea mecanismului integrator sunt prevăzute cîte un numărator de precizie, pentru măsurări monofazate și trifazate, drept etalon. Transformatoarele de măsură de curent de precizie au pentru verificarea preciziei și integratorului, 16 prize de la 0,25 A la 60 A. Pentru probă de sensibilitate se folosesc în plus domeniile 0,025 A ; 0,05 A și 0,075 A. Alegera domeniului de curent se face prin apăsarea manuală pe o claviatură. Curentul ales se regleză automat cu ajutorul unor reglatoare acționate prin motoare. Pentru reglarea factorului de putere sunt folosite, în local decalatoarelor de fază obisnuite, transformatoare de fază montate în circuitul de tensiune, care permit o conectare directă de la  $\cos \varphi = 1$  la  $\cos \varphi = 0,5$ . Cele trei wattmetre de precizie se conectează în circuitul secundar al transformatoarelor de măsură. Peatru măsurarea timpului poate fi folosit contorul universal electronic.

**Calculatorul.** Instalația conține un calculator Siemens 101 echipat cu o unitate de afișaj numeric cu 9 poziții și un transformator de nivel pentru semnalele ce vin de la aparatelor de explorare fotoelectrice. Calculatorul este format din unitatea centrală, memoria de lucru (4 096 cuvinte), memoria microprogram (2 048 comenzi), memoria macroprogram (4 096 comenzi), o unitate de intrare și una de ieșire.

Memoria de lucru este construită cu miez magnetic (timpul unui ciclu cca 10  $\mu$ s). În ea se depozitează informațiile care intră și ies din instalație sau teleimprimatoare. Prin

microprogram este organizat calculatorul zecimal, astfel încit să poată calcula 14 poziții. Programul de încercare este înmagazinat în macroprogram.

Atât micro, cât și macroprogramul sunt executate astfel încit programul nu este sensibil la manevrarea greșită sau lipsa tensiunii. De aceea nu este necesară o instruire deosebită a personalului de serviciu. Schimbările de date între calculator și instalație (teleimprimator, contor EGZ, aparatul de explorare, indicatorul cifric și claviatura zecimală de pe mesele de încercare) are loc prin unitatea de intrare/ieșire.

Panoul de serviciu conține claviaturile necesare pentru alegerea diferitelor puncte ale programului de încercare.

Toate clapele sunt prevăzute cu lămpi de semnalizare pentru a putea cunoaște operația efectuată de instalație în orice moment.

Unitatea de afișaj numeric cu 9 poziții este comandată de calculator prin unitatea de intrare/ieșire. Ea servește în special pentru controlul unor date înainte de transmiterea în memoria de lucru, cum sunt numărul de contoare, indexul inițial și final al mecanismului integrator al contorului etc. În afară de aceasta, mai sunt indicate: a) la controlul reglării contoarelor, locul contorului care nu este încă corect ajustat și b) la verificarea preciziei, frecvența impulsurilor contorului EGZ, care este indicată pînă cînd este atinsă valoarea stabilită cu o precizie de  $\pm 3\%$ , după atingerea căruia este admisă măsurarea de către calculator.

**Explorare — mese de încercare.** La proba de sensibilitate și verificarea preciziei, marcajele de pe discul contoarelor de încercat sunt explorate fotoelectric. Se presupune că pentru o verificare corectă marcajul de pe disc declanșează singur un impuls. Impulsuri false, care pot fi declanșate de exemplu de impuritățile discului, conduc la rezultate false ale încercării și trebuie pe cît posibil să fie excluse. Pentru încercarea automată a contoarelor au fost prevăzute noi aparate de explorare, cu posibilități de reglare rapidă și fină pe orizontală și verticală. Poziția corectă poate fi stabilită cu ajutorul unui instrument de măsurat inclus pentru domeniul de măsură și cu o lampă indicatoare de impulsuri.

$2 \times 5$  aparate de explorare mobile sunt așezate pe fiecare din cele două cadre, care au fost astfel reglate, încit etajerele cu contoarele de verificat să poată fi explorate pe ambele părți. Mesele de încercare conțin și claviaturile care permit controlorului să noteze diverse numere direct de pe contoare, ca numărul contorului și indicațiile mecanismului integrator pentru a fi introduse rapid și comod în calculator. Într-o din mese este inclusă alimentarea stabilizată a tuturor aparatelor de explorare.

**Teleimprimatoarele.** Pentru întocmirea buletinelor de încercare sau verificare pentru 10 contoare se întrebuințează două teleimprimatoare cu perforator și culegător. În perforator pot fi înmagazinate în 5 canale de cartele perforate informațiile recepționate de instalație. Dacă este necesar, buletinul de încercare cu aceste cartele perforate poate fi multiplicat ulterior prin culegătorul anexă. Teleimprimatoarele sunt prevăzute cu benzi în două culori, cu dispozitiv de supraveghere a hârtiei și dispozitiv pentru formulare.

**Mersul încercărilor.** Înainte de începerea încercărilor, se introduc în memoria de lucru a calculatorului următoarele date variabile, printr-unul din cele două teleimprimatoare de mînă sau prin cartele perforate pregătite dinainte :

- seria ;
- tipul contorului ;
- curentul nominal și curentul limită al contorului ;
- constanta contorului ;
- viteza discului contorului de verificat dorită pentru probele de erori în funcție de punctul de verificat din curba de sarcină.

Pentru o nouă serie de contoare de același tip, datele rămîn valabile printr-o simplă apăsare pe un anumit buton. La schimbarea tipului contorului este necesar ca mai întîi să se modifice datele introduse în memoria de lucru.

Punctele de încercare programate pot fi alese în orice ordine. În general mersul încercării este următorul :

- control prin impulsuri la  $50\% I_n$  (prin aceasta se stabilește dacă contoarele sunt bine reglate și dacă aparatelor de explorare dau impulsuri corecte) ;
- verificarea sensibilității ( $0,5\% I_n$ ) ;
- verificarea preciziei la sarcinile prevăzute, de la  $5\% I_n$  pînă la  $I_{ltm}$ .

La controlul cu impulsuri, precum și la verificarea sensibilității sunt întrebuițate impulsurile date de contorul EGZ și de aparatele de explorare comandate de marcajele de pe discuri. Aceste impulsuri sunt despărțite pentru fiecare contor în memoria de lucru, sunt înmagazinate și comparate cu valoarea prescrisă aflată din datele contorului introduse în calculator. Prin evaluarea diferenței, calculatorul stabilește dacă contoarele sunt ajustate corect. După cum s-a mai amintit, numerele contoarelor care nu sunt încă corect reglate, pot fi citite pe indicatorul optic din dulapul calculatorului. Aceste indicații pot fi stinse prin acționarea clapelor de pe mesele cu clape.

Erorile fiecărui contor sunt calculate de calculator după formula

$$\epsilon\% = \frac{S-I}{I} 100\%,$$

în care :  $I$  este valoarea reală a impulsurilor date de contorul EGZ în timpul efectuării celor  $n+1$  rotații ale aparatelor de explorare ( $n$  = numărul de rotații stabilite pentru discul contorului de încercat), iar  $S$  este valoarea nominală de referință.

La verificarea mecanismului integrator este ales numărul de impulsuri corespunzătoare puterii dorite (exemplu 2 kWh). În continuare sunt introduse în calculator valoarea de referință a energiei (spre exemplu 200 impulsuri) și starea (numărul) inițială a mecanismului integrator prin clapele de pe mese. După terminarea verificării se deconectează alimentarea cu energie a stativului de conțoare. Se introduce manual în calculator starea finală a mecanismului integrator. Erorile probei se calculează cu formula

$$\epsilon\% = \frac{I-S}{S} 100\%.$$

Rezultatele încercărilor sunt imprimate automat de către teleimprimator. Valorile erorilor care se află în afara limitelor prescrise apar imprimate cu roșu.

**Supravegherea și exploatarea instalației.** Pentru deservirea instalației este necesară numai o persoană care conduce încercările de precizie și încercarea mecanismului integrator.

Montarea și demontarea stativelor cu contoare, încercarea de mers în gol și de sensibilitate, precum și montarea sigiliilor sunt executate de o altă persoană.

În cursul unei zile de lucru de 8 ore, pot fi încercate cu acest personal 8 serii de contoare cu 4 fire și 10 serii de contoare cu 2 fire.

Corectitudinea măsurilor este supravegheată prin următoarele măsuri :

— calculatorul lucrează numai atunci cînd frecvența impulsurilor date de contorul EGZ nu depășește cu  $\pm 3\%$  frecvența de referință ; în acest fel este garantată reglarea corectă a punctului de încercare în sarcină ;

— folosirea a două etaloane și chiar a două contoare EGZ pentru încercarea preciziei ;

— încercări de control lunare cu contoare de precizie.

#### 4.3.15. Stația „CALIGYR 6001“ pentru etalonarea prin impulsuri a contoarelor trifazate

Stația Caligyr 6001 (fig. 4.35) realizată de firma Landis și Gyr corespunde exigențelor actuale pentru o stație de etalonare semiautomată.

Stația este dotată cu următoarele :

— un contor etalon emițător de impulsuri de înaltă precizie tip TVQ 3.3 pentru energie activă, cu două capete de lectură, unul emițînd 1 500 și al doilea un impuls la o rotație ;

— posibilitatea de conectare a contorului etalon cu un defazaj de  $90^\circ$  pentru etalonarea contoarelor de energie reactivă în conectare artificială ;

— un dispozitiv de defazaj electronic pentru verificarea conținutelor de energie reactivă în conectare normală.

Metodele de etalonare sunt următoarele :

— etalonarea individuală prin comparare de impulsuri și indicarea valorii măsurate printr-un dispozitiv electronic ;

— etalonarea în serie prin comparare de impulsuri și comandă directă prin contorul etalon ;

— etalonarea serie prin contor pilot.

Stația are posibilitatea de a comuta curentul în 18 trepte de la 0,1 A la 100 A și tensiunea în două trepte  $3 \times 57,7/100$  V

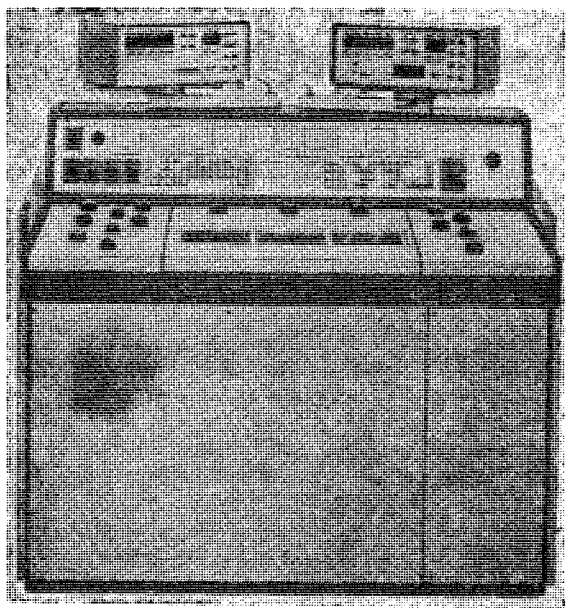


Fig. 4.35. Stația Landis & Gyr tip Caligyr 6001 pentru verificarea contoarelor trifazate.

și  $3 \times 220$  V/380 V. Fiecare treaptă de curent se poate regla individual, pe fiecare fază de la 0 la 120%. Fiecare treaptă de tensiune se poate regla de ascunca pe fiecare fază  $\pm 15\%$  în jurul valorii nominale.

Stația este prevăzută cu un decalator de fază de  $3 \times 600$  VA comandat de un servomotor.

#### 4.3.16. Stația de etalonat contoare tip PRECIGYR fabricată de firma LANDIS și GYR

Stația tip Precigyr este destinată etalonării individuale a contoarelor de precizie având o eroare generală de  $\pm 0,1\%$  (fig. 4.36).

Pentru aceasta, metoda timp-putere este cea mai rațională. Puterea este reglată cu ajutorul wattmetrelor de precizie și menținută constantă prin intermediul unui stabilizator.

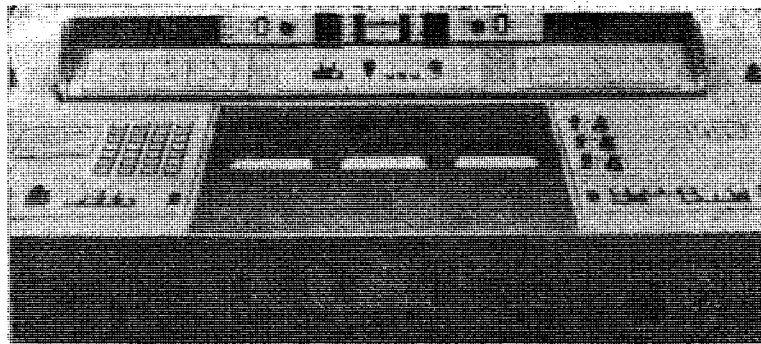


Fig. 4.36. Stația Landis & Gyr — tip Precigyr.

Un dispozitiv electronic adițional numără rotațiile contorului de verificat și baza de timp încorporată în stație (oscilator cu quart) indică timpul efectiv.

Pentru etalonarea seriei, cu ajutorul unui contor pilot etalonat în prealabil, se întrebunează metoda comparației de rotații. Închiderea și deschiderea contactoarelor de alimentare a circuitelor poate fi comandată manual sau automat, prin intermediul dispozitivelor de numărare.

Constructiv, stația „Precigyr” este concepută după principiul elementelor bloc, se compune din sertare și module. Circuitele de curent și tensiune sunt plasate fiecare în cîte un sertar pe șine glisante. Modulele și sertarele sunt grupate în elemente funcționale, legate între ele cu ajutorul prizelor multipolare. Ele pot fi extrase și sunt ușor accesibile pentru control și revizie.

**Corectarea erorii transformatoarelor de curent la stația „Precigyr”.** Pentru corectarea erorilor de transformare și de unghi ale transformatoarelor de curent utilizate în stația Precigyr se folosește schema ilustrată în figura 4.37. Transformatoarele de corecție 2 și 3 sunt conectate în serie cu bobina de curent 1 a wattmetrului. Transformatorul 2 este conectat în primar pe priza corespunzătoare apariției curentului secundar  $\Delta I_2$  pentru corectarea erorii de transformare. Curentul  $\Delta I_3$ , defazat la  $90^\circ$  față de  $I_1$  prin condensatorul 5, poate fi reglat cu ajutorul rezistenței variabile 4. Curentul  $I_4$ , care străbate bobina 1 a wattmetrului, corectat în valoare absolută și fază, este suma curentilor  $I_1$ ,  $\Delta I_2$  și  $\Delta I_3$ .

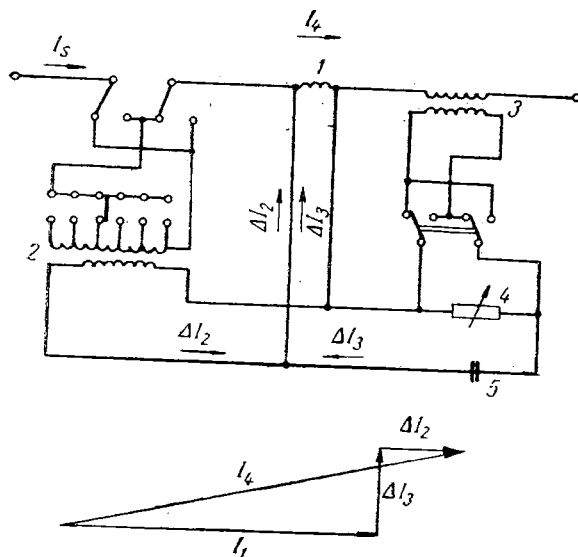


Fig. 4.37. Schema de principiu pentru corectarea erorilor transformatoarelor de curent.

**Contor etalon emițător de impulsuri tip TVQ 3.3.** Acest contor, fabricat de firma Landis și Gyr cu trei sisteme motoare de înaltă precizie, este construit pentru a fi folosit în metoda de etalonare prin compararea impulsurilor. Fiecare sistem motor acționează cîte un disc. Dispunerea lor perfect simetrică contribuie la precizia contorului. La măsurările cu sarcini neechilibrate, bobinele de curent declanșate sunt preîncălzite de o tensiune continuă de 24 V pentru a reduce la minim erorile datorate încălzirii.

Un disc suplimentar montat pe rotor împreună cu două capete de lectură fotoelectrice debitează :

- 1 500 impulsuri pe rotații, cu un sistem optic special, pentru etalonarea individuală ;
- 1 impuls pe rotație, pentru încercările de durată și controlul contorului cu wattmetrele încorporate în stație.

Eroarea contorului tip TVQ 3.3 este cuprinsă între limitele  $\pm 0,15\%$ .

**Contoare etalon de precizie.** Contoarele etalon fabricate de Landis și Gyr se execută numai cu două sau trei sisteme în scopul de a se obține un cuplu motor suficient pentru a asigura o măsurare precisă la sarcină mică. De aceea, contoarele etalon folosite pentru rețele monofazate au două bobine de tensiune conectate în paralel și două bobine de curent în serie. Contoarele etalon de precizie sunt prevăzute cu două dispozitive de compensare a temperaturii. Primul acționează asupra fluxului de frânare. Al doilea acționează asupra fluxului motor de tensiune și este constituit dintr-o înfășurare în scurtcircuit montată pe contrapolul circuitului magnetic de tensiune și racordată la o punte de aliaj compensator. Acest procedeu permite de a corecta erarea de unghi între fluxul motor de tensiune și de curent și de a obține un bun coeficient de temperatură.

Datorită magnetilor de frânare cu o mare forță coercivă, contorul etalon de precizie ridicată este practic insensibil influențelor externe.

Echipajul mobil, din aliaj de aluminiu, este foarte ușor ; discurile au o grosime de 0,5 mm, solicitând foarte puțin palierul inferior.

Contoarele etalon de precizie de energie activă se execută pentru o singură tensiune și una sau două valori de curent.

**Indicator numeric al erorii contoarelor tip TVK 1.** Indicatorul numeric tip TVK1 fabricat de firma Landis și Gyr permite o etalonare individuală rapidă și precisă. Eroarea este calculată automat după fiecare măsurare și afișată sub formă numerică. Acest aparat tranzistorizat poate fi utilizat cu toate tipurile de stații de etalonare. Pentru stațiile care lucrează după metoda comparației, este necesar un centor cmițator de impulsuri.

Indicatorul TVK1 prezintă următoarele proprietăți :

- calculul automat al erorii ;
- indicarea mărimii și sensului erorii imediat la sfîrșitul măsurării ;
- două rînduri de preselectări, independente unul de altul, permite pregătirea aparatului pentru măsurarea diverselor puncte ale curbei de încărcare a contoarelor ;

— un etaj multiplicator de impulsuri permite efectuarea măsurărilor la  $\cos \varphi = 1$  și  $\cos \varphi = 0,5$  fără schimbarea poziției preselectoarelor;

— baza de timp (oscilator cu quart) permite etalcnarea după metoda timp-putere.

**Transformatorul de sarcină tip TVT3.** Transformatoarele de sarcină sunt folosite de întreprinderile de distribuție a energiei electrice, care sunt adesea obligate de a controla pe teren exactitatea măsurărilor.

Un astfel de control nu este posibil decât cu ajutorul unui aparat capabil de a furniza o sarcină determinată, care să se aplică controlului. Transformatoarele de sarcină permit măsurarea corectitudinii măsurărilor de energie activă și reactivă.

Transformatorul de sarcină împreună cu un contor etalon formează împreună o stație de control și de încercare ușor de transportat. Racordarea transformatorului de sarcină cu contorul etalon și contorul de verificare la rețea se execută conform schemei anexate transformatorului.

Transformatorul tip TTVT3 (fig. 4.38) permite verificarea măsurărilor de energie activă cu un singur sistem motor (monofazate). Pentru controalele cu două sau trei elemente motoare, sistemele sunt controlate unul după altul.

Transformatorul de sarcină TTVT3 se alimentează la rețeaua trifazată cu trei sau patru fire, conectându-se pe valoarea tensiunii rețelei cu ajutorul unui comutator 4. Tensiunea rețelei poate varia cu  $\pm 10\%$  față de valoarea normală, fără a influența măsurarea. Corecta conectare a fazelor este indicată de un indicator al succesiunilor fazelor 12. Cu ajutorul unui comutator 10 se alege valoarea curentului normal. Încărcarea parțială dorită se reglează cu ajutorul unui selector 6. Un comutator 3 permite punerea curentului de etalcnare în fază cu tensiunea ( $\cos \varphi = 1$ ) sau de a-l defaza cu  $60^\circ$  în urmă ( $\cos \varphi = 0,5$ ). Dacă transformatorul de sarcină este racordat la o rețea monofazată, măsurările nu pot fi efectuate decât pentru  $\cos \varphi = 1$ .

Transformatorul de sarcină trifazat tip TTVT2.1 dă un curent de etalcnare ce poate fi reglat în mod continuu între 0,05 A și 5 A, cu ajutorul a trei potențiometre care permit reglajul curentului independent pe fiecare fază. Pe fiecare fază se află cîte un ampermetru cu game de 1 A și 5 A.

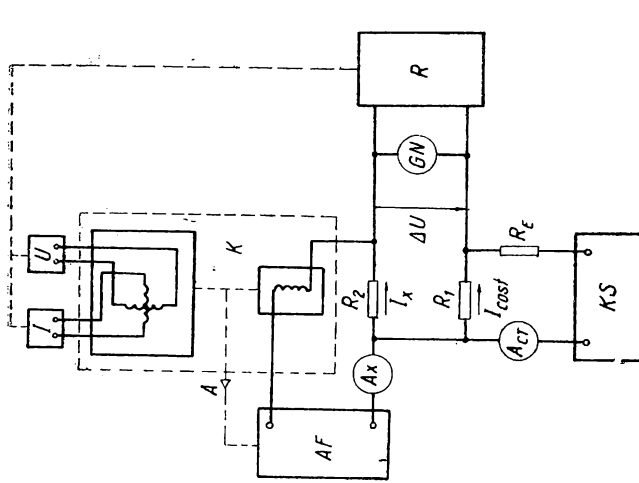


Fig. 4.38. Schema electrică a transformatorului de sarcină Landis § Gyr tip

VII.3: 1 — schema de legare la retea ; 2 — comutator pentru schimbarea legăturilor înfășurării primare la diferite faze ; 3 — comutator pentru modificarea cos φ ; 4 — comutator pentru reglarea tensiunii aplicată înfășurării primare a transformatorului ; 5 — transformator de tensiune ; 6 — comutator pentru reglarea tensiunii secundare a transformatorului ; 7 — interrumpor tip fâșă de securitate ; 8 — rezistență de sarcină ; 9 — transformator de curent ; 10 — comutator de reglare a curentului nominal din secundarul transformatorului de curent ; II — borne de ieșire ; 12 — indicator de succese/asteptare a fazelor.

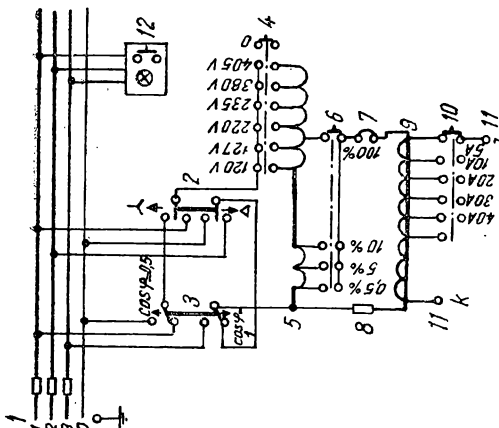


Fig. 4.38. Schema electrică a transformatorului de sarcină Landis § Gyr tip

#### 4.3.17. Comparatorul GOERZ cu autocompensare pentru verificarea contoarelor

În fig. 4.39 este arătat principiul de funcționare al comparatoarelor cu autocompensare.

Reglarea automată a puterii de alimentare a contoarelor de verificat se face cu ajutorul regulatorului  $R$  comandat în curent continuu. În circuitul de ieșire al comparatorului se află rezistență de precizie  $R_2$  parcursă de curentul continuu de compensație  $I_x$  și care produce o cădere de tensiune  $I_x R_2$ . Curentul  $I_{ct}$ , furnizat de sursa  $KS$  de curent constant, produce în rezistență de precizie  $R_1$  o cădere de tensiune  $I_{ct} R_1$ . Diferența de tensiune  $\Delta U = I_x \cdot R_2 - I_{ct} \cdot R_1$  indică abaterea puterii în curent alternativ de la valoarea prescrisă. Valoarea prescrisă poate fi modificată prin reglarea rezistenței  $R_1$ . Diferența de tensiune  $\Delta U$  se măsoară cu un galvanometru, iar puterea de intrare se reglează astfel încât galvanometrul să indice zero.

Avantajul acestei instalații de măsurare constă în faptul că în locul citirii unui wattmetru se face reglarea unui galvanometru la zero. Avantajul acestei metode este mai evident la măsurarea puterii trifazate, unde în locul citirii a două sau trei aparete se poate utiliza un singur galvanometru.

Precizia metodei depinde de stabilitatea sursei de curent constant, de precizia rezistențelor și de stabilitatea constantei de transfer. Stabilitatea sursei de curent poate fi realizată mai bună decât 0,01%. Rezistențele de precizie se pot confecționa cu o stabilitate și o precizie suficientă. Stabilitatea constantei de transfer se verifică și se reglează în permanentă.

În fig. 4.40 se indică schema de principiu a unui regulator de putere pentru etalonarea contoarelor trifazate. Instalația se compune din trei comparatoare cu transformatoarele de curent și rezistențele respective, sursa de curent constant, iar în locul galvanometrului de zero se poate lega o instalație de reglare a puterii, care influențează puterea măsurată astfel încât diferența de tensiune  $\Delta U$  să fie practic nulă. Datorită utilizării instalației de reglare a puterii, etalonarea contoarelor se reduce la o simplă măsurare de timp, puterea fiind menținută constantă cu o precizie mai mare de 0,05%.

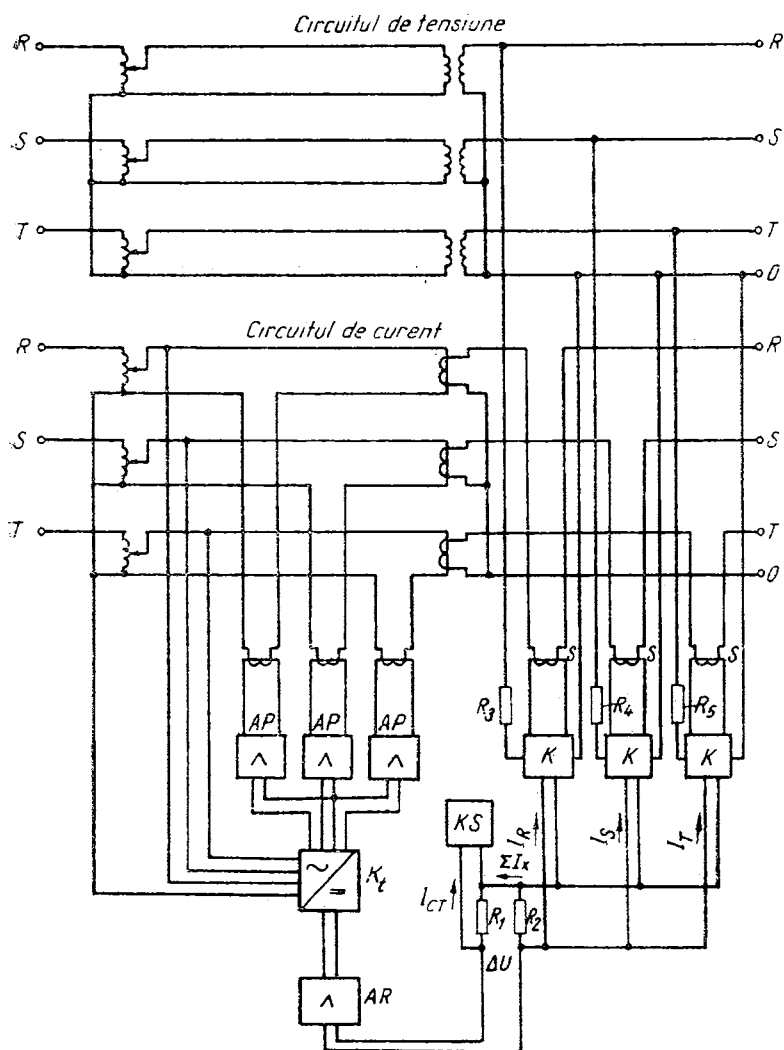


Fig. 4.40. Schema de principiu a regulatorului de putere pentru etalonarea contoarelor trifazate tip GOERZ:

AP — amplificator de putere ; AR — amplificator de reglare ;  $K_t$  — convertor ;  $K$  — sursă de curent continuu stabilizată ;  $K$  — comparator cu auto-compensare ;  $S$  — transformator de curent de precizie ;  $R_1 \dots R_5$  — rezistențe de precizie.

#### *4.3.18. Stațiile de verificat contoare fabricate de firma FERRANTI PACKARD*

Firma Ferranti Packard-Canada fabrică de asemenea stații de verificat contoare, bazate pe utilizarea unui contor etalon emițător de impulsuri. Discul contorului etalon are marginea crestată în 500 părți egale, care este explorată fotoelectric producind 500 de impulsuri la o rotație a discului. Aceste impulsuri sunt introduse într-un dispozitiv electronic care le amplifică și le convertește astfel încât, atât partea crescătoare cât și partea căzătoare a fiecărui impuls, să fie convertite în cîte un impuls unidirecțional. În felul acesta se emit cîte 1 000 impulsuri la fiecare rotație a discului. Funcționarea stației este astfel aranjată ca numărătoarea impulsurilor să se facă în momentul în care atât contorul etalon, cât și contorul de verificat au atins o viteză stabilă. De asemenea, numărătoarea se sfîrșește în timp ce contoarele încă funcționează, fiind eliminate astfel erorile datorită inerției la pornire și oprire.

Discul contorului de verificat este iluminat printr-o sursă plasată deasupra contorului și focalizată pe găurile de frânare la mersul în gol din disc. Sub contor se află o celulă fotoelectrică care captează lumina. La fiecare trecere a găurilor prin dreptul fasciculului se emite cîte un impuls.

O rotație a discului contorului de încercare produce trei impulsuri datorită celor două găuri de frânare diametral opuse. Primul impuls comandă începerea numărării impulsurilor emise de contorul etalon, al doilea este ignorat, iar al treilea impuls îintrerupe numărarea.

Sistemul de afișare este compus din patru cifre respectiv sute, zeci, unități și zecimi de unități. La începutul numărării se afișează numărul 200,0 corespunzător a 2 000 impulsuri. În timpul măsurării, se scade numărul de impulsuri emise de contorul etalon din numărul 2 000. Dacă contorul de verificat are eroarea zero, atunci se vor emite 1 000 impulsuri și sistemul de afișare va indica numărul  $2\ 000 - 1\ 000 = 100,0\%$ . Dacă contorul de încercat are o eroare și se înregistrează spre exemplu 998 impulsuri, atunci se va afișa numărul  $2\ 000 - 998 = 100,2\%$ . Dacă contorul are o eroare de semn con-

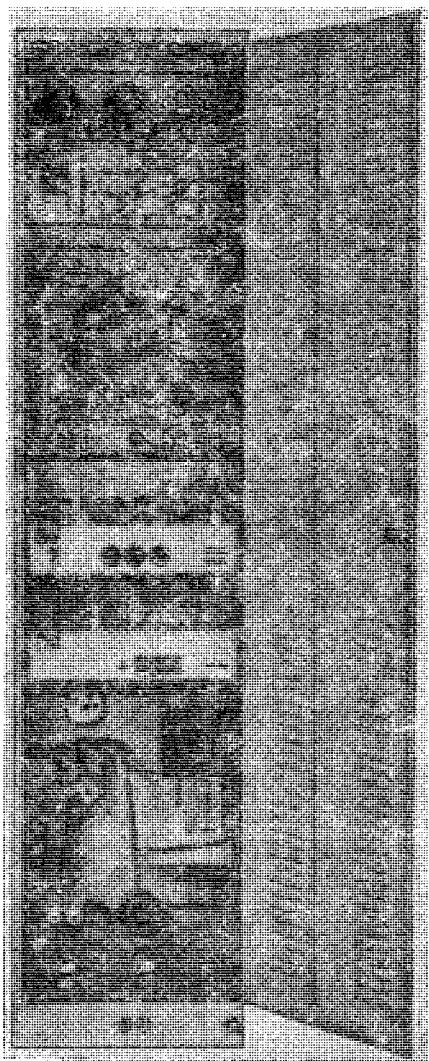
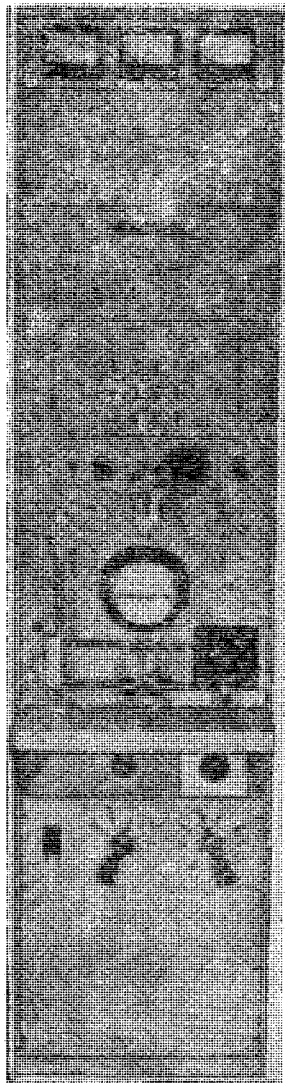


Fig. 4.41. Stația de etalonat și verificat contoare Ferranti-Packard.

trar și se înregistrează spre exemplu 1 003 impulsuri, atunci sistemul de afișare va indica  $2\ 000 - 1\ 003 = 0,99,7\%$ .

În fig. 4.41 este prezentată fotografia stației realizată de firma Ferranti Packard.

#### 4.3.19. Instalație DUNCAN pentru etalonarea contoarelor prin calculatoare

Pentru a fi în pas cu cererile industriei privind conțoare de energie electrică etalonate cu mai multă precizie, societatea Duncan Electric Company din Indiana — S.U.A. a realizat un sistem de etalonare automată a conțoarelor monofazate. Construcția modulară și programarea prin calculator cu memorizare asigură îndeplinirea nevoilor în continuă modificare a beneficiarilor.

Se utilizează două stelaje de prindere a conțoarelor, fiecare cu cîte 16 locuri (fig. 4.42). Operatorul scoate conțoarele etalonate de pe un stelaj și le înlocuiește cu conțoare pre-etalonate, în timp ce conțoarele de pe celălalt stelaj sînt încer-

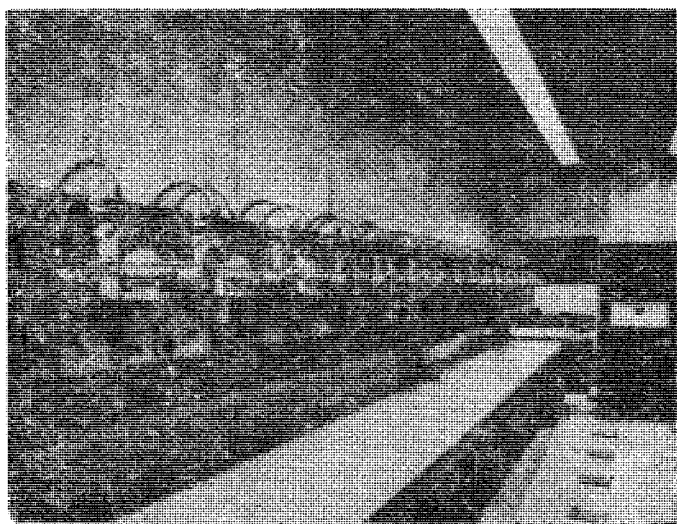


Fig. 4.42. Panoul de prindere a conțoarelor la stația Duncan.

cate și etalonate. Fiecare stelaj are sursa sa de alimentare. Tensiunea și unghiul de fază sunt comandate prin circuite detectoare de erori, iar curentul este sub comanda calculatorului. Toate cele trei mărimi sunt reglate cu ajutorul unor autotransformatoare variabile cu comandă pas cu pas acționate cu cîte un servomotor. Calculatorul poate să selecționeze tensiunea la valoarea nominală  $U_n$  sau  $0,1 U_n$ , precum și factorul de putere 1 sau 0,5 inductiv. Gama curenților este selecționată de calculator pe baza unui cod cu patru linii, făcînd posibile 16 valori distincte.

Fiecare loc de etalonare are o linie de intrare la calculator cu impulsuri de măsurare. O sursă luminoasă și o fotorezistență sunt utilizate pentru depistarea trecerii marcajului. Un circuit în serie semnalizează la calculator faptul că fâlcile de prindere sunt închise la toate pozițiile de pe stelaj. Fiecare stație are șase circuite care comandă două motoare pas cu pas. Trei circuite comandă motorul de reglare la sarcină plină și trei circuite comandă motorul de reglare la sarcină mică. Sunt necesare trei circuite pentru comanda *înainte*, *înapoi* și *stop*. Fiecare stație are cît o linie de intrare la calculator, precum și liniile de acceptare și de respingere a contoarelor de la calculator care aprind semnalizările verzi sau roșii de la locurile contoarelor. Lumina verde activează și circuitul de deblocare al fâlcilor de prindere.

Contorul etalon este un contor electronic de tipul celor utilizate la etalonarea contoarelor rotative la precizii de  $\pm 0,05\%$ .

O instalație intermedieră cu 4 000 date de comandă (fig. 4.43) manipulează transferul datelor între stelaje și calculator și între panoul de comandă al operatorului și calculator. Instalația intermedieră conține și un detector de proastă funcționare, care semnalizează pe panoul de comandă al operatorului (fig. 4.44), în caz că se defectează calculatorul.

Sistemul este comandat de un calculator numeric (fig. 4.45) cu 160 date de comandă. Acest calculator este programat a efectua toate încercările la majoritatea tipurilor de contoare monofazate ale firinci Duncan.

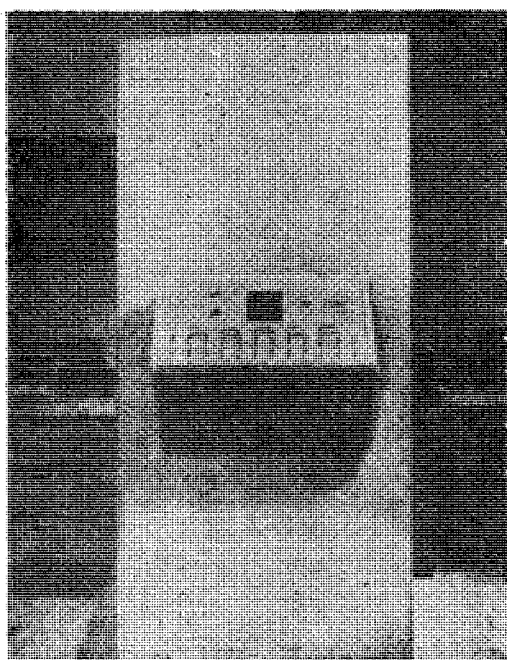


Fig. 4.43. Instalație de transfer a datelor obținute la verificare.

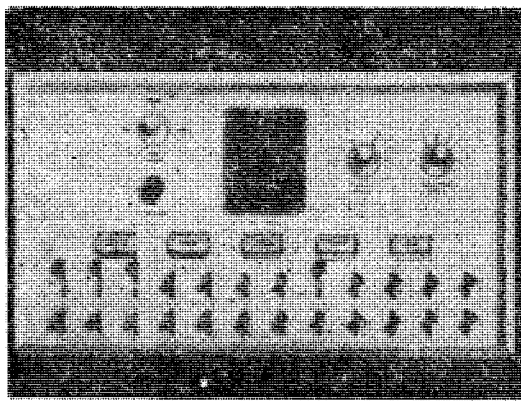


Fig. 4.44. Instalație de semnalizare a defectării calculatorului.

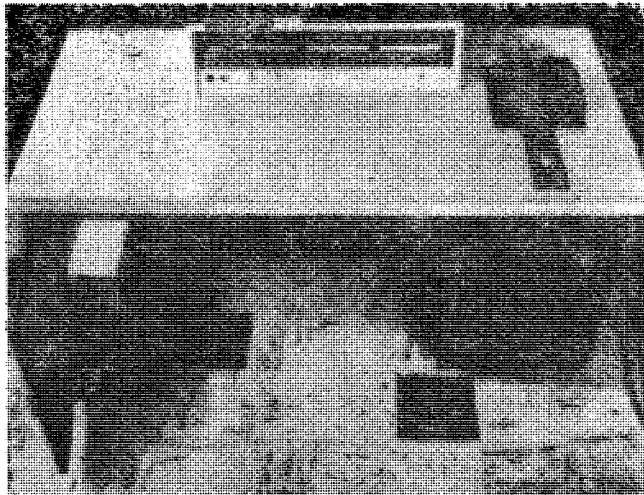


Fig. 4.45. Calculatorul numeric al instalației de verificare.

**Funcționarea.** Toate încercările se efectuează în timp ce discul contorului se învîrtește continuu ; ajustările la plină sarcină și sarcină mică se fac fără intervenția operatorului. Calculatorul ține cont de interacțiunea celor două ajustări. În timpul efectuării încercărilor, punctul de încercare (sarcina) este controlat pentru a se asigura că nu se produce o variație mare. Deși ajustările corespunzătoare factorului de putere diferit de unitate nu se fac pe acest sistem, înregistrarea corectă a conțoarelor la sarcini cu factor de putere inductiv este asigurată prin încercări în funcționare, urmărindu-se efectuarea respectivului reglaj. La sfârșitul unei secvențe de încercări, calculatorul examinează datele fiecărui contor și dacă se încadrează în limitele admise indică aceasta. Ca un ajutor, datele pentru conțoarele respinse și pentru cazurile de deranjamente sunt comunicate pe o mașină de scris la ieșire (fig. 4.46).

Calculatorul ordonază operațiile, comandînd instalației intermediare reglările necesare de cuplare, pe care instalația intermediară le memorizează și le execută la momentul potrivit. Aceste reglări sunt transmise la circuitele releeelor stelajelor de etalonare, astfel încît să se realizeze regimul dorit.



Fig. 4.46. Sistemul de înregistrare a rezultatelor verificărilor.

Un circuit fotoelectric generează un impuls de tensiune pe un circuit separat de la fiecare contor la instalația intermediară, ori de câte ori marcajul discului respectivului contor rupe fasciculul de lumină. Instalația intermediară memorează impulsurile și le comunică calculatorului.

La începutul unei etape de încercare, calculatorul explorează panoul de comandă al operatorului pentru a stabili dacă următoarea etapă este posibilă. Dacă etapa următoare nu este posibilă, ea va fi omisă. De exemplu : înainte de a continua cu o nouă etapă, calculatorul verifică să vadă dacă fâlcile de prindere sunt închise refuzând să continue dacă ele nu sunt închise și mesajul transmis prin mașina de scris apare sub forma „fâlcii deschise”. Calculatorul nu continuă încercările pînă cînd operatorul nu apasă pe un anumit buton semnalizînd „încearcă din nou”.

Calculatorul determină dacă se poate executa o nouă etapă de încercări și comandă noul regim. La comanda calculatorului se efectuează reglările grosiere și fine ale sarcinii pînă se stabilește sarcina corespunzătoare. Apoi, calculatorul începe să exploreze toate intrările impulsurilor contoarelor.

Calculatorul păstrează calculele de la contorul etalon separat pentru fiecare contor de verificat. Aceste calcule sunt memorate pentru toată încercarea și sunt utilizate la calcululajustărilor și pentru determinarea contoarelor ce trebuie respinse ca necorespunzătoare.

După fiecare încercare, numărările sunt codificate și pot să fie perforate într-un registrator permanent sau pe bandă de hîrtie.

După ce s-au terminat încercările la plină sarcină și sarcină mică, calculatorul calculează cantitatea necesară de ajustare, inclusiv o toleranță pentru interacțiunea ajustărilor. După executarea ajustărilor se trece la o nouă etapă de încercări, iar hotărîrea „admis”, „respins” sau „menținut pentru o nouă încercare” se bazează pe datele pe care le memorează calculatorul.

Fiecare etapă de încercare se execută pe rînd și după terminarea încercărilor, calculatorul cuplează cu celălalt stelaj, pe care între timp l-a pregătit operatorul.

#### 4.3.20. Contoare etalon electronice

Contoarele etalon electronice monofazate și trifazate permit etalonarea și verificarea contoarelor de energie activă într-un mod comod și foarte precis.

Utilizarea lor evită folosirea simultană a unei surse stabilizate, a unui aparat de măsurat și a unui cronometru. Măsurarea constă în simpla comparare a energiei măsurate de contorul de verificat și energia afișată de contorul etalon.

Contoarele etalon electronice prezintă următoarele particularități :

- mare precizie de măsurare — clasă 0,1 ;
- insensibilitate la șocuri și vibrații, deoarece elementele de măsură constituite din circuite electrice și electronice nu conțin piese mobile ;

- foarte bună comportare la factorii externi: temperatură, frecvență, poziție, cîmp magnetic etc.;
- punere în funcțiune foarte rapidă;
- performanțe bune în prezența armonicilor de tensiune și curent;
- precizia de măsurare în rețelele trifazate este independentă de dezechilibrul sarcinii;
- consum foarte scăzut al circuitelor de intrare;
- nu există riscul mersului în gol în absența curentului;
- funcționare sigură în condiții de mediu severe, datorită utilizării tranzistorilor cu siliciu și a amplificatoarelor operaționale cu structură integrată;
- afișarea luminoasă a energiei măsurate;
- numeroase posibilități de exploatare a impulsurilor de ieșire cu ajutorul dispozitivelor auxiliare: numărător de rotații cu dispozitiv de lectură; numărător de impulsuri; afișarea directă a erorii; tipărire erorii etc.

În figura 4.47 este prezentat contorul etalon electronic E31YE realizat de firma Schlumberger din Paris. În fig. 4.48 este prezentat același contor integrat într-un pupitru de etalonare.

Funcționarea unui element monofazat al acestor contoare se bazează pe principiul unei duble modulări: de frecvență proporțională cu tensiunea și de amplitudine proporțională cu curentul. La ieșirea din elementele de măsură ale contorului sunt emise impulsuri de frecvență proporțională cu puterea măsurată.

Contorul trifazat este constituit din trei elemente monofazate care emit impulsuri pe un totalizator static care le adună. Impulsurile emise de totalizator sunt exploataate sub două forme distințe:

- printr-un afișaj de energie pe unul sau mai multe dispozitive integratoare;
- printr-o emisie de impulsuri a căror frecvență este proporțională cu puterea. Ieșirea din elementele de măsură este izolată galvanic și permite, cu numeroase variante, racordarea a diverselor receptoare electronice sau electro-mecanice.

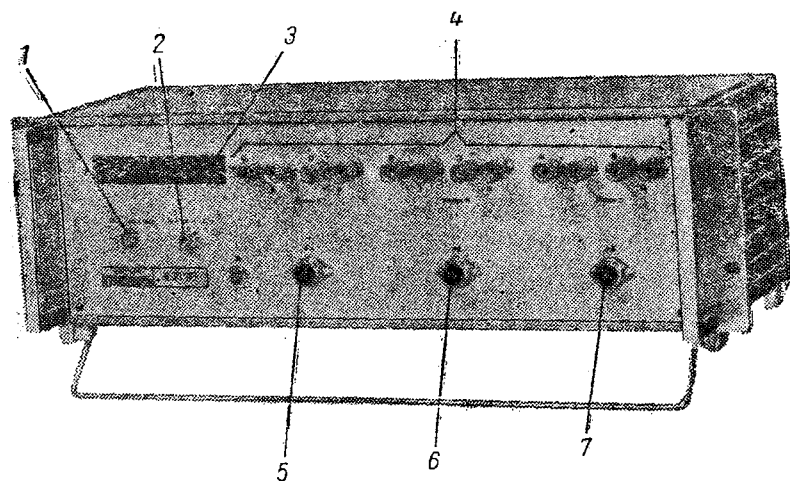


Fig. 4.47. Contorul electronic etalon Schlumberger tip E31YE :

1 — comanda inceputului și sfîrșitului măsurării ; 2 — punerea la zero a afișajului ; 3 — afișajul luminos ; 4 — bornele de tensiune și curent (fazele 1, 2 și 3) ; 5 — ieșire impulsuri (fază 1) ; 6 — ieșire impulsuri (fază 2) ; 7 — ieșire impulsuri (faza 3).

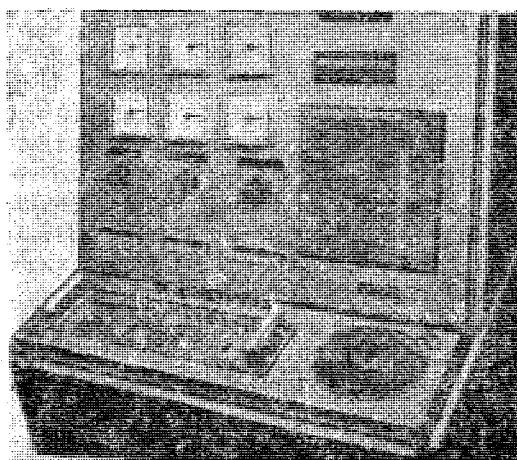


Fig. 4.48. Stație de etalonare echipată cu contor tip E31YE.

## Bibliografie

1. ARUTIUNOV, V.O. *Instrumente și apărate electrice de măsură* (traducere din limba rusă). București, Editura tehnică, 1952.
2. BAIDA, L.I. s.a. *Curs general de măsurări electrice* (traducere din limba rusă). București, Editura energetică, 1952.
3. TUTOVAN, V. *Introducere în măsurări electrice și magnetice* București. Editura didactică și pedagogică, 1962.
4. THURIN, J. *Mesures électriques et électroniques*. Paris, Ed. Eyrolles 1961.
5. D.G.M.S.I. *Elemente de electrotehnică și de tehnica măsurării mărimilor electrice și magnetice*. București, Editura tehnică, 1959.
6. NEUMAN, H. *Das Messen mit elektrischen Geräten*. Berlin, Springer Verlag, 1960.
7. GOLDRING, E și WIDDIS, F. *Electrical measurements and measuring instruments*, London, Isaac Pitman, 1963.
8. PFLIER, P. *Elektrizitätsszähler*. Berlin, Springer Verlag, 1954.
9. PFLIER, P. *Elektrische Mesegeräte und Messverfahren*. Berlin Springer-Verlag, 1957.
10. KOPÈCEK, J și DVORAK, M. *Transformatoare de măsură* (traducere din limba cehă). București, Editura tehnică 1970.
11. SLAPCIU, G și BOBOC, D. *Organizarea activității metrologice în Uzina Electromagnetică*. În : Metrologia Aplicată nr. 6, 1964.
12. BEAU, E. *Les nouvelles installations de Métrologie électrique de L.C.I.E.* În : Revue Générale de l'électricité, nr. 9, 1969.
13. POPESCU, P.I. și SLAPCIU, G. *Metode de decalare a fazelor tensiunilor și curenților electriți*. În : Electrotehnica, nr. 1, ianuarie 1966.
14. MÜLLER, E. *La construction et l'aménagement des laboratoires. Principes essentiels*. În : Rev. Construction — Franța, nr. 6, 1963.
15. DONDE, I. I. *Structura unui laborator de măsurare la o întreprindere industrială*. În : Rev. Izmeriteenaia tehnika, nr. 4, 1968.
16. KONDRAHENKO, V. M. *Metodika opredelenija nomenklaturi i obicma zapasnh ciastei dlia elektroizmeritel'nih priborov*. În : Izmerite-linaia tehnika, nr. 4, 1971.
17. SLAPCIU, G. *Cileva probleme ridicate de creșterea productivității la operațiile de etalonare și verificare în procesul de fabricație al contoarelor electrice monofazate*. În : Metrologia aplicată, nr. 5, mai, 1964.
18. BOBOC, D și SLAPCIU, G. *Aparat de control universal tip voltampermetru*. În : Metrologia aplicată, nr. 7, iulie 1968.
19. ILIE, P. *Caracteristicile compensației de curent continuu*. În : Metrologia aplicată, nr. 10, octombrie, 1968.
20. POPESCU, P. I. *Stabilizator semicalibrat de tensiune alternativă pentru etalonarea aparatelor de măsurat*. În : Metrologia aplicată nr. 6, iunie, 1966.
21. ILIE, P. *Considerente asupra utilizului și metodelor de măsurare a tensiunilor și curenților alternativi*. În : Metrologia aplicată nr. 4, octombrie-decembrie, 1961.
22. BOBOC, D și SLAPCIU, G. *Verificarea contoarelor electrice fabricate în ţara noastră*, Stadiul actual, preocupări, perspective. În : Metrologia aplicată, nr. 3, martie, 1970.

23. POPESCU, P. I. și SLAPCIU, G. *Aparat pentru decalarea fazelor curenților și tensiunilor electrice*. Brevet de invenție nr. 43 103, 1964.
24. POPESCU, P. I. și SLAPCIU, G. *Metodă și instalație pentru simetrizarea și decalarea fazelor din rețelele electrice trifazate*. Brevet de invenție nr. 51 379, 1968.
25. POPESCU, P. I. și SLAPCIU, G. *Instalație pentru simetrizarea și decalarea fazelor din rețelele electrice trifazate*. Brevet de invenție nr. 51 424, 1968.
26. MILLEA, A., GRUIA, N., STOICA, A. „*The use of inductive current comparators for precise measurements*“ — Acta IMEKO-1964.
27. MILLEA, A., GRUIA, N. „*Instalație de înaltă precizie pentru determinarea erorilor transformatoarelor de curent*“ — Electrotehnica nr. 5/1969 pag. 189.
28. MILLEA, A., GRUIA, N. „*Instalație pentru etalonarea transformatoarelor de curent pînă la 100 A*“ — Lucrare Institutul de Metrologie 1964.
29. MILLEA, A., GRUIA, N. „*Instalație pentru etalonarea transformatoarelor de curent între 100 A și 2 000 A*“ — Lucrare Institutul de Metrologie 1965.
30. MILLEA, A., GRUIA, N. „*Transformator decadic de tensiune*“. — Metrologia aplicată nr. 4/1967 pag. 158.
31. MILLEA, A., GRUIA, N. „*Instalație pentru etalonarea transformatoarelor de tensiune pînă la 35 kV*“ — Lucrarea Institutul de Metrologie 1967—1969.
32. POPESCU, P. I. — *Lucrări de proiectare a dispozitivelor de etalonat și verificat aparate electrice de măsurat produse de Uz. Electromagnetică*.
33. BOBOC, D.. SLAPCIU, G. și POPESCU P. I. *Dispozitiv pentru decalarea fazelor tensiunilor și curenților electrii*. Brevet de invenție nr. 52 702/1970.
34. SLAPCIU, G. și POPESCU, P.I. *Decalator trifazat de unghi*. Brevet de invenție nr. 55 925/1971.
35. SLAPCIU, G. și POPESCU, P. I. *Sur un dephasage monophasé pour les installations de réglage et de vérification des instruments électriques de mesure*. L'Energia Elettrica nr. 2/1972.
36. Landis & Gyr. Elveția *Prospete*.
- 37 SIEMENS — Messtechnik R.F.G. — *Prospete*
- 38 MANFRED VOLKMAR R.D.G. *Prospete*
39. FERRANTI — PACKARD Limited — Canada — *Prospete*
40. SCHLUMBERGER — Compteurs Franța — *Prospete*
41. A. I. BEZIKOVICI — *Aparataj pentru verificarea automată a ampermetrelor voltmetrelor și wattmetrelor în curent continuu*. Izmeritelnaia tehnika nr. 6/1969.
42. BOBOC, D., POPESCU, P.I. și SLAPCIU, G.— *Dispozitiv pentru verificarea contoarelor electrice monofazate*. Brevet de invenție nr. 53 006/1970.

## Cuprins

<b>1. Organizarea laboratorului . . . . .</b>	<b>3</b>
1.1. Condiții generale de lucru . . . . .	3
1.2. Surse de alimentare . . . . .	5
1.2.1. Surse de curent continuu . . . . .	5
1.2.2. Surse de curent alternativ . . . . .	13
1.3. Elemente de reglaj . . . . .	15
1.3.1. Reglarea curentului și tensiunii continue și alternative monofazate . . . . .	15
1.3.2. Reglarea tensiunii alternativ, în rețelele polifazate . . . . .	17
1.3.3. Reglarea fazei . . . . .	18
1.4. Aparate folosite în schemele de măsurare . . . . .	23
1.4.1. Rezistențe etalon și rezistențe decadice . . . . .	23
1.4.2. Etaloane de inductivitate proprie și mutuală . . . . .	24
1.4.3. Etaloane de capacitate . . . . .	25
1.4.4. Aparate pentru măsurarea elementelor de circuit . . . . .	26
1.4.5. Osciloscoape catodice . . . . .	37
1.4.6. Alte aparate folosite în laborator . . . . .	39
<b>2. Verificarea aparatelor de măsurat indicatoare . . . . .</b>	<b>42</b>
2.1. Clasificarea și caracteristicile principale ale aparatelor de măsurat indicatoare . . . . .	42
2.1.1. Criterii de clasificare . . . . .	42
2.1.2. Principalele date constructive ale aparatelor de măsură indicatoare . . . . .	43
2.1.3. Caracteristicile aparatelor de măsurat indicatoare . . . . .	45
2.2. Metode de verificare a aparatelor electrice indicatoare . . . . .	47
2.2.1. Metoda comparației . . . . .	47
2.2.2. Metoda compensației . . . . .	49
2.2.3. Metoda de măsurare directă . . . . .	51
2.2.4. Metoda divizorului inductiv de tensiune . . . . .	51
2.3. Cîteva instalații realizate pentru verificarea aparatelor de măsurat electrice indicatoare . . . . .	61
2.3.1. Instalații de reglat și verificat ampermetre electromagnetice . . . . .	62
2.3.2. Instalații de reglat și verificat voltmetre electromagnetice . . . . .	62

2.3.3. Stand pentru reglat și verificat șunturi . . . . .	62
2.3.4. Instalație cu tensiuni predeterminate pentru etalonarea voltmeterelor de curenț alternativ . . . . .	64
2.3.5. Instalație stabilizată de curenț continuu cu valori predeterminate ale curenților . . . . .	66
2.3.6. Instalație stabilizată de curenț continuu cu valori predeterminate de tensiuni . . . . .	67
2.3.7. Aparataj pentru verificarea automată a ampermeterelor, volmetrelor și a wattmetrelor în curenț continuu .	68
2.3.8. Instalații de mare productivitate pentru gradarea și verificarea aparatelor de măsurat în curenț continuu .	72
2.3.9. Instalație portativă pentru verificarea aparatelor electrice . . . . .	73
2.3.10. Tipuri de divizoare inductive. . . . .	75
<b>3. Verificarea transformatoarelor de măsură . . . . .</b>	<b>78</b>
3.1. Clasificarea transformatoarelor de măsură . . . . .	78
3.1.1. Clasificarea transformatoarelor de măsură de tensiune . . . . .	78
3.1.2. Principalele date constructive ale transformatoarelor de măsură de tensiune . . . . .	79
3.1.3. Clasificarea transformatoarelor de măsură de curenț .	80
3.1.4. Principalele date constructive ale transformatoarelor de măsură de curenț . . . . .	82
3.2. Metode de verificare a transformatoarelor de măsură .	84
3.2.1. Metode de verificare a funcționării transformatoarelor de măsură de tensiune . . . . .	84
3.2.2. Metode de verificare a funcționării transformatoarelor de măsură de curenț . . . . .	94
3.3. Cele mai utilizate apарат și instalații realizate pentru verificarea transformatoarelor de măsură . . . . .	107
3.3.1. Aparat tip AIT pentru verificarea transformatoarelor de măsură . . . . .	107
3.3.2. Aparat AEG pentru verificarea transformatoarelor de măsură . . . . .	113
3.3.3. Aparat pentru etalonarea transformatoarelor de tensiune tip AE <sup>T</sup> T-1 . . . . .	114
3.3.4. Aparat pentru etalonarea transformatoarelor de curenț tip AE <sup>T</sup> C-1 . . . . .	119
3.3.5. Metode de verificare a erorii de raport la transformatoarele de măsură, prin compararea armonicilor . . . . .	123
<b>4. Verificarea contoarelor electrice de inducție . . . . .</b>	<b>129</b>
4.1. Clasificarea și caracteristicile principale ale contoarelor . . . . .	129
4.1.1. Criteriile de clasificare . . . . .	129
4.1.2. Principalele date constructive ale contoarelor electrice de inducție . . . . .	130
4.1.3. Caracteristicile contoarelor electrice . . . . .	131

<b>4.2. Metode de verificare a contoarelor electrice de inducție . . . . .</b>	<b>132</b>
4.2.1. Metoda timp-putere . . . . .	132
4.2.2. Metoda punctului de control . . . . .	135
4.2.3. Metoda mersului sincron . . . . .	136
4.2.4. Procedee stroboscopice . . . . .	138
<b>4.3. Cîteva instalații realizate pentru verificarea contoarelor electrice. . . . .</b>	<b>150</b>
4.3.1. Stația GANZ de reglat și verificat contoare trifazate	150
4.3.2. Stațiile de etalonat contoare ale firmei SIEMENS	151
4.3.3. Stațiile de reglat și verificat contoare VOLKMAR – R.D.G. . . . .	153
4.3.4. Instalație pentru verificarea în serie a contoarelor electrice . . . . .	155
4.3.5. Instalație de verificat contoare monofazate în bandă rulantă . . . . .	157
4.3.6. Dispozitiv semiautomat pentru verificarea contoarelor monofazate și trifazate . . . . .	159
4.3.7. Stația METRABLOC pentru etalonarea contoarelor monofazate și trifazate . . . . .	161
4.3.8. Stația PJUY-23 pentru etalonarea contoarelor active și reactive . . . . .	162
4.3.9. Instalația VNIIIEP pentru verificarea automată a contoarelor . . . . .	163
4.3.10. Instalația MEMZ pentru etalonarea și verificarea contoarelor . . . . .	164
4.3.11. Instalația MZES pentru verificarea automată a contoarelor . . . . .	166
4.3.12. Stația tip PJUX-4 de etalonare a contoarelor monofazate . . . . .	173
4.3.13. Stația PJUY-50 pentru etalonarea și verificarea contoarelor monofazate și trifazate . . . . .	173
4.3.14. Stand automat pentru încercarea contoarelor cu calculator numeric SIEMENS . . . . .	178
4.3.15. Stația „CALIGYR 6001“ pentru etalonarea prin impulsuri a contoarelor trifazate . . . . .	184
4.3.16. Stația de etalonat contoare tip „PRECIGYR“ fabricată de firma „LANDIS și GYR“. . . . .	185
4.3.17. Compensatorul GOERZ cu autocompensare pentru verificarea contoarelor. . . . .	191
4.3.18. Stațiile de verificat contoare fabricate de firma „FER-RANTI PACKARD“ . . . . .	193
4.3.19. Instalație „DUNCAN“ pentru etalonarea contoarelor prin calculatoare . . . . .	195
4.3.20. Contoare etajon electronice. . . . .	200
Bibliografie . . . . .	203

# În colecția electricianului

au apărut :

- 76. Orakaliev D. D., Dikov C. I., Hristov G. H.  
*Electrocare* (traducere din limba bulgară)
- 77. Aldea F., Cănescu S.  
*Bimetalul și aplicațiile lui în electrotehnică*
- 78. Cruceru G., Ursea P.  
*Încercările cablurilor de energie în exploatare* Ediția a II-a
- 79. Kaminski E. A.  
*Cum se citesc schemele instalațiilor electrice* (traducere din limba rusă). Ediția a II-a
- 80. Kerekes I., Lokodi Z.  
*Montarea corectă a conloarelor electrice trifazale*
- 81. Micu E.  
*Construcția și exploatarea cuploarelor electrice de topire din industrie*
- 82. Pietrăreanu E.  
*Tablouri electrice de distribuție de joasă tensiune*
- 83. Cruceru C.  
*Procedee de localizare a defectelor în rețelele de cabluri de energie*
- 84. Lisácek R.  
*Rebobinarea micromotoarelor electrice* (traducere din limba cehă)
- 85. Pietrăreanu T. M.  
*Pornirea și protecția motoarelor asincrone trifazate*

vor apărea :

- Huhulescu M.  
*Cartea bobinatorului de aparate electrice*
- Glückmann M.  
*Instalații pentru încărcarea acumulatoarelor*
- Leonte P., Hnatiuc E. Baraboi A.  
*Electromagneți*